

**เอกสารประกอบการสอนรายวิชา
434376**

**Subsurface Geology
ธรณีวิทยาใต้พื้นผิว**

โดย

อาจารย์ ดร. บัณฑิตา ธีระกุลสถิตย์

สาขาวิชาเทคโนโลยีธรณี

สำนักวิชาวิศวกรรมศาสตร์

มหาวิทยาลัยเทคโนโลยีสุรนารี

สารบัญ

	หน้า
Chapter 1: Introduction	1
Chapter 2: Sedimentary Environment	3
– Direct & Indirect Evidences	6
– Sedimentary environment	11
– Sedimentary Facies	12
– Sedimentary Models	24
Chapter 3: Sedimentary Environment Indication	26
– Associated facies	28
– Geometry	33
– Lithology	37
– Sedimentary structure	63
– Palaeontology	74
– Depositional environments	104
Chapter 4: Sources of Information	147
– Cutting samples	147
– Core samples	150
• Cutting and core sample description	157
– Wireline logs	168
• Spontaneous potential Log (SP)	174
• Gamma ray log	184
• Resistivity log	197
• Dipmeter log	212
• Caliper log	219
• Porosity log	221
– Seismic	235
Chapter 5: Subsurface Mapping	256

Chapter 1

Introduction

Prerequisite: 434201 Structural geology

Interpretation of structural geology and basin analysis from drilling well and geophysical data, including subsurface mapping

Course Content

Chapter 1: Introduction

Chapter 2: Sedimentary environment

Purpose:

Subsurface analysis attempts to recognize the interrelationships among depositional systems through direct, indirect information and compare with modern sedimentary environment.

- Direct & Indirect Evidences
- Concepts & methods
 - 2.1 Sedimentary environment
 - 2.2 Sedimentary Facies
 - 2.3 Sedimentary Models
- Sequence/succession

Chapter 3: Environment indication

Purpose:

They are five basic parameters and make data source for over all methodology of subsurface analysis. Before drilling associated facies and geometry can be analyzed and after drilling lithology, sediment structure and palaeontology can be analyzed.

- General
- Associated facies
- Geometry
- Lithology
- Sedimentary structure
- Palaeontology

Chapter 4: Sources of information

Purpose:

To analysis sedimentary environments, two types of information are in consideration. First is direct source of information such as outcrop, core and cutting. Second is indirect source of information such as wire line logging, seismic data and lab data.

- Cutting
- Core
- Wire line logs
- Seismic

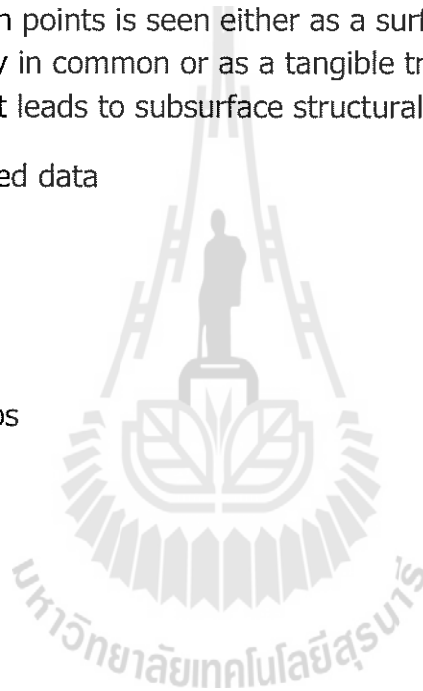
Chapter 5: Subsurface mapping (6 hrs)

Purpose:

The subsurface correlation points is seen either as a surface of a mass of strata containing some property in common or as a tangible trace of as abstract correlation points and interpreting, it leads to subsurface structural contour mapping.

Correlation points of logged data

- Stratigraphic law
- Contour lines
- Nomograms
- Cross-sections
- Structural contour maps



Chapter 2 Sedimentary Environment

1. Sedimentary environment

Purpose: Subsurface analysis attempts to recognize the interrelationships among depositional systems through direct, indirect information and compare with modern sedimentary environment.

1. Direct & Indirect Evidences
2. Concepts & methods
 - 2.1 Sedimentary environment
 - 2.3 Sedimentary Facies
 - 2.3 Sedimentary Models
3. Sequence/succession

Petroleum Exploration and Production

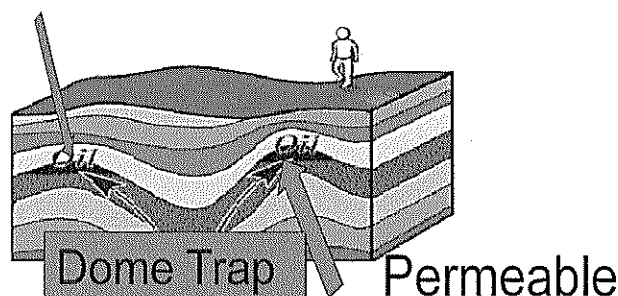
1. Surface Exploration:

- a. geological survey
- b. field work
- c. mapping

2. Subsurface Exploration

- a) Geophysical Surveys: Seismic
- b) Core and cutting samples
- c) Wire line logging

Reservoir rocks (Oil Traps)
Impermeable



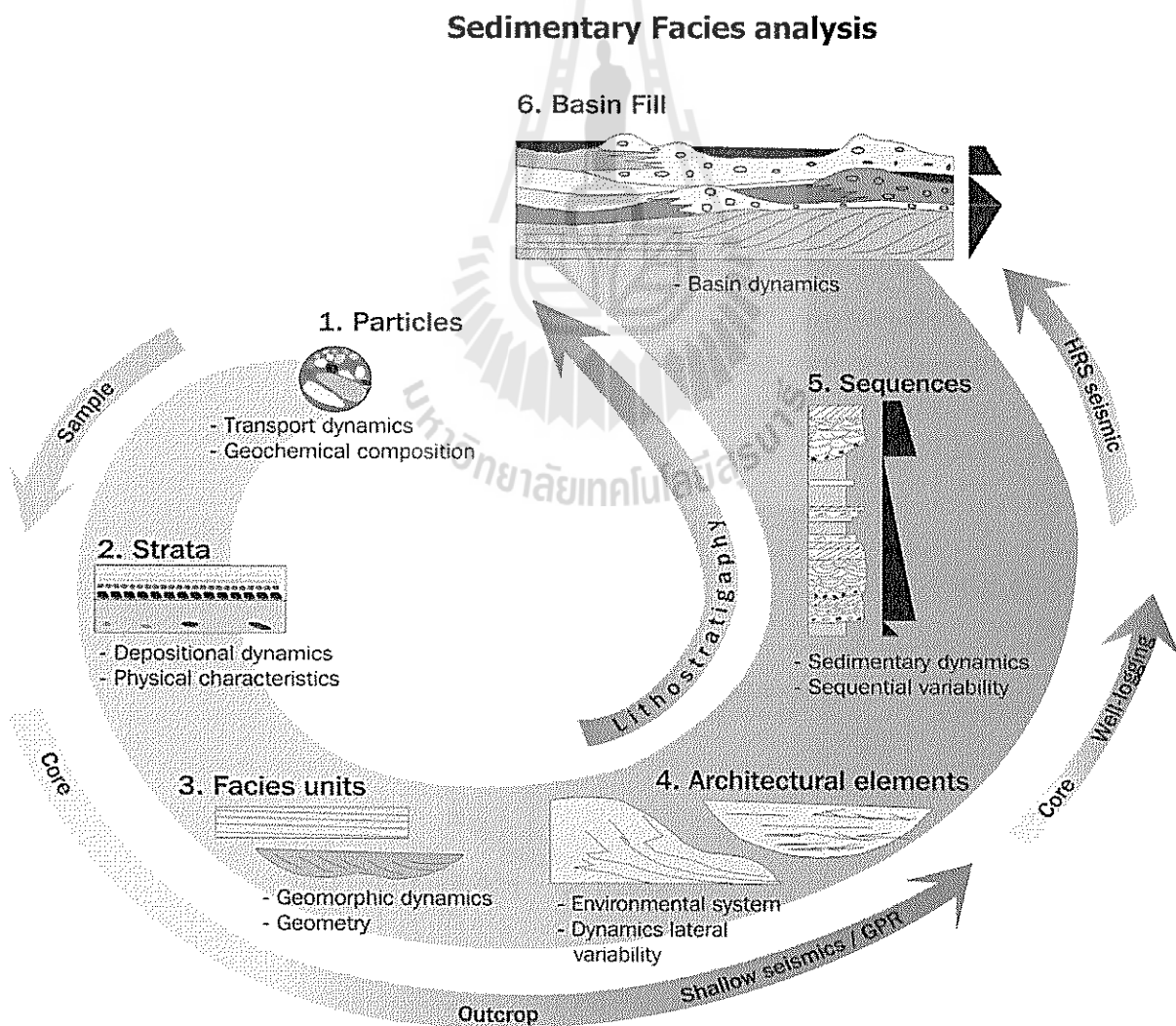
Traps →→ Reservoir (Porosity & Permeability)

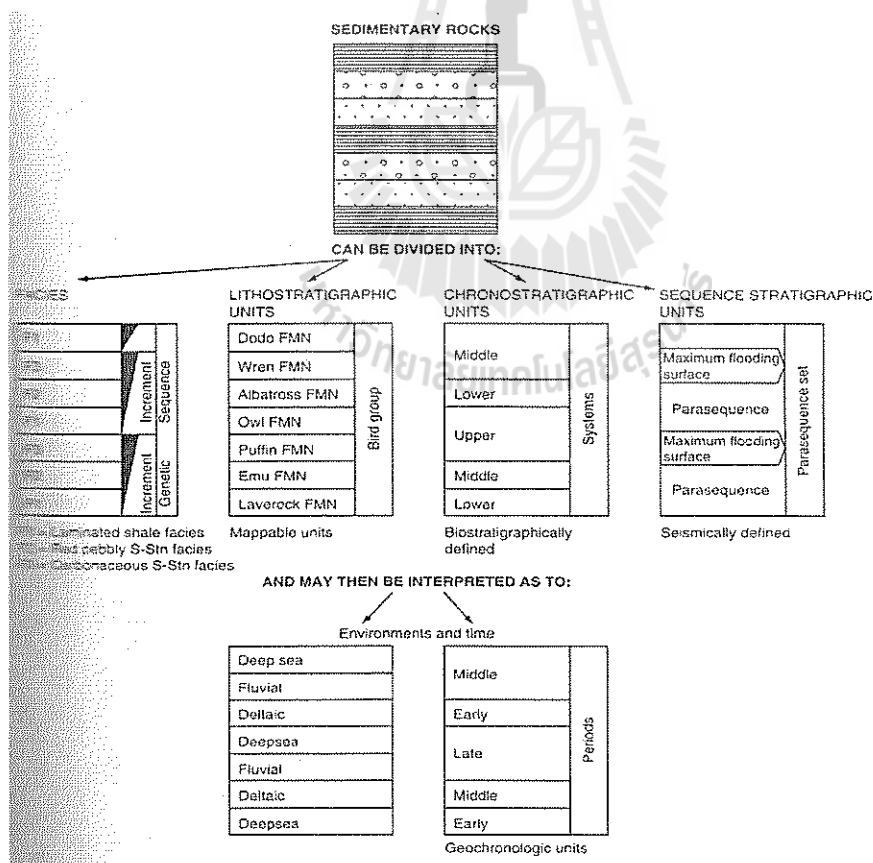
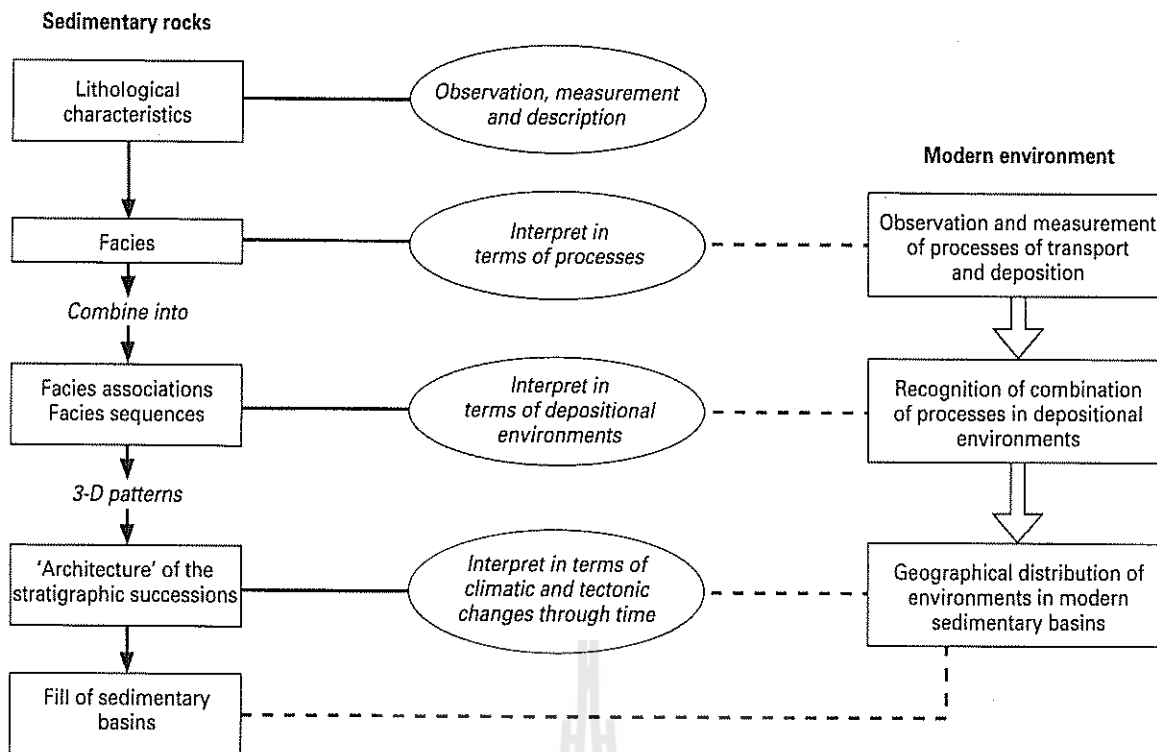
- The properties controlled by depositional process thus their prediction is base on facies analysis
- The facies analysis is accomplished chiefly through the construction of an ancient sedimentary environment model.

Diagram to show how sedimentary rocks may be differentiated by:

1. Facies
2. Lithostratigraphy
3. Chronostratigraphy
4. Sequence stratigraphy

These may then be interpreted as to environment and time





1. Information for sedimentary environment analysis

There are two evidences:

- 1) Direct evidence: surface & subsurface information that can be use this data by do not interpretation;
 - Outcrop
 - Cutting
 - Core samples
 - Fluid samples
- 2) Indirect evidence: subsurface information that have to interpreting before to use this data;
 - Electrical logs e.g. SP, Density, Resistivity, caliper, neutron, sonic logs etc.
 - Seismic section
 - Both Direct & Indirect evident have to mix together to product geologic model



ส่วนประกอบและขั้นตอนของการศึกษาลำดับชั้นหินโดยตรง

1.1 Direct evidence- study from outcrop, cutting samples and core samples

การลำดับชั้นหินตามลักษณะหิน (Lithostratigraphy)	การลำดับชั้นหินตามชีวภาพ (Biostratigraphy)
1. การสังเกตและการรวบรวม	
<ul style="list-style-type: none"> - แนวตั้งของการลำดับชั้นหินตามลักษณะหิน (Lithostratigraphic column) - ศิลาวิทยาทางหินตะกอน (Sedimentary Petrology) - คุณสมบัติของหินตะกอน - การจำแนกหินตะกอน - กระบวนการทางหินตะกอน 	<ul style="list-style-type: none"> - แนวตั้งของการลำดับชั้นหินชีวภาพ (Biostratigraphic column) - บรรพชีวินวิทยา (Paleontology) - สัณฐานวิทยา (morphology) - การจำแนกสิ่งมีชีวิต - กระบวนการทางชีวภาพ
2. การวิเคราะห์	
<ul style="list-style-type: none"> - การเทียบสัมพันธ์ตามลักษณะหิน (Lithologic correlation) - การเทียบความสัมพันธ์ลำดับชั้นหินตามอายุกาล (Chronostratigraphic correlation) - ธรณีวิทยาแปรสัณฐานทางหินตะกอน (Lithologic correlation) - การเทียบความสัมพันธ์ลำดับชั้นหินตามอายุกาล (Chronostratigraphic correlation) - การเทียบสัมพันธ์ตามลักษณะหิน (Sedimentary tectonics) 	<ul style="list-style-type: none"> - การเทียบสัมพันธ์ตามชีวภาพ (Biostratigraphic correlation) - วิวัฒนาการของสิ่งมีชีวิต (Organic evolution) - การเทียบสัมพันธ์ตามชีวภาพ (Biostratigraphic correlation)
3. การแปลความหมายและการสังเคราะห์	
ลักษณะภูมิประเทศในอดีต (Paleogeography) และธรณีประวัติ (Geologic history)	

ประเภทการจำแนกลำดับชั้นหิน (Stratigraphic Categories)	ชื่อหน่วยลำดับชั้นหินที่สำคัญ (Principal Stratigraphic Unit-Terms)
การลำดับชั้นหินตามลักษณะหิน (Lithostratigraphy)	กลุ่มหิน (Group) หมวดหิน (Formation) หมู่หิน (Member) ชั้นหิน (Bed (S))
การลำดับชั้นหินตามชีวภาพ (Biostratigraphy)	ส่วนชั้นชีวภาพ (Biozones): ส่วนชั้นกลุ่มชีวิต (Assemblage-zones) ส่วนชั้นช่วงชีวิต (Range-zones) ช่วงชั้นแอกมี (Acme-zones) ส่วนชั้นระหว่างแนวชั้นชีวภาพ (Interval-zones) เป็นต้น
การลำดับชั้นหินตามอายุทาง (Chronostratigraphy)	ปีนธรยุค (Eonthem) ปีนมหายุค (Erathem) ปีนยุค (System) ปีนสมัย (Series) ปีนช่วงอายุ (Stage) ปีนรุ่น (Chronozone)
การลำดับชั้นหินตามลักษณะอื่นๆ ทางแร่ ทางสภาพแวดล้อม ทางความไหวสะเทือน (seismic) ทางสนามแม่เหล็กโลก (magnetic) เป็นต้น	ส่วนชั้น _____ (zones)

Stratigraphy แบ่งออกเป็น

1. Lithostratigraphy

การลำดับชั้นหินด้วยการรวมชั้นหินเข้าด้วยกันเป็นหมวดต่าง ๆ โดยอาศัยลักษณะทางกายภาพของหิน

2. Biostratigraphy

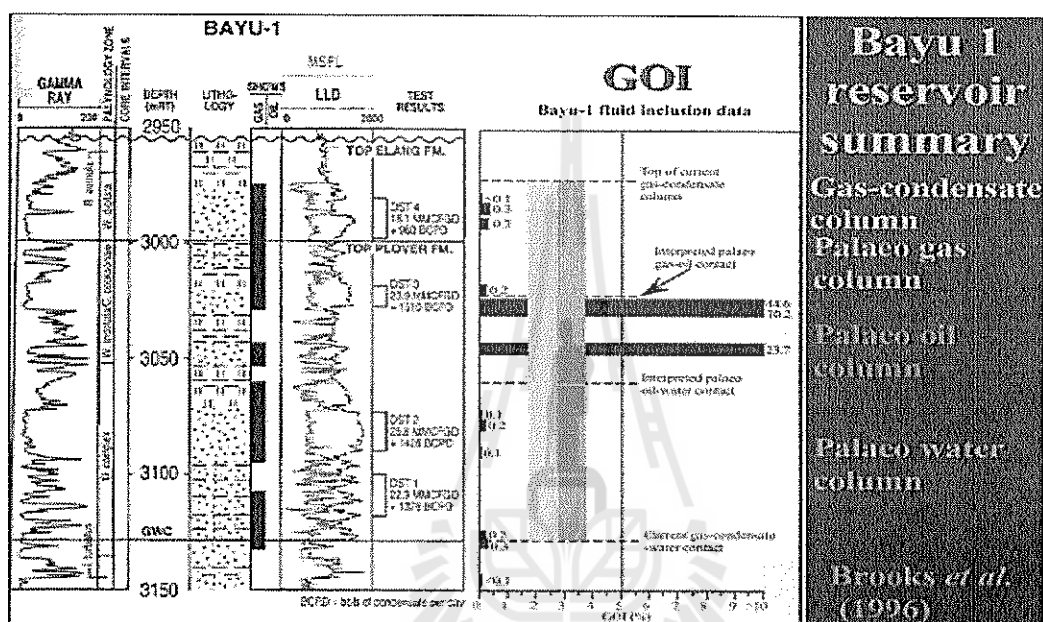
การลำดับชั้นหินด้วยการรวบรวมชั้นหินเข้าด้วยกันเป็นหน่วยต่าง ๆ โดยอาศัยซากดึกดำบรรพ์ที่ปรากฏอยู่ในชั้นหิน

3. Chronostratigraphy

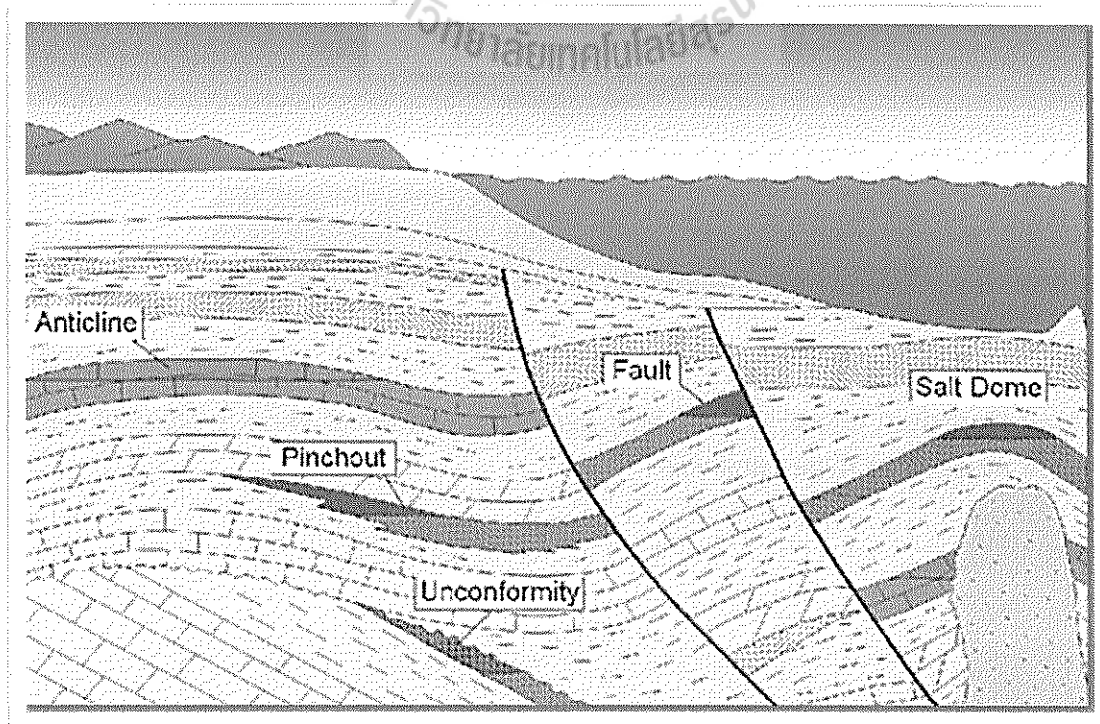
การลำดับชั้นหินด้วยการรวมชั้นหินเข้าด้วยกันเป็นหน่วยต่าง ๆ โดยอาศัยอายุและความสัมพันธ์ทางกาลเวลาของหิน

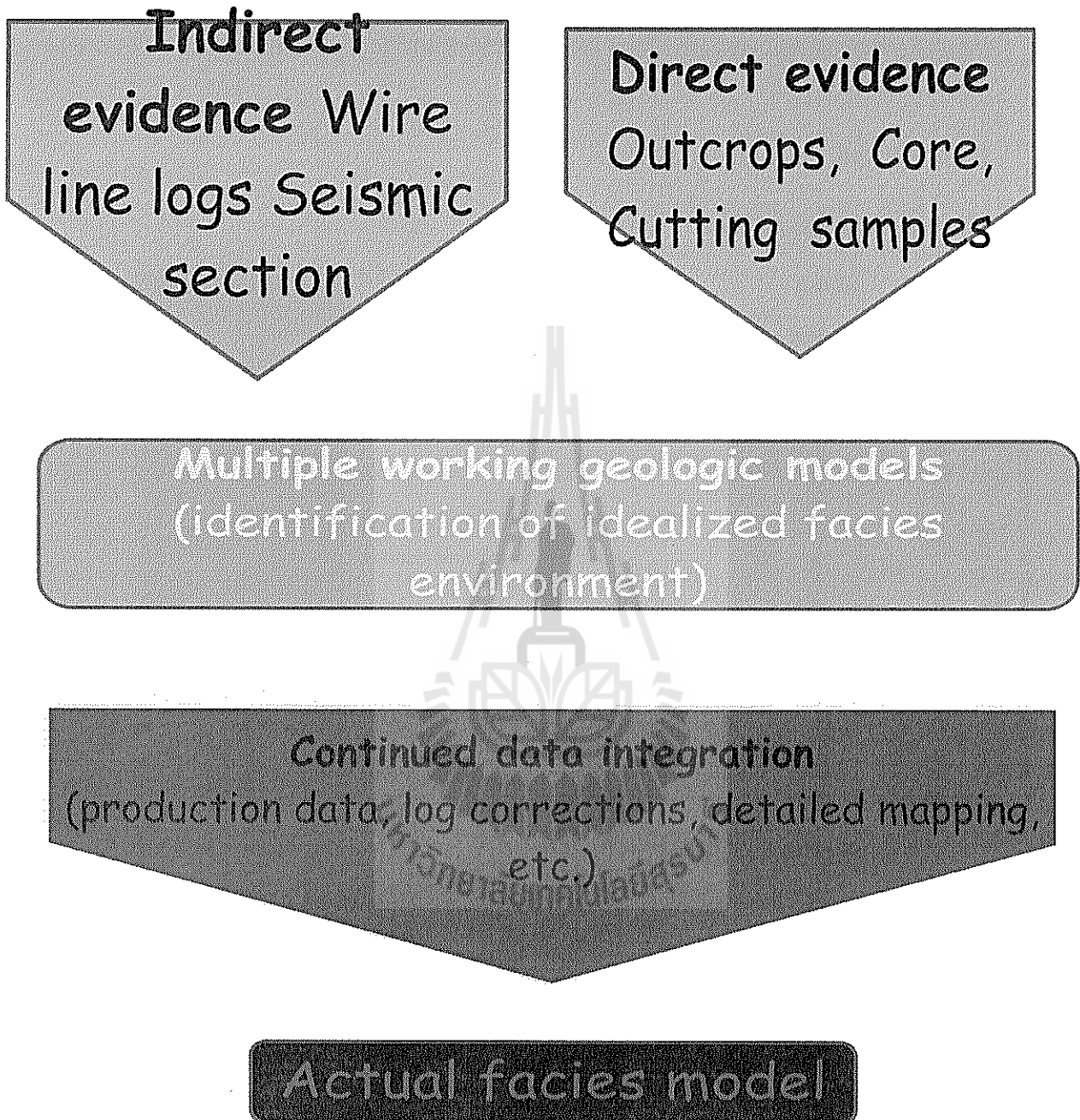
1.2 Indirect evidences: Study from

- Wireline Logs



- Seismic Section





Idealized flow chart showing the incorporation of various of various types of data to generate models for facies analysis

2. Concepts and methods

2.1 Sedimentary Environments

2.2 Sedimentary Facies

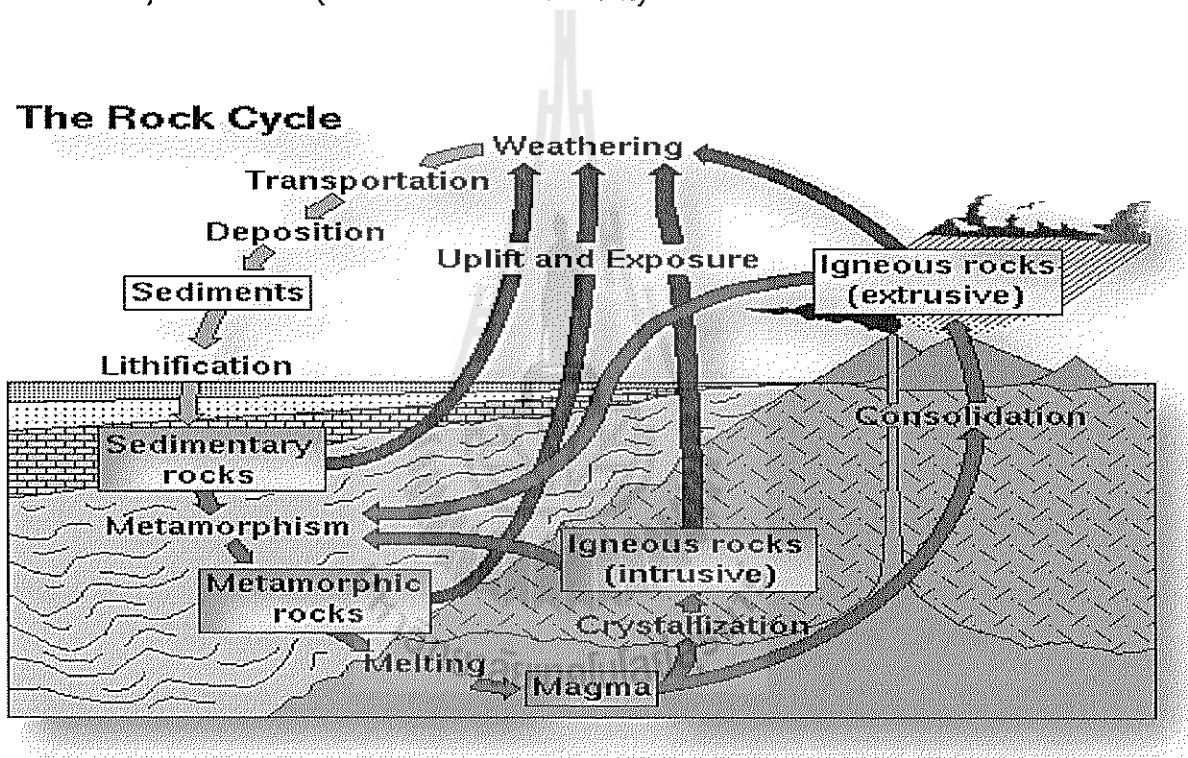
2.1 Sedimentary Models

2.1 Sedimentary Environment

- **Sediments:** loose particulate material (clay, sand, gravel, etc.)

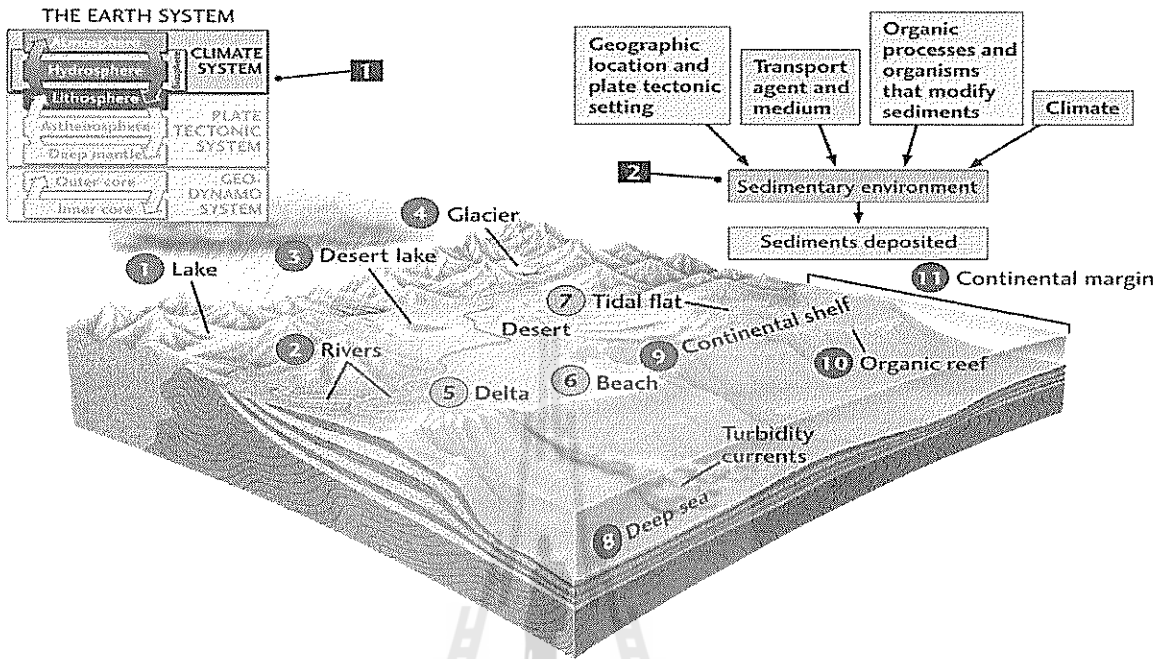
Sediment becomes sedimentary rock through lithification, which involves:

- Compaction
- Cementation
- Recrystallization (of carbonate sediment)



- **Environment:** part of earth's surface which can be distinguished from adjacent parts because of variations in conditions (physical, chemical, organic) that influence the surface
- **Sedimentary environment:** All of the physical, chemical, biological, and geographic conditions under which sediments are deposited.

MULTIPLE FACTORS INTERACT TO CREATE SEDIMENTARY ENVIRONMENTS



Sedimentary Environment

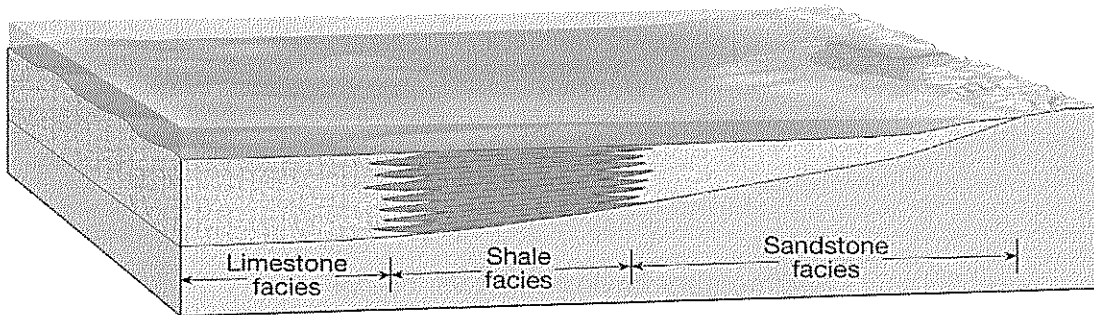
2.2 Sedimentary Facies

Facies: The overall characteristics (physical, chemical and biological) of a rock unit that reflect its origin and differentiate the unit from others around it.

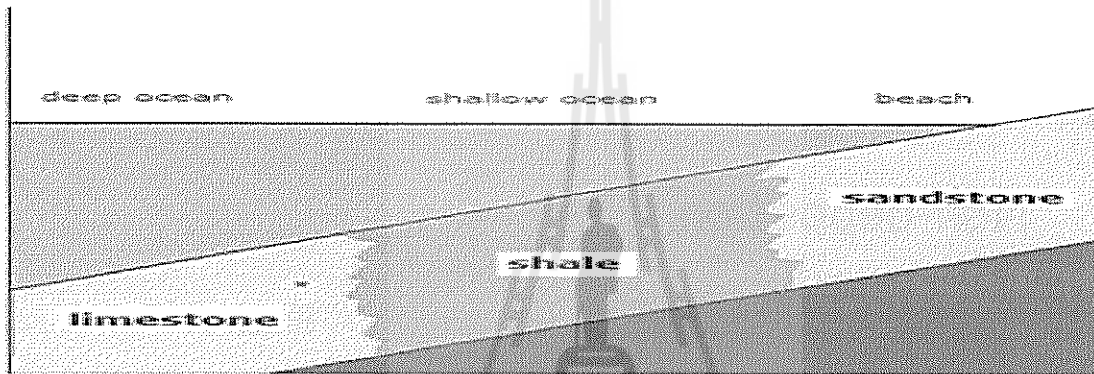
The facies concept refers to the sum of characteristics of a sedimentary unit, commonly at a fairly small (cm-m) scale

- Lithology
- Grain size
- Sedimentary structures
- Color
- Composition
- Biogenic content

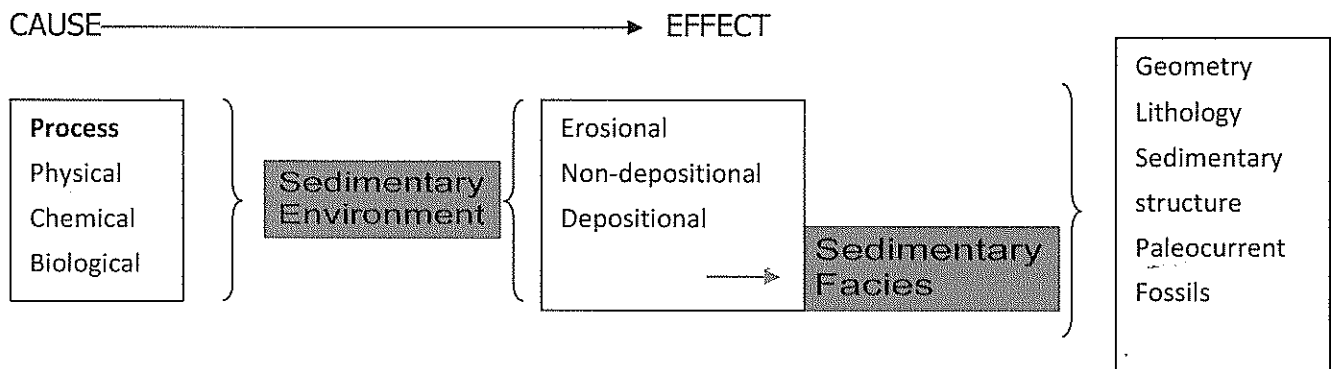
In a shallow marine setting, the different facies represent different depositional environments



Copyright © 2005 Pearson Prentice Hall, Inc.



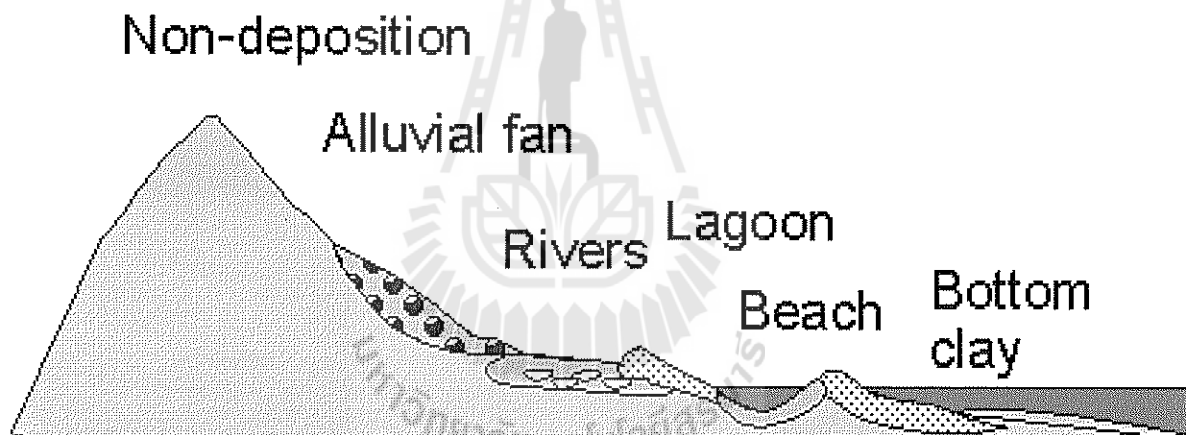
Example of sedimentary facies



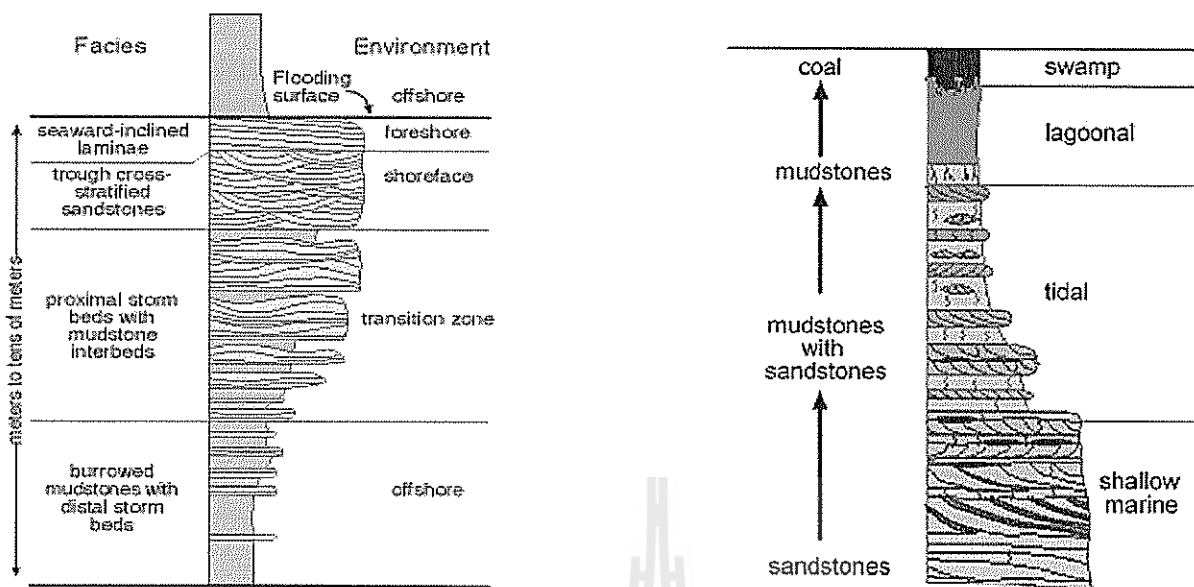
Sedimentary Environment vs. Facies

The relationship between sedimentary environments & facies, that sedimentary facies is the product of a depositional environment, a particular type of sedimentary environment

Different environments produce different sedimentary rocks or characteristics (facies)



- Facies analysis is the interpretation of strata in terms of depositional environments (or depositional systems), commonly based on a wide variety of observations
- Facies associations constitute several facies that occur in combination, and typically represent one depositional environment
- Facies Sequence (or successions) are facies associations with a characteristic vertical order
- Sequence: Relatively conformable (that is, containing no major unconformities), genetically related succession of strata bounded by unconformities or their correlative conformities.



Facies succession or Facies sequence

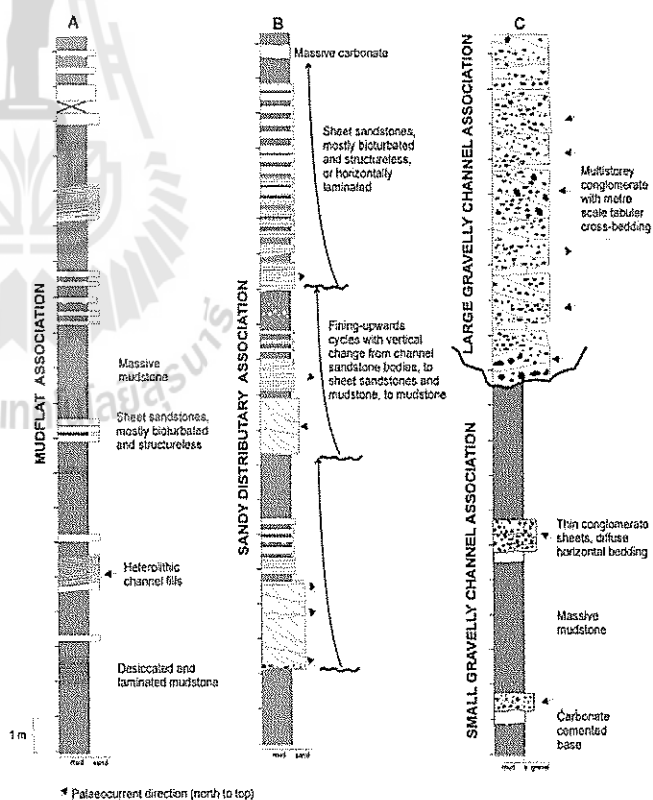
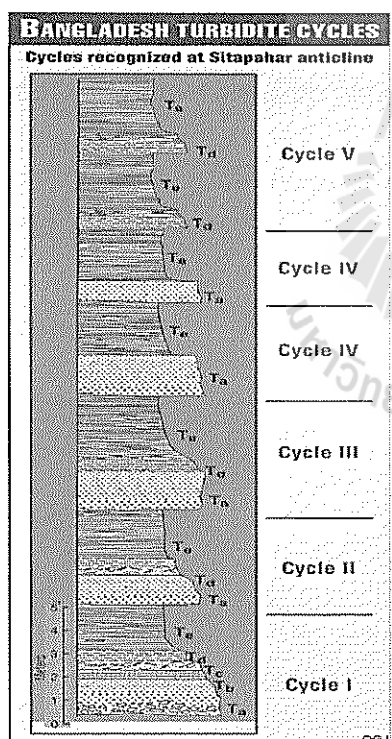
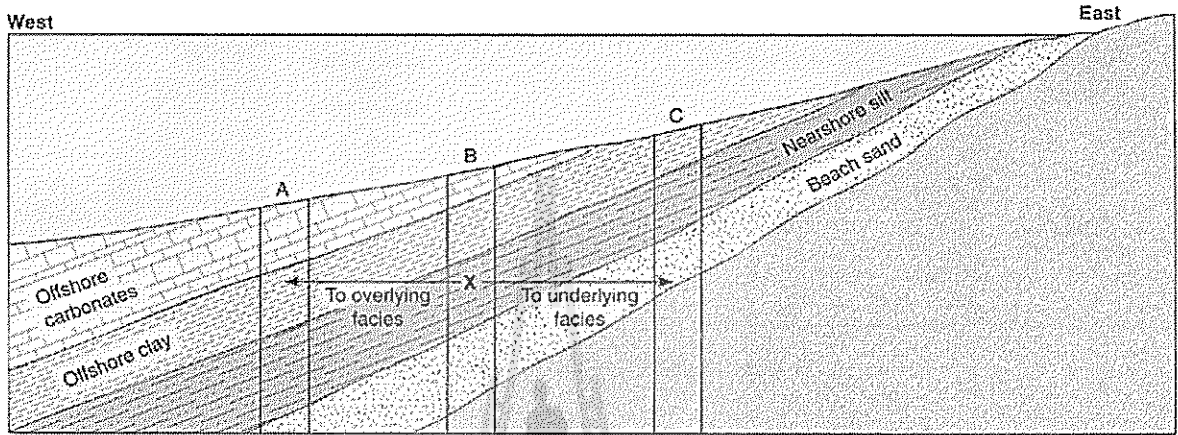


Fig 13. Facies Sequence/Cycle

Walther's Law

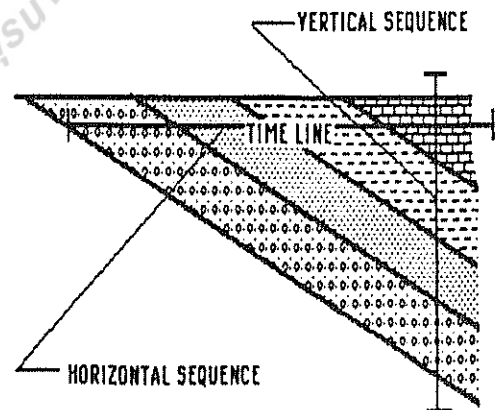
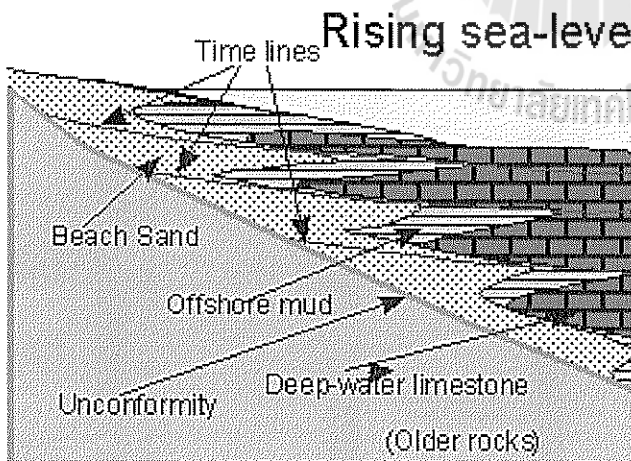
- Walther’s Law (1894) states that “ two different facies found superimposed on one another and not separated by an unconformity, must have been deposited adjacent to each other at a given point in time” (Fig. 14)
- The result is a vertical sequence of beds. The vertical sequence of facies mirrors the original lateral distribution of sedimentary environments.



Facies Change

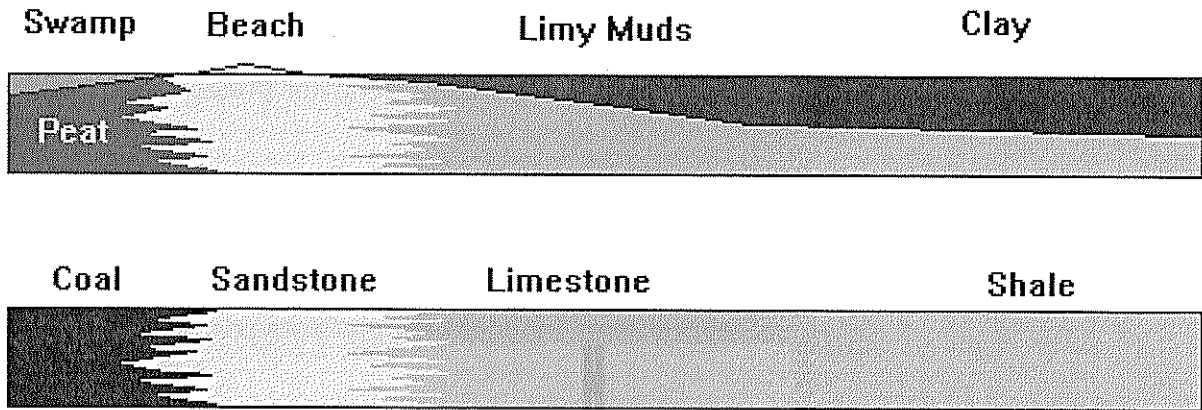
Sedimentary rocks change laterally. These changes reflect the different environments where the rocks formed.

- caused by changes in sea-level, shifting climates, etc.
- Walther's law - vertical change in facies is the same as a horizontal one.

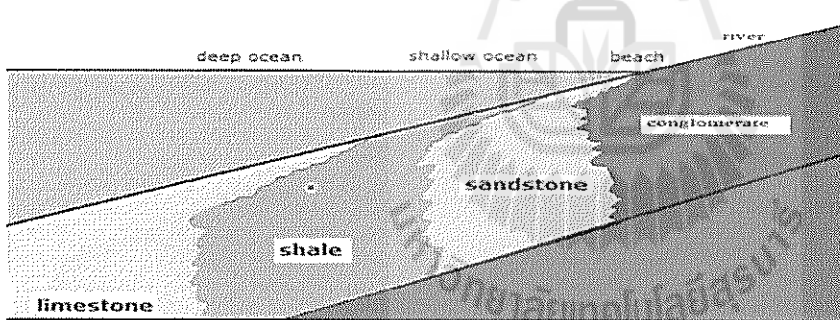


Facies Change

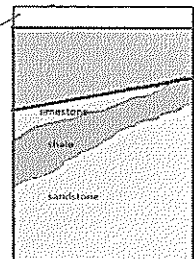
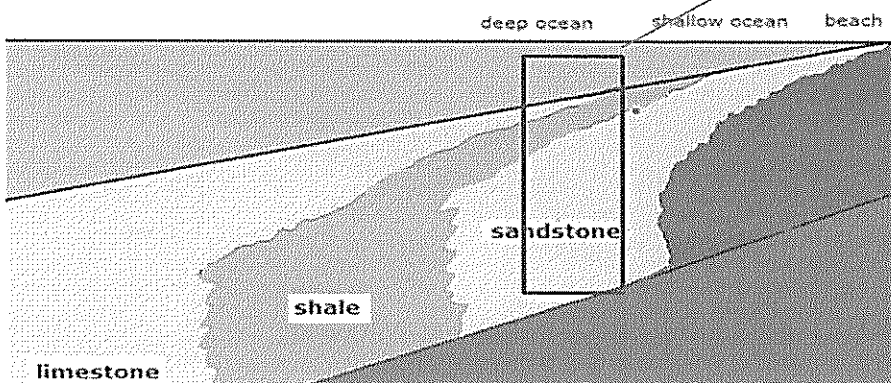
Sedimentary rocks change laterally



Shifting of facies



Sea level rises – more shifting



Type of Sedimentary Facies can be divided into:

1. **Lithofacies** (physical and chemical characteristics of rocks)
2. **Biofacies**-Body fossils: the physical remains of an organism preserved in rock. (macrofossil and microfossil content)
3. **Ichnofacies** -Trace fossils: the record of organisms' behavior preserved in rock.

Lithofacies: the basic descriptive 3-D sedimentary rock elements that record in terms of their lithology, texture, geometry, sedimentary structure and paleology that related characteristics, a specific depositional setting or event and can be interpreted in terms of water depth, depositional energy, and sediment supply/biologic input.

Lithofacies concept

1. Sediment properties are directly derived from the sedimentary environment the deposits originated in. This includes lithology and sedimentary architecture
2. Unit scale depends on the model application, but is typically m-scal
3. Units are lithofacies associations rather than individual lithofacies
4. Sedimentary environments repeat itself in geological time.

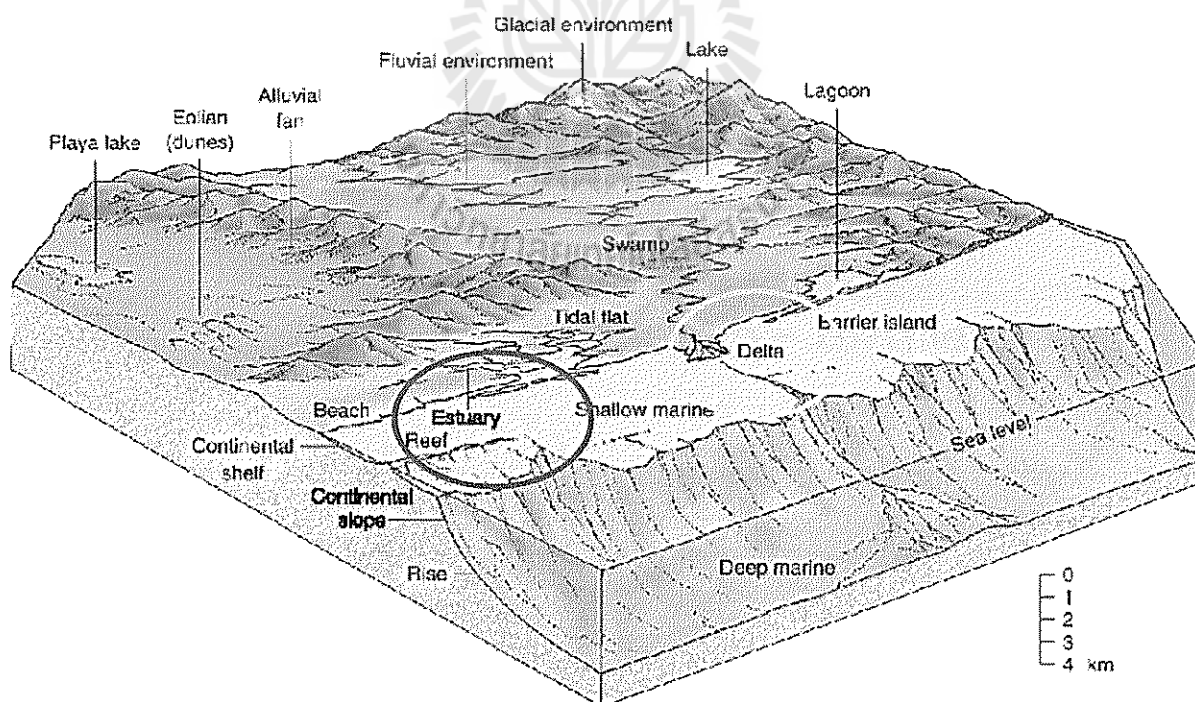
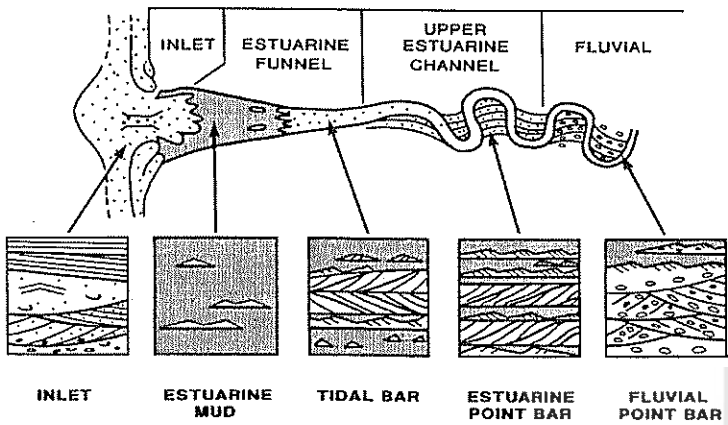


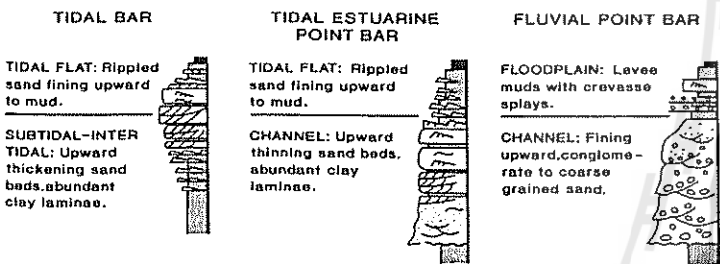
Diagram illustrating some depositional environments.

Example: estuarine environment



Estuarine Lithofacies units

- Marine lithofacies units
- Coastal lithofacies units
 - "Tidal channel"
 - "Tidal flat"
 - "Salt marsh"
 - "Coastal lagoon"
- Fluvial lithofacies units

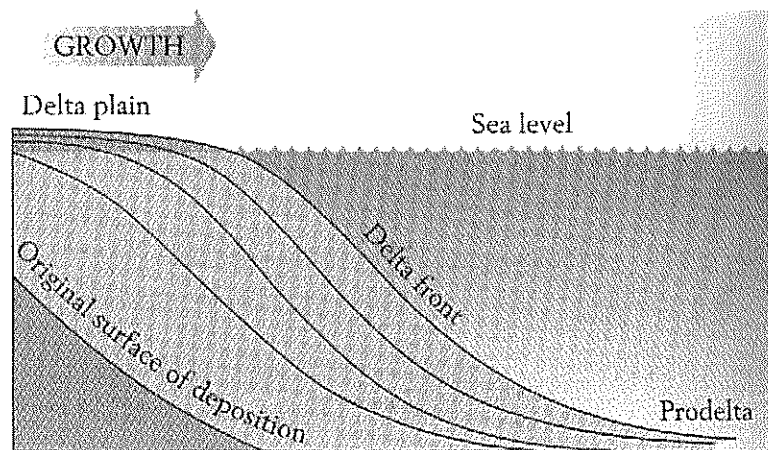
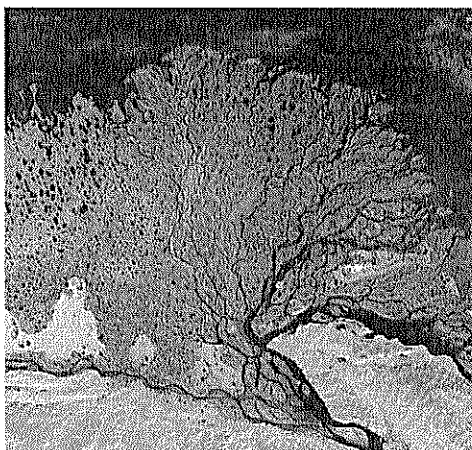


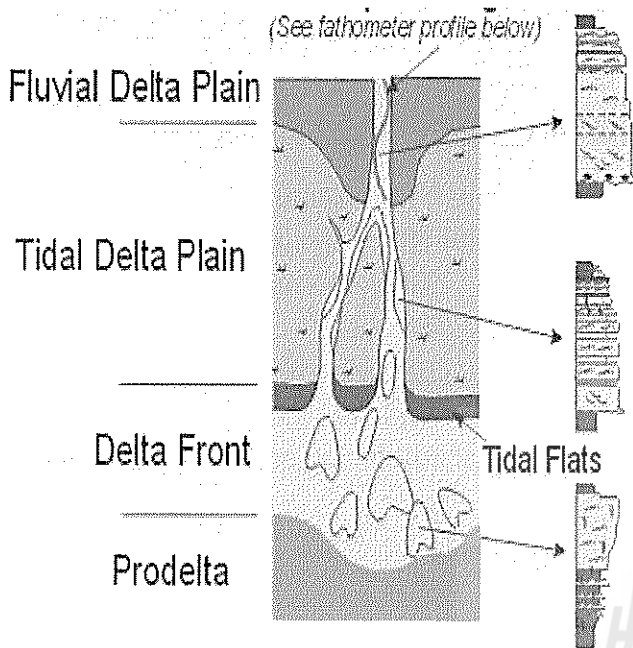
Lithofacies Unit of Estuary

Example: Deltaic System

Deltaic system composed of

1. delta-plain silt & sand
2. delta front sand
3. prodelta shale facies.





Fluvial Distributary Channel

- organic clay
- rippled sand-mud lamination
- cross bedded medium sand with
- carbonaceous laminae

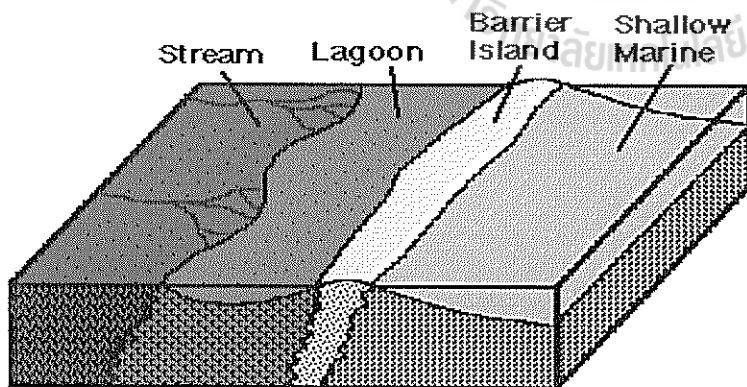
Tidal Distributary Channel

- rippled sand-mud lamination with scattered burrows
- cross bedded and rippled fine to medium sand with mud laminae

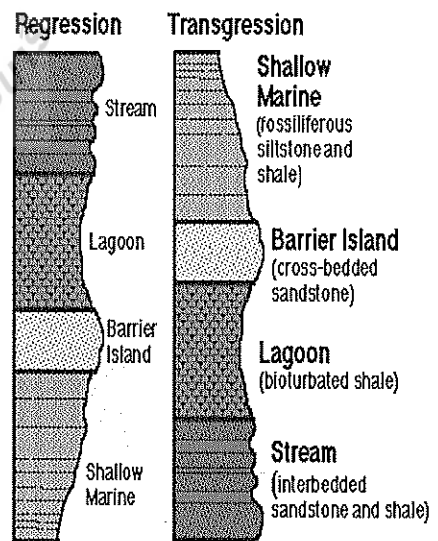
Distributary Mouth Bar

- fine to medium bioturbated sand
- bioturbated mud with fine sand
- massive prodelta mud

Lithofacies Unit of Delta

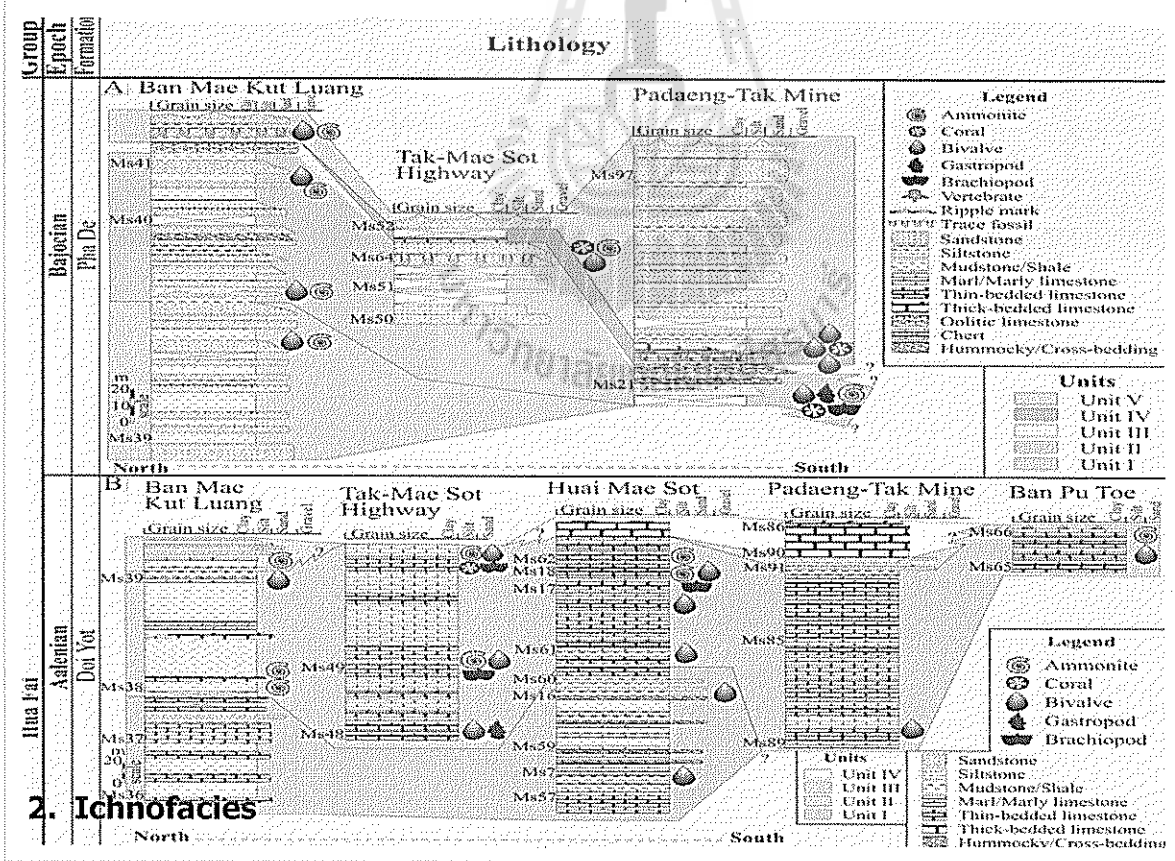
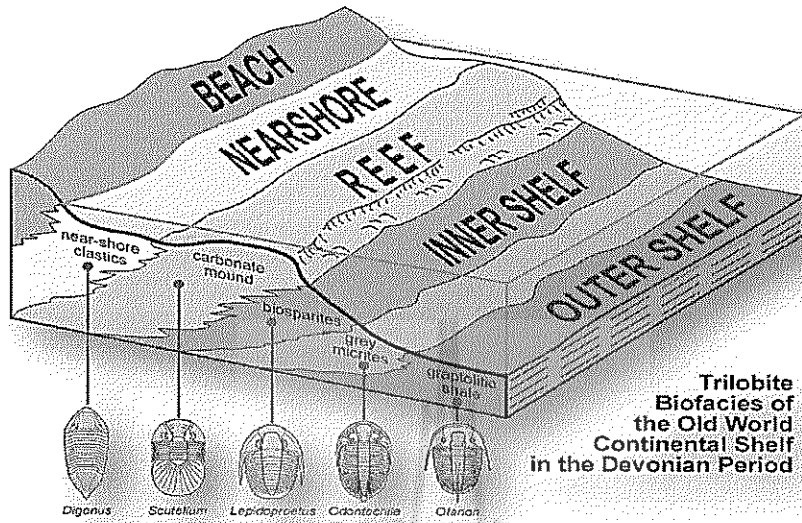


- Lagoon - quiet water, bioturbated shales
- Beach - high energy, cross-bedded sandstone



1. Biofacies

Biofacies: A rock unit differing in biologic aspect from laterally equivalent biotic groups. Lateral variation in the biologic aspect of a stratigraphic unit.

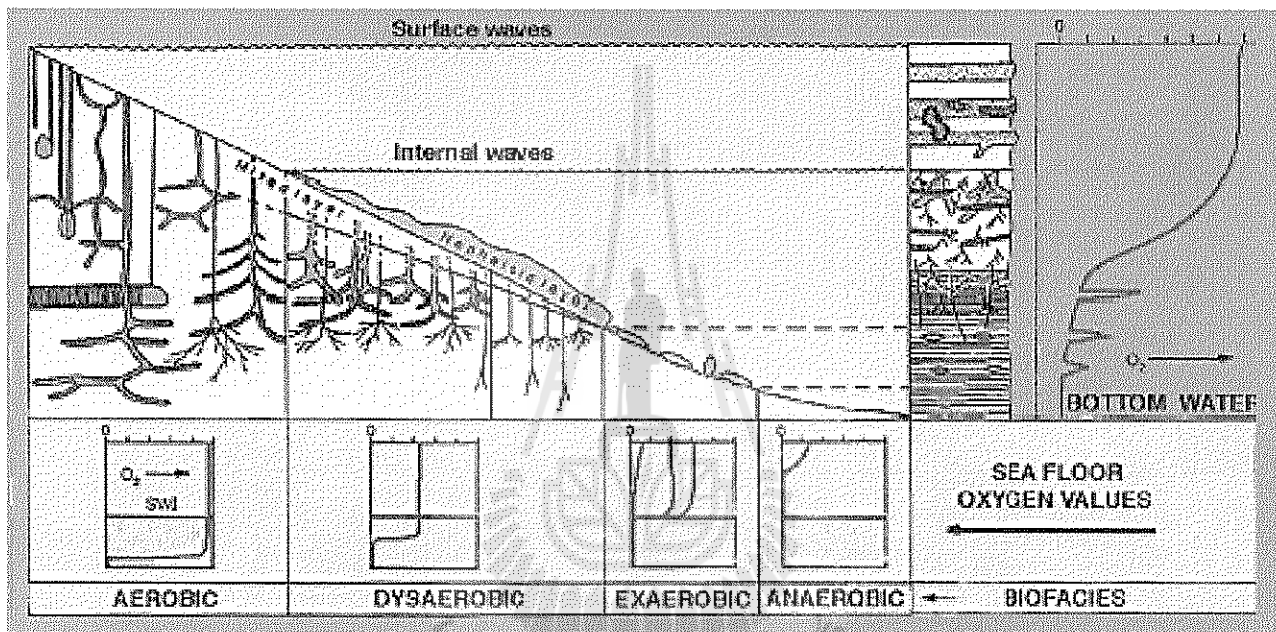


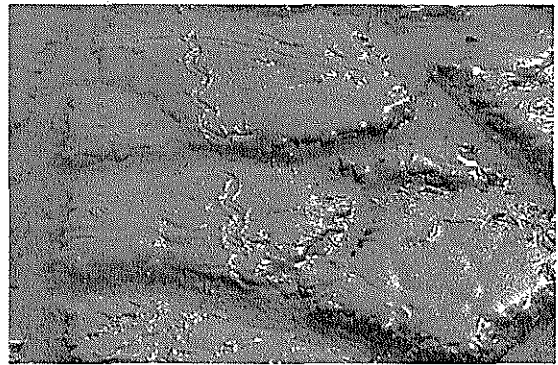
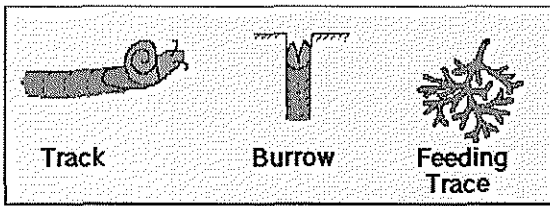
2. Ichnofacies

• The concept of Ichnofacies used as a paleontological tool to analyze assemblages of trace fossils to determine ancient depositional settings and facies of sedimentary rocks.

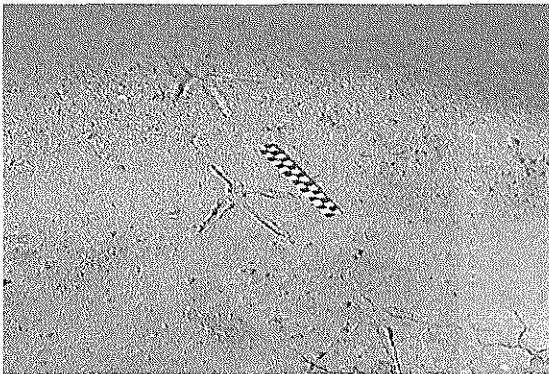
The character determines the ichnofacies assemblage into:

- Soupground: Slurry
- Softground: Grains in contact, but wet Firmground: De-watered, compacted
- Hardground: Cemented





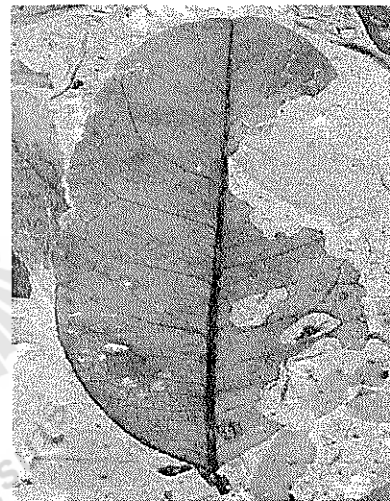
Snake Trail



Bird Track

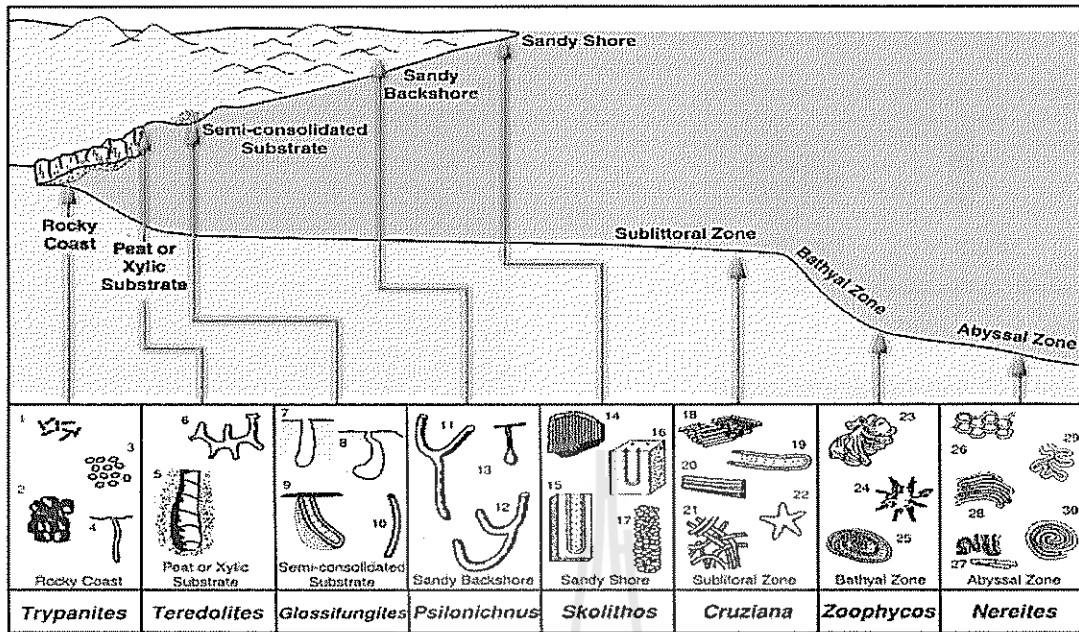


Burrow



Feeding Trace

Example of ichnofacies



after Sellacher image from <http://research.eas.ualberta.ca/ichnology/>

Distribution of Common Marine Ichnofacies

Typical trace fossils include: 1) *Caulostrepis*; 2) *Entobia*; 3) echinoid borings; 4) *Trypanites*; 5) *Teredolites*; 6) *Thalassinoides*; 7, 8) *Gastrochaenolites* or related genera; 9) *Diplocraterion* (*Glossifungites*); 10) *Skolithos*; 11, 12) *Pylonichnus*; 13) *Macanopsis*; 14) *Skolithos*; 15) *Diplocraterion*; 16) *Arenicolites*; 17) *Ophiomorpha*; 18) *Phycodes*; 19) *Rhizocorallium*; 20) *Teichichnus*; 21) *Planolites*; 22) *Asteriacites*; 23) *Zoophycos*; 24) *Lorenzina*; 25) *Zoophycos*; 26) *Paleodictyon*; 27) *Taphrohelminthopsis*; 28) *Helminthoida*; 29) *Cosmorhapha*; 30) *Spirorhapha*.

Distribution of Common Marine Ichnofacies

2.3 Sedimentary Model

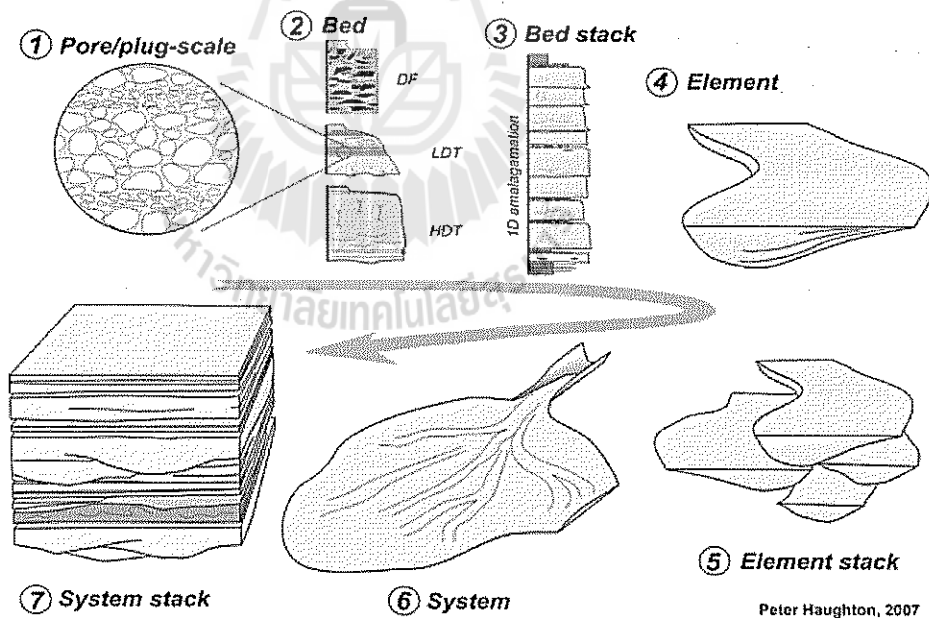
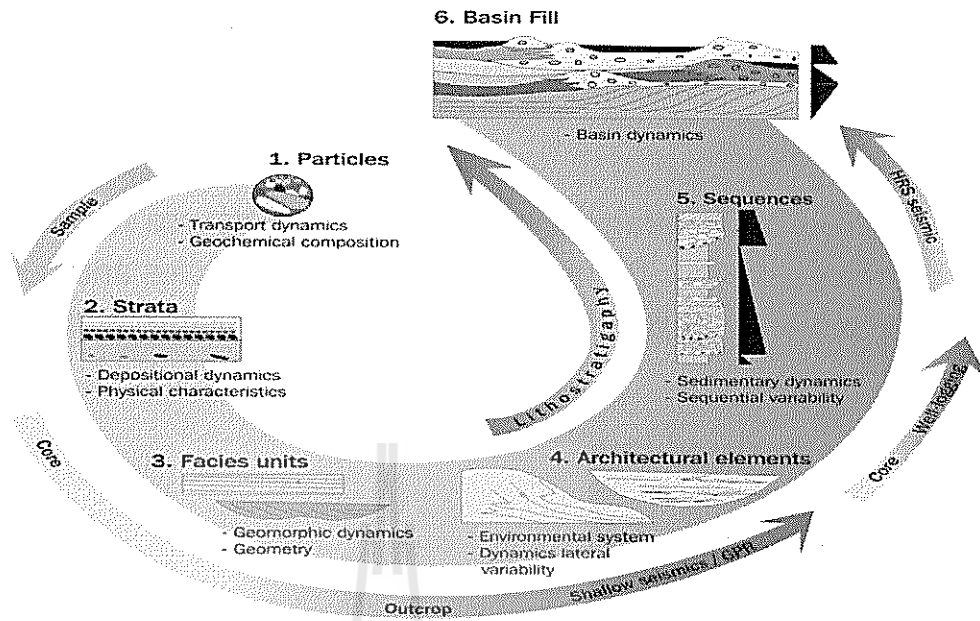
Sedimentary models serve many function can be used to predict:

- the distribution of porosity and permeability within reservoirs
- the distribution of both syngenetic and epigenic ores sedimentary rock (ancient sedimentary environment)

Sedimentary Model

- Sedimentary logs are one-dimensional representations of vertical sedimentary successions
- Architectural elements are the two- or three-dimensional 'building blocks' of a sediment or a sedimentary rock
- The three-dimensional arrangement of architectural elements is known as sedimentary architecture
- Facies models are schematic, three-dimensional representations of specific depositional environments that serve as norms for interpretation and prediction

Architectural elements



Depositional Architecture

Peter Houghton, 2007

Chapter 3

Sedimentary Environment indicators

Purpose:

There are five basic parameters and make data source for over all methodology of subsurface analysis. Before drilling associated facies and geometry can be analyzed and after drilling lithology, sediment structure and paleontology can be analyzed.

- Associated facies
- Geometry
- Lithology
- Sedimentary structure
- Paleontology

Methodology of Facies Analysis

There are five basic parameters:

1. Associated facies: stratigraphy
2. Geometry: seismic data
3. Lithology: core, cutting, wireline log, seismic data
4. Sedimentary structure: core, logs, Seismic
5. Palaeontology: cutting, core

Early State

After Drilling

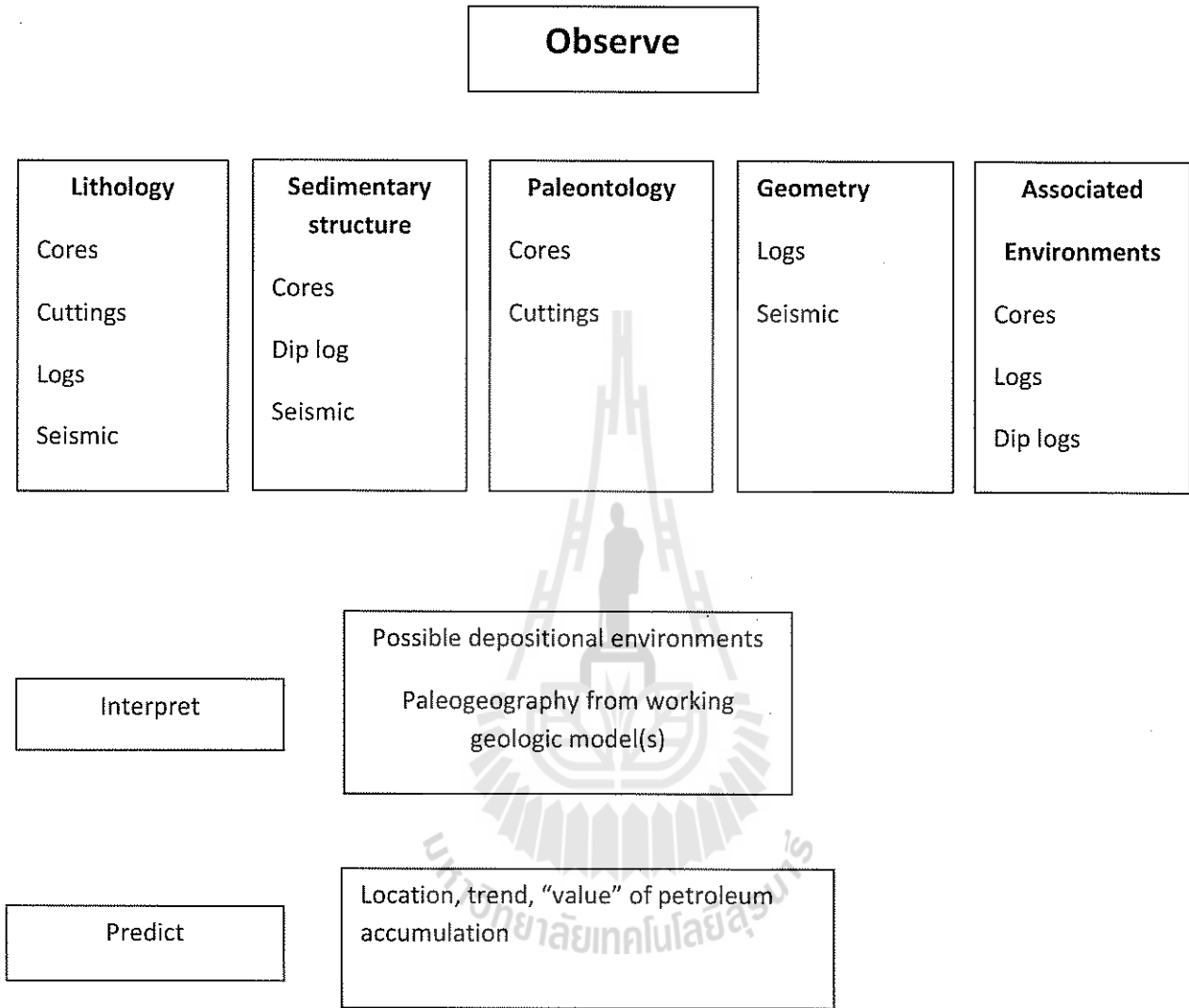


Figure 2-1. Basic parameters and the overall methodology of facies analysis

1. Associate facies

: The nature of laterally and vertically associated lithostratigraphic unit

1.1 Lateral associate facies

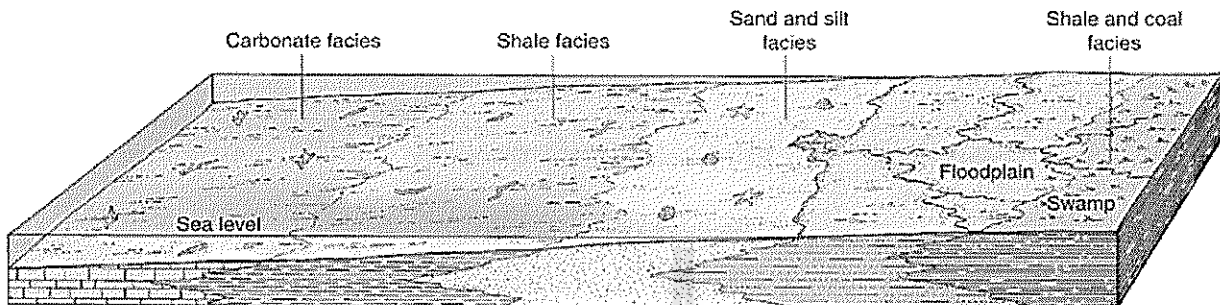


Figure 2-2: showing the lateral association facies

- **Facies** (or lithofacies) developed in the **marine environment**,
 - : **Sand and silt facies** of the beach and nearshore environment
 - : **Shale facies** in deeper, quieter water
 - : **Carbonate facies** are far from shore in warm shallow seas
 - : **Shale and coal facies** develops in a **swamp** area on a **delta**

1.2 Vertical sequence

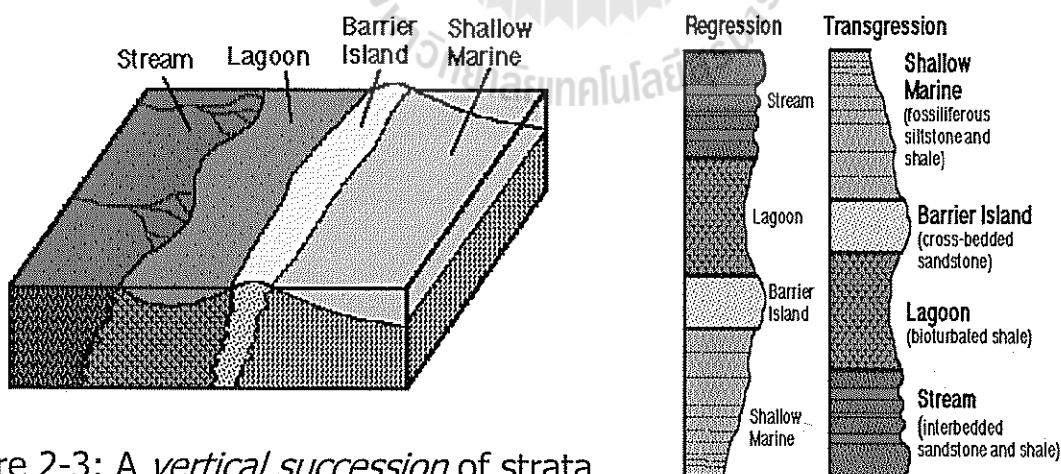


Figure 2-3: A *vertical succession* of strata represents progressive passage of time, either continuously at the scale of observation (conformable) or discontinuously (unconformable).

Walther's Law

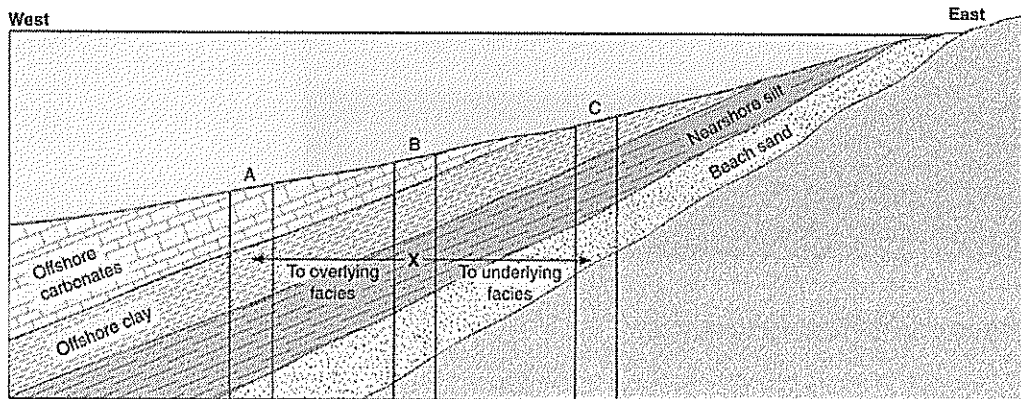


Figure 2-4: The vertical sequence of facies mirrors the original lateral distribution of sedimentary environments.

Laterally & Vertically Associated

The nature of laterally and vertically associated lithostratigraphic unit:
The environment that show the completed depositional environment such coastal (Lateral) and shallow marine (Vertical):

- **Sea level Rise (Transgression)**
- **Sea level Drop (Regression)**

Sea Level Change

Causes of Sea Level Change

1. **Changes in the size of the polar ice caps**, due to climatic changes

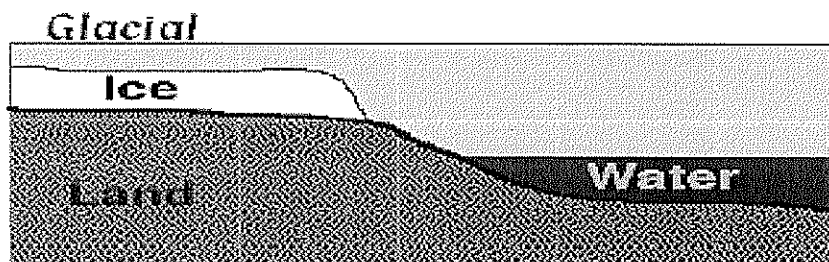


Figure 2-5: growth of ice cap- Regressive

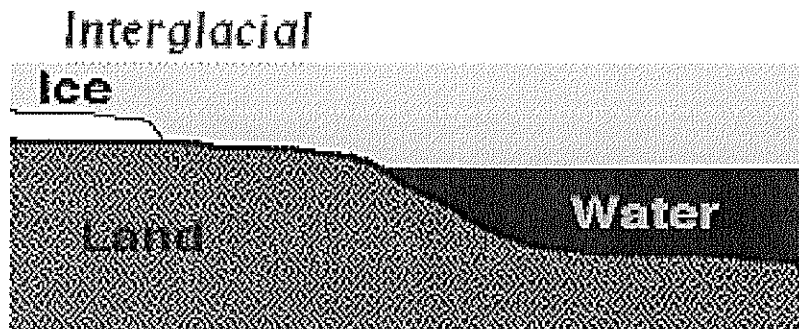


Figure 2-6: glaciers melt-Transgressive

2. Rate of seafloor spreading

When seafloor spreading is active the mid-oceanic ridges expand due to increased heat flow, resulting **displacing water onto the edges of the continents (transgression)**.

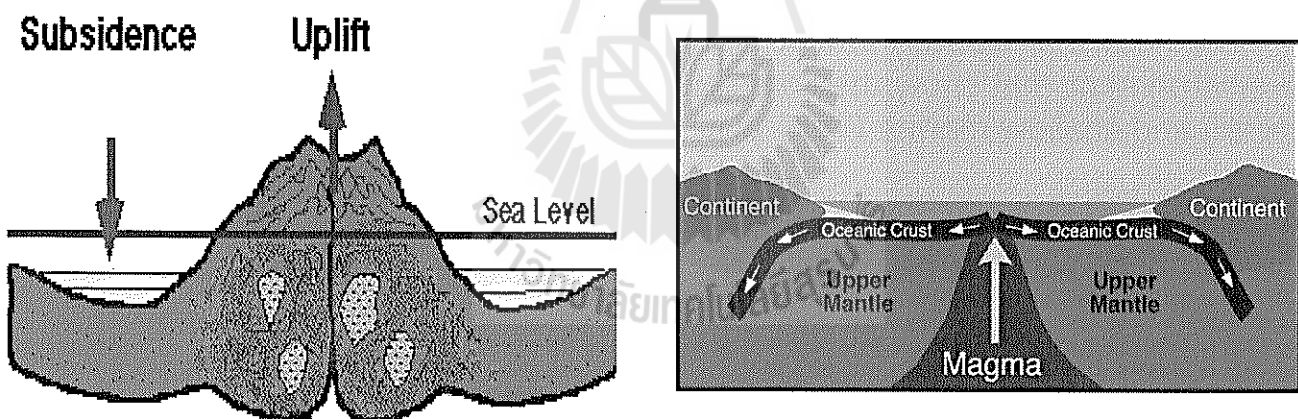


Figure 2-7: seafloor spreading in mid oceanic ridges (left) and displacement of water onto the edges of the continents (right)-cause to the transgressive

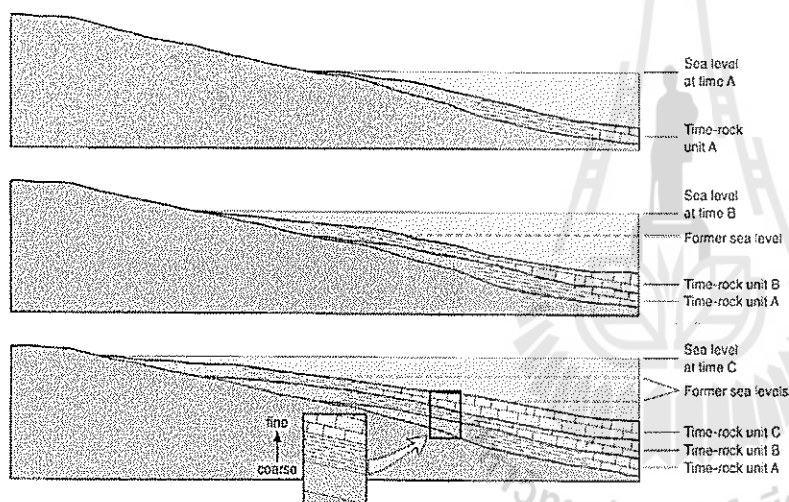
3. Localized subsidence (Transgressive) or Uplift of the land (Regressive)

Facies vs. sea level changes

1. Transgression (sea level rise)

- produce a vertical sequence of facies representing progressively **deeper** water environments

(a **deepening-upward** or **fining upward sequence**)-**Onlap sequence**
: offshore facies deposited over nearshore facies (Landward)



Caused by

- melting of polar ice-caps
- displacement of ocean water by undersea volcanism
- subsidence of the land in coastal areas.

2. Regressive (Sea level drop)

: produce a sequence of facies representing progressively shallower water environments

(**shallowing-upward** or **coarsening-upward** sequence)-**Offlap** sequence.

: nearshore facies deposited over offshore facies. (Seaward)

Caused by

- buildup of ice in the polar ice caps
- uplift of the land in coastal areas

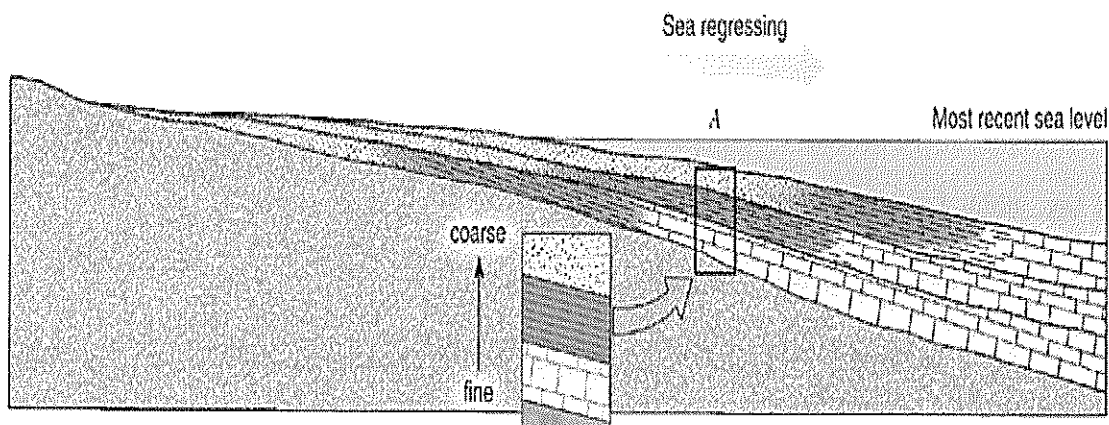
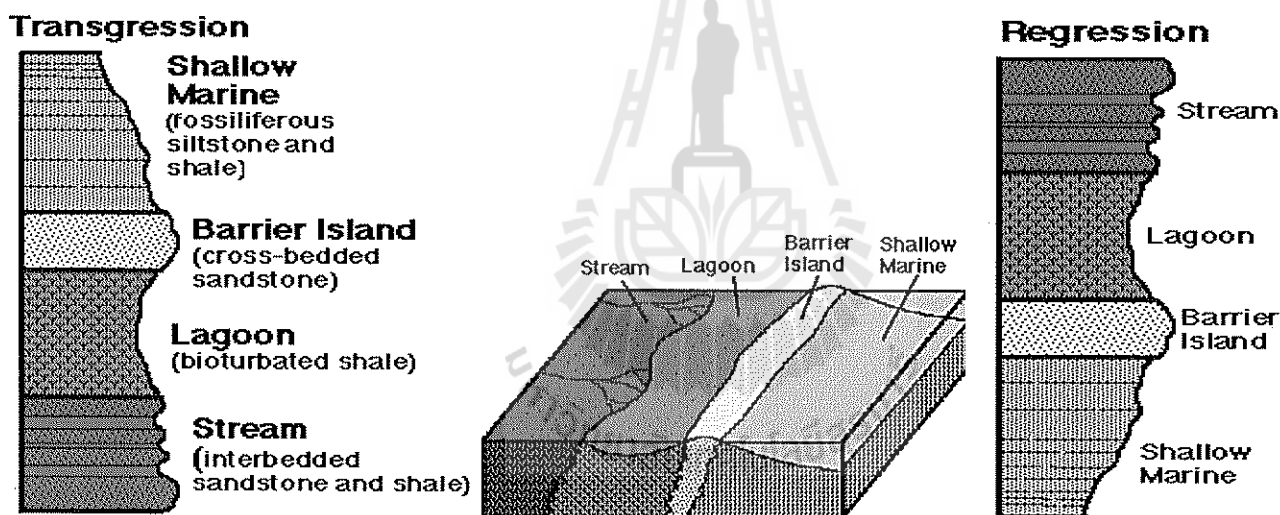


Figure 2-8: Facies of Regressive Sequences along the coastal



Transgressive sequence
 Deepening upward.
 Fining upward.

Regressive sequence
 Shallowing upward.
 Coarsening upward.

Figure 2-9: Facies of Transgressive and Regressive Sequences

Example: Nonmarine and Marine facies

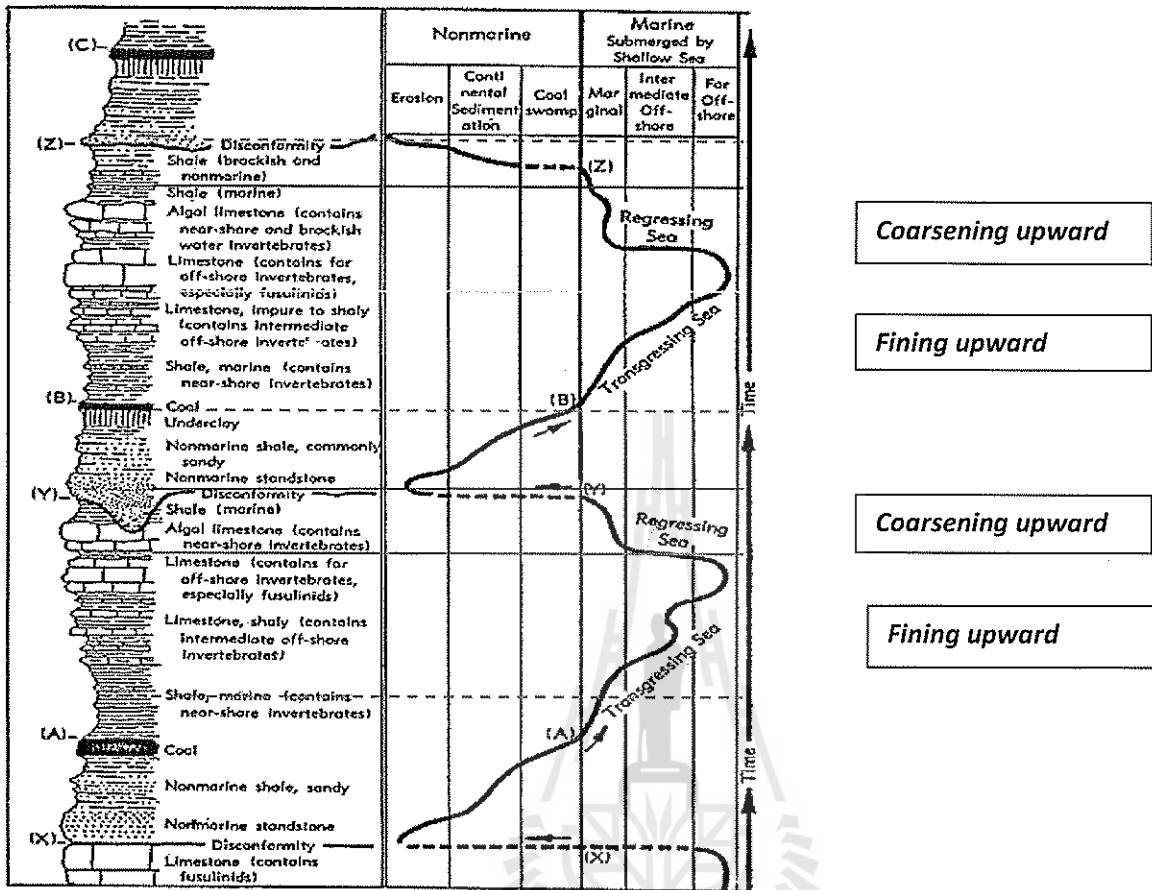


Figure 2-10: example of nonmarine and marine facies

2. Geometry

The overall shape of lithofacies maybe deformed controlled by:

- 1) Depositional Surface (Original)
- 2) Sedimentary Supply (nature & amount)
- 3) Depositional Currents (Intensity & Direction)
- 4) Climate
- 5) Paleoslope

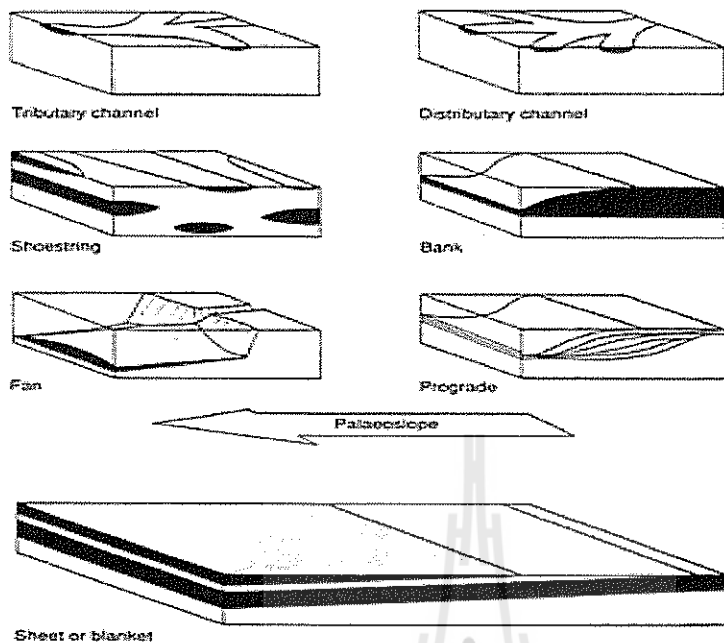


Figure 2.1 Cartoons of various facies shapes. Note that shape alone may not be diagnostic. Channels and fans occur in a range of environments from fluvial to deep sea. Shoestring sands may be beaches, barrier islands or tidal sand waves.

Figure 2-11: Shape of lithofacies controlled by Depositional Currents

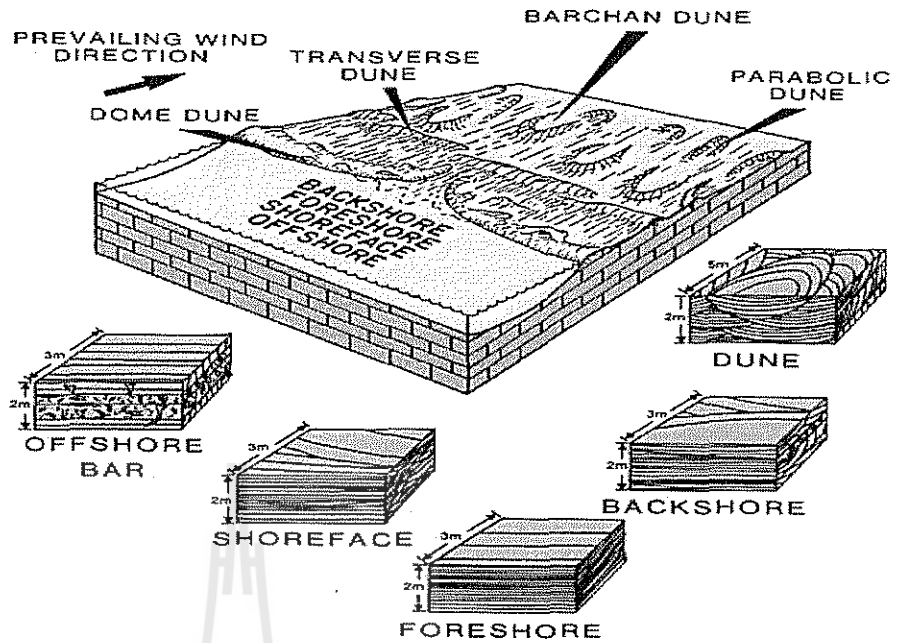
		EVENT TYPES	DEPOSITS	BEHAVIOUR
DEBRIS FLOW	COHESIVE		Debrite D	
CO-GENETIC FLOWS	TRANSITIONAL		'Linked' debrite LD	
SLURRY FLOW			'Banded' sandstone SF	
HIGH-DENSITY TURBIDITY CURRENT	NON-COHESIVE		HDT	
LOW-DENSITY TURBIDITY CURRENT			LDT	

Peter Houghton, 2006

Figure 2-12: Shape of lithofacies controlled by Depositional Currents and fluid flow

Depositional Geometry

Shape of lithofacies may be referred to each of depositional environment



Some case of geometry & depositional environment

Same geometry but different environment

- **Channel:** Fluvial/Deltaic/Tidal/Submarine
- **Fan:** Alluvial/Deltaic/ Submarine

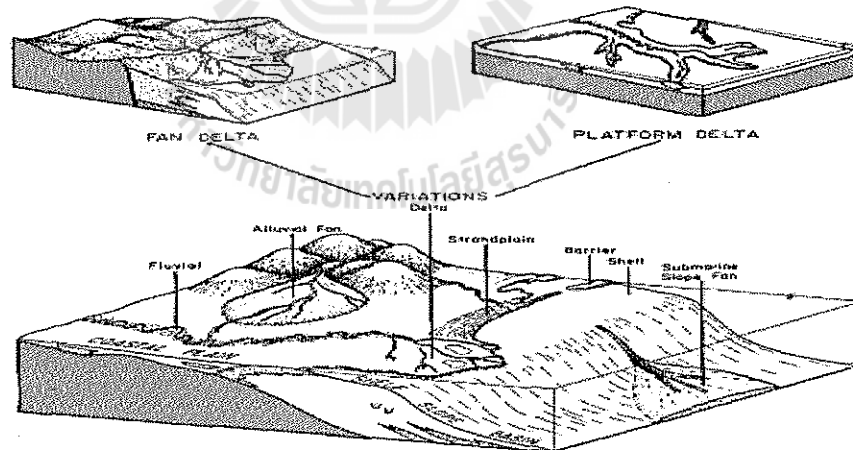


Figure 2-14: Fan Geometry: Alluvial/Deltaic/Submarine

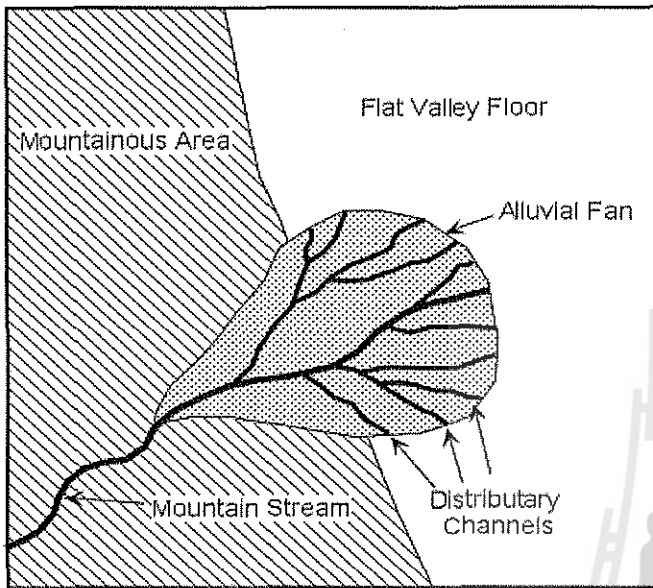
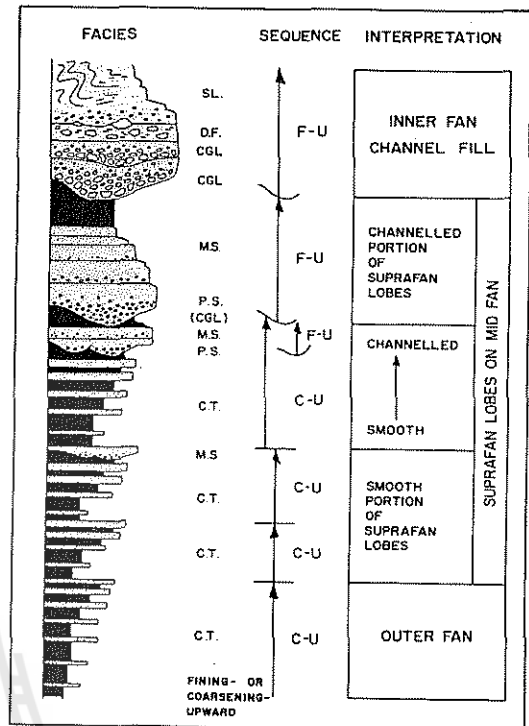


Figure 2-15: Alluvial fan geometry



Delta Fan Geometry

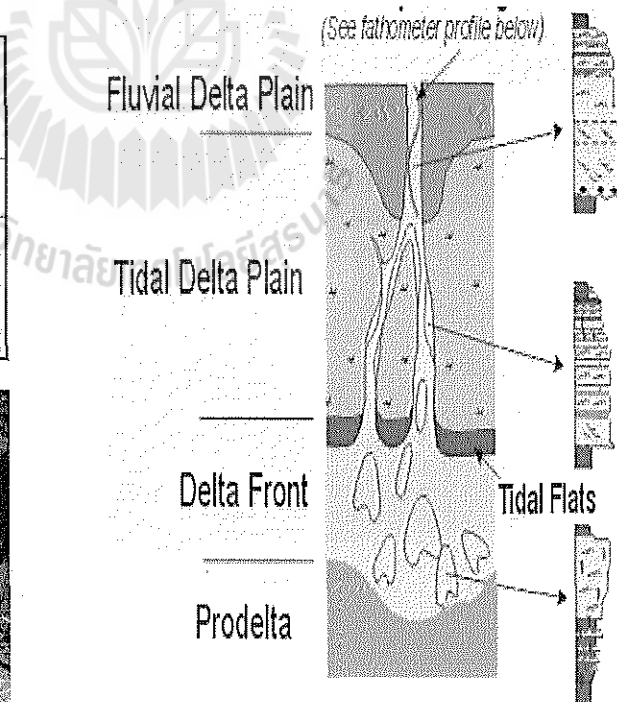
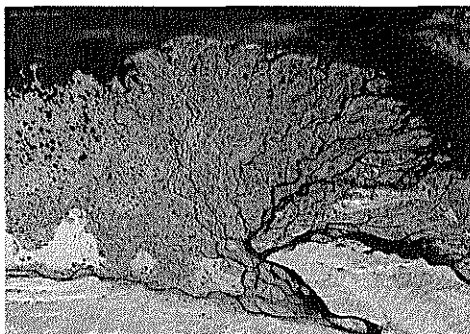
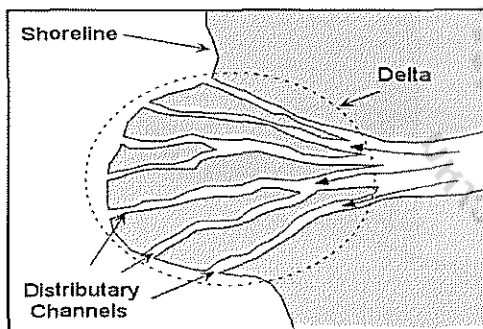


Figure 2-16: Delta Fan Geometry

3. Lithology

Lithology: *The systematic description of rocks, in terms of mineral composition, grain size, color and texture.*

Source of data (Subsurface geology):

1. **Direct information:** cutting and core sample
2. **Indirect information:** Wire line log and seismic data

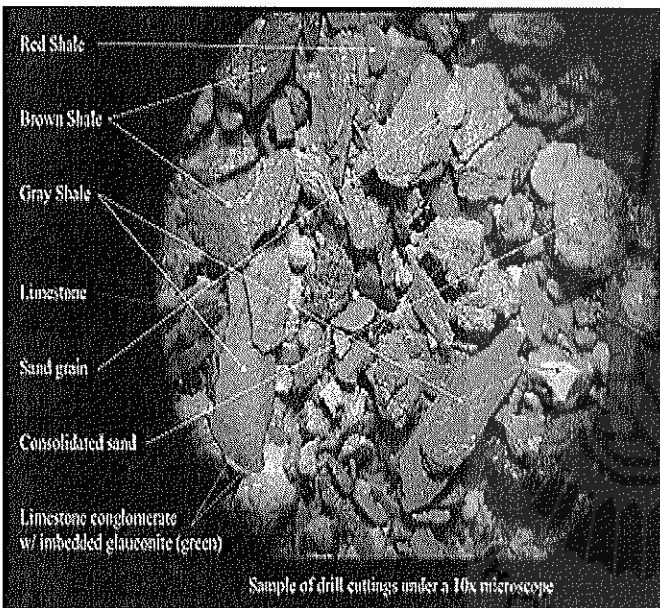


Figure 2-17: Lithologic symbols from cutting sample

LITHOLOGIC SYMBOLS		
GRAVEL	GRAVELLY SEDIMENT	SAND
SILTY SAND SANDY SILT	CLAYEY SAND SANDY CLAY	SAND SILT CLAY
SILT	CLAYEY SILT SILTY CLAY	CLAY

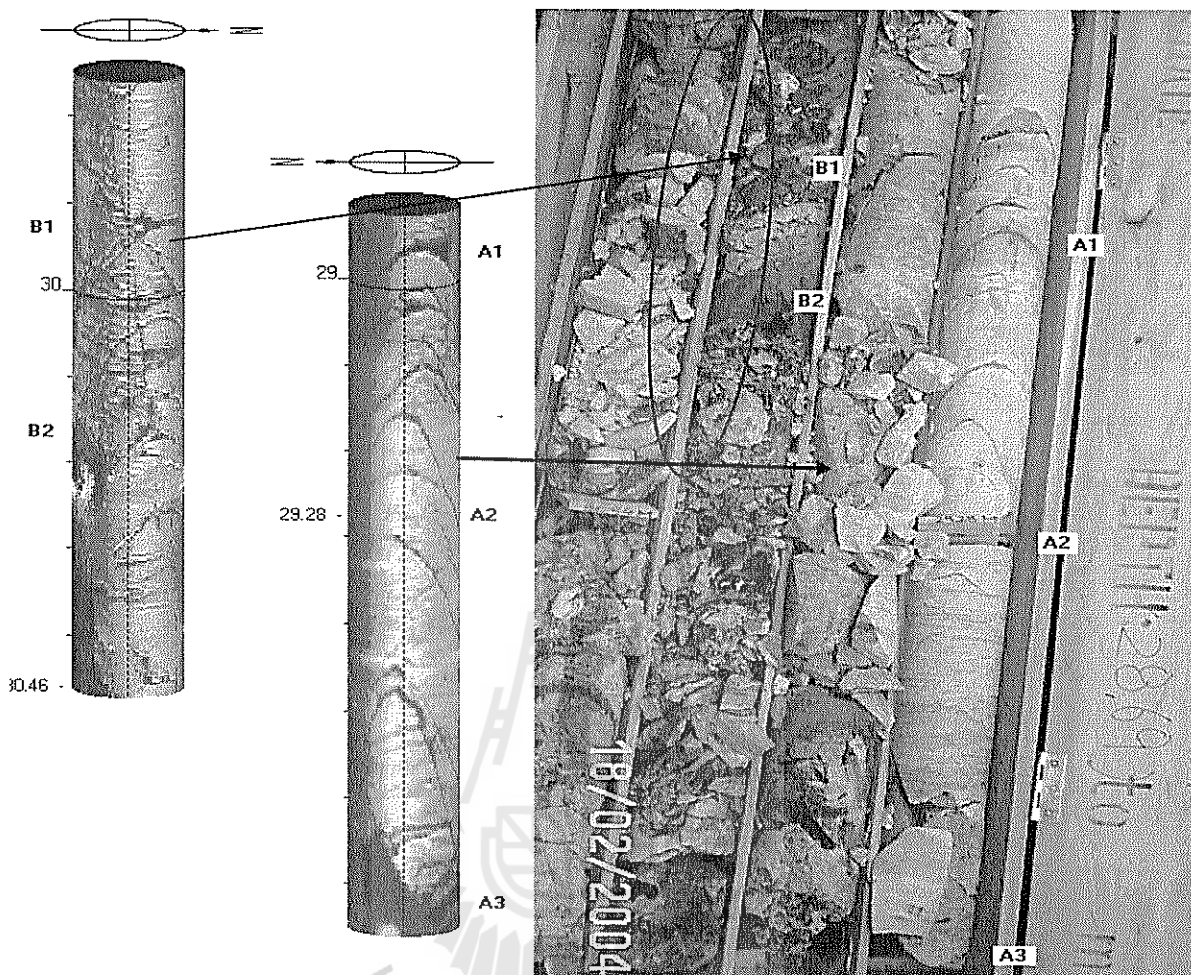


Figure 2-18: Lithology from Core sample

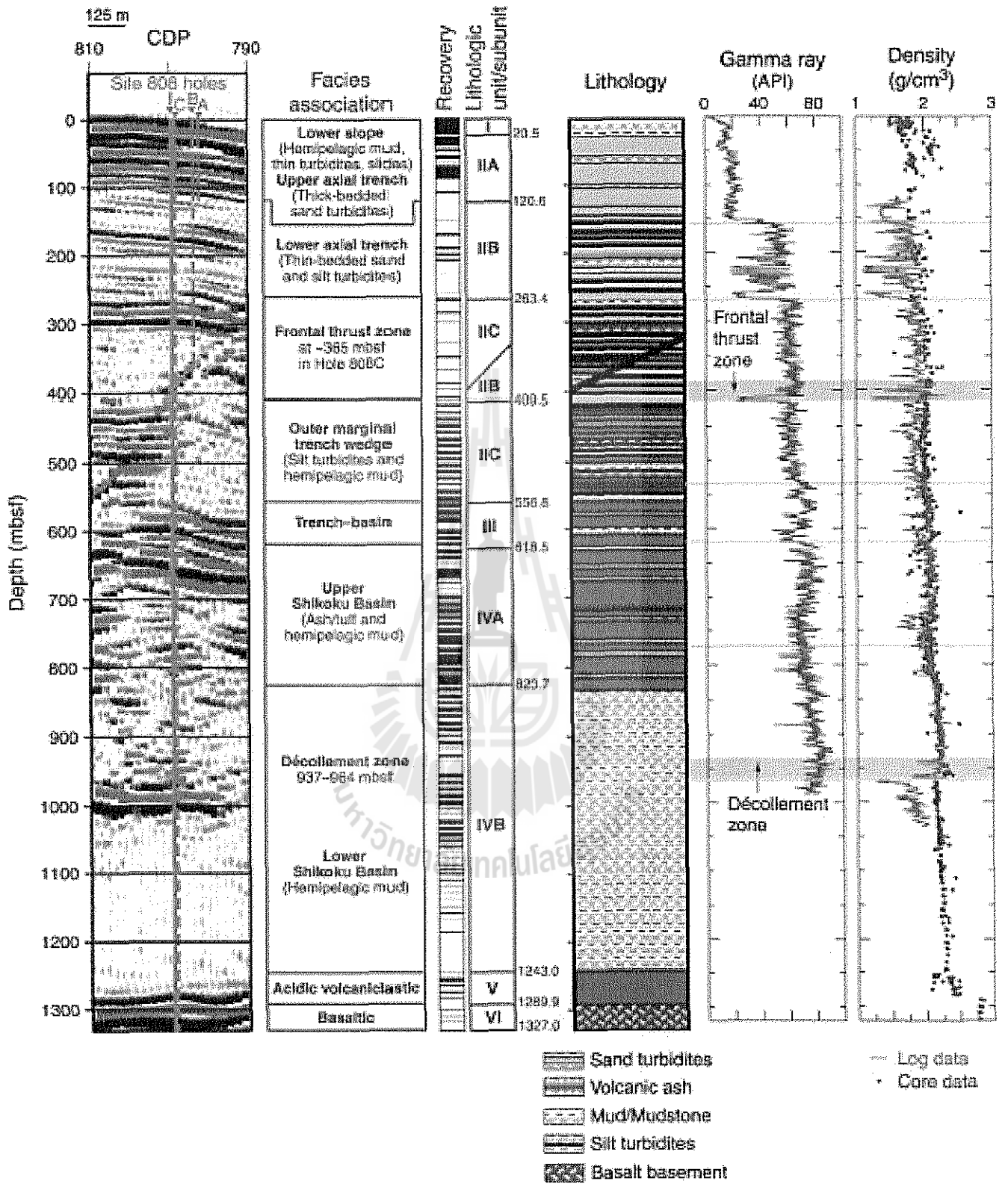


Figure 2-19: Seismic data, well log vs. lithology

Lithology Interpretation

Sedimentary rocks give important clues to the *geologic history* of an area

1. Source area

Study of direction and distance

: Sediment composition, shape, size and sorting are indicators of source rock type and relative location

2. Environmental Deposition:

Location where sediment came to rest

: Sediment characteristics and sedimentary structures (including fossils)

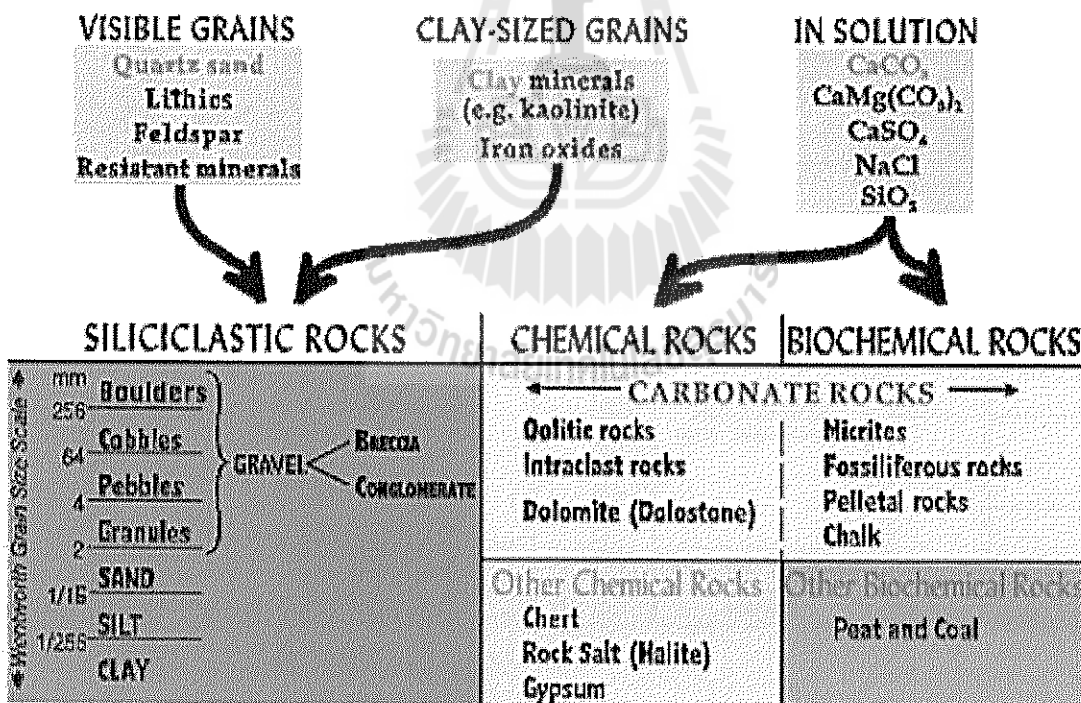


Figure 2-20: Classification of Sedimentary Rocks

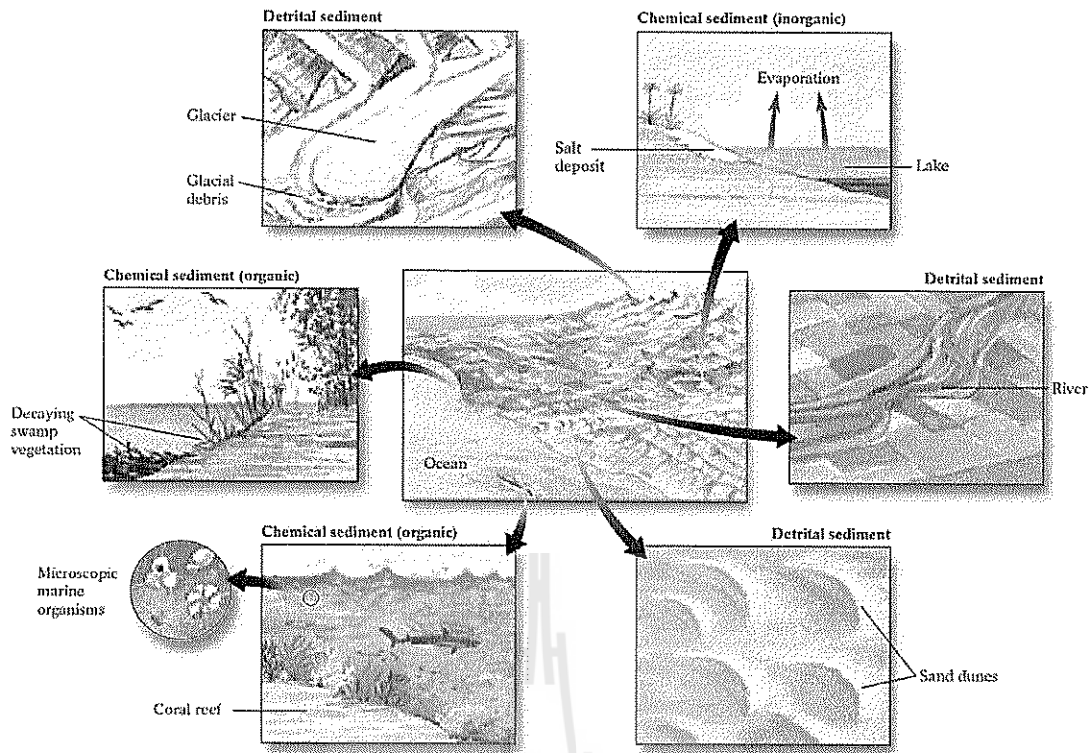


Figure 2-21: Types of Sediments

Clastic or Detrital Sediments

- Weathering & erosion from host rock
- Visible grains: texture
- Qtz, Feldspar, other resistance minerals

Clastic sediments: Source area interpretation

Texture

- **Grain Size:** Power of Transport
- **Grading:** Coarse or fine grain –energy level
- **Grain Shape:** Rounding – distant from origin
- **Sorting:** selecting of the grained size-energy level
- **Orientation:** current of water or wind, or flow direction
- **Transport, Reworking:** energy level
- **Color and Chemistry**

- Red Beds - Often Terrestrial, high oxygen (Oxidization)
- Black Shale - Oxygen Poor, Often Deep Water (reducing)

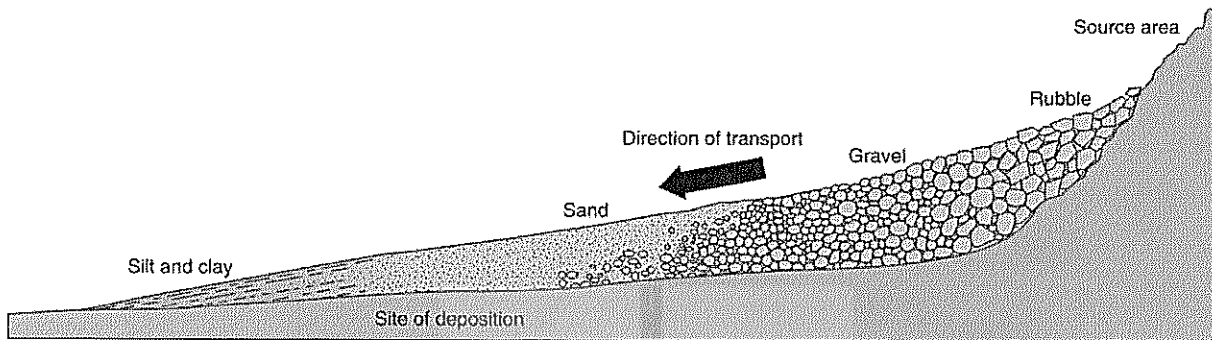


Figure 2-22: Texture of sediment indicates the depositional environment

Textural Interpretation of Clastic Sedimentary Rocks

Texture refers to the size, shape, sorting, and arrangement of grains in a sedimentary rock.

- 1. Clasts** - larger grains in the rock (gravel, sand, silt).
- 2. Matrix** - fine-grained material surrounding clasts (often clay/silt).
- 3. Cement** - the "glue" that holds the rocks together.
Silica (quartz, SiO_2), Calcite (CaCO_3), and Iron oxide Other minerals

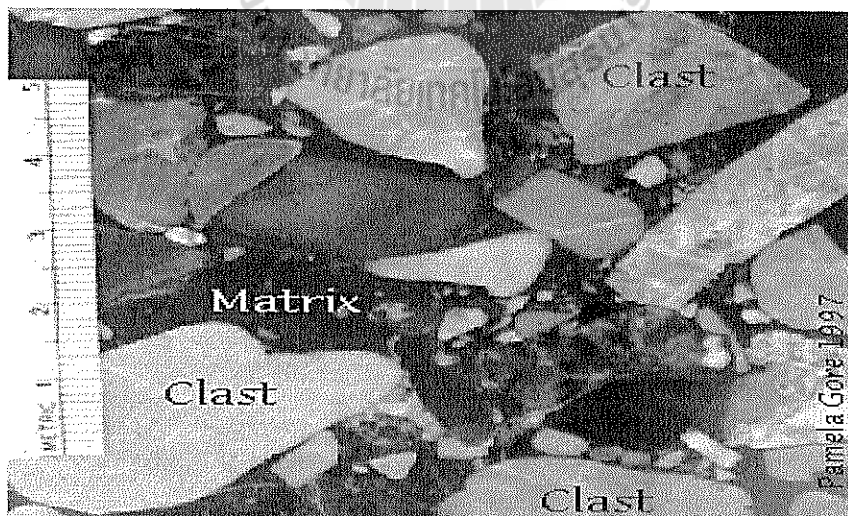


Figure 2-23: Clasts and matrix (labelled), and iron oxide cement (reddish brown color)

Clastic Sediment Textures

Maturity:

Chemical and physical weathering gradually breaks down rock to quartz and clay minerals. Maturity is a measure of this process.

Depends on: Time, Climate, Transport History, Depositional Environment.

1. **Immature:** poorly sorted, clays + mineral fragments (olivine, pyroxene, amphibole, etc.), rock fragments. Grains are angular and vary in size.
2. **Mature:** well sorted, no clays, mostly made up of rounded quartz grains.

Process:

- **Transportation:** Rounding - increases with length of transportation history.
- **Sorting:** increases with length of transportation history (weaker minerals broken down).
- **Deposition:** any process that lays down *material*.
- **Environment of Deposition:** location in which deposition occurs.
- **Preservation:** deposition and burial in a basin. Reworking degrades preservation.

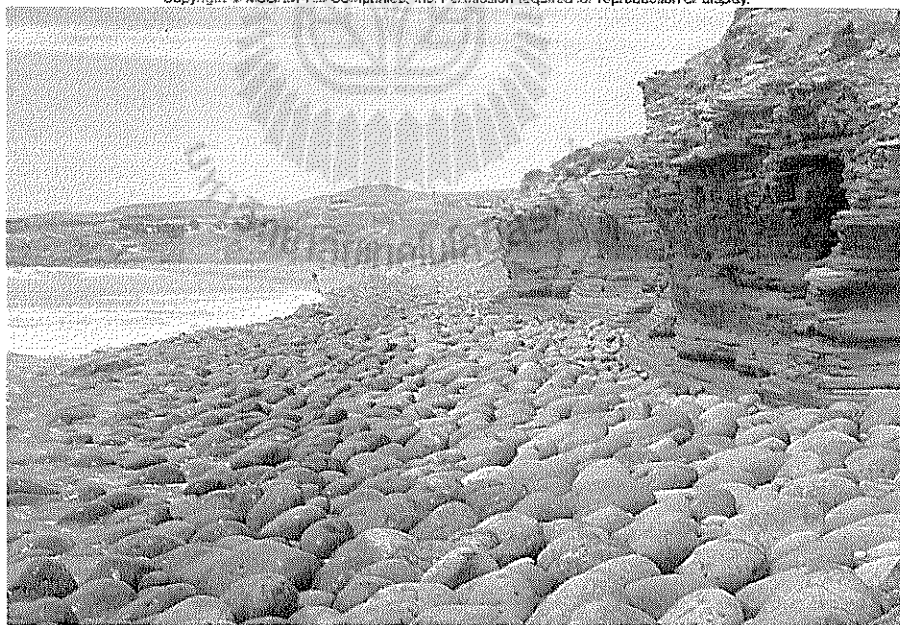


Figure 2-24: Transportation: Rounding - increases with length of transportation history.

**Transportation
Silt & Clay
Low energy**

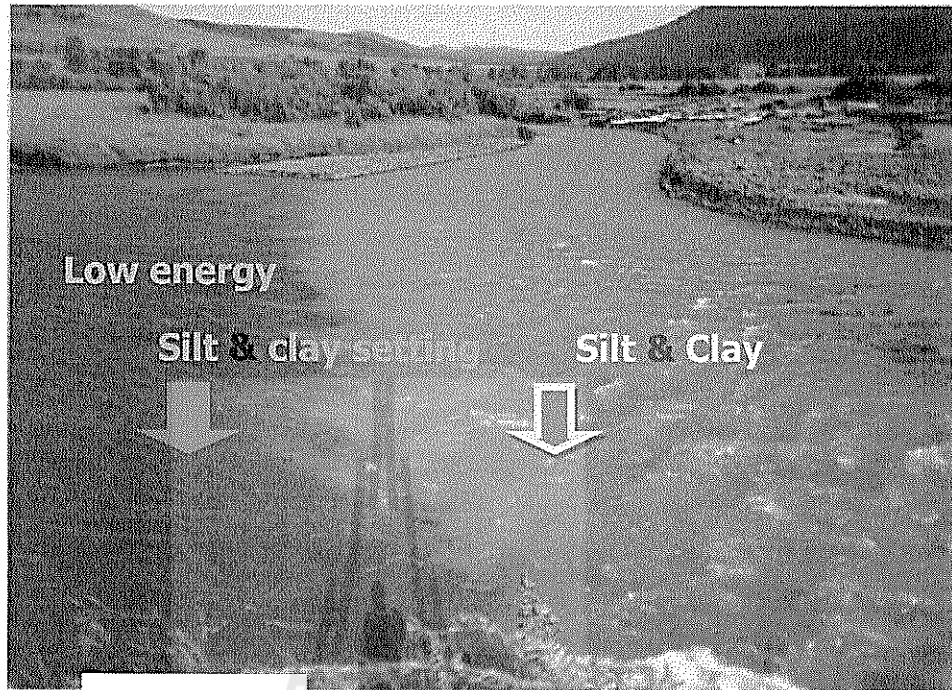


Figure 2-25

The river on the right is carrying only silt and clay as it enters the clear river on the left. This fine sediment may come to rest at the mouth of a river where it enters a lake or the sea.

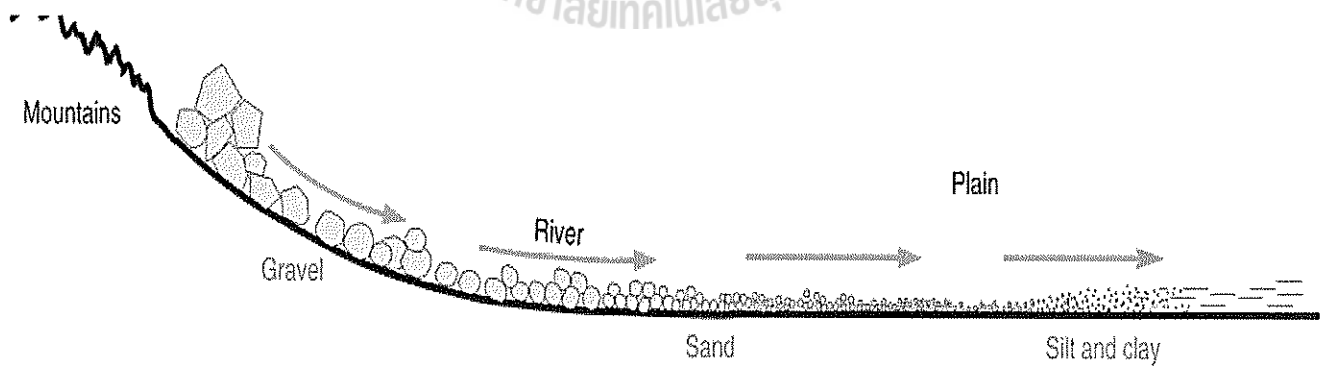


Figure 2-26: Sorting increases with length of transportation history (weaker minerals broken down).

Deposition: any process that lays down material.

Environment of Deposition: location in which deposition occurs.



Figure 2-27: Deposition of river sediments depend on the water energy

Example of clastic sedimentary rocks



Figure 2-28: Conglomerate: coarse (> 2 mm), rounded clasts (gravel) + finer groundmass.

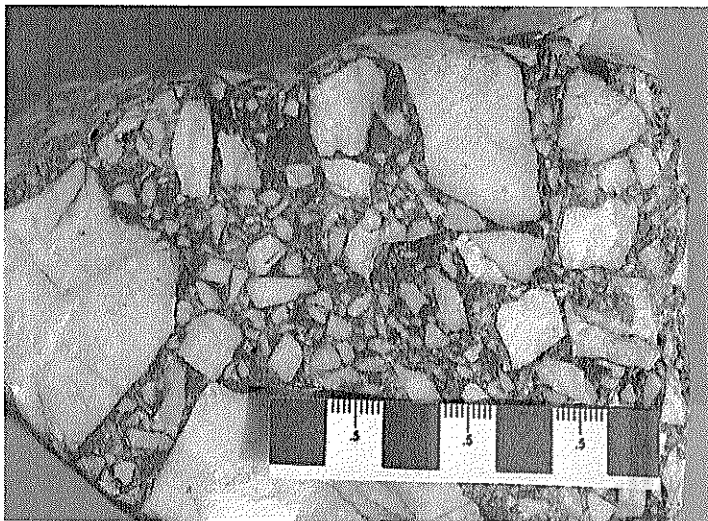
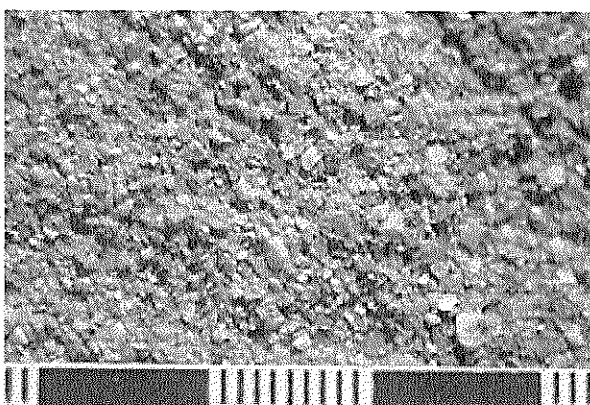
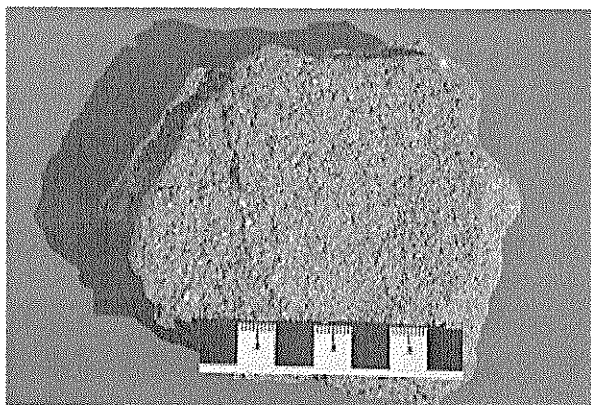
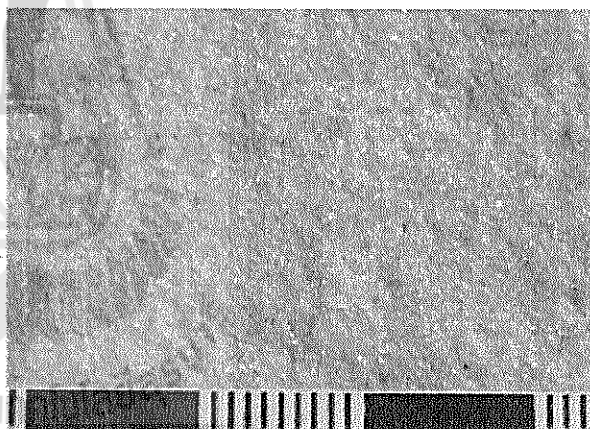
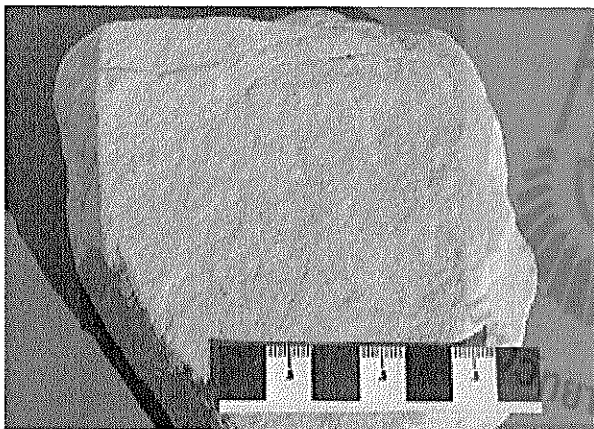


Figure 2-28: Breccia: coarse (> 2 mm), angular clasts (gravel) + finer groundmass.

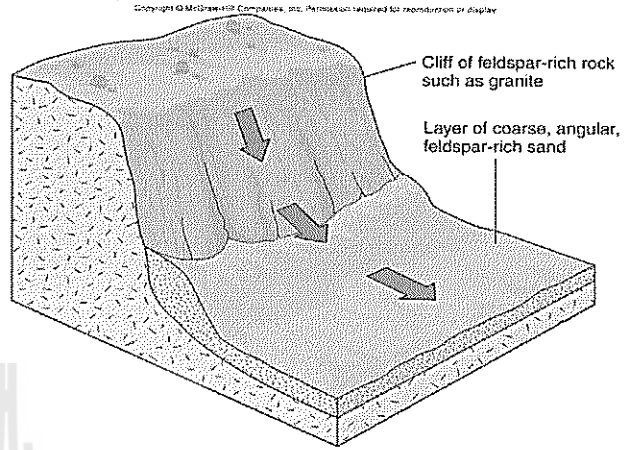
Figure 2-29: Sandstone: medium (1/16-2 mm), 90% quartz + matrix.



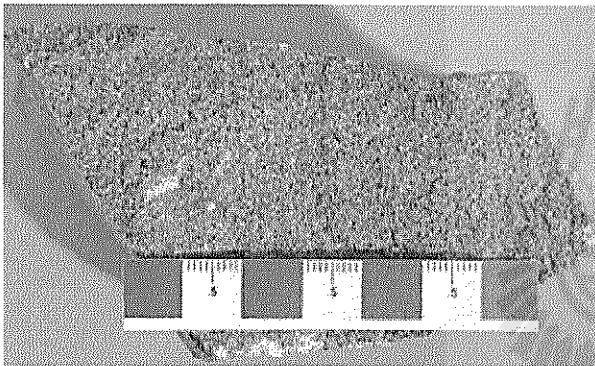
:

Siltstone: fine (1/256 – 1/16 mm), fine-grained sandstone, feels gritty.

Figure 2-30: Area of deposition close to area of erosion - feldspar weathers



Greywacke



turbidity

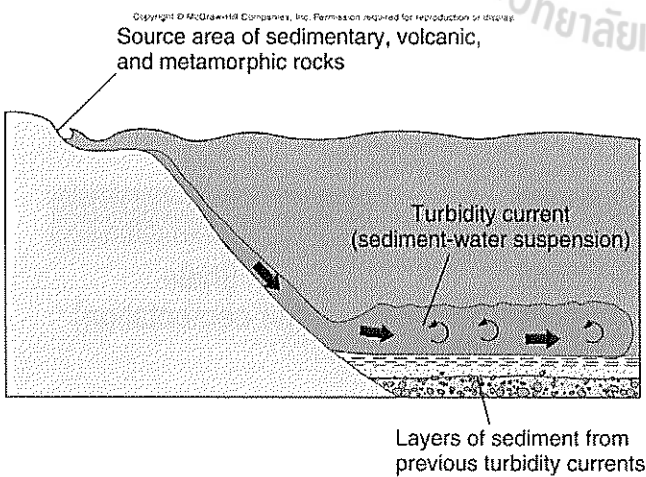
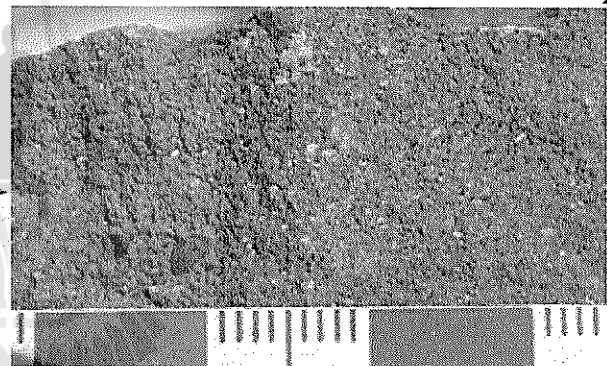


Figure 2-31: Earthquake triggers slumping of sediments down continental slopes. Can form V-shaped

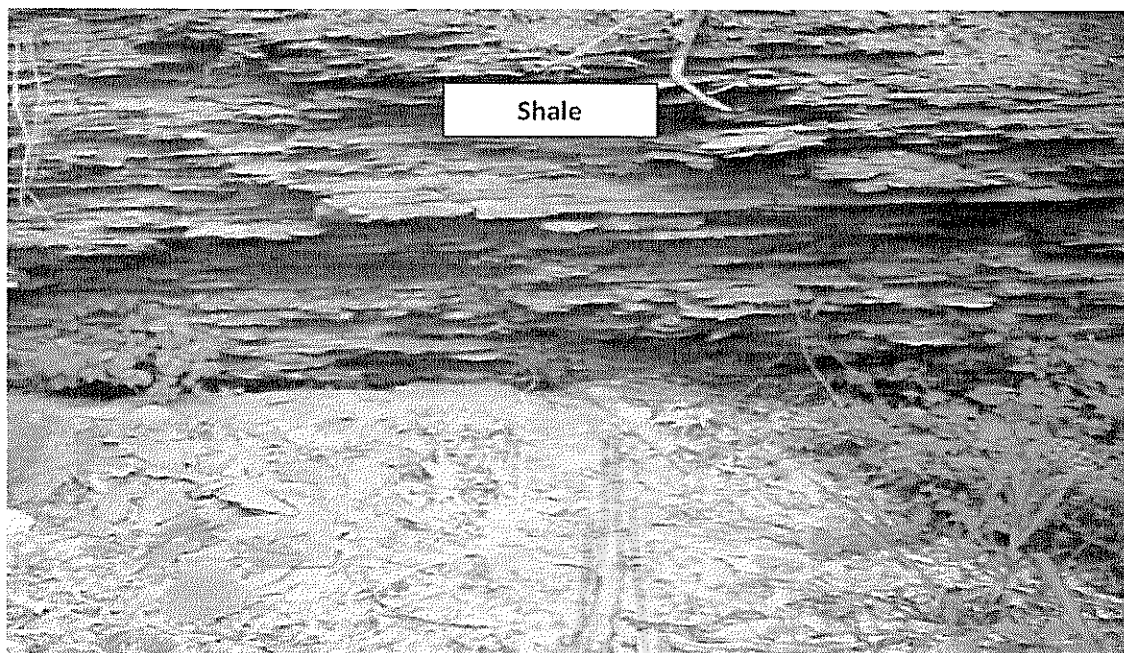


Figure 2-32: shale bed show the high organic matter

Shale: mostly clay, *fissile* (splits because of preferred orientation of clays). Feels smooth. Quiet deposition.

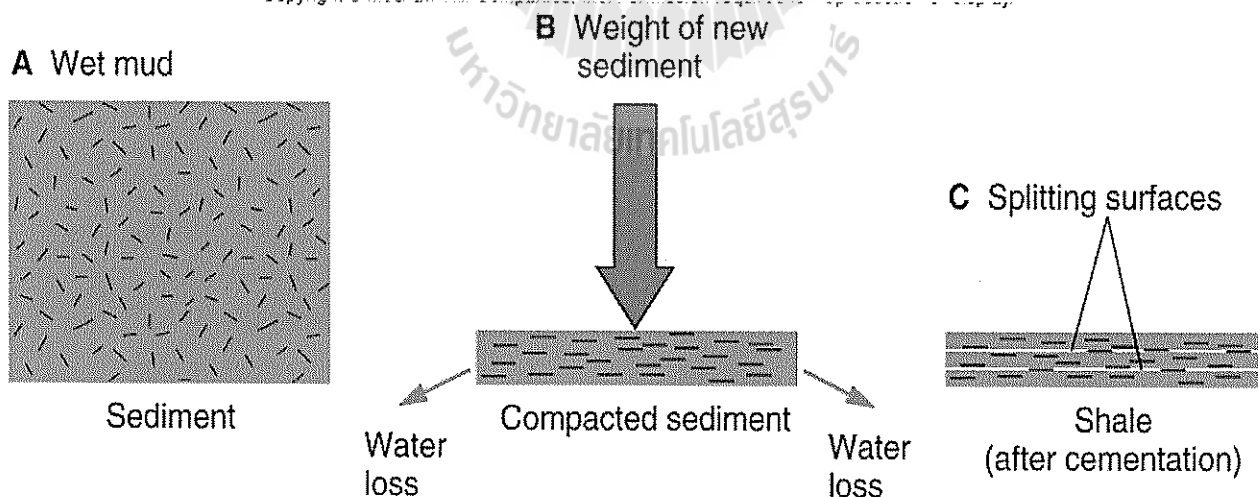


Figure 2-33: Stage of shale forming

Grain size

The **texture** of a sedimentary rock can provide clues to the **depositional environment**.

- **Fine grain: quiet water (low energy).**
- **Coarse grain: higher energy (higher water velocity)**

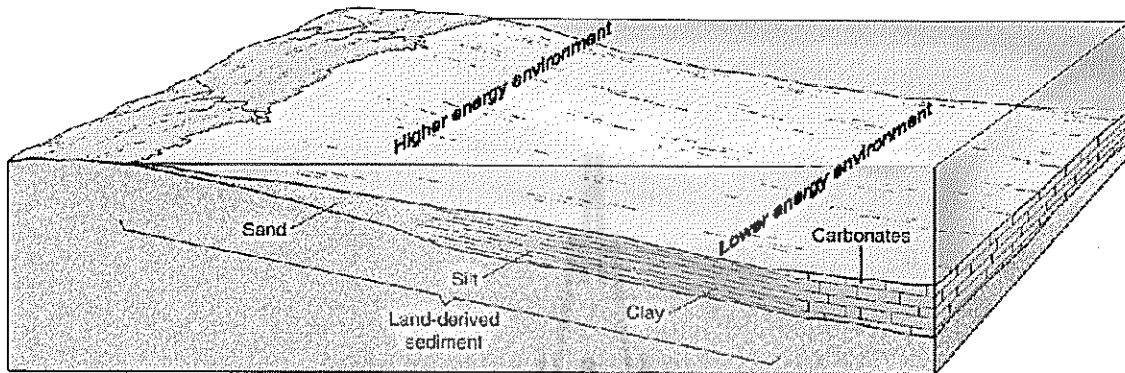
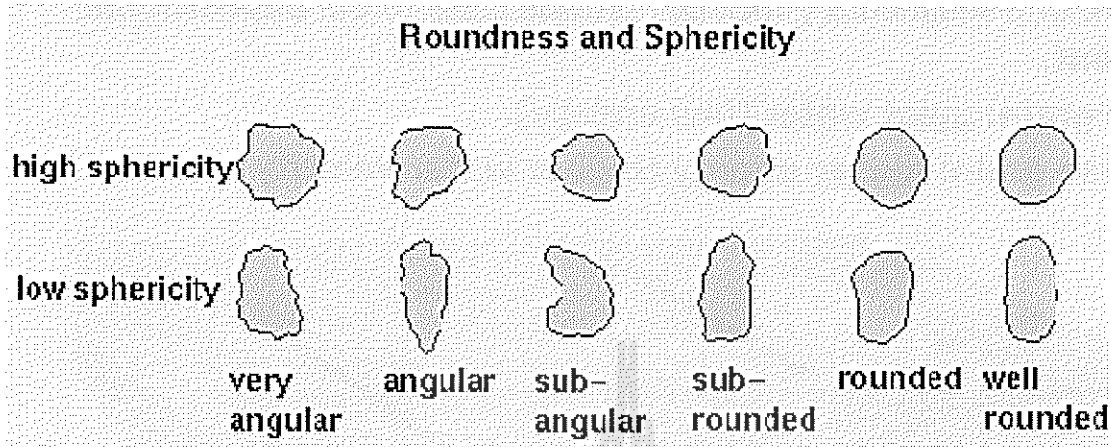


Figure 2-34: Relationship of grain size and energy current

Grain or particle size characteristics of common clastic sedimentary rocks. Note rock names.		
Wentworth Size Scale Wentworth(1922)	Grain Size Name	Rock Name
>256 mm	Boulders	Conglomerate (rounded clasts) Breccia (angular clasts)
64 - 256 mm	Cobbles	
4 - 64 mm	Pebbles	
2 - 4 mm	Granules	
1 - 2 mm	Very coarse sand	Sandstone (e.g., quartz arenite, arkose, lithic sandstone)
0.5 - 1 mm	Coarse sand	
0.25 - 0.5 mm	Medium sand	
0.125 - 0.25 mm	Fine sand	
0.0625 - 0.125 mm	Very fine sand	
0.0039 - 0.0625 mm	Silt	Siltstone
<0.0039 mm	Clay	Shale, Mudstone, Claystone

Figure 2-35:table show the clastic sedimentary rock classification with grain size

Grain Shape



Sphericity: refers to shape of grain

Roundness: refers to the roughness of surface

- **Angular** ขอบและมุมยังเป็นหยักและคมอยู่
- **Subangular** ผิวยังไม่ถูกขัด ขอบและมุมมนเข้ามาหน่อย
- **Subrounded** ผิวถูกขัดบางส่วน ขอบและมุมมนและโค้ง
- **Rounded** ผิวเต็มถูกขัดเกือบหมดยกเว้นบางส่วน
- **Well Rounded** ไม่มีผิวเต็มเหลืออยู่เลยเพราะถูกขัดจนมนและกลมหมดแล้ว

Grain shape indicate the distant from the source (Roundness/Sphericity)

- Sediments **closer** to source (traveled less)

- poorly sorted
- angular
- larger grain sizes

- Sediments **farther** from source (traveled more)

- rounded
- smaller grain sizes

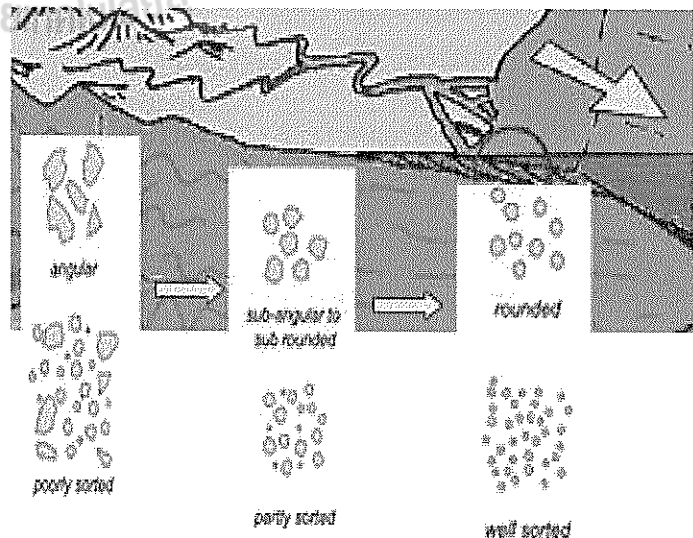


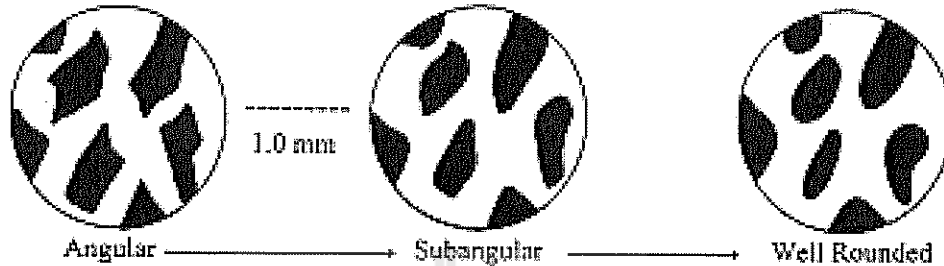
Figure 2-36: Grain shape indicate the distant from the source

: Roundness/Angularity:

Transport by **wind or water** – rounding occurs.

Transport by **ice or gravity** – angular.

B) Rounding



: Sorting (Grain relationship)

Degree of Sorting

Selection/separation of grains is on the basis of size, shape, specific gravity.

Poorly sorted: fast deposition, high energy.

Well sorted: slow deposition, less chaotic, low energy

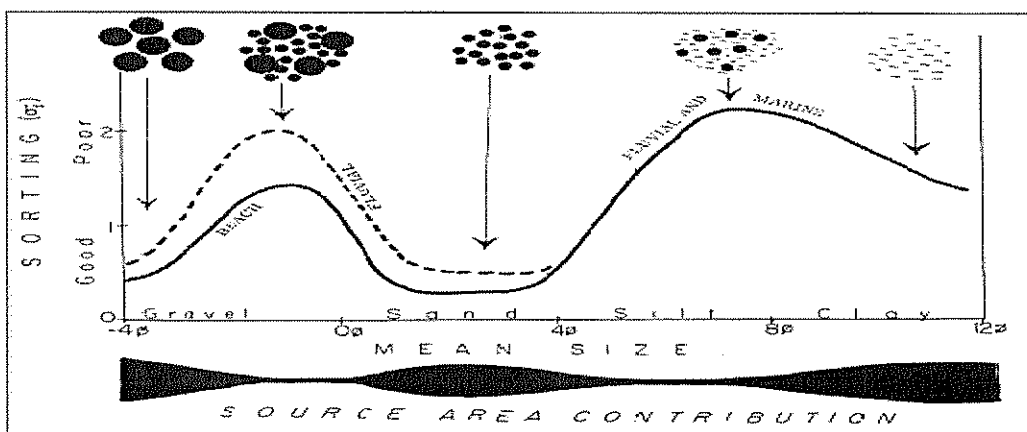
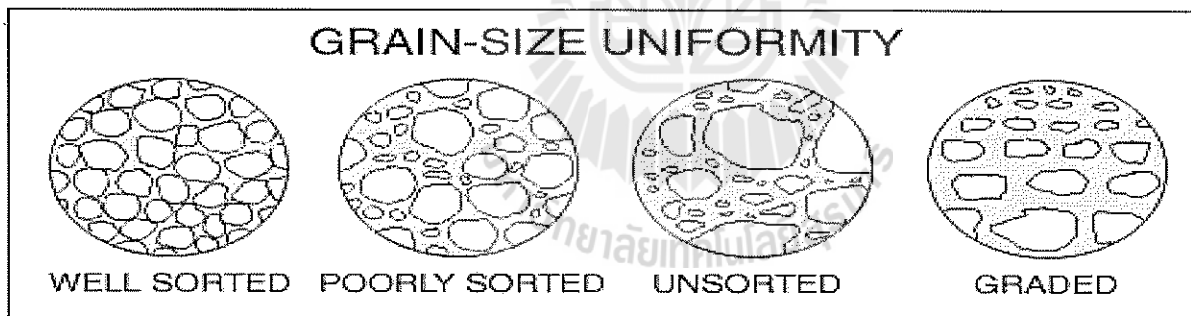
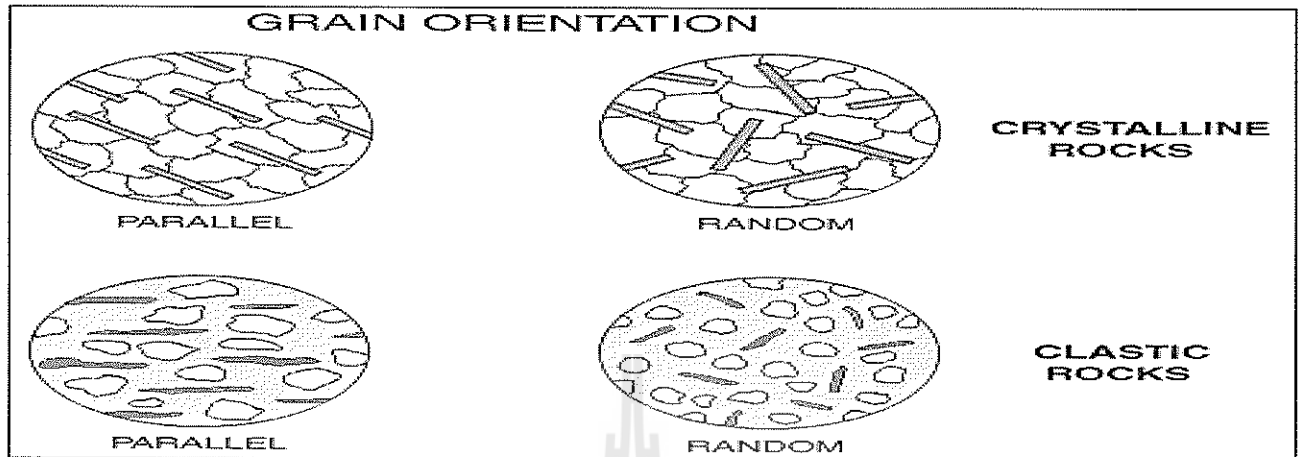


Figure 2-37:
Environment vs.
Sorting

: Orientation of Grains



- Indicate the *grains are mixed up* into zones.
- Relates to the *method of transport and deposition* of the grains.
- Interpret *ancient current or wind directions*.
- The long axis of the grain indicated the *flow direction*.

: Chemistry and mineralogy

- Depositional environment may provide by minerals which conditionally precipitated at the time of deposition
- They are extremely sensitive to diagenetic change and can possibly be more of an indicator of post deposition
 - Diagenetic: The physical, chemical or biological alteration of sediments after deposition.

: Oxidation – Reduction

(Redox Potential, Eh)

- **Reduction potential** (also known as **redox potential, oxidation / reduction potential**) is a measure of the tendency of a chemical species to added/reduced electron.

- Relate to the **oxygen content** of water.

Application of Eh for environmental analysis

- : **Oxygen content**

High Eh: high oxygen, shallow water depth

Low Eh: low oxygen, deep water depth

Depositional environment: color, chemical facies

Dark, green or grey: reducing environment, high organic matter (marine or deep water)

Red, Yellow. Brown: oxidization environment (terrestrial)

: **Colors** depend on:

- Mineral, cement, and matrix colors
- Common color from ferruginous, carbonaceous, siliceous, calcareous
 - Limonite (Yellow) & hematite (Red, Brown)
 - Carbonaceous & phosphatic = Grey to Black
 - Iron sulfide, manganese, **glauconite**, ferrous iron, serpentine, chlorite, epidote = Green

Color vs. Environment

- **Red, Brown:** Ferric iron indicate to an oxidizing environment
- **Green, blueyish gray:** Ferric iron indicate to a reducing environments.
- **Dark brown, Black** colors: organic matter indicate to a potential petroleum source, reducing environments.
- **Black** color of sulfides indicate to anaerobic environment conducive to the production of hydrocarbon

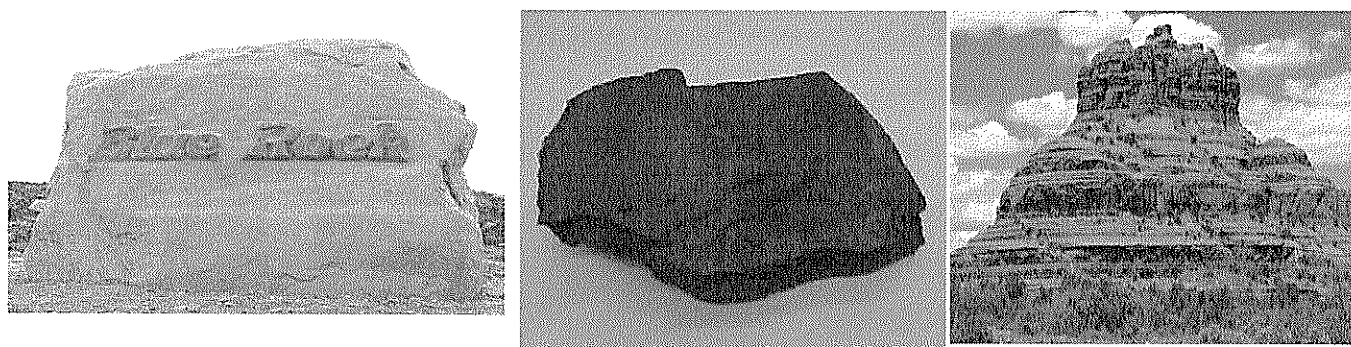


Figure 2-38: Difference color in the rock

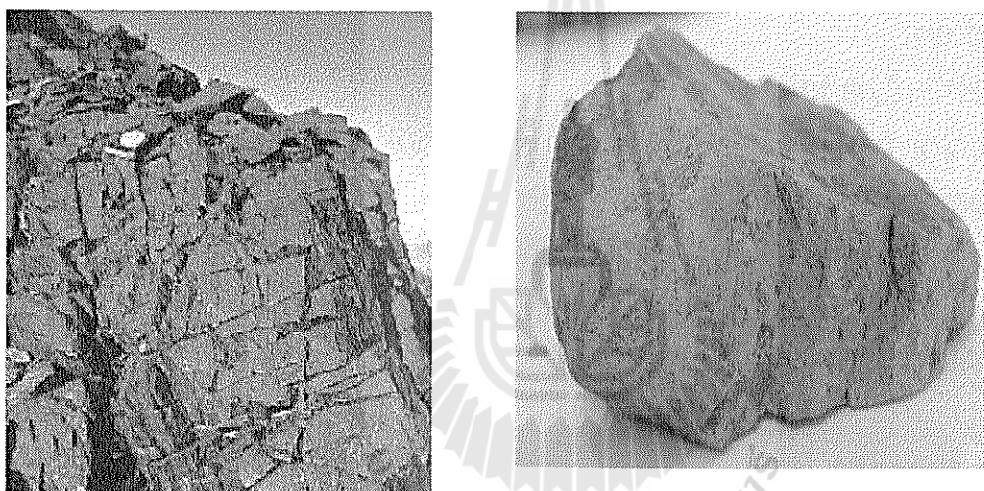
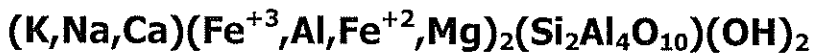


Figure 2-39: Banded Iron Formation. The red bands are hematite, and are interbedded with chert.

Common Minerals & Depositional Environment

1. Glauconite
2. Mica flakes
3. Carbonaceous materials (lignite & coal)
4. Shell fragment
5. Clay minerals
6. Trace Element Content

: Glauconite



- Green mineral (reducing environment)
- very low weathering resistance
- Continental shelf marine environment

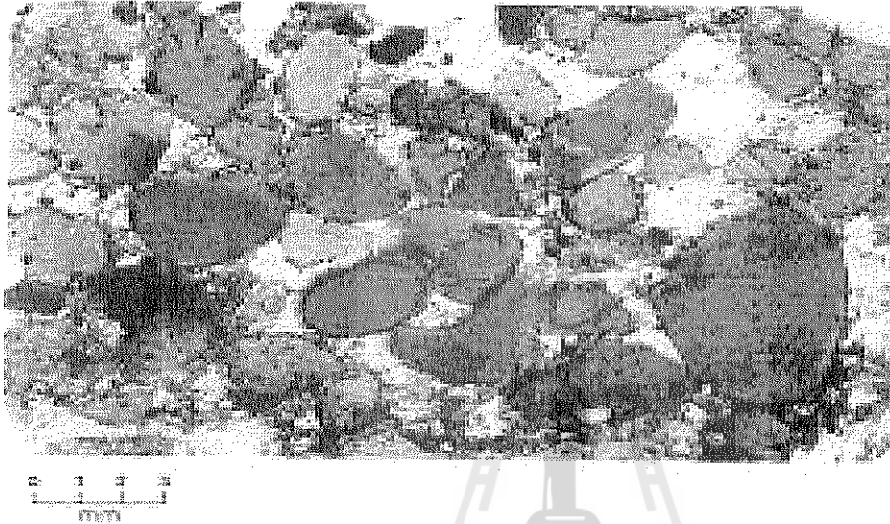


Figure 2-40: Glauconite mineral showing the reducing environment

: Mica flakes (Muscovite) $K_2Al_4(Si_6Al_2)O_{20}(OH,F)_4$

Trend to be winnowed out of high energy of deposition (HE) by strong current and carried away to be deposited in lower energy of deposition (LE)

HE	LE
<ul style="list-style-type: none"> • Barrier island bar • Shallow shelf bar • Eolian dunes 	<ul style="list-style-type: none"> • Outer delta slopes • Outer shelf • Submarine channels and fans

: Carbonaceous material

- Lignite & coal
- Most from land plants and commonly found in fluvial, lacustrine, delta sands

: Shell fragment

- Mostly indicates a marine deposit and quite limited in continental deposition due to leaching by acidic meteoric water

: Clay minerals

- Illite & Montmorillonite: marine rocks
- Kaolinite: continental rocks

: Trace Element Content

- Continental= Titanium, Thorium
- Marine (slightly anaerobic)= Chromium
- Marine (Highly anaerobic)= Boron, Copper, Vanadium, Gallium

2.Organic Sediments

Derived due to organic activity.

: fossils + calcite/dolomite.

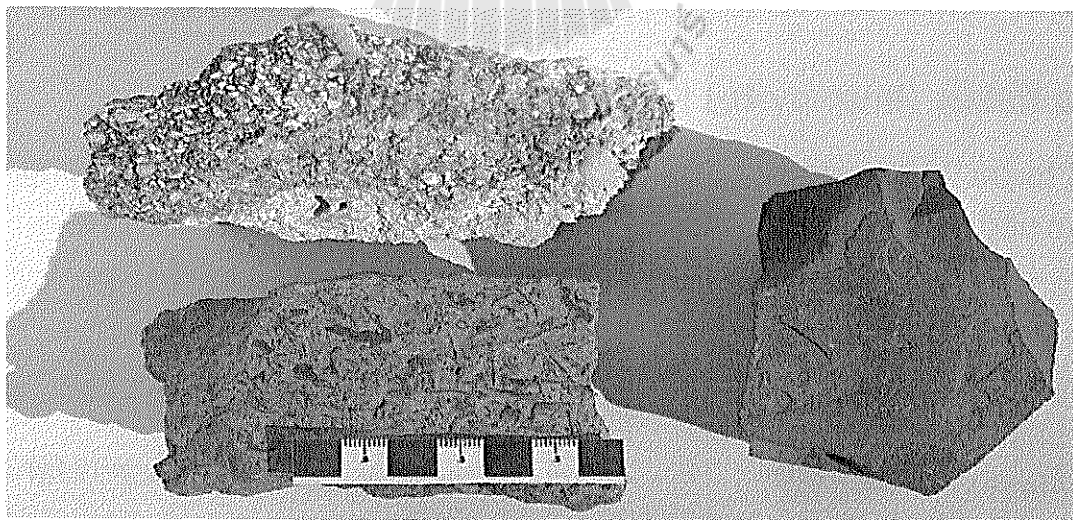
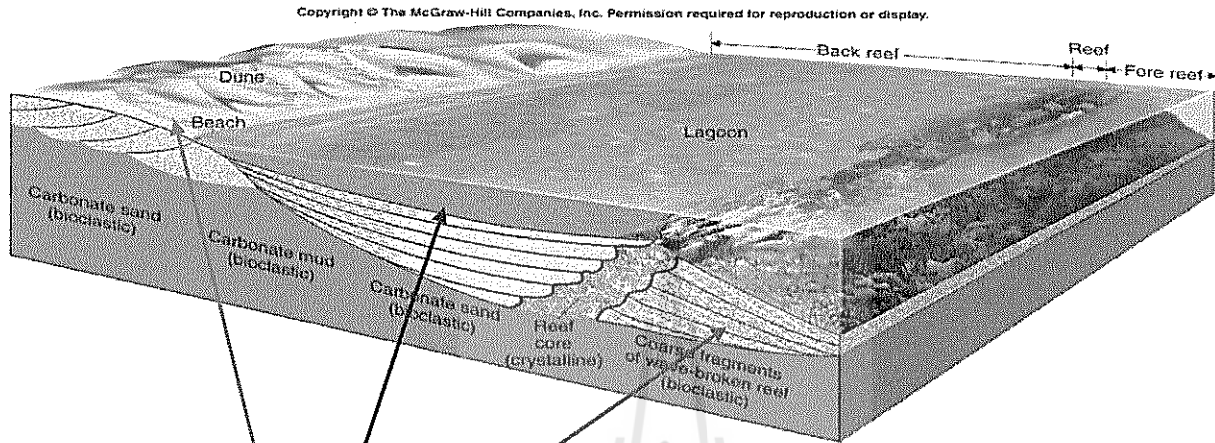


Figure 2-41: Organic sedimentary rocks

Figure 2-42: A living coral-algal reef sheds bioclastic sediment into the fore-reef and back-reef environments.



The fore reef consists of coarse, angular fragments of reef.

Coralline algae are the major contributors of carbonate sand and mud in the back-reef environment.

Beaches and dunes = **bioclastic sand**.

The sediments in each area can lithify to form highly varied LS.



Figure 2-43: Corals precipitate CaCO_3 to form limestone in a r

Water depth about 25 feet. Warm and clear water.

Copyright © McGraw-Hill Companies, Inc. Permission required for reproduction or display



Photo by David McGeary

Figure 2-44: Coralline algae on the seafloor off the Bahamas can produce large quantities of carbonate mud

Example of Organic Sediments



Figure 2-45:
Coquina: rock composed of shell fragments only.

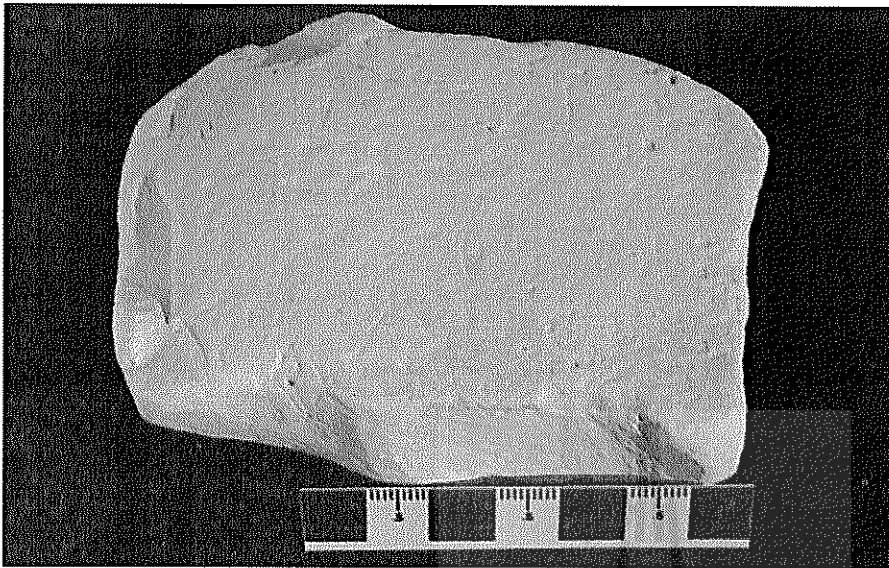


Figure 2-46: **Chalk:** made up of calcareous fine grained planktonic micro-organisms.

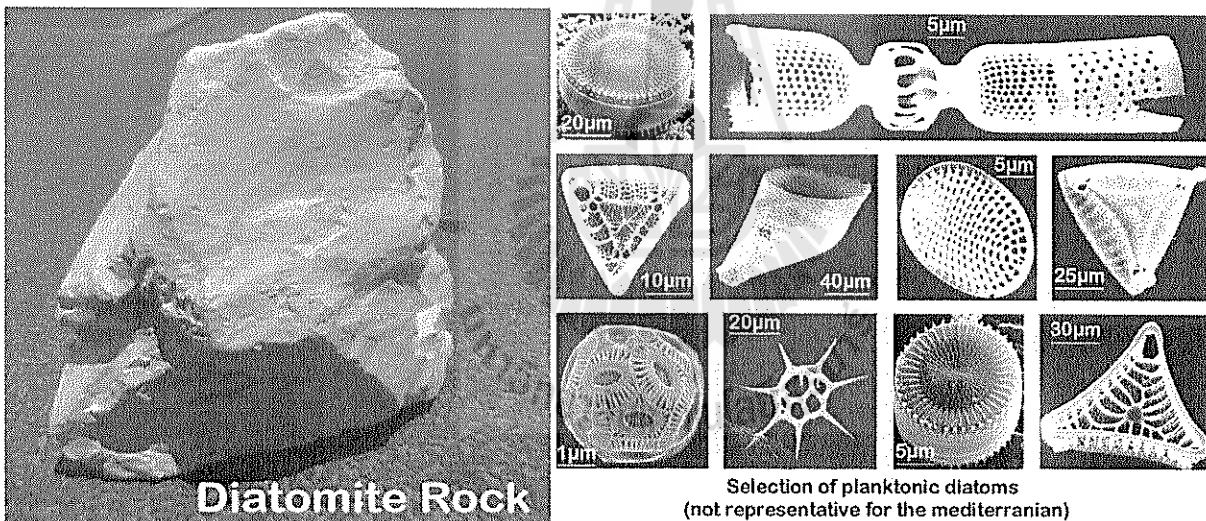
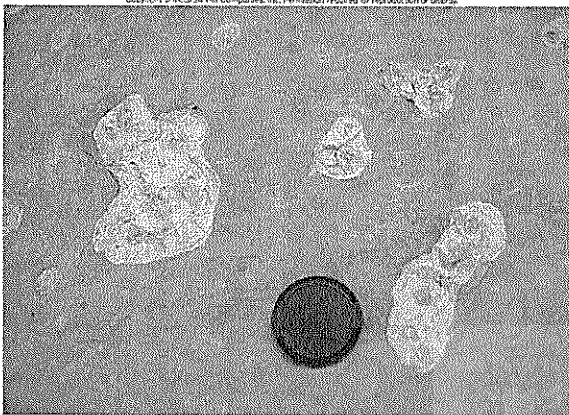


Figure 2-47: **Diatomite:** Siliceous fine grained planktonic organisms (*diatoms*). (Marine environment)

Chert Nodules



A

Photo by David McGeeary

Chert Bedded



B

Photo by David McGeeary

Figure 2-48: **Chert: cryptocrystalline** siliceous which may be of organic (radiolaria) or inorganic origin (chalcedony)-**deep marine environment**

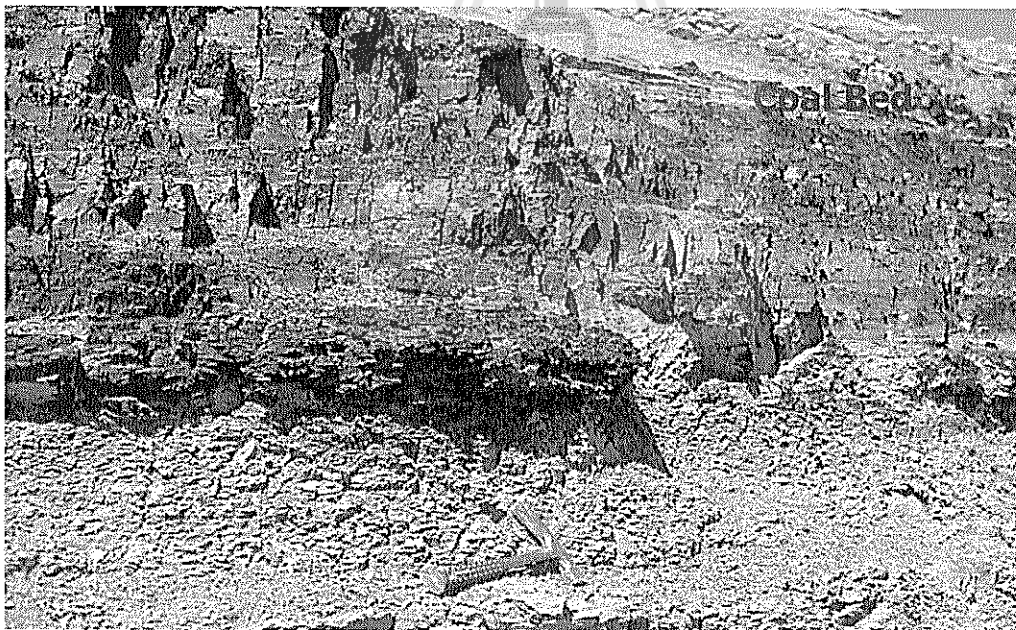


Figure 2-49: **Coal: modified plant material (continental Environment)**

3. Inorganic/Chemical Sediments

Formed by chemical precipitation from solution.

Copyright © McGraw-Hill Companies, Inc. Permission required for reproduction or display.

Table 6.2

Chemical Sedimentary Rocks

Inorganic Sedimentary Rocks			
Rock	Composition	Texture	Origin
Limestone	CaCO ₃	Crystalline	May be precipitated directly from seawater. Cementation of oolites (ooids) precipitated chemically from warm shallow seawater (<i>oolitic limestone</i>). Also forms in caves as <i>travertine</i> and in springs, lakes, or percolating ground water as <i>tufa</i> .
Dolomite	CaMg(CO ₃) ₂	Crystalline	Alteration of limestone by Mg-rich solutions (usually)
Evaporites			Evaporation of seawater or a saline lake.
<i>Rock salt</i>	NaCl	Crystalline	
<i>Rock gypsum</i>	CaSO ₄ • 2H ₂ O	Crystalline	
Biochemical Sedimentary Rocks			
Rock	Composition	Texture	Origin
Limestone	CaCO ₃ (calcite)	Clastic or crystalline	Cementation of fragments of shells, corals, and coralline algae (<i>bioclastic limestone</i> such as <i>coquina</i> and <i>chalk</i>). Also precipitated directly by organisms in reefs.
Chert	SiO ₂ (silica)	Crystalline (usually)	Cementation of microscopic marine organisms; rock usually recrystallized.

Figure 2-50: Chemical Sedimentary rock classification

Precipitation sequence from seawater:

- Calcite (CaCO₃)**
- Anhydrite (CaSO₄)**
- Gypsum (CaSO₄•H₂O)**
- Halite (NaCl)**
- Sylvite (KCl)**



Example of Inorganic/Chemical Sediments

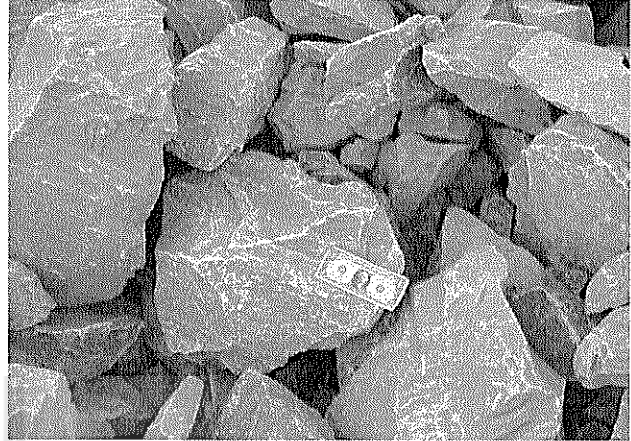
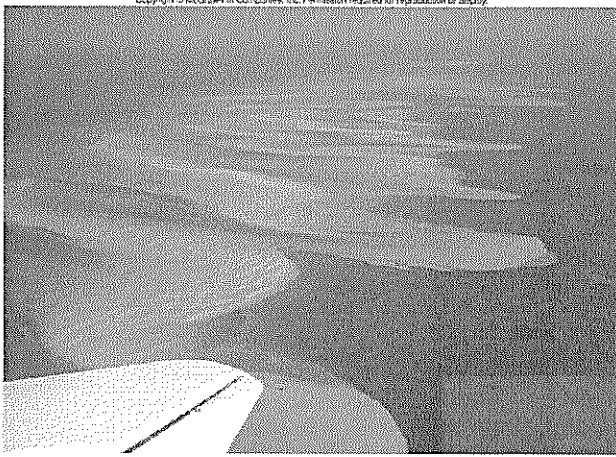
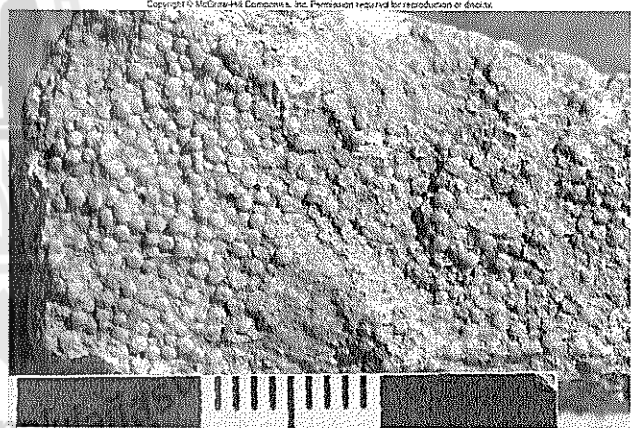


Figure 2-51: Limestone is precipitated directly from seawater.

Figure 2-52: Oolitic Limestone:
Ooliths/oids and Pisoliths



4. Sedimentary Structure

Sedimentary structure can be divided into 2 studies:

1. **Primary** (physical) study: inorganic (mineral) & organic (trace fossil)
2. **Secondary** (chemical) study: diagenetic concretions (การเปลี่ยนแปลงสภาพไปหลังจากที่สิ่งแวดล้อม เปลี่ยนแปลงไป)

Kinds of sedimentary structure

1. Erosional structures: unconformity, cut and fill bedding
2. Depositional structures: cross bedding, graded bedding
3. Post-depositional structures: concretion, fracture, fault, curve, sinkhole
4. Biogenic structures: trace fossils, fossils

Sedimentary Structures

Clastic sediments display a wide variety of bed structures that help in determining:

1. **Way-up** of a rock sequence
2. **Depositional environment**

Paleocurrent pattern & paleogeography

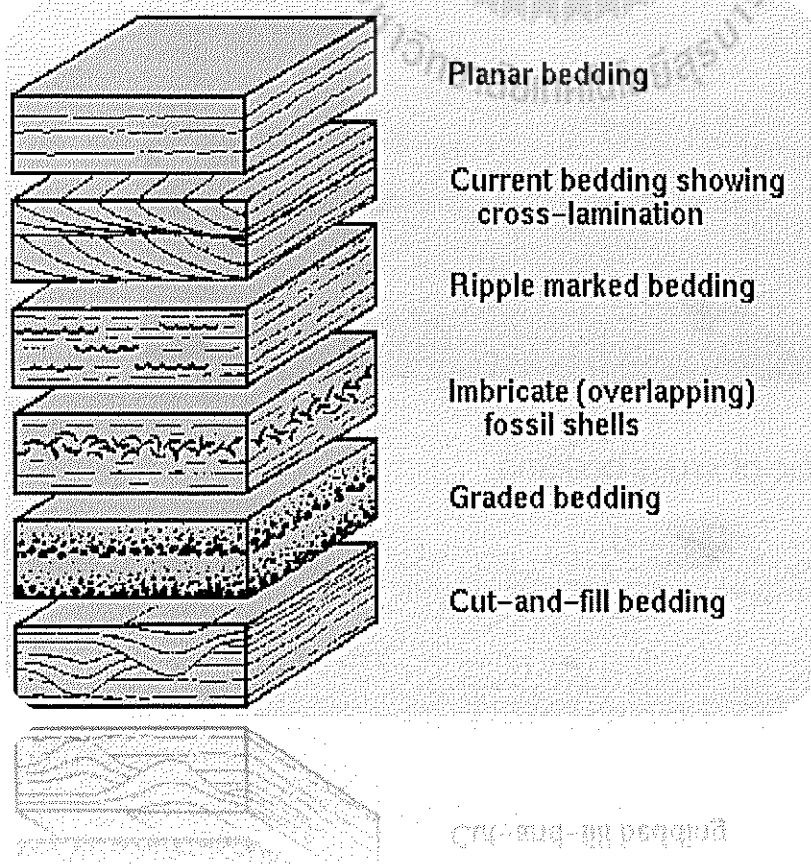


Figure 2-53:
Characteristic of sedimentary structure

Sedimentary Structures indicate to

- : Give evidence of depositional environments.
- : Sedimentary rocks are deposited originally in horizontal beds.
- : Later deformation causes the beds to be inclined.
- : Which was the original way up? Structures can give that information.
- : Sedimentary structures can give idea of *paleocurrents and paleogeography*.

Type of Sedimentary Structures

1. Bedding

- : Series of visible layers within a rock
- : Horizontal sheets differing in composition
- : Most common sedimentary structure

2. Cross-bedding

- : Series of thin, inclined layers within a horizontal bed of rock
- : Common in sandstones
- : Indicative of deposition in ripples, bars, dunes, deltas



Figure 2-55: Characteristic of cross bedding

3. Ripple marks

Small ridges formed on surface of sediment layer by moving wind or water in shallow environments.

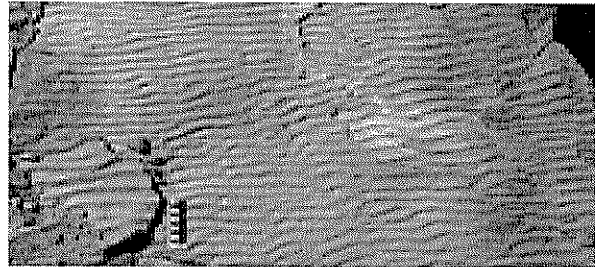
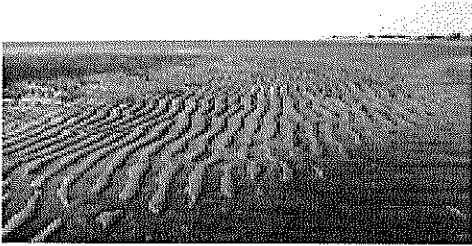


Figure 2-55: Ripple mark in recent (left) and in ancient (right)

4. Graded bedding

Progressive change in grain size from bottom to top of a bed as they enter a body of water that is standing still.

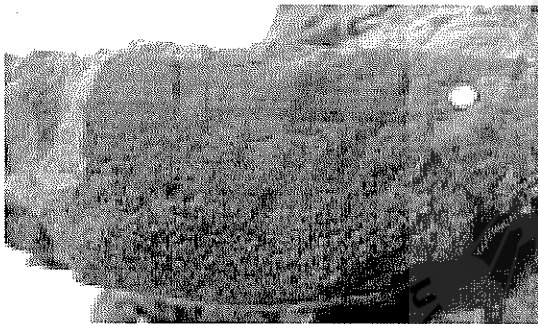


Figure 2-56: Graded bedding

5. Mud cracks

Polygonal cracks formed in drying mud

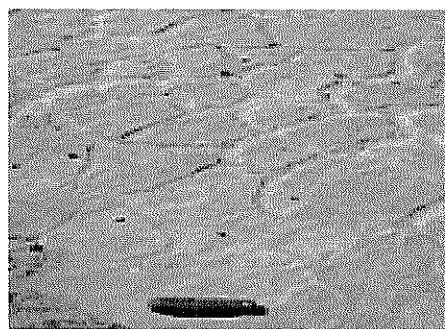
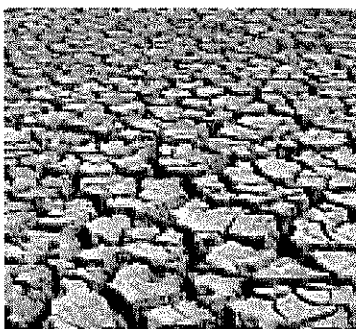
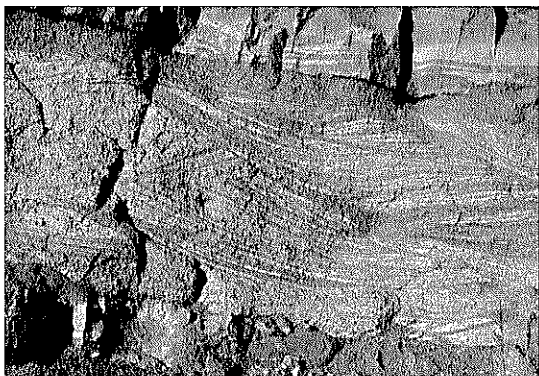
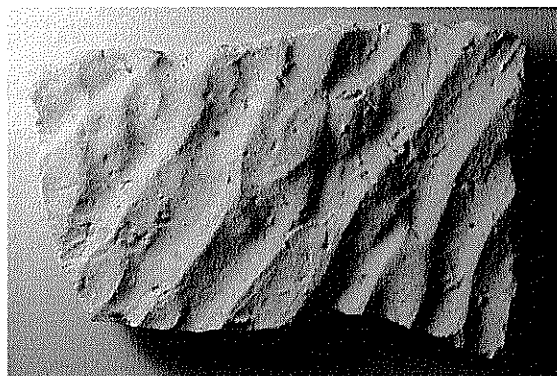


Figure 2-57: Mud cracks

Cross-bedding



Ripple mark



Mud cracks



Concretion



Figure 2-58: summarize of sedimentary structure

Bedding or Stratification

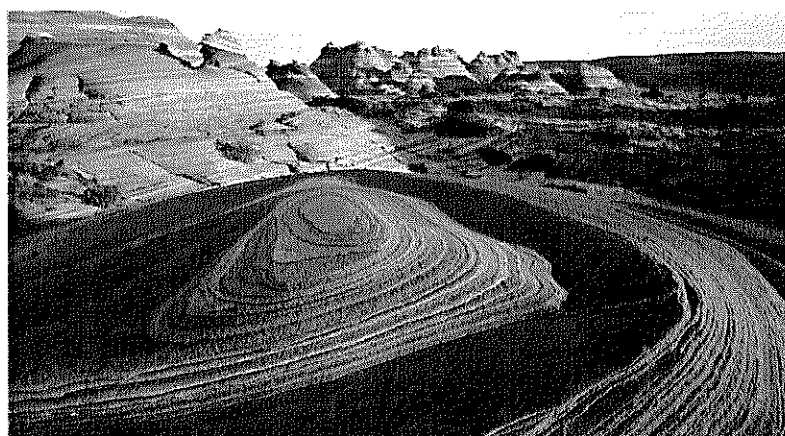


Figure 2-59: Bedding and stratification

Sedimentary layering or strata, or a primary sedimentary structure; Structures formed during deposition

Stratification

Stratification is the layering of sedimentary rock.

It occurs when the conditions of sedimentary deposit change.

What Changes?

- : Velocity of water or wind
- : Rise in Sea Level
- : Change in source of sediments

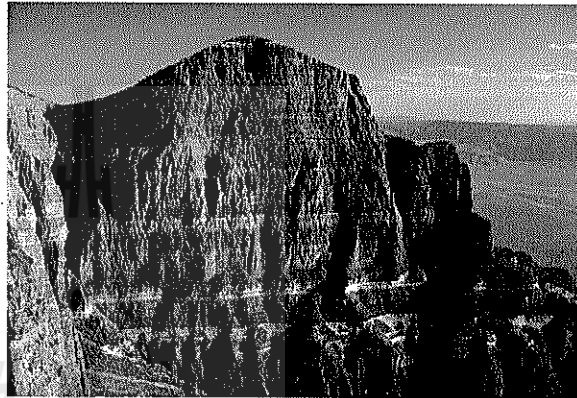


Figure 2-60: The different layers consist of limestone and shale deposited in shallow marine settings.

Horizontal Bedding: Beds get younger upward.

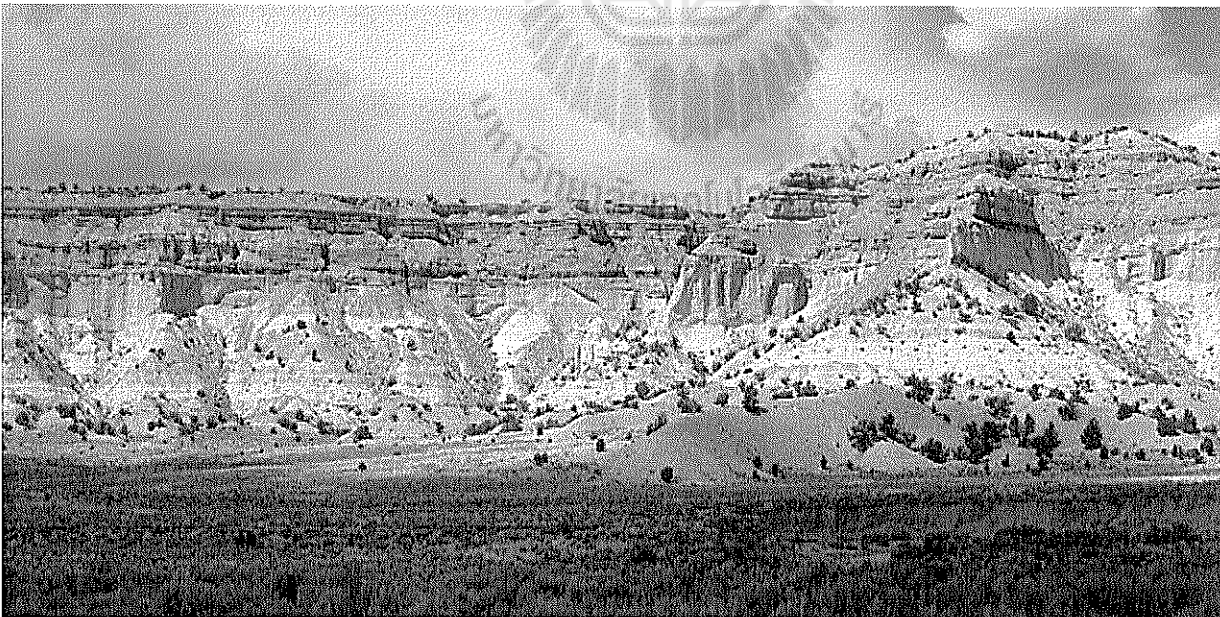


Figure 2-61: Deposited in water (no wave affect)



Cross Bedding

Series of thin, inclined layers in a horizontal bed or rock

Deposition in dunes, sand bars, deltas

Figure 2-62: Cross bedding show the direction of current

Development of Cross Bedding

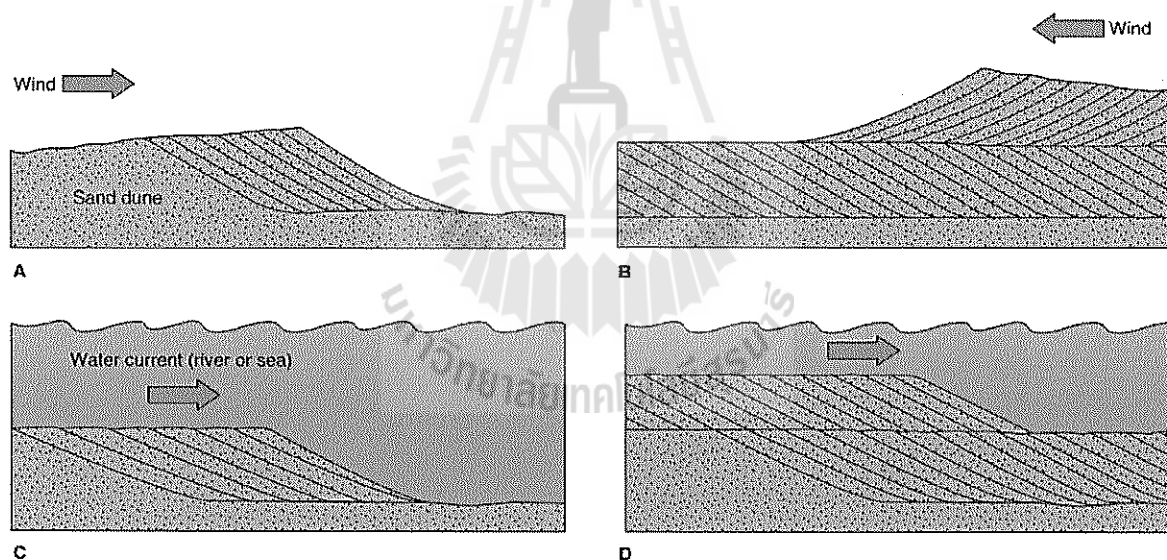


Figure 2-63: Form when particles drop from a moving current (water/air)

Graded bedding

- Change in grain size from coarse at bottom of bed to fine at the top of the beds

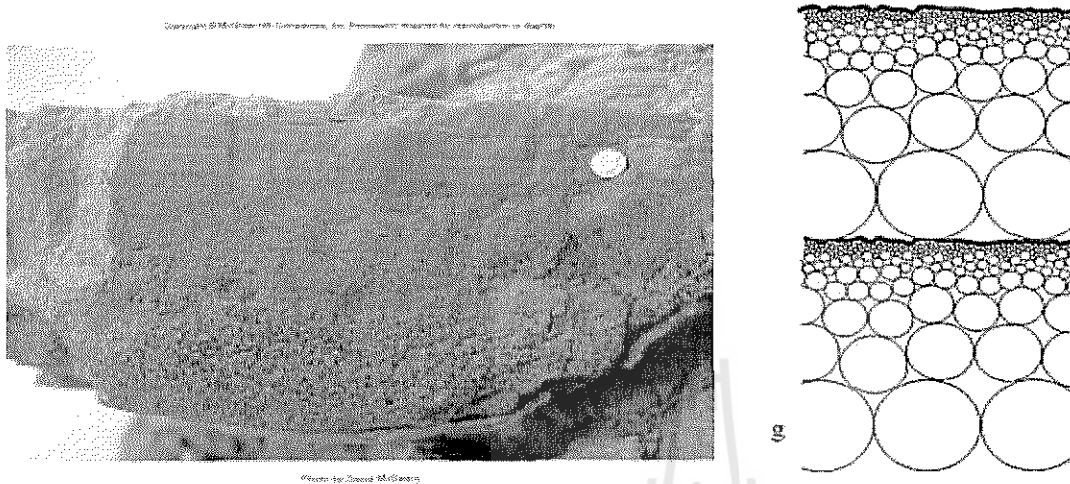


Figure 2-64: Graded bedding show the change of grain size

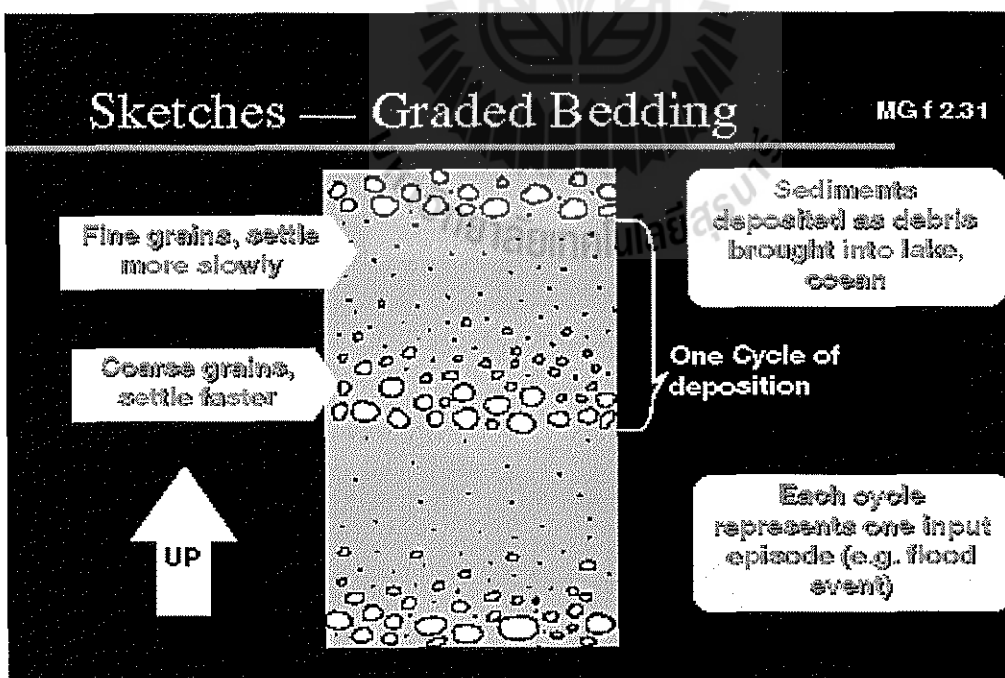


Figure 2-65: Sketches of the graded bedding

Turbidity current

– beds grade from coarse grained at the bottom to fine grained at the top.

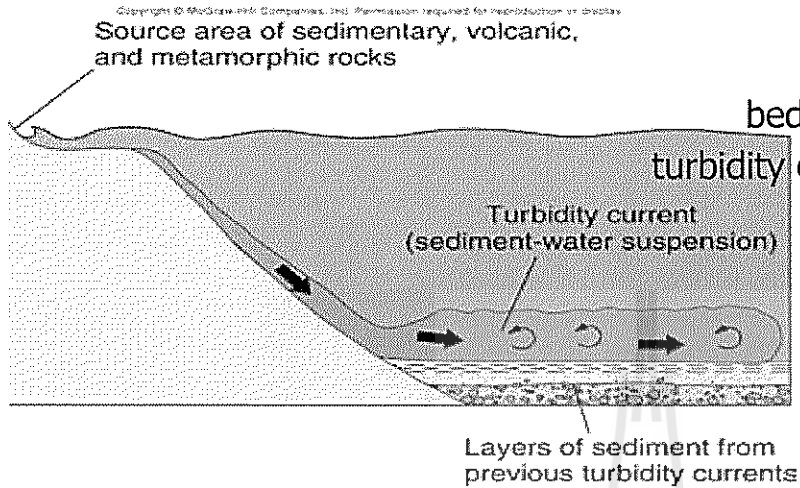


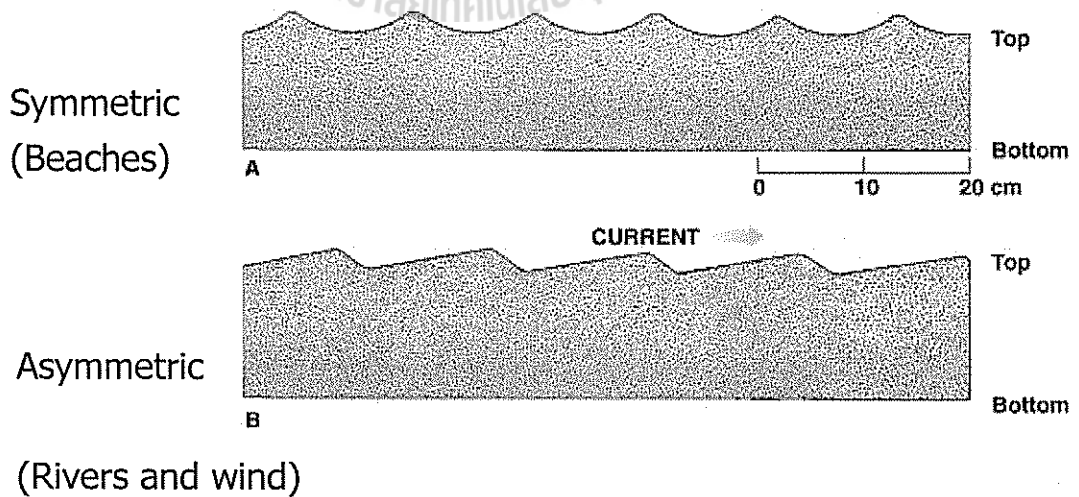
Figure 2-66: Graded bedding form from the turbidity current

Ripple Marks

Ripple Marks – wave action, form on top of beds.

Ripple marks for during deposition through water flow. Different types of ripple marks record different types of water currents, and thus depositional environments.

Small ridges formed on surface of sediment by moving wind or water



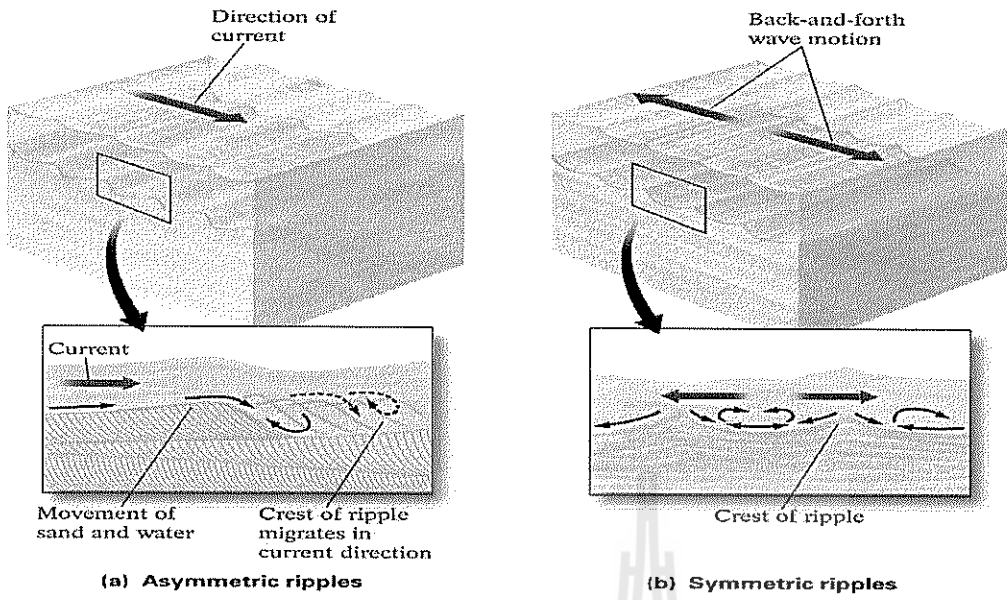


Figure 2-67: Asymmetric and Symmetric Ripples

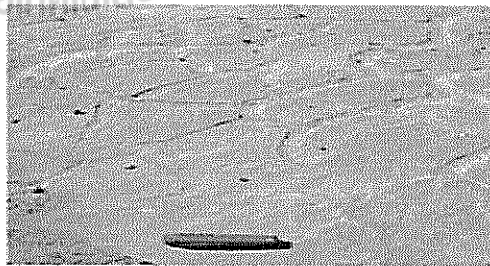
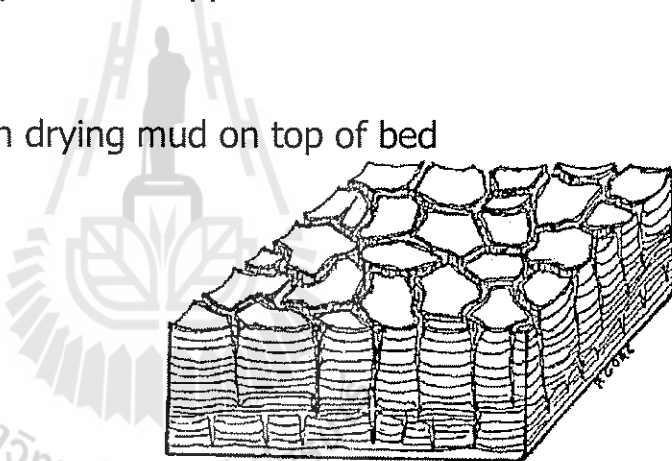
Mud cracks

- Polygonal cracks formed in drying mud on top of bed



A Photo by David McCreary

Recent mud cracks



B Photo by David McCreary

Mud cracks in rock

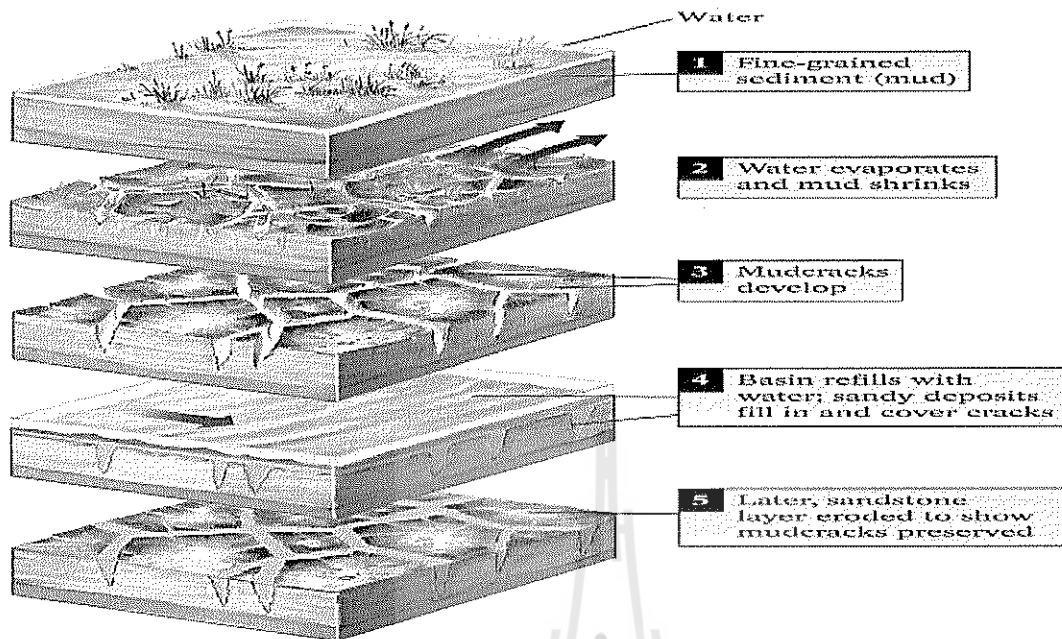


Figure 2-68: Origin of Mud Cracks

Formations

- Extremely thick body of rock with characteristics that distinguish it from adjacent rock units and is large enough to map.
 - Formations are based on rock type or sedimentary structure
 - Can be a single thick bed, several thin beds of the same rock type, or an alternating sequence of two rock types.
- : Sedimentary layer: limestone beds, can be separated by fossil types, and igneous or metamorphic layer.
- Contact – is the boundary surface between the two different rock types.

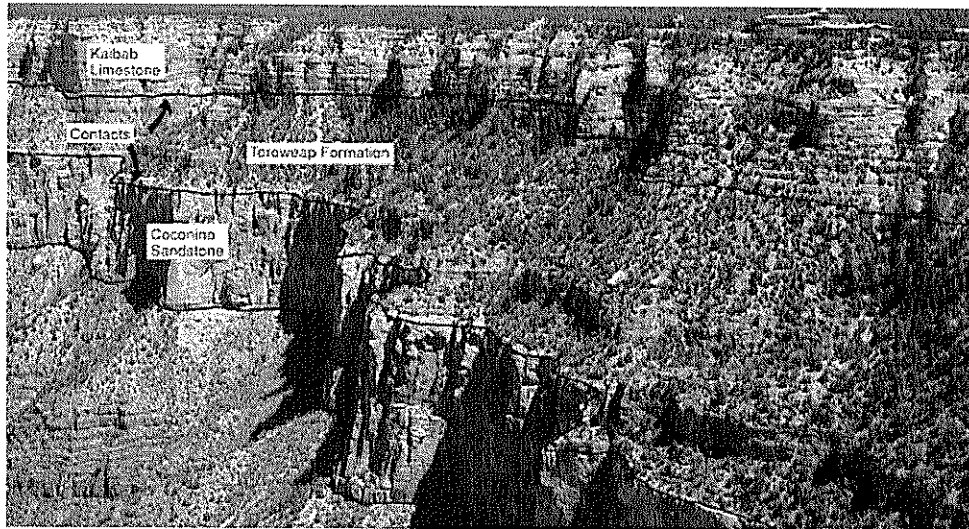
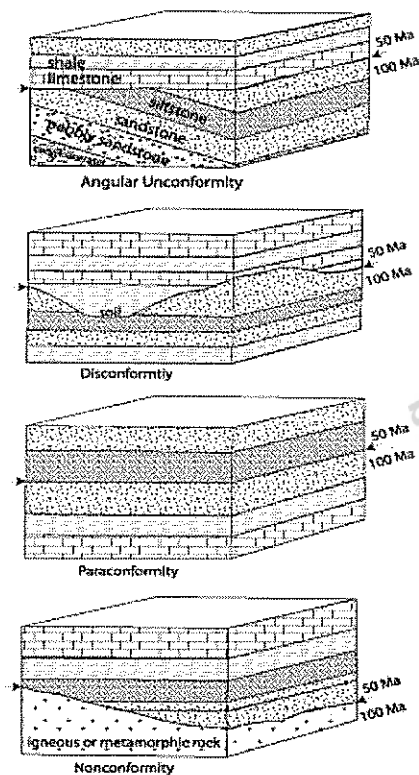


Figure 2-69: Contact of formation depend on sedimentary rock type and sedimentary structure

Unconformity



Unconformities (redrawn from Beggs, 2001)

1. **Angular conformity:** younger sediments rest upon the eroded surface of tilted or folded older rocks.
2. **Disconformity:** contact between younger and older beds is marked by a visible, irregular or uneven erosional surface.
3. **Paraconformity:** beds above and below the unconformity are parallel and no erosional surface is evident; but can be recognized based on the gap in the rock record.
4. **Nonconformity:** develops between sedimentary rock and older igneous or metamorphic rock that has been exposed to erosion.

Figure 2-70: Type of unconformity

Example of Unconformity

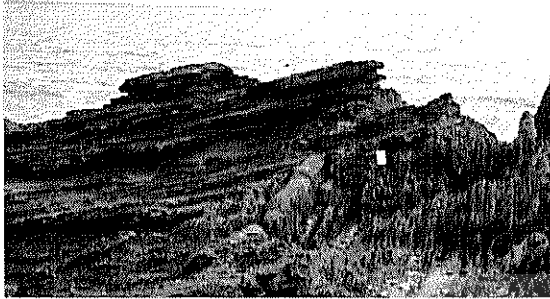


Figure 2-71: Angular unconformity at Siccar Point in Scotland. *Yellow notebook for scale.*

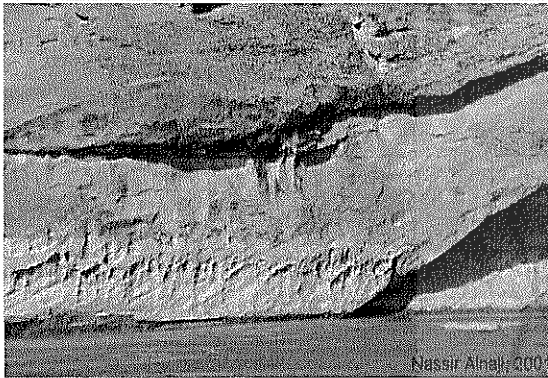


Figure 2-72: **Disconformity** exposed in the cliffed bank of the San Juan River, Paradox Basin, Southeastern Utah.

5. Paleontology (Fossils)

Type of Fossil

Fossils found in sedimentary rocks include:

1. The tracks and trails of animals
2. Microscopic fossils of:
 - 2.1 continental animal and plants (spores and pollen)
 - 2.2 marine animal and plants (diatoms, coccolithophores, radiolarians, foraminifera, ostracods, dinoflagellates, etc.)
3. invertebrates (shell, sponges, corals, pelecypods, brachiopods, algae etc.)
4. vertebrates (fish, amphibians, reptiles, and mammals)
5. plants (root, leaf, branch etc.)

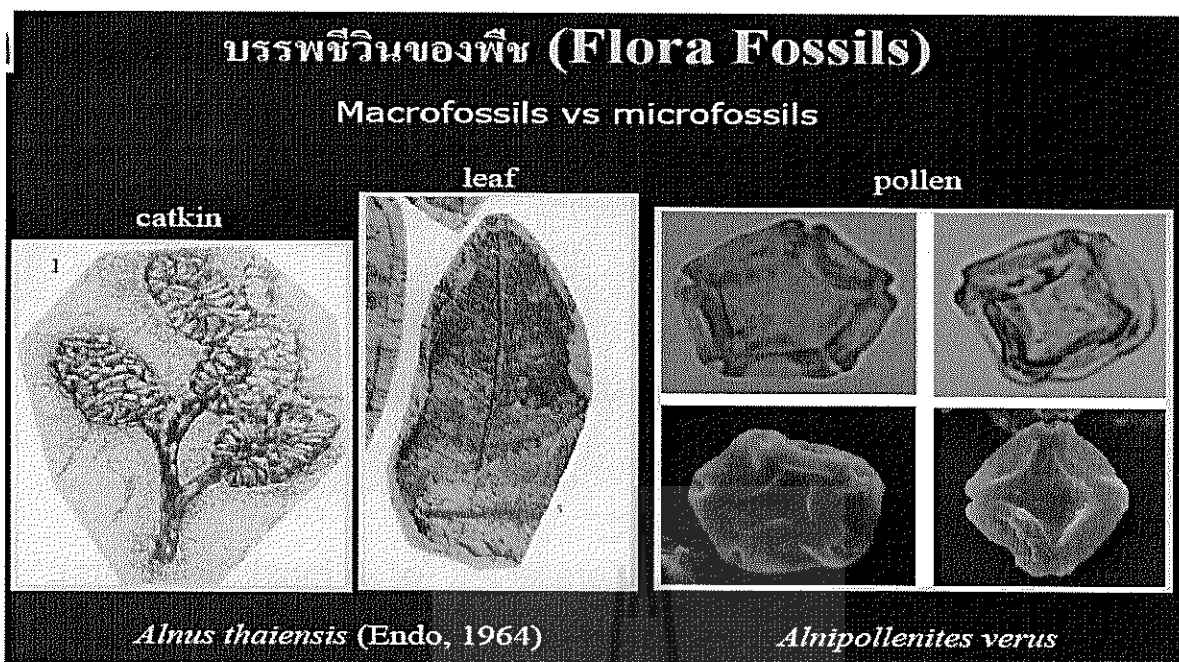


Figure 2-73: Flora fossils; leaves spore and pollen

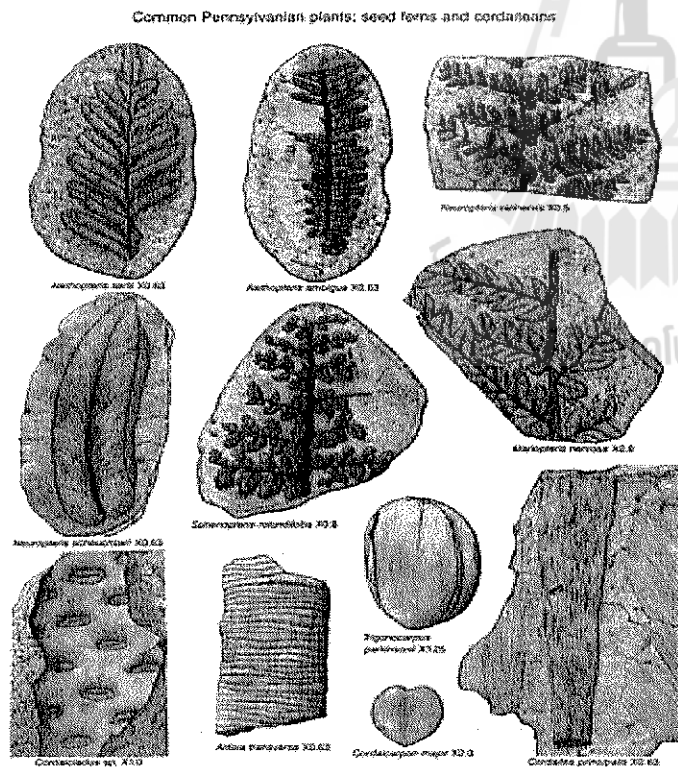


Figure 2-74: Seed ferns and leaves

What characteristics of fossils make them useful for interpreting past environments:

1. They have a distinct geographic range
2. Their distribution was influenced by:
 - Water or atmospheric temperature
 - Climate variability
 - Elevation
 - Oceanic salinity, nutrients, oxygen content, turbidity, etc

Fossilization

1. Body Fossils - some part of the body preserved (or as molds and casts).

:Typically hard parts of organisms preserved (such as bone, shell, teeth, etc.).

1.1 Macrofossils: Dinosaur, mammals, primate

1.2 Microfossils: Foraminifera, ostracods, spore & pollen

2. Trace Fossils - tracks, trails, burrows, nests, even fossilized feces (coprolites).

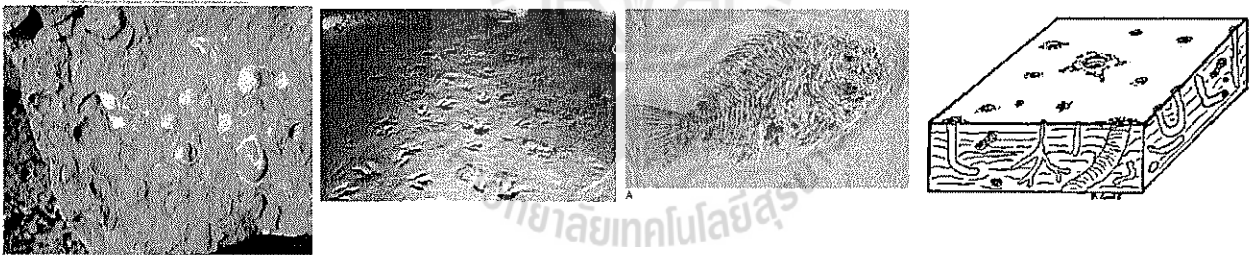


Figure 2-75: trace fossils

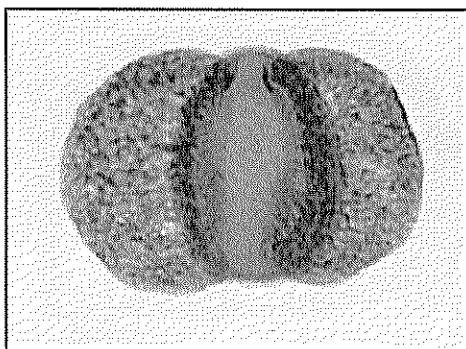


Figure 2-76: Spore & pollen use for indicating the **paleoclimate** and environment i.e. Fossil pine pollen. The abundance of pine pollen, along with the rock moss, indicates a dry climate (temperate)

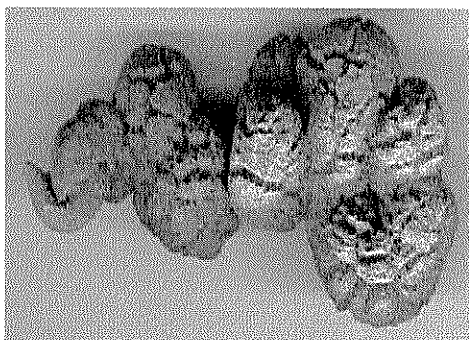


Figure 2-77: a turtle **coprolite** from the Eocene of Madagascar

Types of Preservation

1. Unaltered Remains (ไม่มีการเปลี่ยนแปลงสภาพ, คงสภาพเดิมให้เห็น)

- 1.1 hard part (shells, teeth, bone)
- 1.2 mummification (dessication),
- 1.3 frozen remains (example: Woolly Mammoth),
- 1.4 tar pits (La Brea Tar Pit of California - mammoths, saber tooth tigers, and other Pleistocene fossils).

2. Altered Remains - changed structurally or chemically or both (การแปรสภาพทางลักษณะโครงสร้างหรือเคมีของซาก fossil หรือแปรสภาพทั้งสองแบบ)

2.1 Permineralization - pores filled with mineral matter.

การที่แร่ธาตุต่างเข้าไปแทรกในช่องว่าง

2.2 Recrystallization - no change in basic composition, but crystals grow larger and are reoriented.

การที่มีการตกผลึกใหม่ของแร่โดยอาจมีขนาดใหญ่ขึ้นหรือการจัดเรียงตัวใหม่ แต่ส่วนประกอบพื้นฐานไม่มีการเปลี่ยนแปลง

Eg. Aragonite (CaCO_3) -----> Calcite (CaCO_3)

Silica (as microcrystalline quartz - SiO_2 recrystallizing to larger crystals.

Recrystallization may destroy some or all of the fine structure, but will retain the overall shape of the fossil.

2.3 Replacement - another mineral replaces the original hard parts.

(การเข้าไปแทนที่ของแร่ใหม่แทนแร่เดิมที่อยู่ในโครงสร้าง)

Example: **silicification** of calcareous, phosphatic (Dinosaurs bones are often silicified or partially silicified, Petrified wood is commonly silicified), or woody fossil material is fairly common.

FeS₂ (Pyrite) often replaces calcite or silica.

- **Silicification:** Introduction of replacement by silica

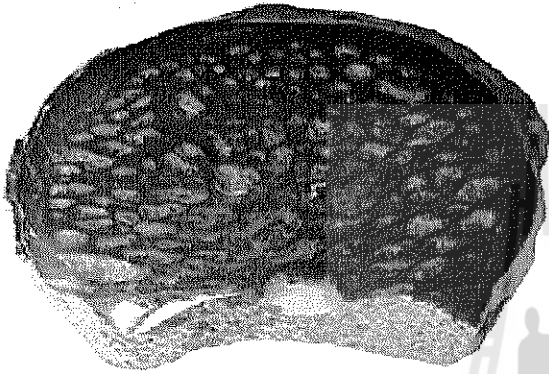


Figure 2-78: Permineralization



Petrified wood

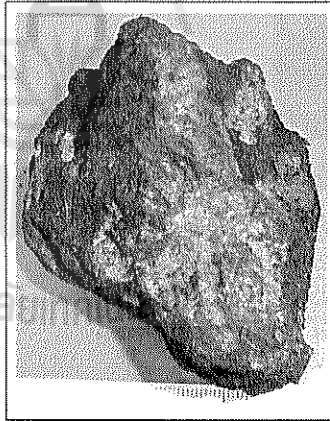
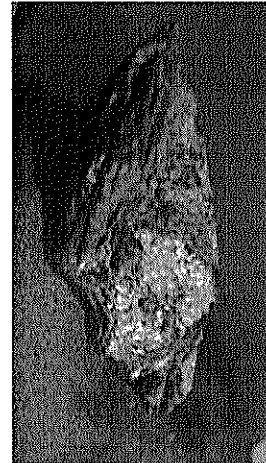


Figure 1 - Coal fragment with pyrite (yellow). The scale's smaller traces indicate millimeters.



Pyrite on coal

Figure 2-79: Mineral replaces in the wood (silica) and coal (pyrite)

Fossils in Environmental Analyses

1. Did the organisms in question live where they were buried?

- Or where their remains or fossils transported there?

Example:

- Fossil dinosaurs usually indicate deposition in a land environment such as a river floodplain
- But if their bones are found in rocks with clams, corals and sea lilies,
- we assume a carcass was washed out to sea

Fossils in Environmental

What kind of habitat did the organisms originally occupy?

- Studies of a fossil's structure
 - and its living relatives, if any, help environmental analysis

For example: clams with heavy, thick shells (deep water)

- typically live in shallow turbulent water whereas those with *thin shells* are found in low-energy environments
- Most corals live in warm, clear
 - shallow marine environments where symbiotic bacteria can carry out photosynthesis

Deposition Environments can be classify into:

1. Non-marine environment

- พบ Fossil น้อยกว่าใน Marine environment
 - Land environment สภาพแวดล้อมบนบก
 - Aquatic environment (Lacustrine environment) สภาพแวดล้อมในน้ำจืด เช่น ทะเลสาบ, หนอง, บึง เป็นต้น

2. Marine environment

2.1 Benthonic environment สภาพแวดล้อมของพื้นทะเลหรือท้องทะเล สัตว์ที่อยู่ในสภาพแวดล้อมแบบนี้ เรียกว่า Benthos ซึ่งสามารถแบ่งเป็น 2 ชนิดคือ

- Vagile เป็น benthos ที่เคลื่อนที่ได้ เช่น ปู กุ้ง
- Sessile เป็น benthos ที่อยู่กับที่ เช่น พลัปปะสังทะเล (Crinoid)

2.2 Pelagic environment (Nektoplanktonic) สภาพแวดล้อมของพื้นน้ำ สัตว์ที่อยู่ในสภาพแวดล้อมแบบนี้ แบ่งเป็น 2 ชนิดคือ

- Nekton เป็นพวกที่ว่ายน้ำได้เช่น ปลา
- Plankton เป็นพวกที่ว่ายน้ำไม่ได้แต่ลอยตัวอยู่ตามกระแสน้ำ

Index Fossils

- **Index fossils** are fossils used to define and identify geologic periods (or faunal/floral stages) , some case it can be indicate the *depositional environment* at that time.

CHARACTERISTICS OF INDEX FOSSILS

1. Short geologic time range.
2. Wide geographic distribution (implies ecologic tolerance).
3. Abundant (relatively easy to find in rocks)
4. Easily recognizable to a trained paleontologist

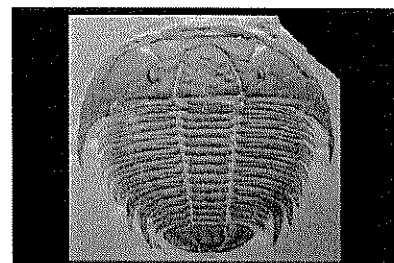
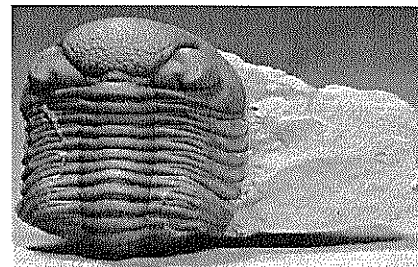
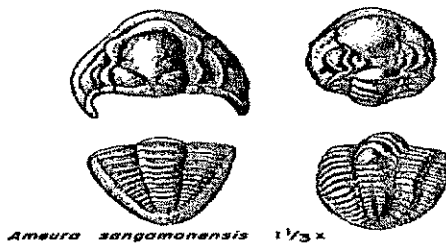
EX.: **Ammonites and Trilobites** are examples of index fossils.

GEOLOGIC TIME SCALE

ERA	PERIOD	EPOCH	SUCCESSION OF LIFE	INDEX FOSSILS
CENOZOIC Recent Life	QUATERNARY 0-1 Million Years Rise of Man	Recent Pleistocene		PECTEN NEPTUNEA CALYPTRAPHORUS VENERICARDIA
	TERTIARY 62 Million Years Rise of Mammals	Pliocene Miocene Oligocene Eocene Paleocene		
MESOZOIC Middle Life	CRETACEOUS 72 Million Years Modern Seed Bearing Plants, Dinosaurs			SCAPHITES INOCERAMUS
	JURASSIC 40 Million Years First Birds			NERINA PERISPINCTES
	TRIASSIC 49 Million Years Cycads, First Dinosaurs			TROPHITES MONOTIS
PALEOZOIC Ancient Life	PERMIAN 60 Million Years First Reptiles			LEPTODUS PARAPUSULINA
	Carboniferous	PENNSYLVANIAN 30 Million Years First Insects		DICTYOCLOSTUS
		MISSISSIPPIAN 35 Million Years Many Crinoids		CACTOCRINUS PROLECANITES
	DEVONIAN 60 Million Years First Seed Plants Cartilage Fish			PALMATOLEPUS MUCROSPIRIFER
	SILURIAN 28 Million Years Earliest Land Animals			HEXANOCERAS CRYSTIPHYLLUM
	ORDOVICIAN 75 Million Years Early Bony Fish			BATHYRUS (Trilobite) TETRAGRAPTUS
	CAMBRIAN 100 Million Years Invertebrate animals, Brachiopods, Trilobites			BILLINGSSELLA PARADOXIDES (Trilobite)
PRECAMBRIAN Very few fossils present (bacteria-algae-pollen?)				

Trilobites

- Cousins of crabs or insects.
- They used to be very common and came in many different and bizarre shapes.
- They are now extinct—totally gone! They died out before the dinosaurs ever lived!



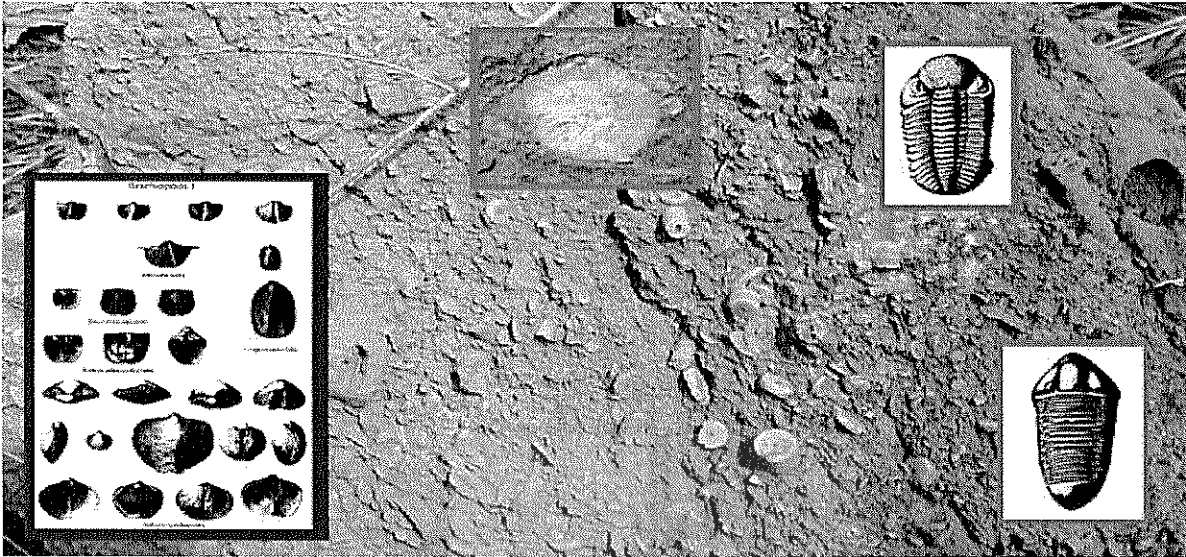
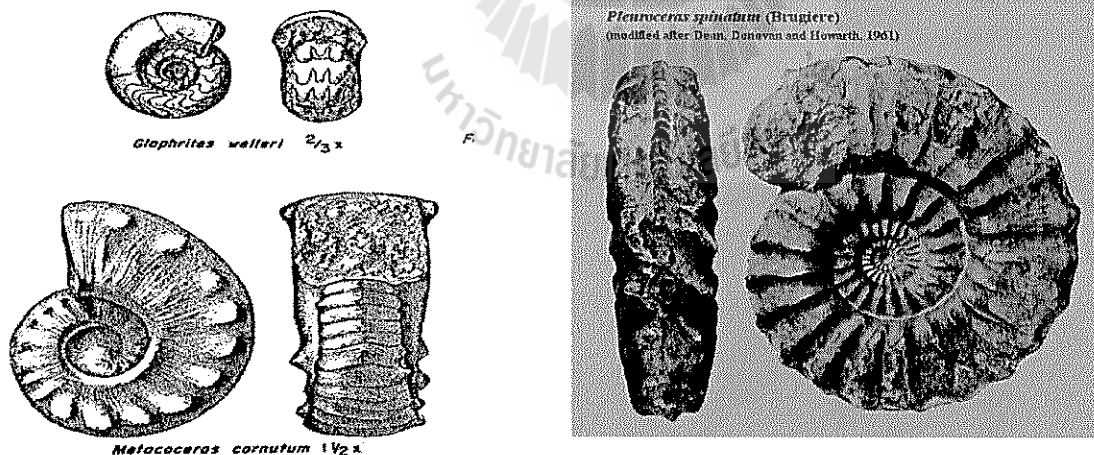


Figure 2-81: Some of the fossils that might be collected on the trip. The background is made by a slab of limestone crowded by crinoid stem fragments. Brachiopods (left) and trilobites (right) are common, as are corals (rugose coral on photo in center).

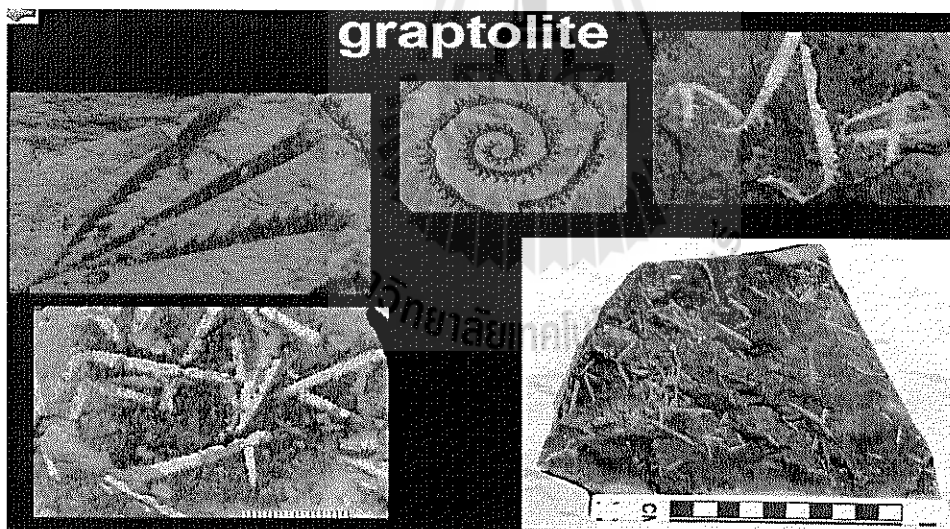
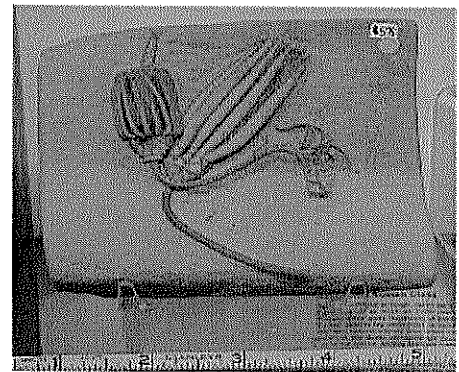
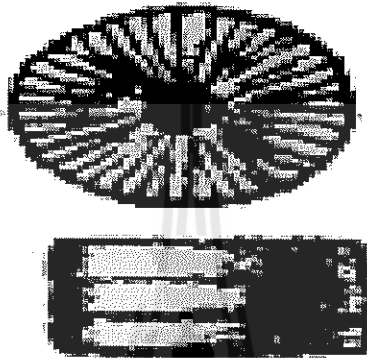
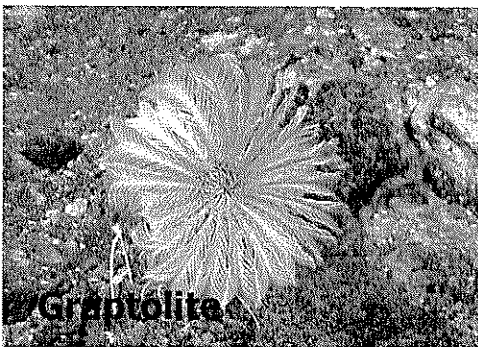
AMMONITE



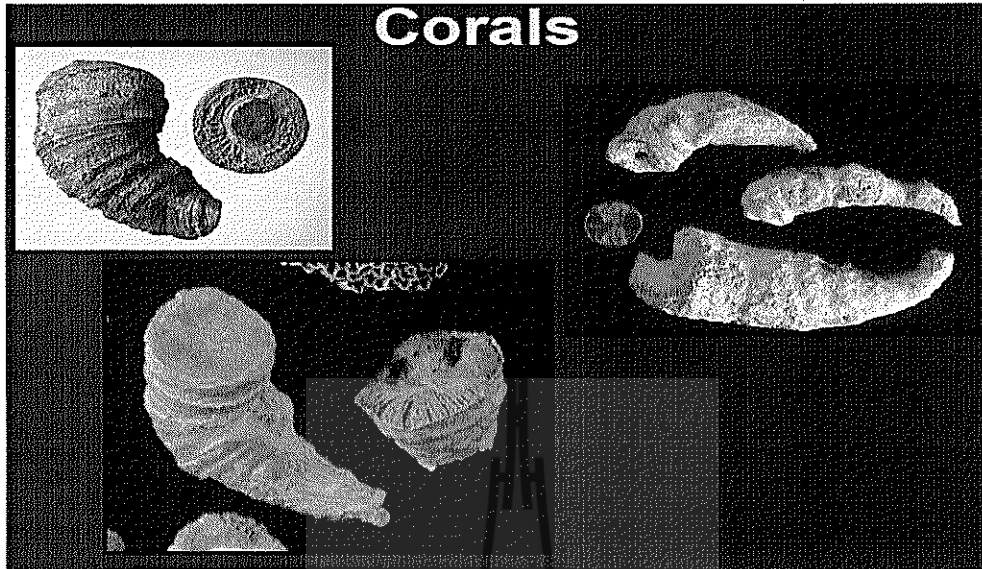
- Cephalopoda (Gastropod)
- Late Silurian/early Devonian (400 Ma) to end Cretaceous (65 Ma)
- Marine envi.

Crinoids

- : Sometimes called "**sea lilies**" and "**feather stars**" but they're not plants!
- : They are class of **Echinoderms**, cousins of the **starfish**.
- : When they died, their hard skeletons (calcium carbonate) broke apart
- : The "stems" that held them up became many little round pieces sometimes called "Indian beads!"
- : Marine environment

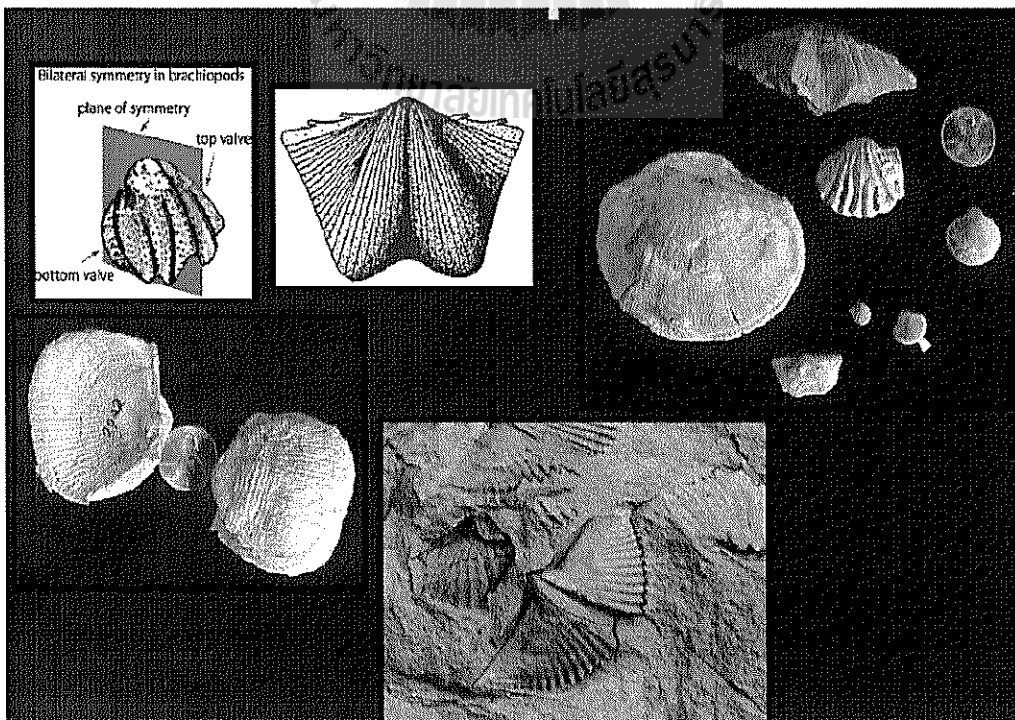


Corals



Brachiopods

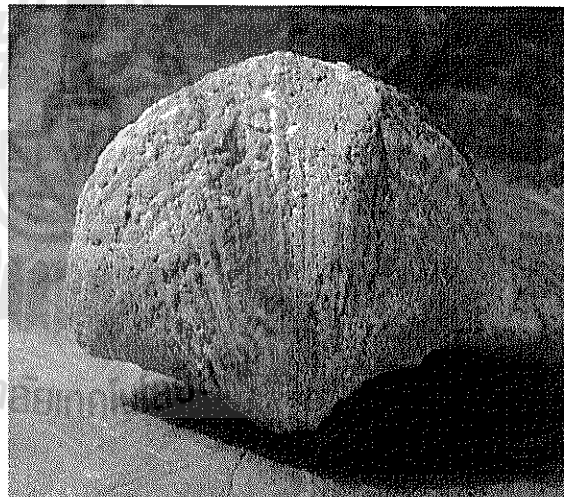
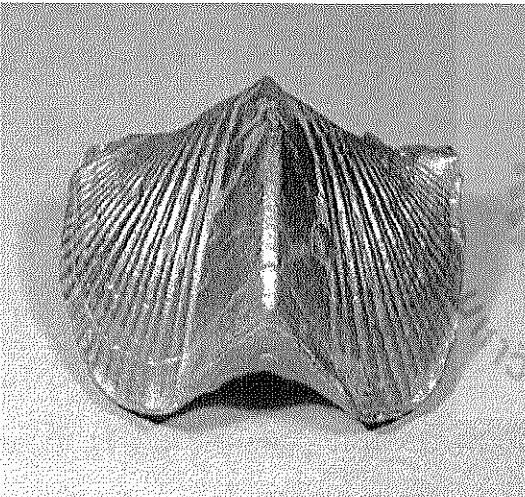
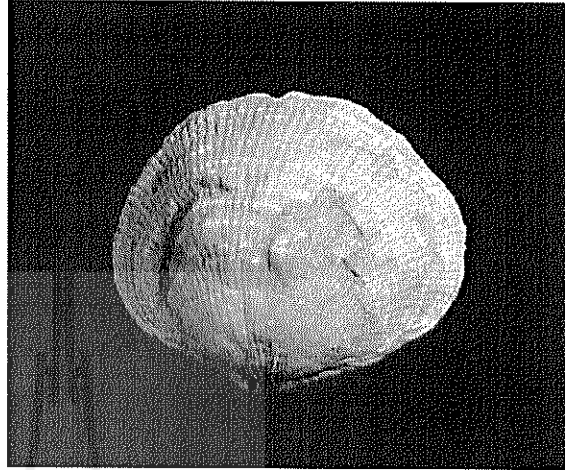
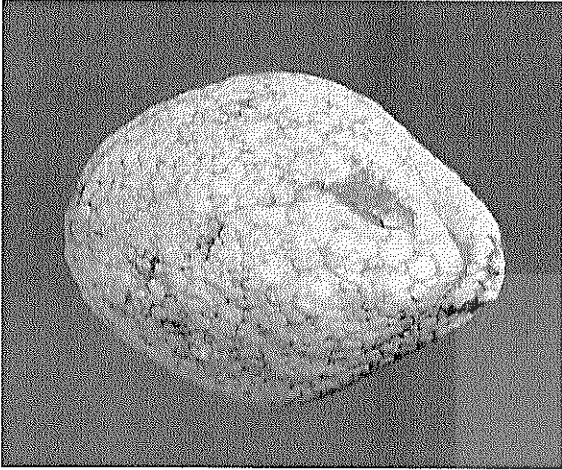
- หอย 2 ฝาที่ไม่เท่ากัน
- ประโยชน์ใช้ indicate ลำดับชั้นหิน และหาอายุเปรียบเทียบทางธรณีวิทยา
- เกิดในทะเล ซึ่งอยู่ใกล้ชายฝั่ง (shallow marine) ที่อากาศร้อนชื้น (tropical)
- หลาย Species ตายไปที่ช่วงปลายของ Paleozoic



Brachiopoda is a phylum of shelled invertebrate

: Marine animals, i.e., they lived in salt water. (Shallow to deep waters)

: Cold or warm water/ silt laden or clean water



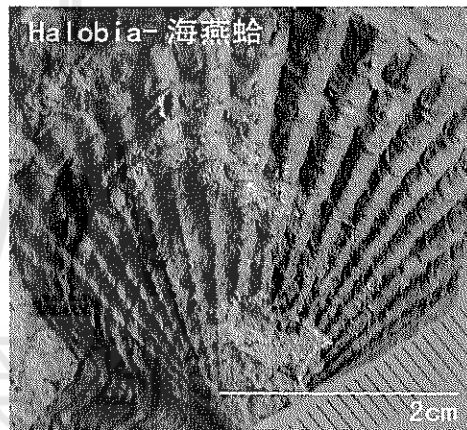
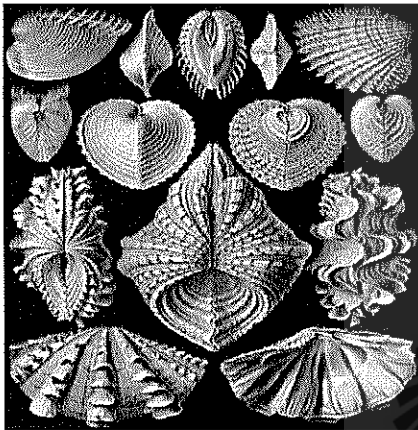
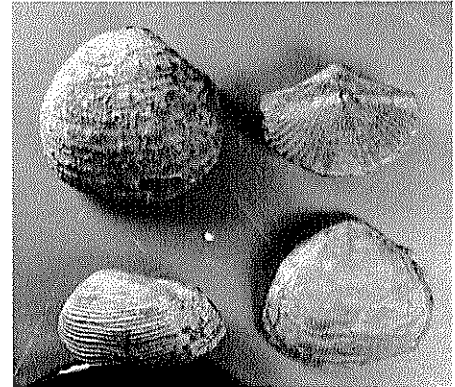
Replaced with pyrite

Replaced with quartz & hematite (red color).

"The present is the key to the past"

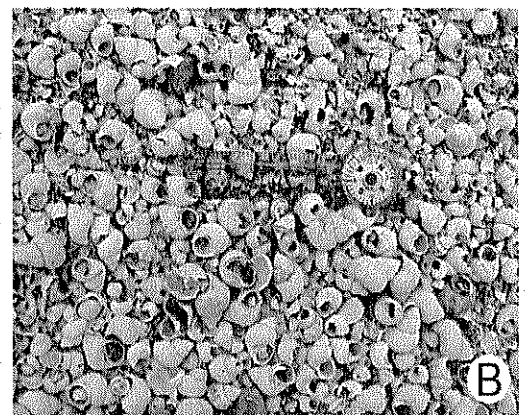
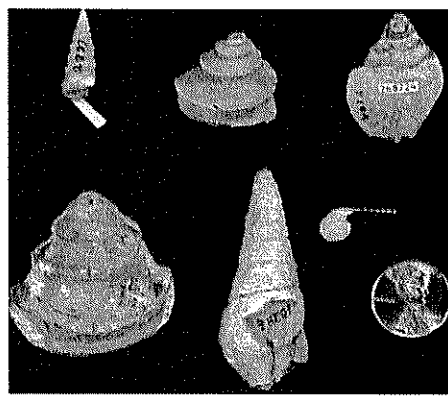
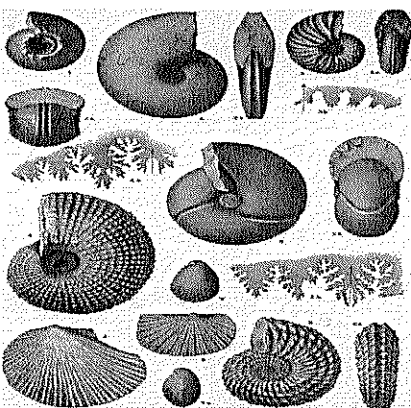
Pelecypods

- หอยสองฝาๆเท่ากันทั้งขนาดและรูปร่าง ได้แก่ Clam (หอยกาบ), scallop, oyster
- พบได้ทั้ง Marine and Non-marine (ระดับน้ำตื้น)
- เมื่อดู ผาสองด้านจะแยกจากกัน
- พบได้กว้าง ปลายยุค Paleozoic to Cenozoic
- Thailand: genus Daonella, Halobia, Posidonis (Late Triassic)
- Anatoconcha (ที่เขาสมโภชน์) จ.ลพบุรี



Gastropods

- หอยฝาเดียว เปลือกอาจจะปิด หรือขดเป็นวง
- พบใน marine-non marine
- เป็นสัตว์กินพืชหรือกินสัตว์
- Ex. หอยทาก (100,000 sp.)พบในทุกสภาวะอากาศ ทุกแห่ง (ที่ลุ่มถึงเขาสูง)
- Paleozoic to Cenozoic
- Thailand: Genus Viviparus (Pliocene)

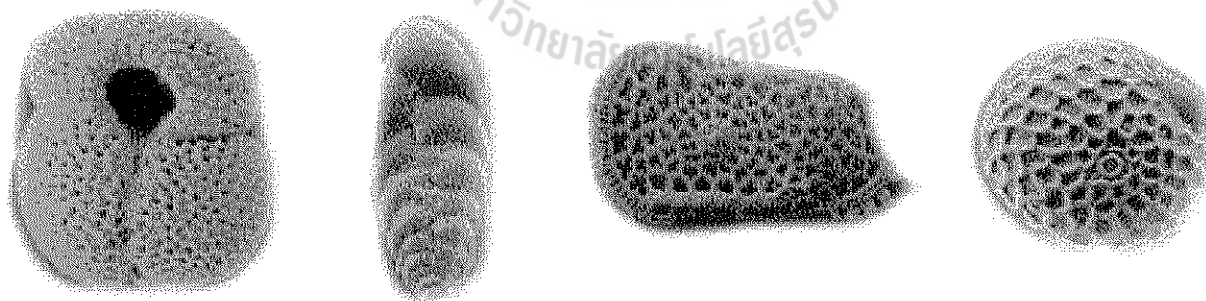


Microfossils

- Microfossils are particularly useful
 - because many individuals can be recovered from small rock samples
- In oil-drilling operations, small rock chips
 - called **well cuttings** are brought to the surface
- These cuttings rarely
 - contain complete fossils of large organisms,
but they might have thousands of microfossils
 - that aid in relative **dating** and environmental analyses

Micropalaeontology

- Micropalaeontology is the study of the fossilised remains of foraminifera (single cell protozoans), ostracods (bivalved crustaceans) and associated microfossils (such as radiolaria and diatoms).
- **Foraminifera** are of great importance as stratigraphic markers and indicators of marginal to fully marine environments.
- Cenozoic and Mesozoic foraminifera (planktonic (ว่ายน้ำ), benthonic and larger benthonic (อยู่ตามพื้น)), ostracods (marine and non-marine)

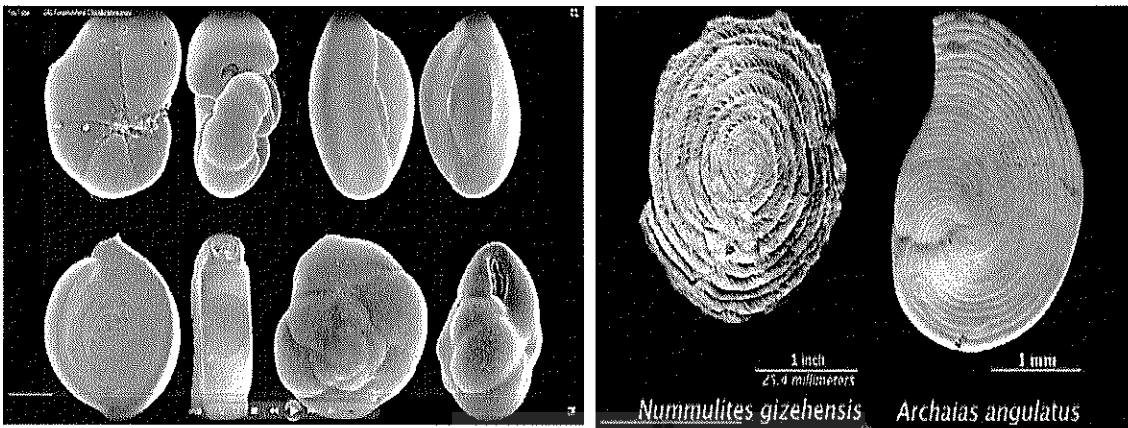


Foraminifera

Foremen = hole Ferre = bear

Test

Testa= shell



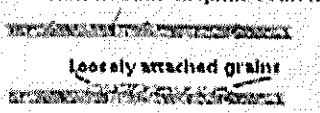
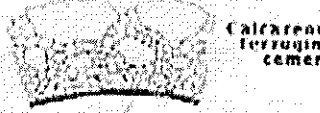

Foraminifera

- Small, one-cell animal
- Phylum Protozoa, planktonic (free-floating)
- Calcareous shells
- Early Paleozoic to Recent
- Use for zoning wells, age of sediments, paleoecological indicators
- Common indicating marine environment

It can be separated three type of foraminifera:

1. Microforaminifera
2. Small foraminifera
3. Large foraminifera

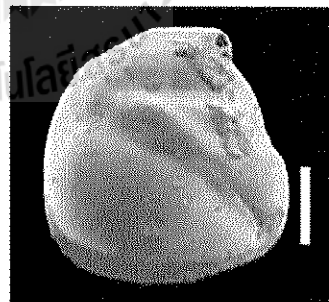
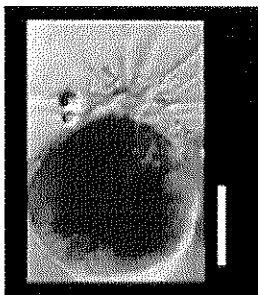
Test Well composition

MEMBRANOUS		ARENACEOUS	
Allogromines		Textularines	
Thin flexible organic cement  Loosely attached grains PROTI INACTOUS (Tectinous)		Sedimentary particles  Calcareous or ferrous cement Basal organic layer ACGLUTINATED	
CALCAREOUS			
Fusulinids	Miliolids	Rotallines	
Random or normally oriented calcite crystals  Basal organic layer MICROGRANULAR	Ordered outer layer Random calcite crystals Ordered inner layer Basal organic layer PORCELLANEOUS	Radial crystals Glassy wall with multiple perforations Basal organic layer HYALINE	

TEST WALL COMPOSITION

- three basic divisions for composition of test walls:
- proteinaceous: organic-walled tests
- agglutinated: cemented foreign particles, mostly arenaceous
- secreted: calcium carbonate or silica

Proteinaceous & Siliceous Tests



Proteinaceous

- Oldest type of foraminifer
- Test consists of thin layer of organic material
- Found in low salinity envi.
- Entirely benthic

Siliceous

- First discovered in 1970's
- Test consists of siliceous material
- Found in deep sea envi. (below CCD)
- Entirely benthic

Foraminifera Test (Skeleton/shell) composition vs. Environment

1. Agglutinated test

- **Qtz grn:** mica, flake-clay skeleton debris (**arenaceous**)
- Brackish lagoon & Estuaries
- **Shallow-deep water but non-calcareous**

2. Porcelaneous Opaque (Secreted)

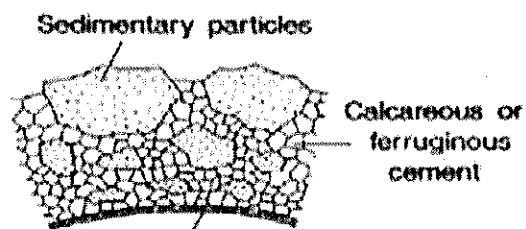
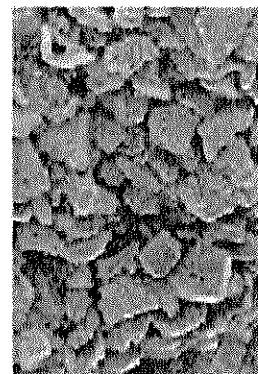
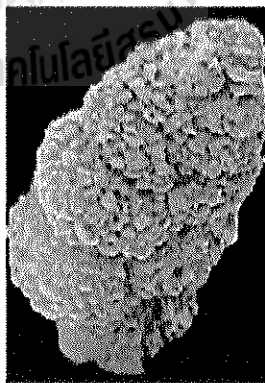
- **Calcareous:** white & brilliant in reflected light
- **Hyper saline Lagoon (shallow water)**

3. Hyaline (Secrete)

- **Calcareous:** Glass like transparency (โปร่งใส)
- **Shallow to deep water but in deepest water**

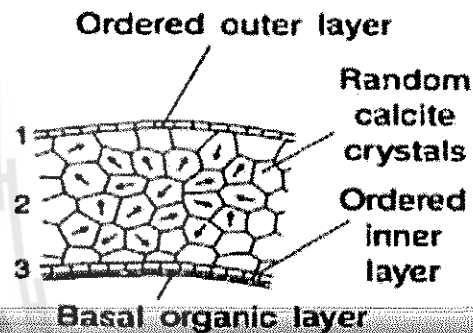
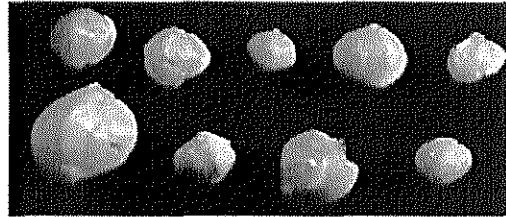
Agglutinated test

- Cambrian-Recent
- selective incorporation of foreign particles (commonly sand grains) onto organic test wall
- particles cemented by iron or carbonate cements secreted by foram
- entirely benthic
- variable test form
- widest geographical distribution

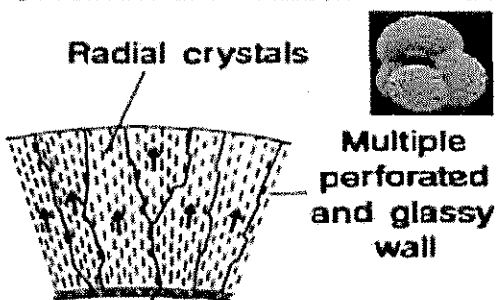
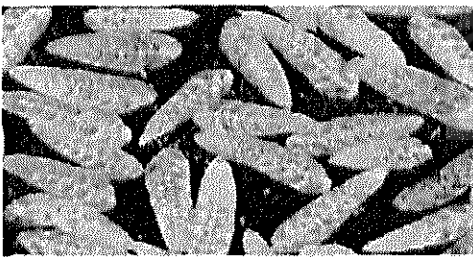


Porcellaneous

- earliest in Carboniferous
- 40% of current forams
- randomly arranged microscopic rods of calcite, with ordered inner and outer surface layers
- imperforate test
- generally milky-white
- often with complex milioline coiling
- entirely benthic



Hyaline

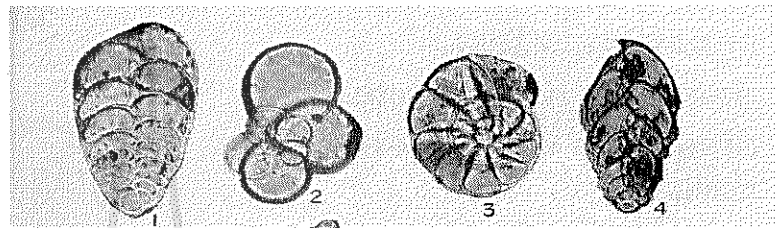
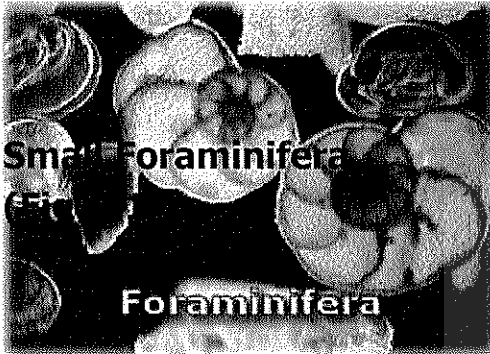


- generally multilamellar and commonly porous
- c-axis of the calcite framework can show a preferred growth orientation (often radial)
- glassy (transparent if not altered)
- perforate (some with sieve plates)
- benthic and planktonic forms

Microforaminifera

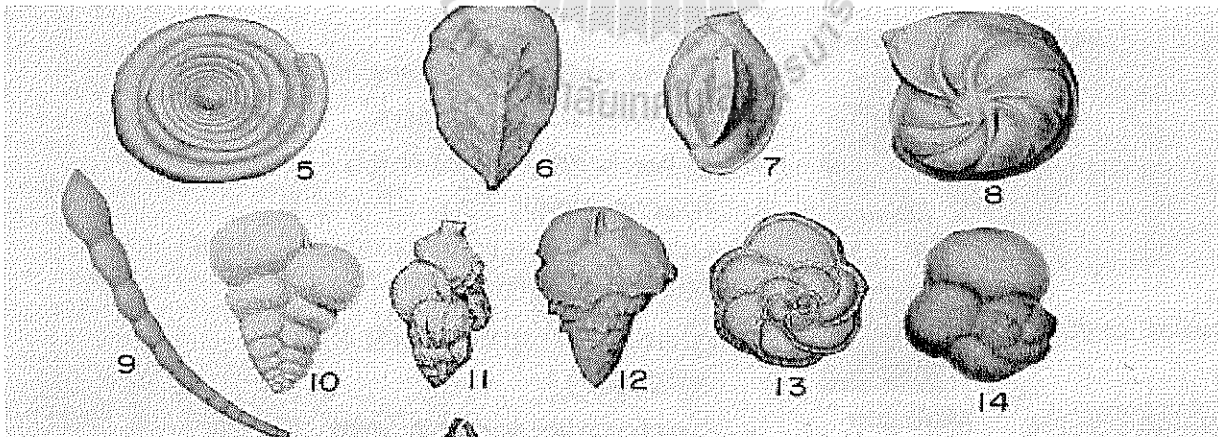
Figs 1-4

- Size avg. 500 microns (0.5 mm), ranges from 50-150 microns
- abundant in sedimentary rocks of marine origin.



Small Foraminifera (Fig 5-14)

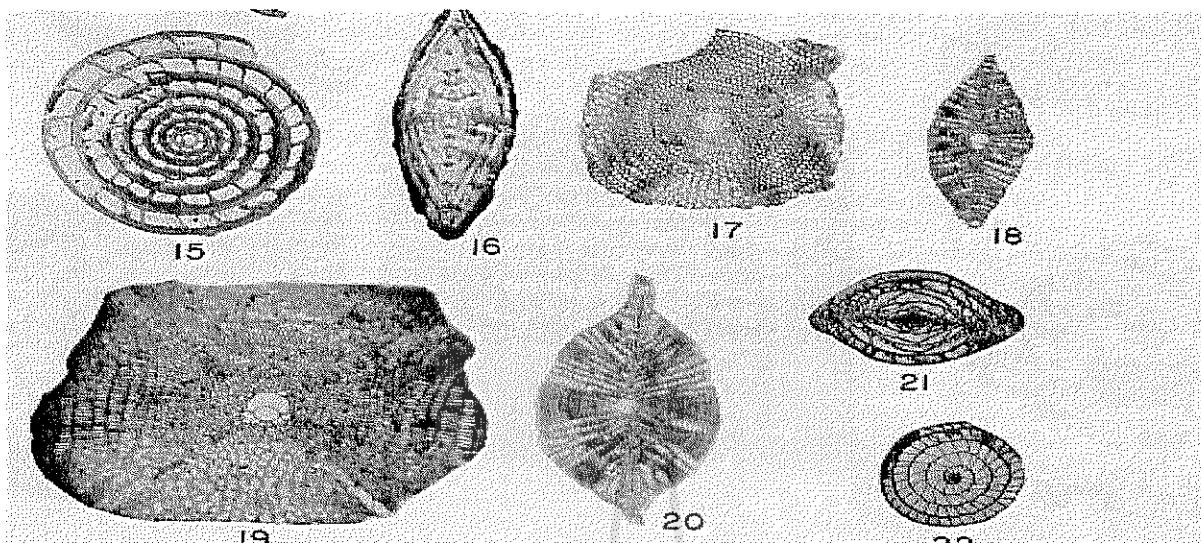
- Use more in oil company lab
- Use widely for correlation age, paleoecologic determination



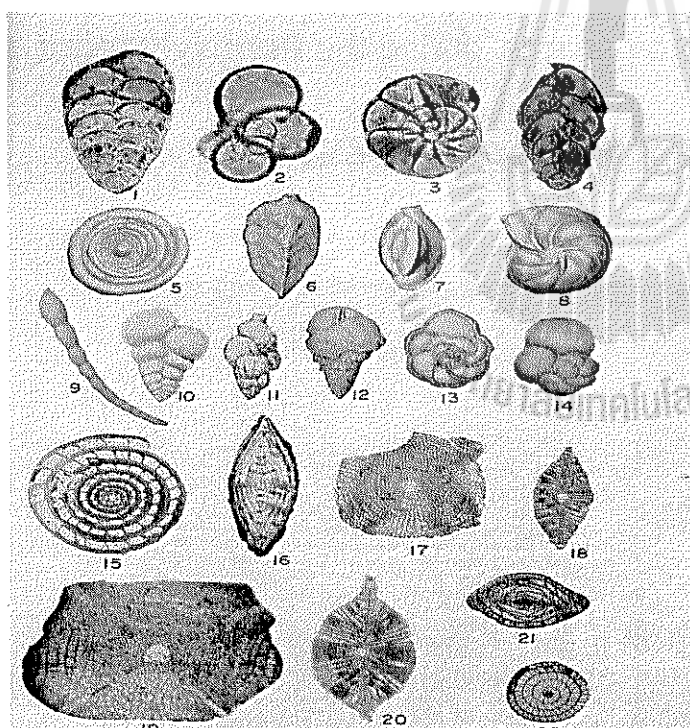
Large Foraminifera (Figs. 15-22)

- Families: *Orbitoidae*, *Discocyclinidae*, *Miogypsinidae* **and** *Fusulinidae*

- Common found in carbonate rocks
- *Fusulinids- Late Paleozoic foraminifera*



Micro-foraminifera



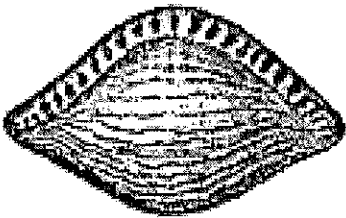
Small-foraminifera

Large-foraminifera

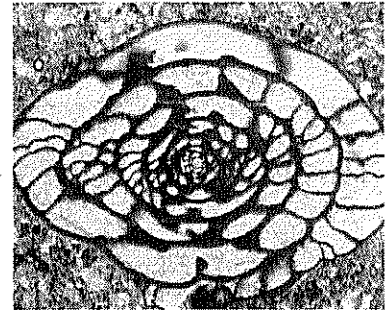
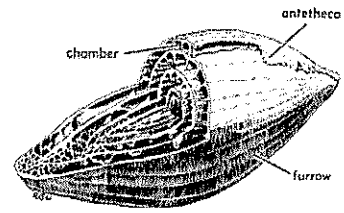
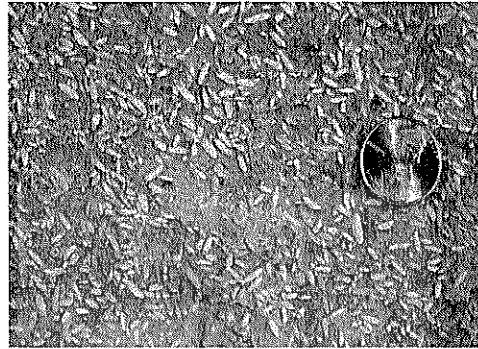
Fusulinids (large foraminifera)



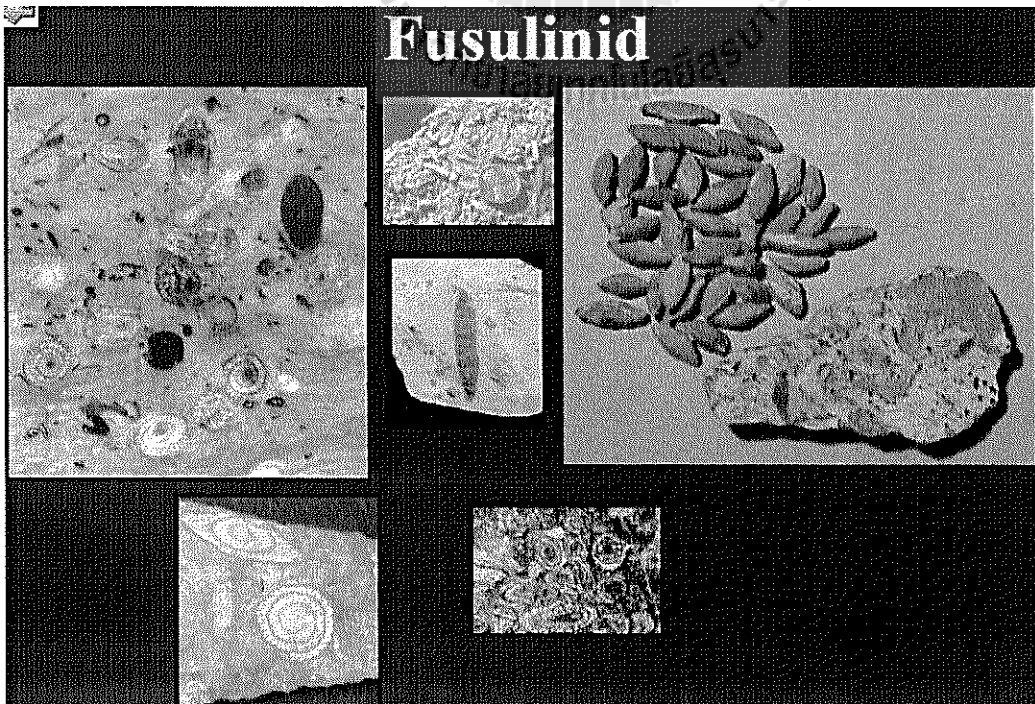
Fusulina ocme 5x



Fusulina girtyi 5x

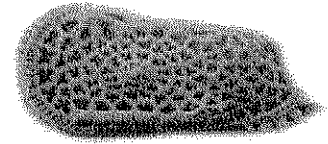


- Fusulinids were small, marine organisms, during the **Pennsylvanian and Permian** periods.
- **Mass extinction** at the **end of the Permian Period**

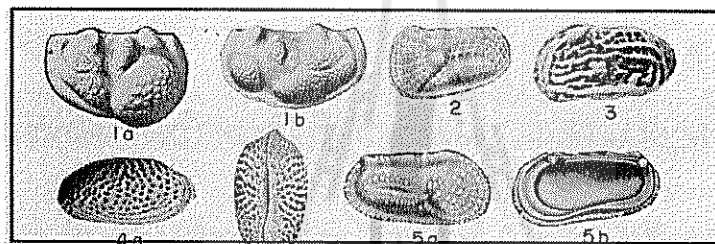


Ostracods

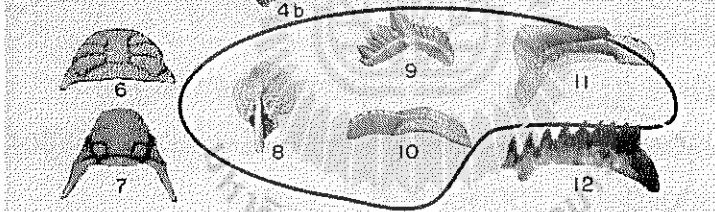
- Small Bivalve Crutacea (สัตว์ซึ่งมีเปลือกหุ้ม)
- More Marine environments (เปลือกหนา) than fresh water(เปลือกค่อนข้างบาง) and brackish water (เปลือกหนาปานกลางแต่จะมีรอยขีดข่วนเนื่องจากโดนขัดถูและกระแทก)
- 0.5 to more 20 millimeters in length
- Ordovician to Recent
- Found in shales, marls, and limestone
- (Low energy)



Ostracods

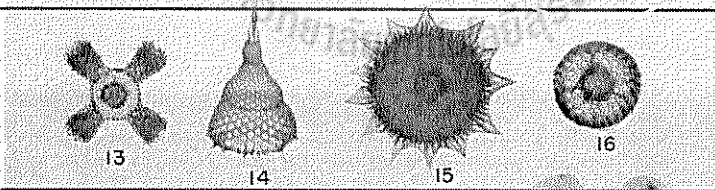


Ostracods
Figs 1-5

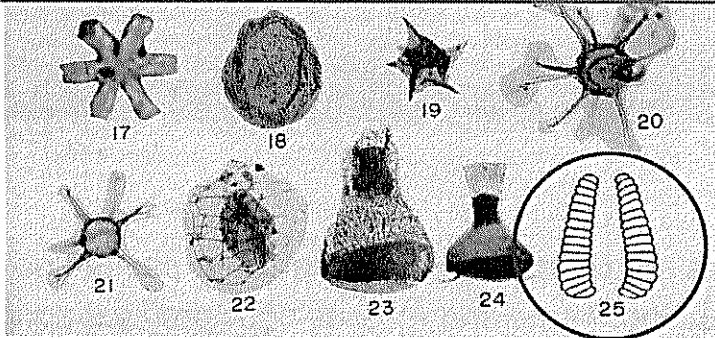


Conodonts
(Ordovician to Triassic)
Marine
Figs 8-11

Radiolaria
(Cambrian to Recent)
silica or strontium sulfate sediment
Figs 13-16



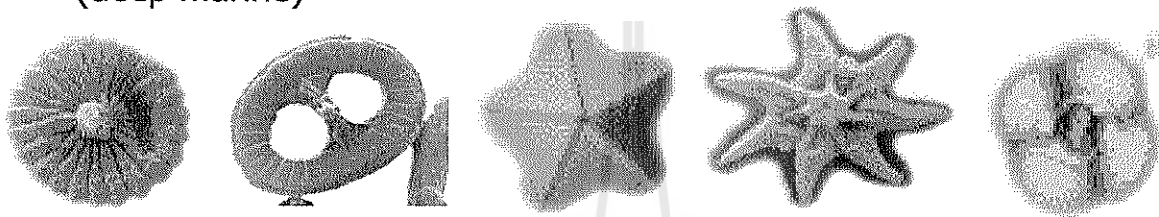
Scolecodonts
(Ordovician to Recent)
Brackish to marine
Figs 12



Nannoconus
(Cretaceous marine sediment)
Figs 25

Nanopalaentology

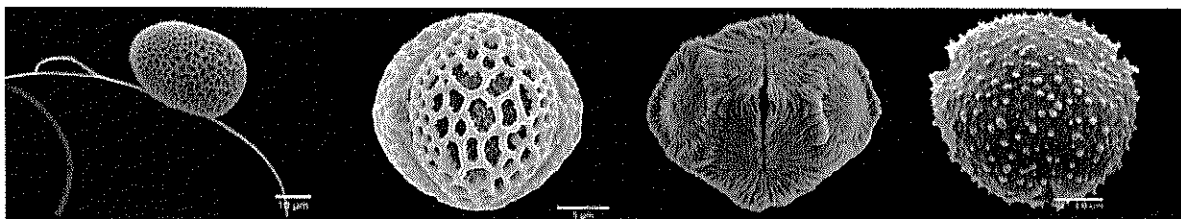
- The ultra-microscopic calcareous remain of calcite secreting (size 1-35 micron)
- Unicellular marine phytoplankton (nanoplankton) (shape: rosette-star-Button (coccolite คล้ายกระดุม))
- Upper Triassic-Recent
- Marine Environment
- (deep marine)



Palynology (Spore & Pollen)

Palynology is the study of organic walled microfossil (palynomorphs),
Precambrian-Recent

- **Marine group** : dinoflagellate cysts, acritarch, prasinophycean algae, chitinozoans
- **Non-marine group**: pollen, spore, fresh algae
- Tertiary and Mesozoic: dinoflagellate cysts, pollen and spores
- Palaeozoic: chitinozoans, spores and pollen



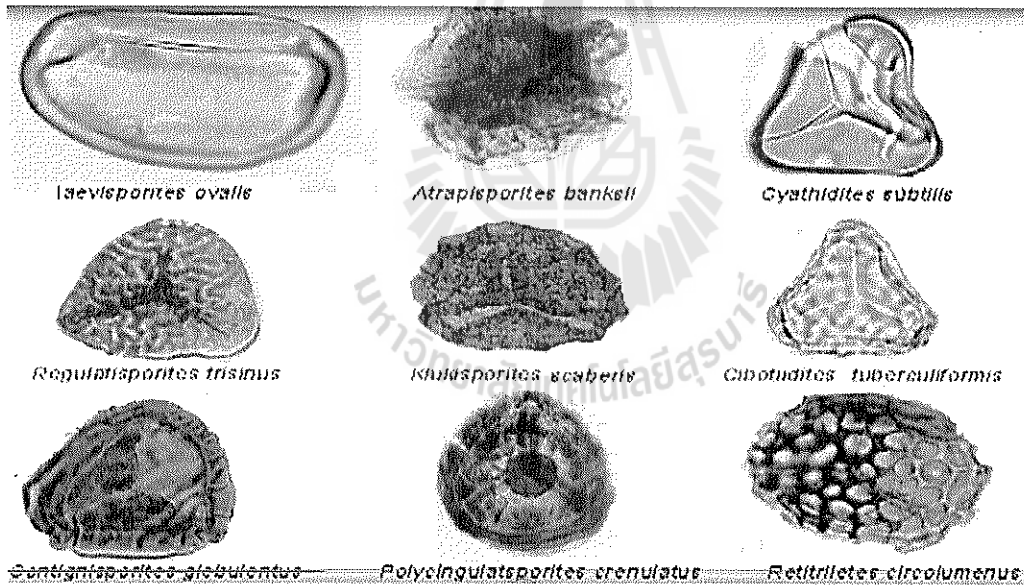
Spore

Spores are used by groups of ancient plants and fungi in one stage of their reproduction. Ferns and mosses both produce spores.



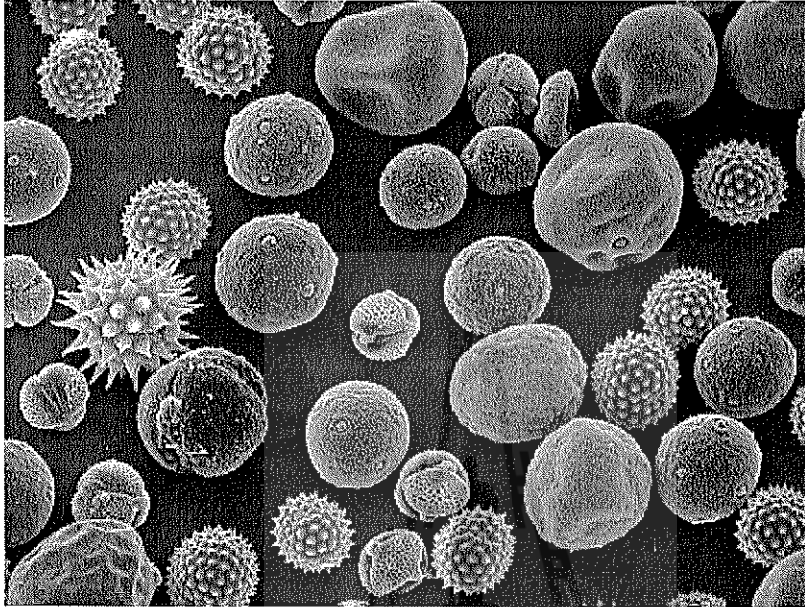
Back dots are spores on fern

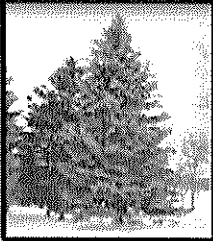
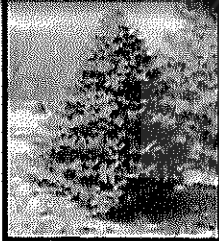

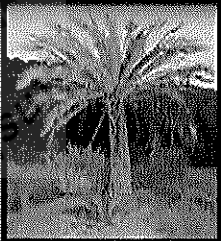

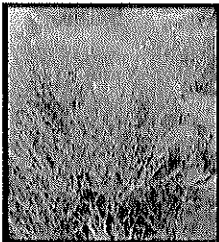
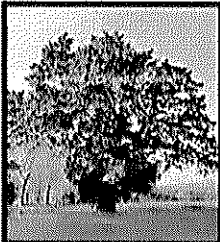

Fossil spore from New Zealand

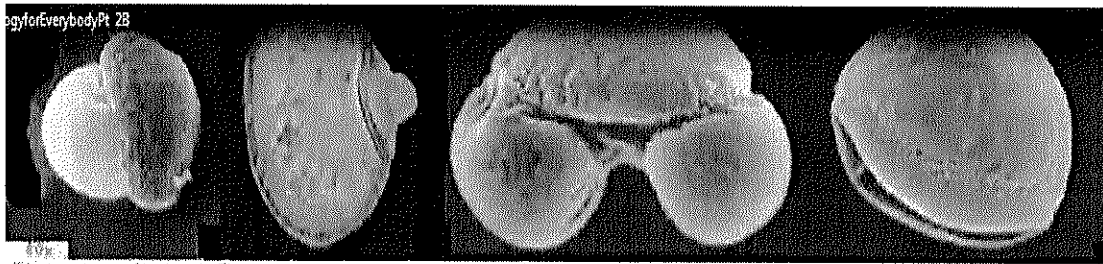


Pollen

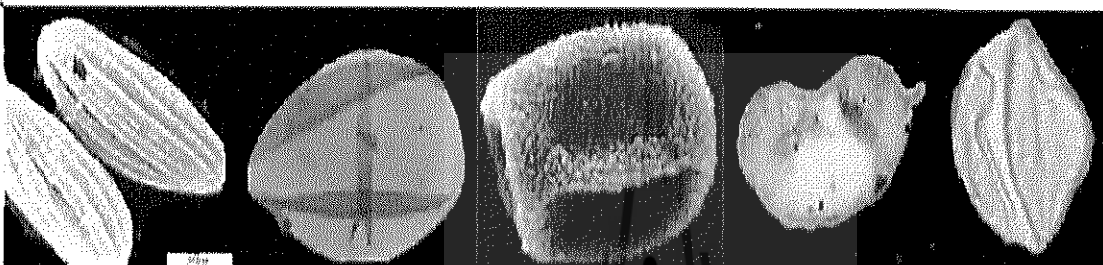
Pollen is used by flowering plants to fertilize seeds. Fertilized seeds grow into adult plants. (pollen size larger than spore)



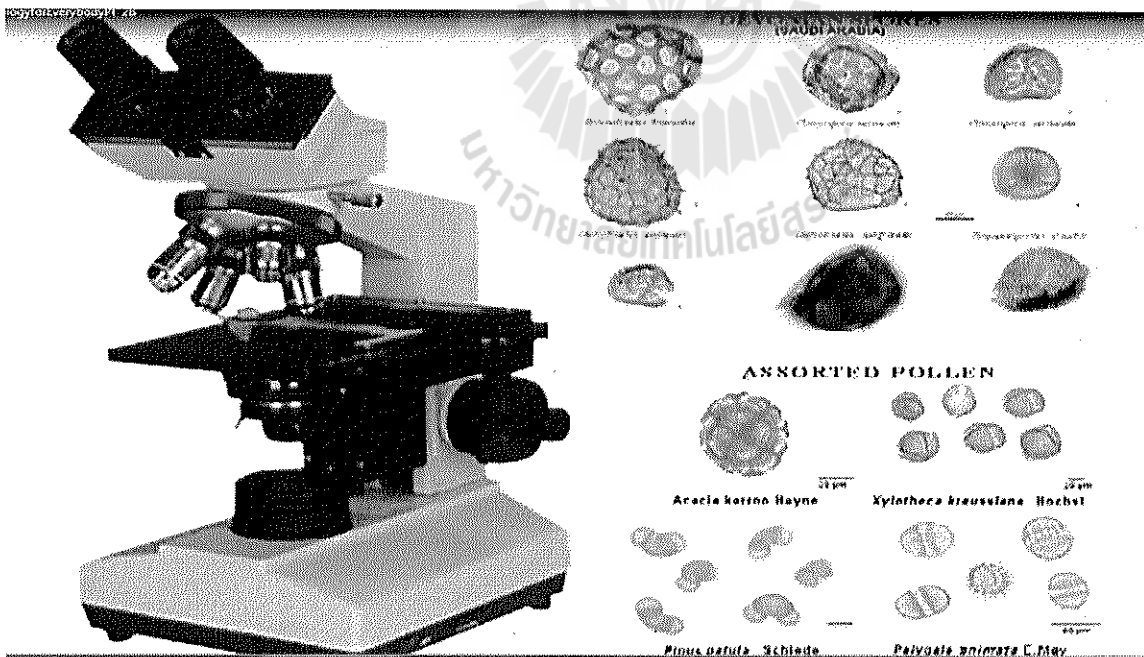
			
Pine	Fir	Spruce	Cycad
			
Sequoia	Ephedra	Yew	Ginkgo
MAJOR GROUPS OF GYMNOSPERMS			
<small>Cycas (Culres. La. Cae) not figured</small>			



Pinus ponderosa Ponderosa pine *Sequoia sempervirens* Coast Redwood *Pinus echinata* Shortleaf Pine *Ginkgo biloba* maidenhair tree

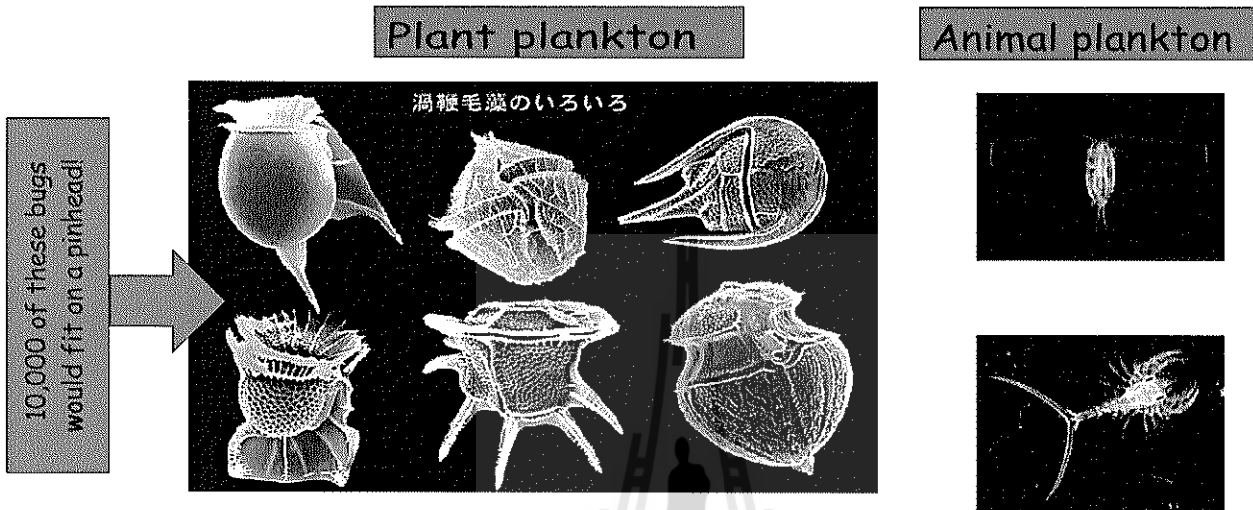


Ephedra triturfca Longleaf Jointfir *Pseudotsuga menziesii* Douglas Fir *Taxus baccatus* English Yew *Picea engelmannii* Englemann spruce Fossil (Tasac) N.Z.



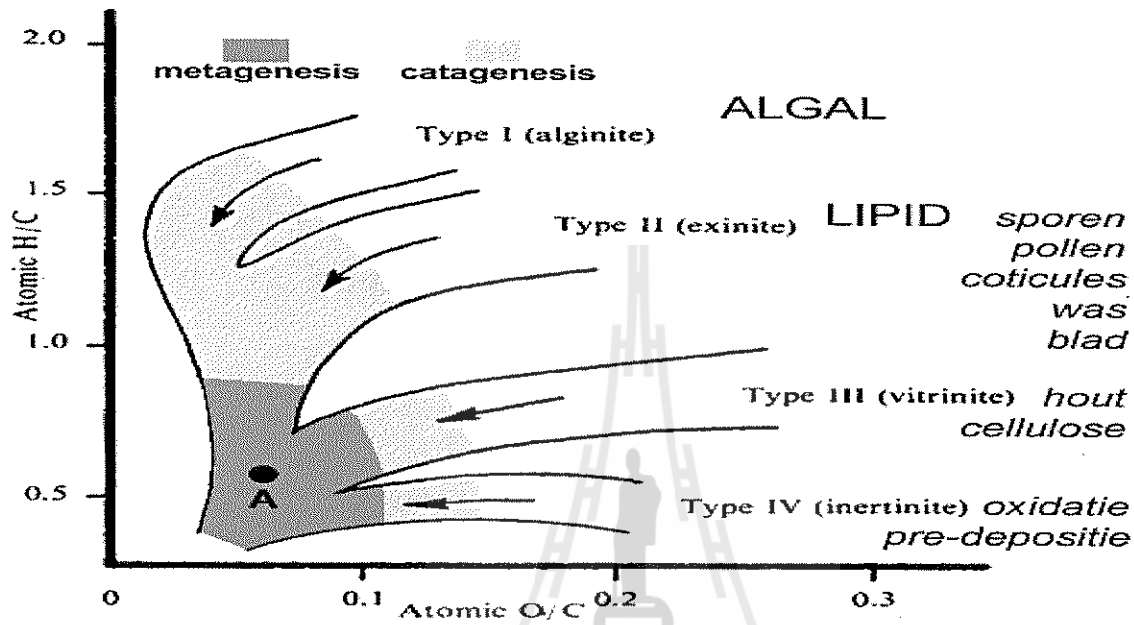
ประโยชน์ในการศึกษา Fossil กับ Petroleum

1. Depositional environment
2. Age of formation
3. Source rocks==Plankton



Presenter notes: It may come as a surprise but most of the world's oil and gas is made up of the fossil remains of microscopic marine plants and animals. That's why oil and gas are often referred to as a fossil fuel. One of the most important group of plankton involved in the formation of oil and gas are single-celled marine 'plants' called dinoflagellates, though many types of animal plankton are also important. Some oil and gas may have also originated from the remains of land plants, but we will not discuss these types of deposits in this talk.

Kerogen Type



Van Krevelen diagrams are a graphical-statistical method that cross-plots the O/C and H/C ratios of

Trace fossils or ichnofossils

- Trace fossils or ichnofossils represent the effects of organismal activity **upon** or in the **substrate**.
- Not preserving the body or the morphology of the original organism
- Not transported from their original place of origin, and are thus good indicators of the original sedimentary environment.

Ichnofacies

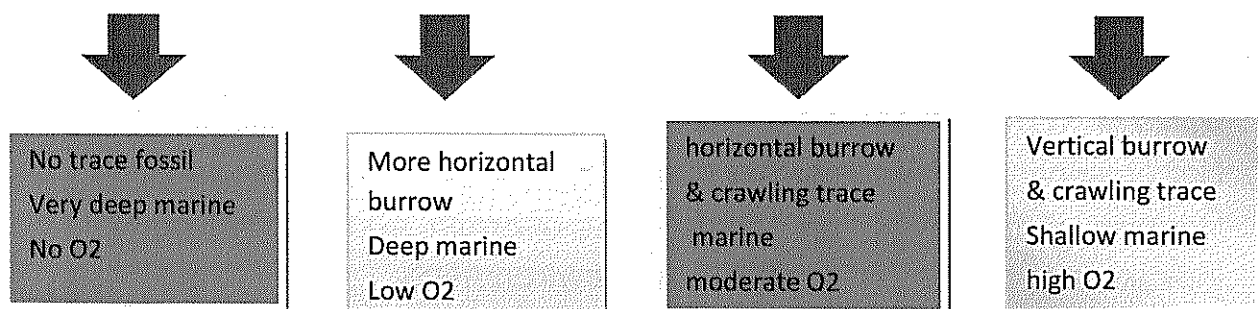
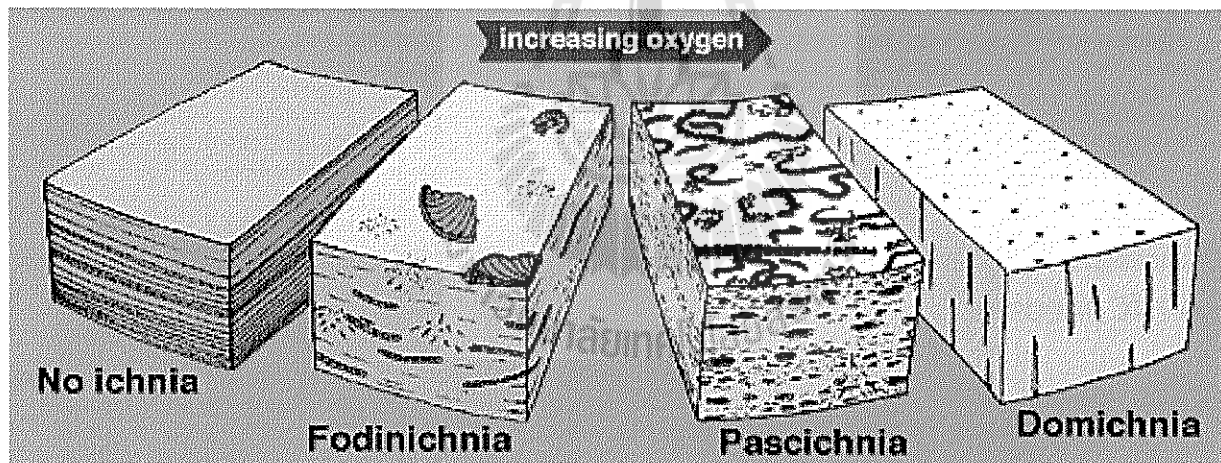
- The concept of Ichnofacies used as a paleontological tool to analyze assemblages of trace fossils to determine ancient depositional settings and facies of sedimentary rocks.

The character determines the ichnofacies assemblage into:

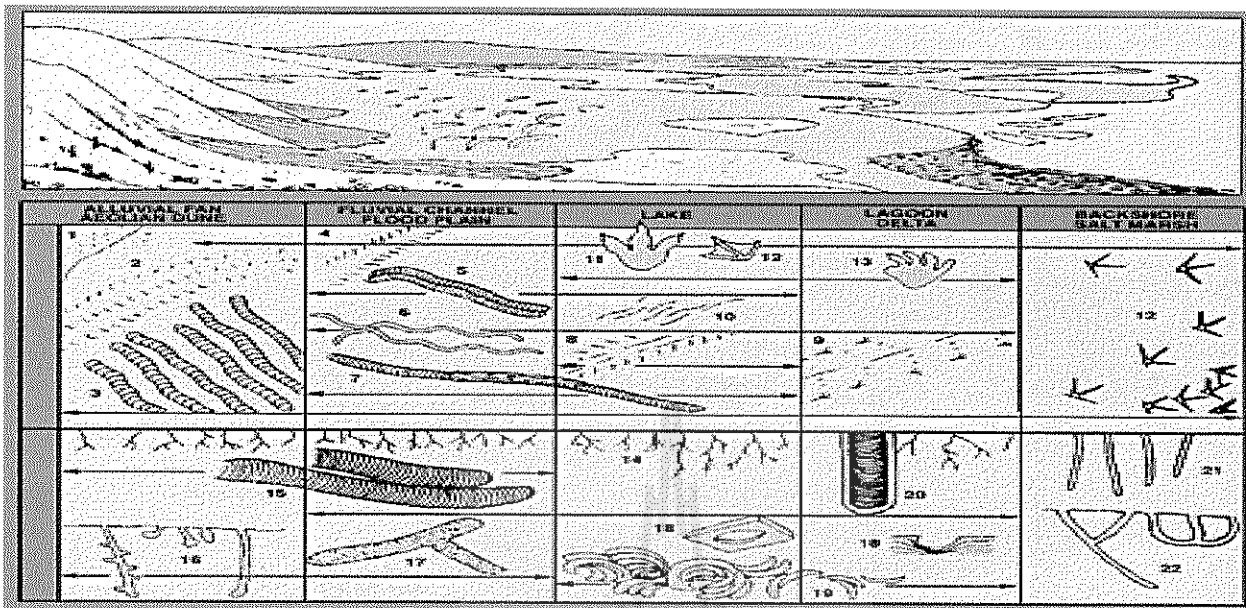
- **Souppground: Slurry**
- **Softground: Grains in contact, but wet**
- **Firmground: De-watered, compacted**
- **Hardground: Cemented**

Slurry ผสมของเหลวกับวัสดุที่เหนียวๆ เช่นโคลน ดิน ซีเมนต์

Trace fossils or ichnofossils



Distribution of trace fossils in marine environments

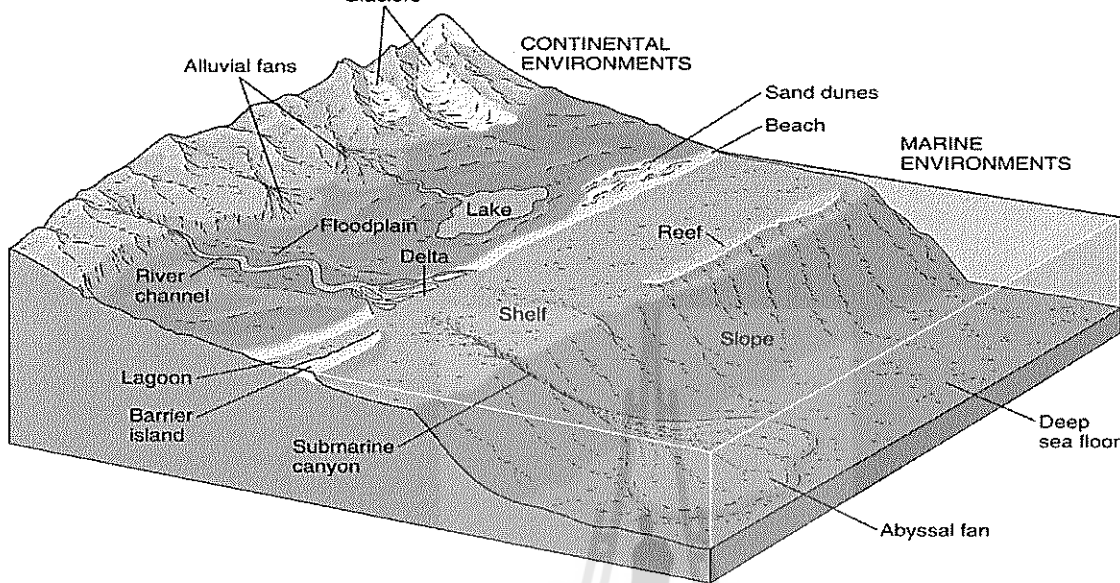


Distribution of trace fossils in non-marine environments:

Palaeohelcura (scorpion trackway); 2. *Mesichnium* (insect trackway); 3. *Entradichnus* (exogenic insect traces); 4. *Acripes* (crustacean trackway); 5. *Cruziana problematica* (branchiopod crustacean burrow); 6. *Cochlichnus*; 7. *Scoyenia gracilis*; 8. *Siskemia* (arthropod trackway); 9. *Kouphichnium* (xiphosuran trackway); 10. *Undichnus* (fish swimming traces); 11. reptile track; 12. bird tracks; 13. amphibian track; 14. roots; 15. *Beaconites*; 16. insect burrows; 17. *Spongeliomorpha carlsbergi* (insect burrow); 18. *Lockeia siliquaria*; 19. *Fuerschichnus communis*; 20. *Diplocraterion paralellum*; 21. *Skolithos*; 22. *Psilonichnus* and other crab burrows. (after Bromley, 1996)

Depositional Environment

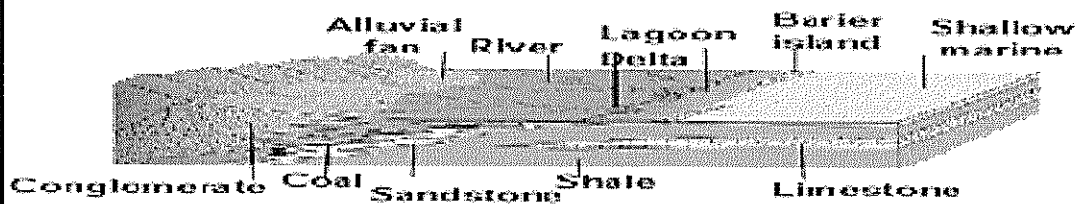
Copyright © McGraw-Hill Companies, Inc. Permission required for reproduction or display.



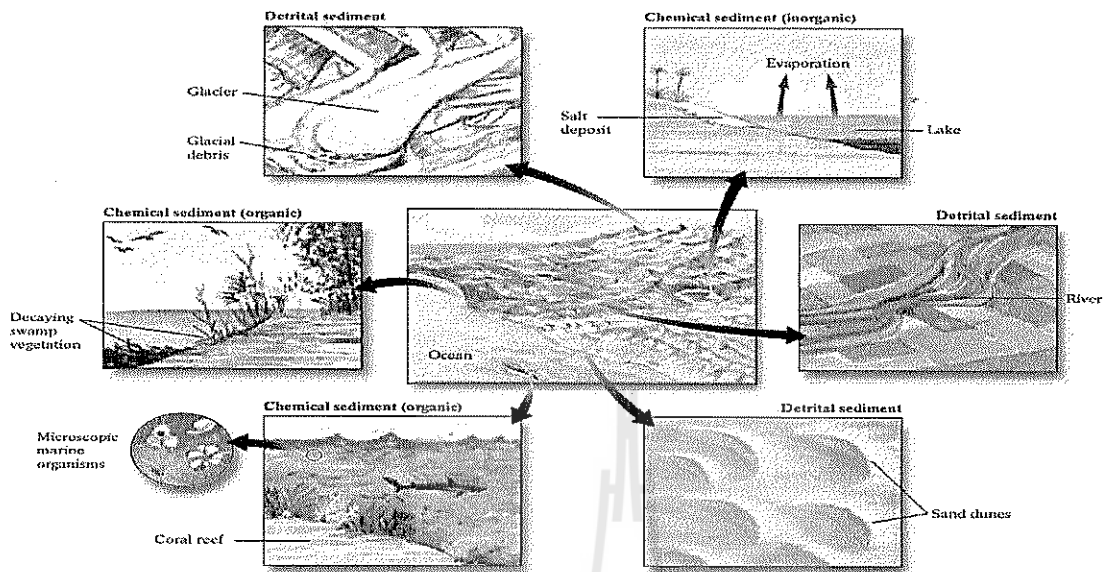
Reading the Story in Sedimentary Rocks

- **Determining the Environment of Deposition**
 - Geologists attempt to make interpretations about ancient environments based on analyses of rocks, fossils, and sedimentary structures and comparison with modern day processes

Interpretation of ancient sedimentary environments



Types of Sediment



Environments Where Deposition Occurs

Sedimentary rocks may be:

1. Extrabasinal in origin - Sediments formed from the weathering of pre-existing rocks outside the basin, and transported to the environment of deposition.

2. Intrabasinal in origin - Sediments form inside the basin; includes chemical precipitates, most carbonate rocks, and coal.

By comparing modern sedimentary deposits with ancient sedimentary rocks, the depositional conditions can be interpreted

General Environmental Indicators

1. Grain size

Fine grain size: low energy mechanisms (e.g. standing water)

Course grain size: higher energy mechanisms (running water or wave action).

2. Grain composition

Rock fragments & feldspars: close to source

Quartz: generally far from source but depends on source itself

3. Rounding

Angular fragments: close to source

Rounded fragments: generally far from source but, depends on source

3. Sorting

Well sorted: constant or small range of energy at deposition

Poorly sorted: erratic energy or very high energy environment (e.g. glaciers or high gravitational forces such as near mountains)

4. Color

Red: oxidizing environments- at or near surface, not in oceans.

Special Environmental Indicators

1. Sedimentary Structures

Bedding & lateral continuity, Ripple marks, Mudcracks, Scours, Cross-bedding, graded bedding, Rip-ups

2. Fossils

Dfn: fossils are the remains or traces of once living organisms

Fish live in water, for example. Different species can indicate the environments where they live

Classification of Sedimentary Environments

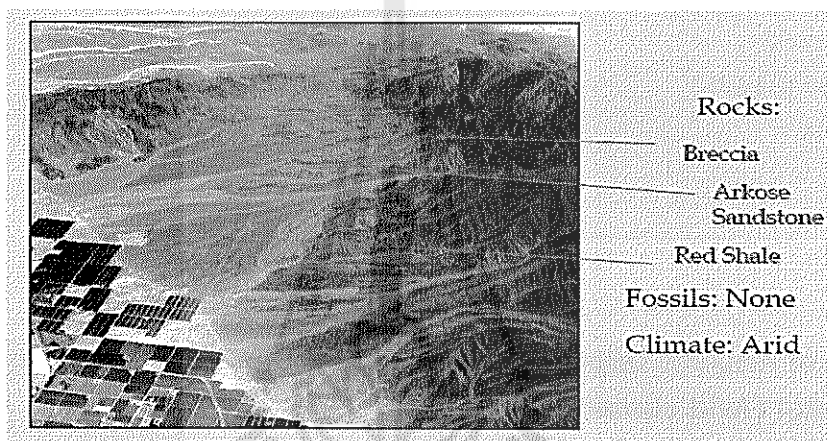
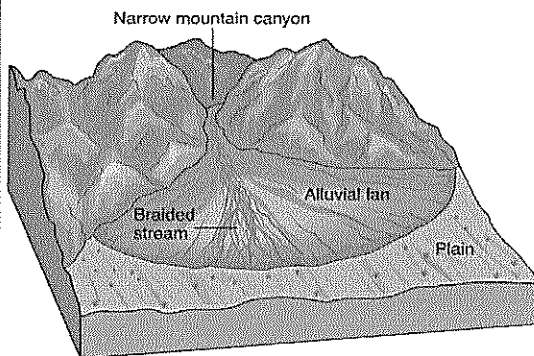
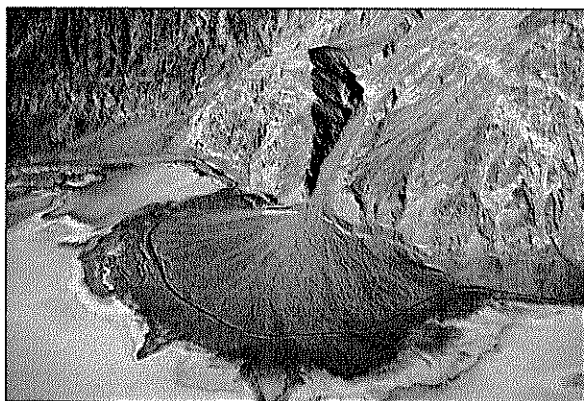
Continental Environments (Terrigenous)	Transitional Environments (Shoreline)	Marine Environments
<ul style="list-style-type: none"> • Alluvial or Fluvial (Running Water) • Lacustrine (lake) • Paludal (Swamp and Marshes) • Eolian (Deserts) • Glaciers 	<ul style="list-style-type: none"> • Alluvial or Fluvial (Running Water) • Lacustrine (lake) • Paludal (Swamp and Marshes) • Eolian (Deserts) • Glaciers 	<ul style="list-style-type: none"> • Continental shelf • Reef • Continental slope and rise • Abyssal Plain

Interpretation of Ancient Depositional Environments from sedimentary rocks

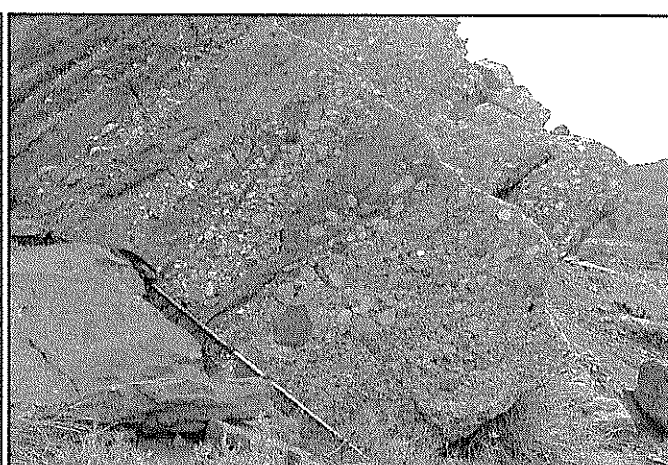
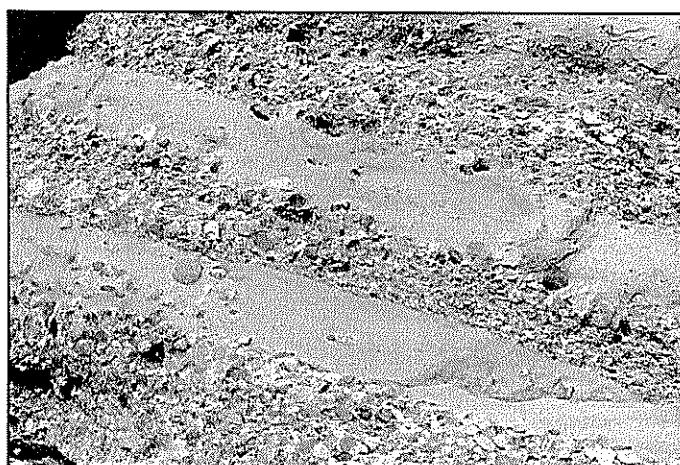
- **Continental (Arid climate)**
 1. Alluvial Fans
 2. Playa Lakes
 3. Deserts
- **Continental (Normal climate)**
 1. Glacial
 2. River Systems: meandering and braided
 3. Lakes or lacustrine
 4. Swamps or marsh

1. Alluvial Fan

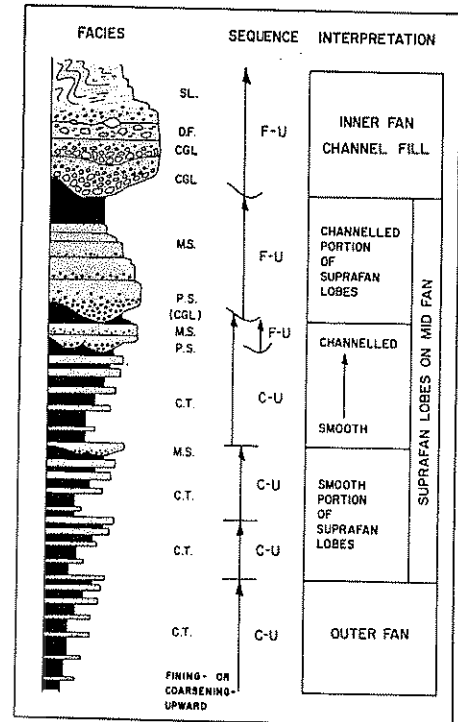
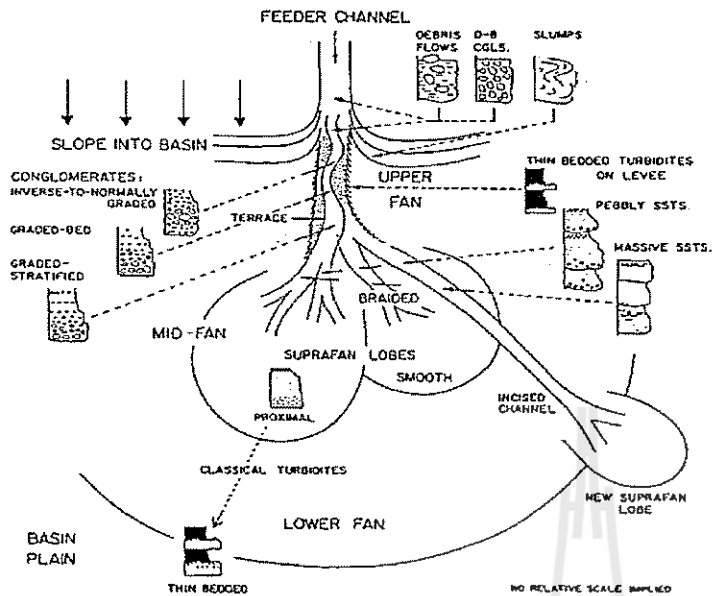
- Fan-shaped deposits formed at the base of mountains.
- Most common in arid and semi-arid regions where rainfall is infrequent but torrential, and erosion is rapid.
- Sediment is typically coarse, poorly-sorted gravel and sand.
- cross-bedding and lens-shaped channel deposits.



- Sediment is typically coarse (mix of boulder), poorly- sorted gravel and sand (high energy)
- There are fine sediments (Siltstone & claystone) interbedded with coarse grain (low energy)



Alluvial Facies



Alluvial fan and petroleum production

- Are not generally reservoir rocks because of abrupt and erratic changes in both laterally and vertically facies
- No source rocks
- No seal
- Reservoir rocks are usually found within the stream-flow deposits, providing migration path of hydrocarbon and source rocks are available

ตารางที่ 11-8 ลักษณะเด่นของ alluvial facies (จาก Tucker, 1982)

Deposition : is complex, alluvial systems include meandering streams with well-developed floodplains, braided streams, and alluvial fans. In the first, lateral migration of channels is characteristic, with overbank sedimentation and crevasse splays on floodplains. Channel processes dominate in braided streams, and on alluvial fans, stream and sheet floods and debris flows occur.

Lithologies: from conglomerates through sandstones to mudrocks; thin intraformational conglomerates common; many sandstones are lithic or arkosic.

Textures: many stream-deposited conglomerates have a pebble-support fabric with imbrication, debris flow conglomerates are matrix supported; many fluvatile sandstones are red and consist of angular to rounded grains, with moderate sorting.

Structures: fluvatile sandstones show tabular and trough cross-bedding, flat bedding + parting lamination, channels and scoured surfaces; finer sandstones show ripples and cross lamination; stream deposited conglomerates are often lenticular with crude cross bedding; mudrocks are often massive, with rootlets and calcareous nodules (calcrete).

Fossils: plants dominate (fragments or in situ), fish bones and scales, freshwater molluscs.

Paleocurrents : unidirectional, but dispersion depends on stream type.

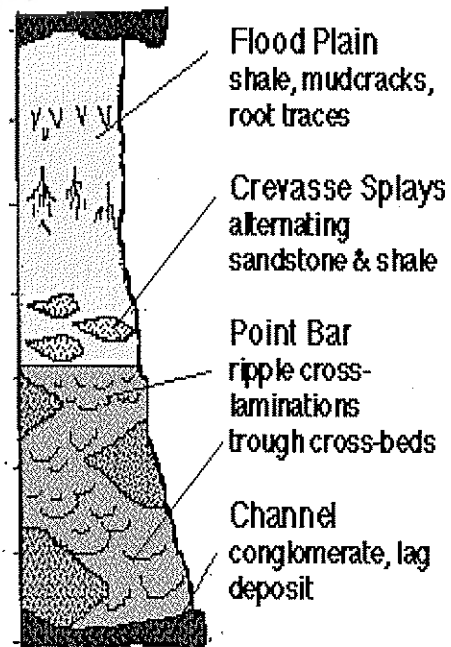
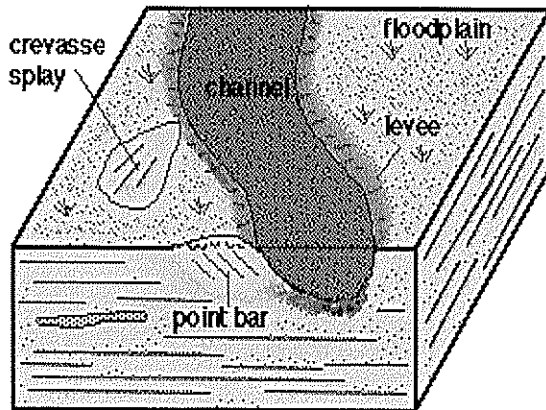
Geometry: sand bodies vary from ribbons to belts to fans.

Facies sequences: depend on type of alluvial system: alluvial fan sequences may show an overall coarsening or fining up depending on climatic/tectonic changes; meandering streams produce fining upward cross-bedded sandstone units up to several meters thick with lateral accretion surfaces, interbedded with mudrocks, often containing calcretes; sandy braided streams produce lenticular cross-bedded sandstones with few mudrock interbeds.

2. Fluvial

- **Fluvial environments** include **braided** and **meandering** river and stream systems.
- River channels, bars, levees, and floodplains are parts (or subenvironments) of the fluvial environment.
- Channel deposits consist of **coarse, rounded gravel, and sand.**
- Bars are made of **sand or gravel.**
- Levees are made of **fine sand or silt.**
- Floodplains are **covered by silt and clay.**

Fluvial System



2.1 Meandering system

Occurrence: low gradient permanent streams in temperate humid climates.

Physical processes: sedimentation of sand by traction currents. Sedimentation of fines from suspended load on flood plain

Lithology: Medium-fine sand & shales in about equal proportions, minor conglomerates, coals and concretionary limestones

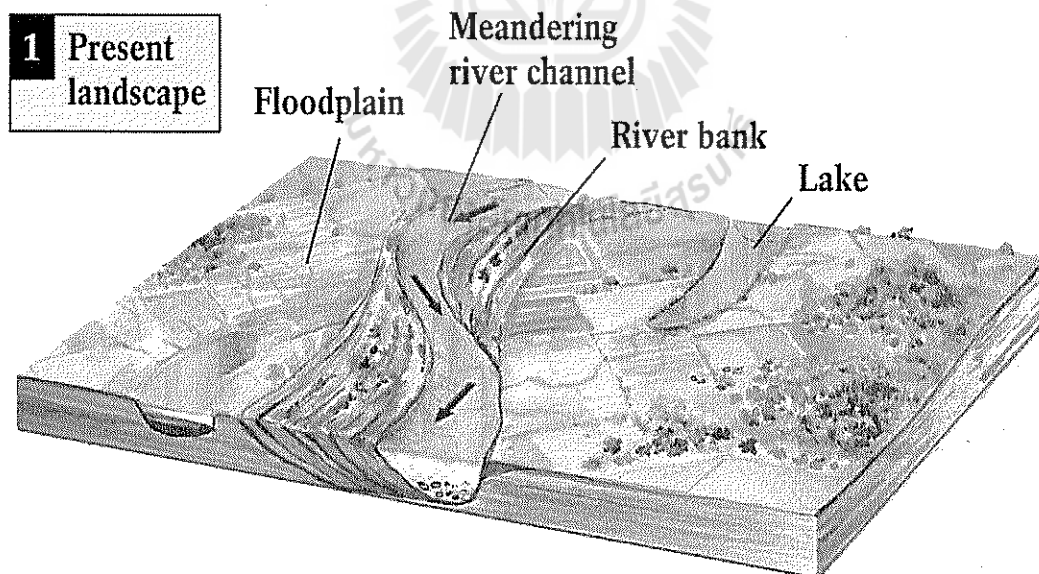
Sedimentary structures: spore & pollen, Rare plant debris, vertebrate remains & freshwater mollusc shells.

Meandering river facies

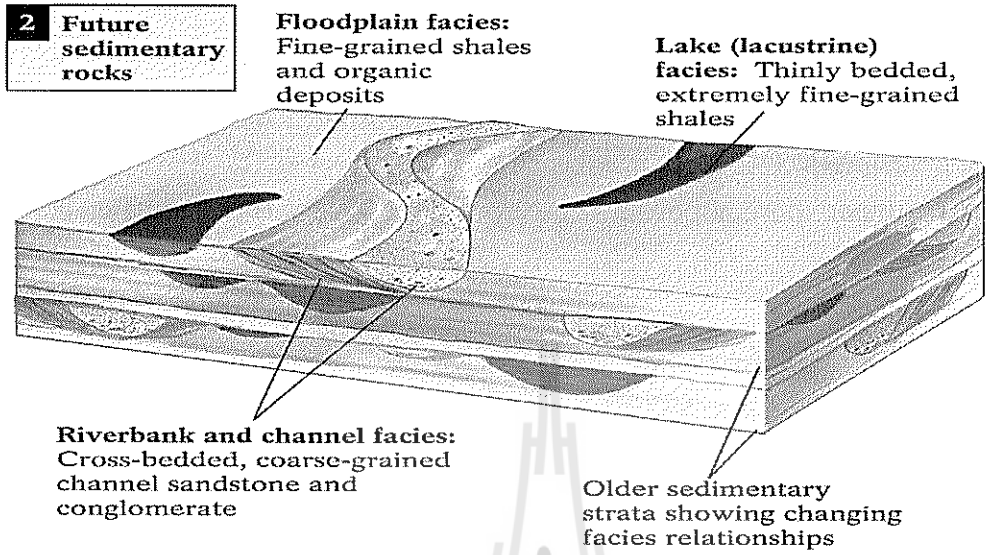
There are two main types of meandering river facies:

- 1) Rippled, cross-bedded, fining-upward sequences of gravel and sand (bars)
- 2) Fine-grained sediments, such as silt and clay, containing burrows and plant debris (overbank or flood deposits). In a vertical section through an ancient meandering system, these will tend to alternate.

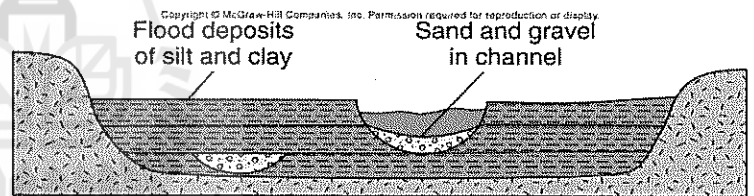
Sedimentary Facies Formation: Meandering



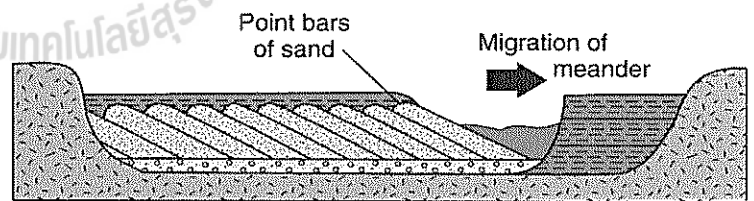
Sedimentary Facies Formation



Floodplains: thin-bedded shales with mud-cracks & fossil footprints. Hematite may color the floodplain deposits red.

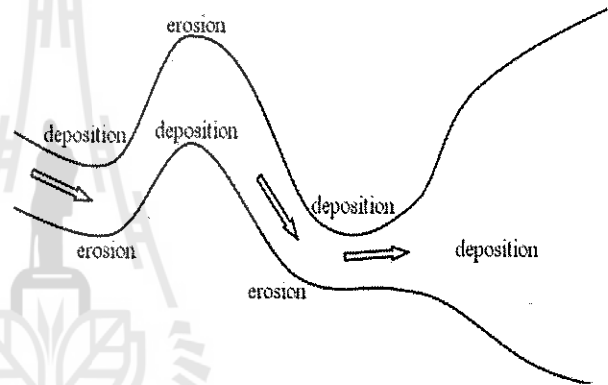
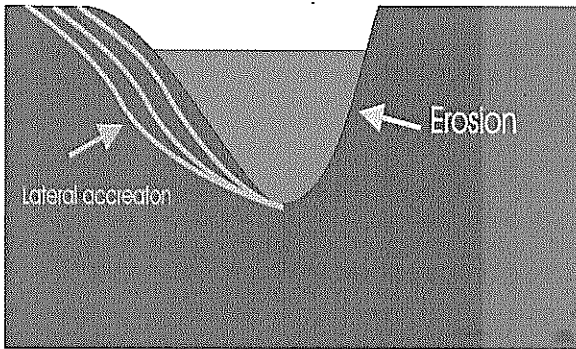
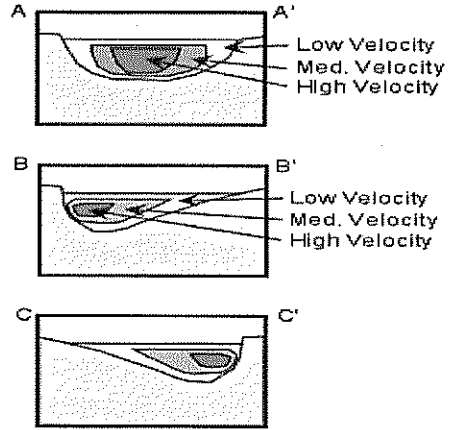
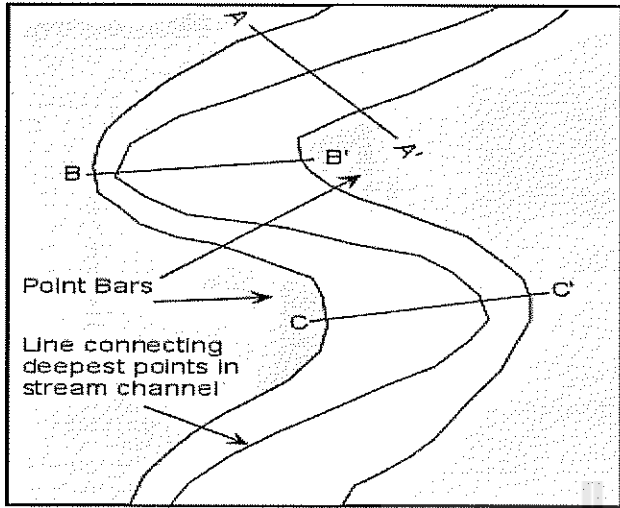


A



B

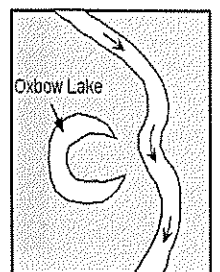
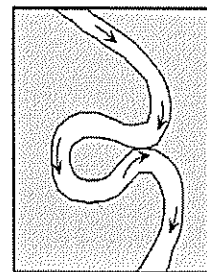
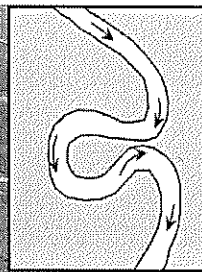
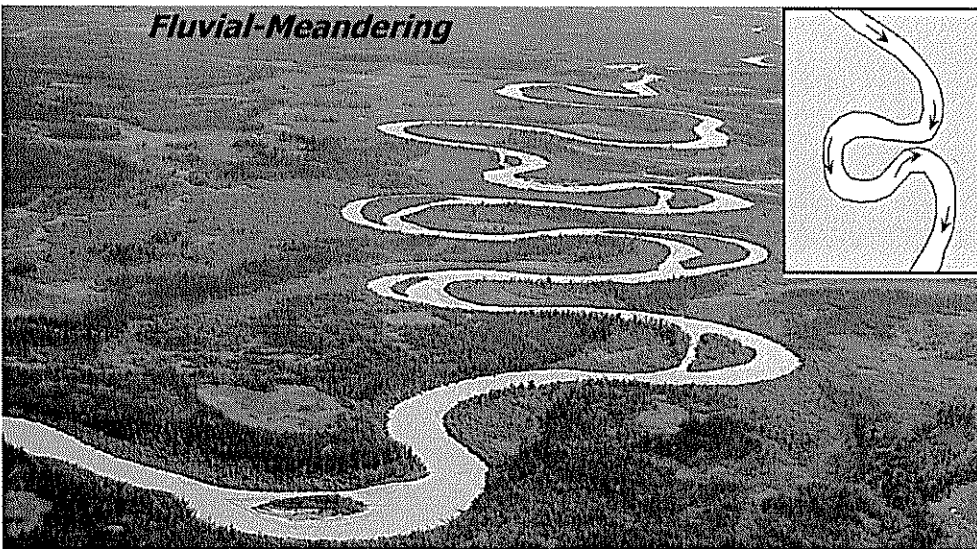
Meandering Channels



Meandering Stream

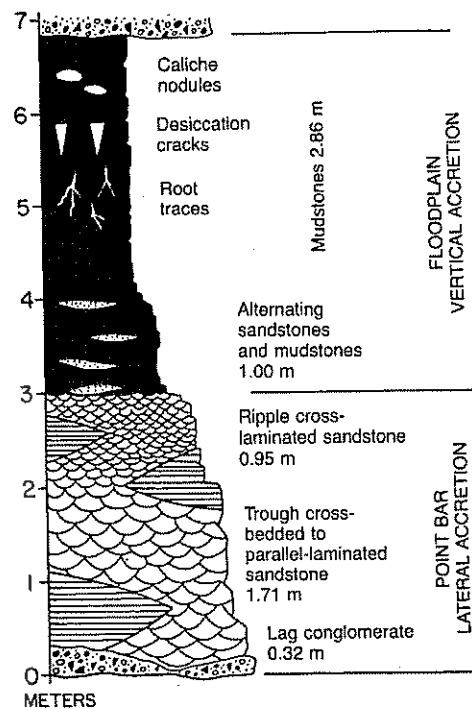
- Erosion on the Outside and Deposition on the inside.
- The two sides of the meander erode into each other.
- Water slows in the outside loop causing deposition.

Fluvial-Meandering



Meandering Facies

Fluvial Subenvironment	Subfacies
Channel	Upward fining upward channel sand
- Active	
- Abandoned (Oxbow lake)	Shales and fine sands, bounded by conglomerates above & below
Overbank-Floodplain	Shales, rippled sand, desiccation cracks, soils & peats (coal) transitional base, eroded on top



River Channel: lenses of conglomerate or sandstone (arkosic or sand-size rock fragments). Typically cross-bedded with ripple marks.

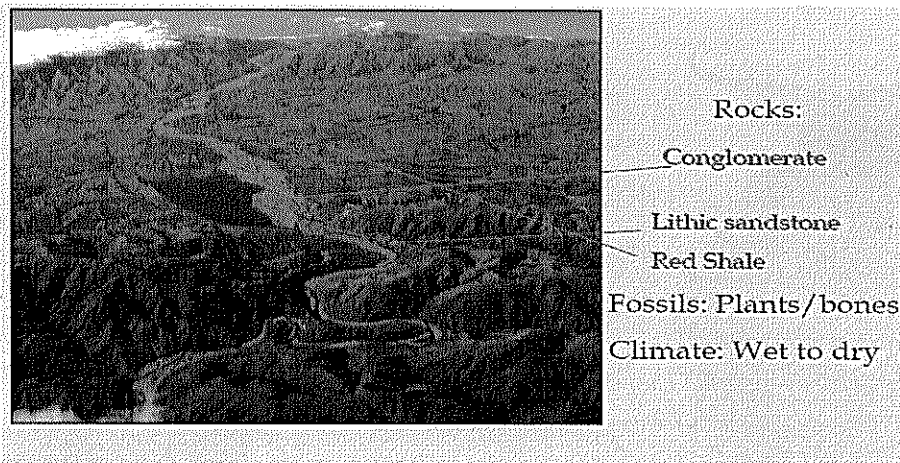
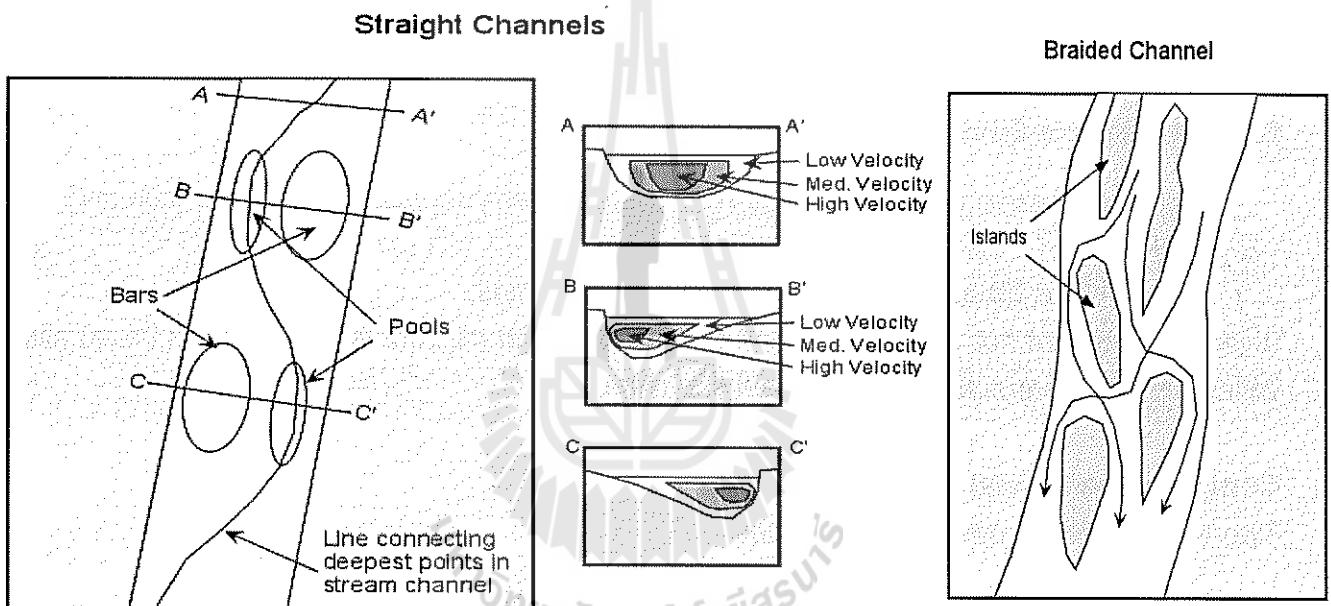


2.2 Braided River

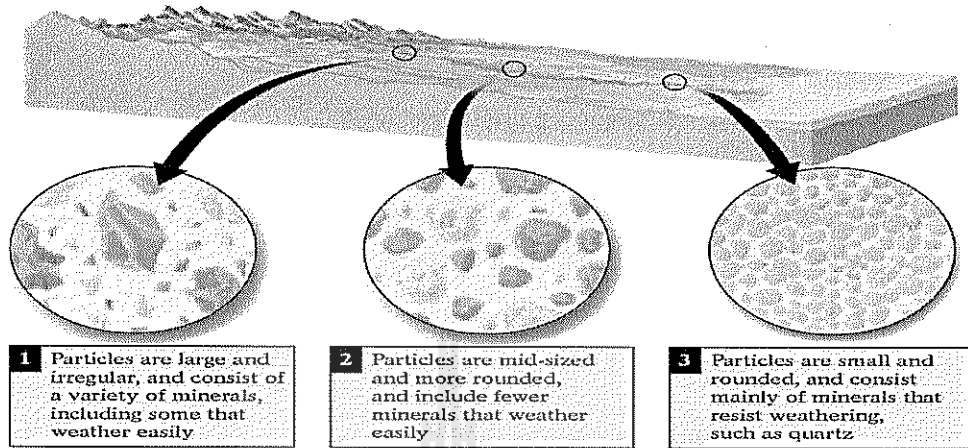
Braided Rivers - characterized by many channels separated by bars or small islands. Braiding results from rapid, large fluctuations in the volume of river water, and an abundance of coarse sediment.

There are two main types of braided river facies:

- 1) **Rippled**, cross-stratified gravels and coarse sandstones (bars) and
- 2) **Horizontally stratified**, fine to coarse sands (channels). In a vertical
- 3) section through an ancient braided river these will tend to alternate.



Sediment in a Stream



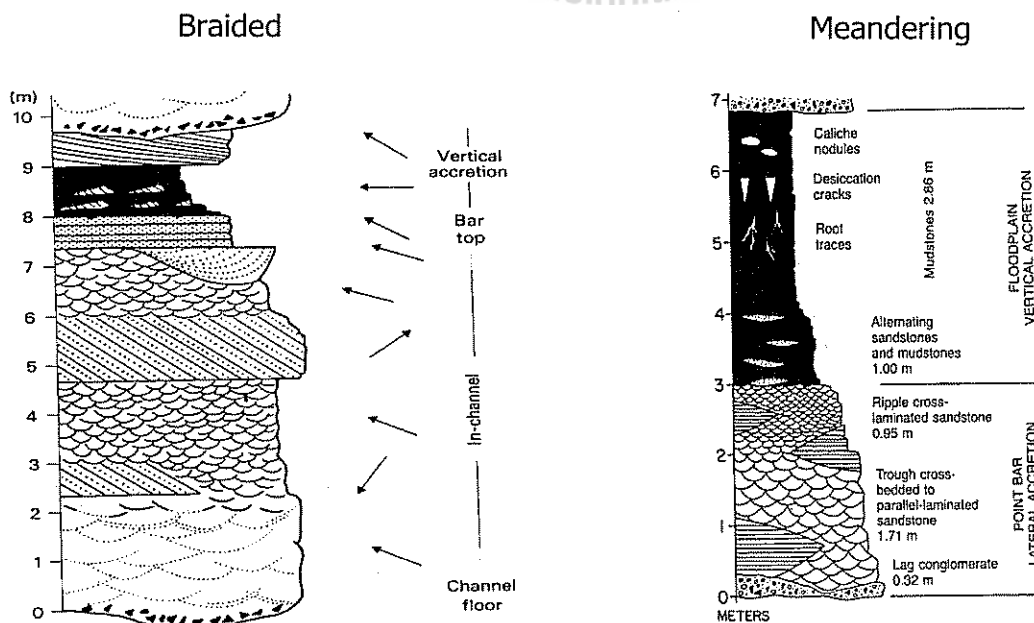
Braided Stream Environments

- Braided streams are high-energy river systems carrying coarse-grained sands and gravels
- Alluvial fans often grade laterally into a braided river

River channels are not well defined and tend to shift and migrate laterally over a broad alluvial valley → rivers separate into vein like channel

Comparative Fluvial Deposits

Two types of fining upwards sequences

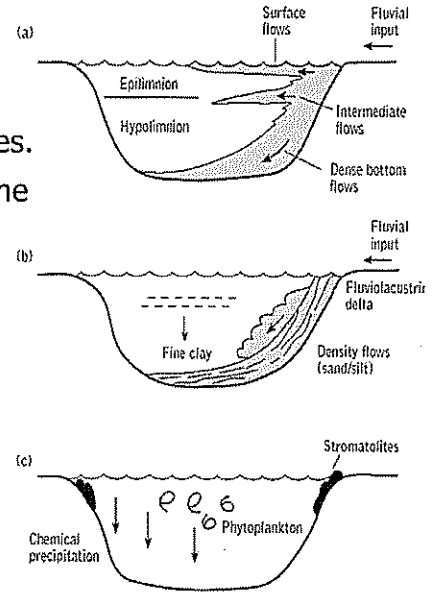


3. Lacustrine or Lake

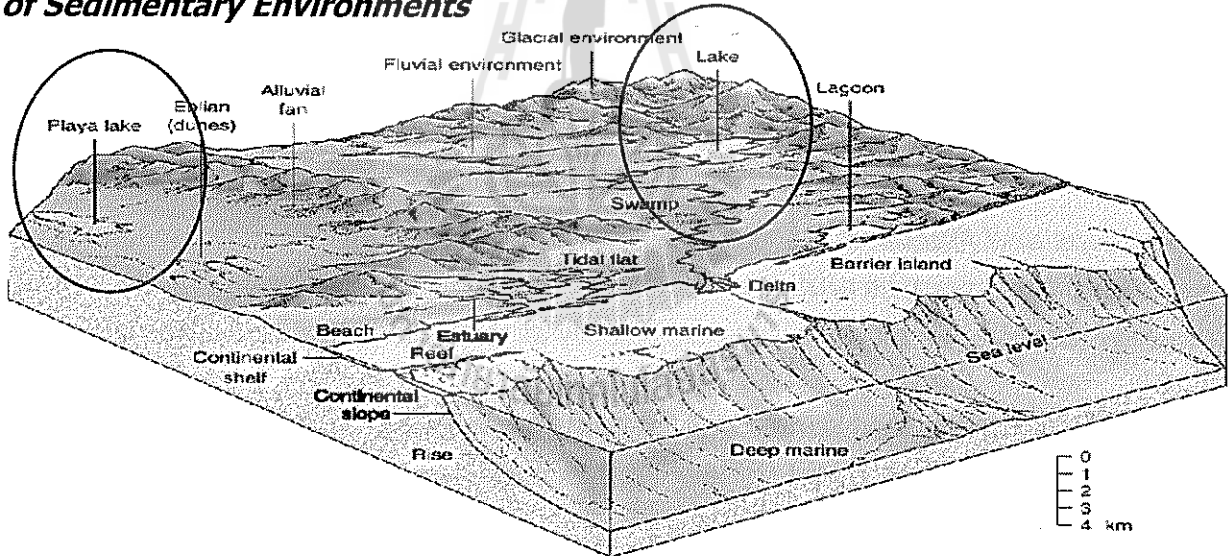
Lake: Thin-bedded shales, possibly with fish fossils. May contain mud-cracks and interbedded evaporates, if it periodically dried up.

- **Lacustrine**

- May be large or small, shallow or deep.
- Fine grained sediments but may be coarse near the edges.
- Fine grained sediment and organic matter settling in some lakes produced laminated **oil shales**.
- **Playa lakes** are shallow, temporary lakes that form in arid regions.
- They periodically **dry up as a result of evaporation**.



Type of Sedimentary Environments



ตารางที่ II-10 ลักษณะเด่นของ lacustrine facies (จาก Tucker, 1982)

Deposition : in lakes which vary in size, shape, salinity and depth. Waves and storm currents important in shallow water, turbidity currents, often river underflows, in deeper water. Biochemical and chemical precipitation common. Strong climatic control on lake sedimentation.

Lithologies : diverse including conglomerates through sandstones to mudrocks, limestones, marls, evaporites, cherts, oil shales and coals.

Structures : wave-formed ripples, desiccation cracks and stromatolites common in lake shoreline sediments; rhythmic laminations, possibly with syneresis cracks, typical of deeper water lake deposits, together with interbedded graded sandstones of turbidity current origin.

Fossils : non-marine invertebrates (especially bivalves and gastropods); vertebrates (footprints and bones); plants, especially algae.

Facies sequences : often reflect changes in water level through climatic or tectonic events.

Facies associations : fluvial and aeolian sediments often associated, soil horizons may occur within lacustrine sequences.

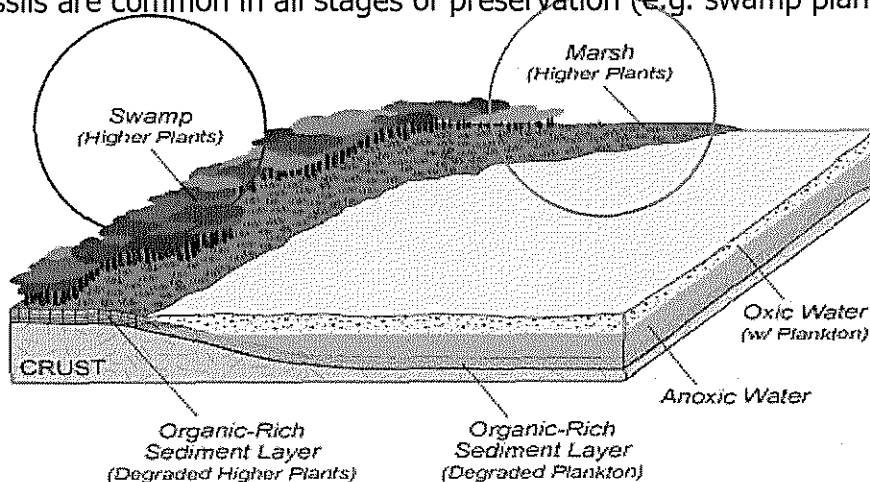
4. Swamps and Marshes

- **Paludal (swamps and marshes)**

: areas where water is more or less permanently at the surface and/or causing saturation of the soil.

: **Organic-rich shale and sandstone or coal deposits** with thin of siltstone and shale.

: Plant fossils are common in all stages of preservation (e.g. swamp plants, fern, peatlands).



Swamps (open - shoreline attached)



Rocks:

Coals

Black Shale

Fossils: Lots!
(plants)

Climate: Wet

5. Deserts Aeolian or eolian environments

- Wind is an effective sorting agent and will selectively transport sand.
- Areas of windblown sand near beaches or in arid, desert environments.
- Gravel is left behind and dust-sized particles are lifted high into the atmosphere and transported great distances.
- Windblown sand forms dunes that are characterized by well-sorted grains showing large-scale cross bedding.
- Show ripple marks ตารางที่ 11-9 ลักษณะเด่นของ aeolian facies (จาก Tucker, 1982)
- Good reservoirs

Deposition : wind-blown sand is typical of deserts but also occurs along marine shorelines.

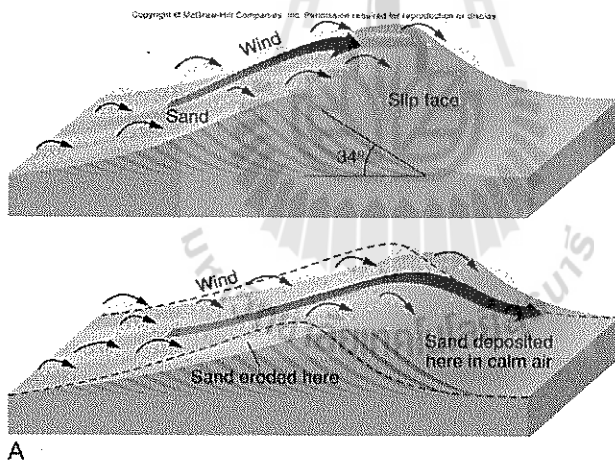
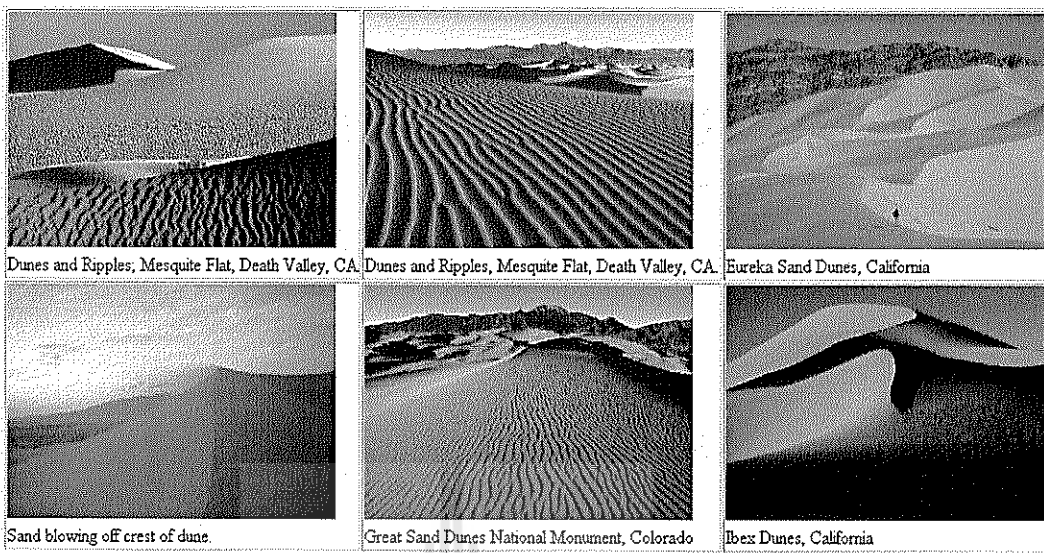
Lithology : clean (matrix-free) quartz-rich sandstones, no mica.

Textures : well-sorted, well-rounded sand grains ('millet-seed'); possibly with a frosted (dull) appearance; sandstones often stained red through hematite; any pebbles may be wind-faceted.

Structures : dominantly large-scale cross-bedding (set heights several to several 10's of meters); cross-bed dips up to 35°

Fossils : rare, occasional vertebrate footprints and bones.

Facies associations : water-lain sandstones and conglomerates may be associated; also playa-lake mudrocks and evaporites and arid-zone soils.



Dune Deposits

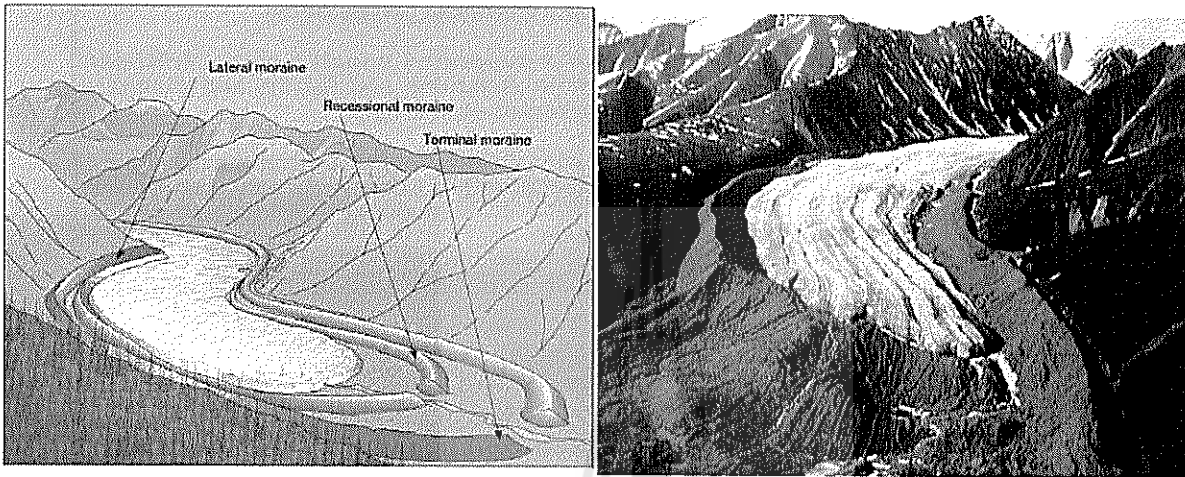


Cross-bedded Sandstone.

6. Glaciers

Glacial environments

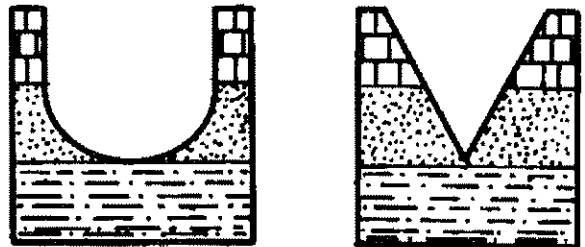
- Sediment is eroded, transported, and deposited by ice (glaciers).
- Glacial deposits called **till** contain large volumes of unsorted mixtures of boulders, gravel, sand, and clay.



Ice (glaciers)



Another U-Shaped Valley in Alaska



The U-shaped Valley on the left was made by a glacier
 V-shaped valley on the right was made by running water.

ตารางที่ II-11 ลักษณะเด่นของ glacial facies (จาก Tucker, 1982)

Deposition : takes place in a variety of environments: beneath glaciers of various types, in glacial lakes, on glacial outwash plains and glaciomarine shelves and basins, and by a variety of processes including moving and melting glaciers, melt-water streams, melt-water density currents and icebergs.

Lithologies : polymictic conglomerates termed tillite, sandstones, muddy sediments with dispersed clasts (dropstones).

Texture : poorly-sorted, matrix-supported conglomerates (tillites), angular clasts possibly with striations and facets, and elongate clasts possibly showing preferred orientation.

Structures : tillites generally massive but some layering may occur; rhythmically laminated ('varved') muddy sediments common; fluviglacial sandstones show cross-bedding and lamination, flat bedding, scours and channels.

Fossils : generally absent (or derived), except in glaciomarine sediments.

Geometry : tillites laterally extensive.

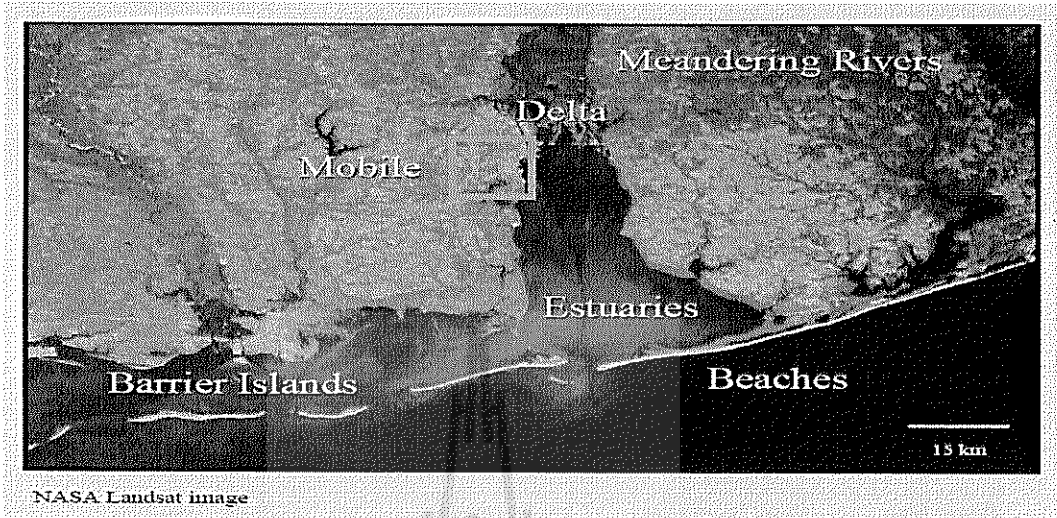
Facies sequences : no typical sequence.



Summary of Continental Sedimentary Environments

	ALLUVIAL FAN	FLUVIAL	LACUSTRINE	DESERT (DUNES)	PALUDAL
Rock Type	Breccia, conglomerate, arkose	Conglomerate, sandstone, siltstone, shale	Siltstone, shale, limestone, or evaporites (gypsum)	Quartz arenite (sandstone) or gypsum	Peat, coal, black shale, siltstone
Composition	Terrigenous	Terrigenous	Terrigenous, carbonate, or evaporite	Terrigenous or evaporite	Terrigenous
Color	Brown or red	Brown or red	Black, brown, gray, green	Yellow, red, tan, white	Black, gray, or brown
Grain Size	Clay to gravel	Clay to gravel (Fining upward)	Clay to silt or sand (Coarsening upward)	Sand	Clay to silt
Grain Shape	Angular	Rounded to angular	---	Rounded	---
Sorting	Poor	Variable	Variable	Good	Variable
Inorganic Sedimentary Structures	Cross-bedding and graded bedding	Asymmetrical ripples, cross-bedding, graded bedding, tool marks	Symmetrical ripples, lamination, cross-bedding, graded bedding, mudcracks, raindrop prints	Cross-bedding	Laminated to massive
Organic or Biogenic Sedimentary Structures	---	Tracks, trails, burrows	Tracks, trails, burrows, rare stromatolites	Tracks, trails	Root marks, burrows
Fossils	---	Rare freshwater shells, bones, plant fragments	Freshwater shells, fish, bones, plant fragments	---	Plant fossils, rare freshwater shells, bones, fish

Transitional Environments

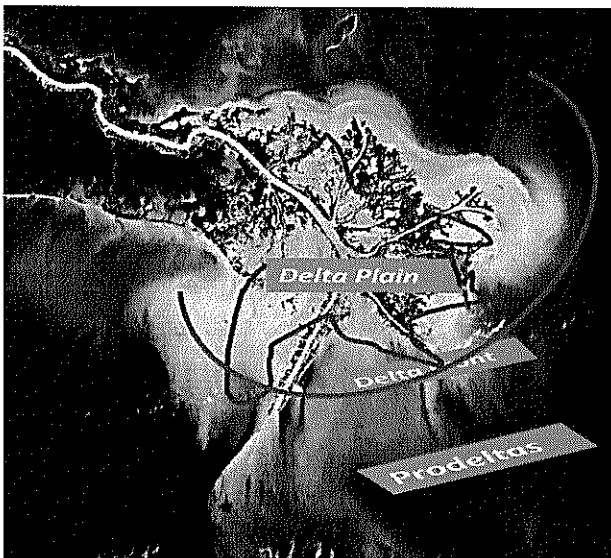


1. Deltaic Environment

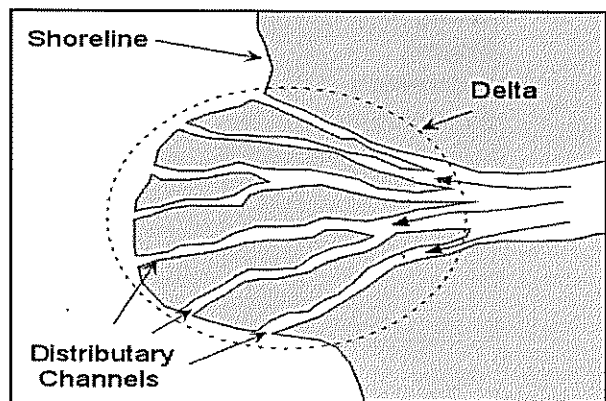
- Delta is formed when a sediment carrying stream enters a lake or sea, its velocity decreases and some of the sediment settles to form a delta
- Forces involved are:
 - **Forces of river**
 - **Tidal**
 - **Wave**

Control the geometry and distribution of the deposit → variation, deposition, depending on which of this forces is dominant

Delta: Mostly thick sequences of single cross-bedding, cut by coarse-grained channel deposits. It can contain peat/coal beds as well as marine fossils (Delta plain).



Birds-foot Deltas= Delta plain



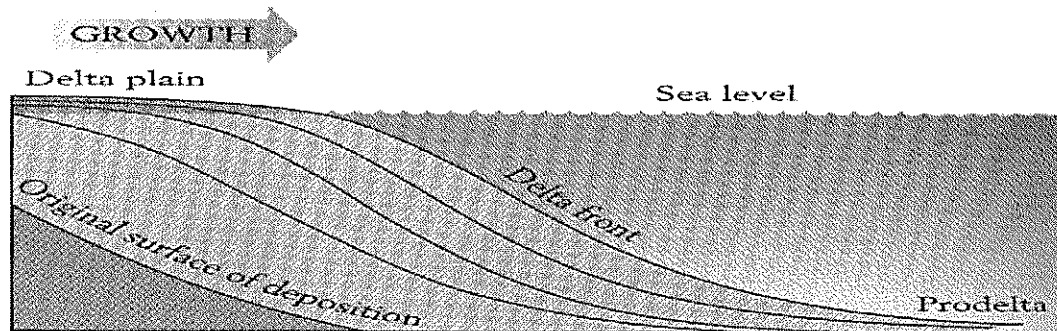
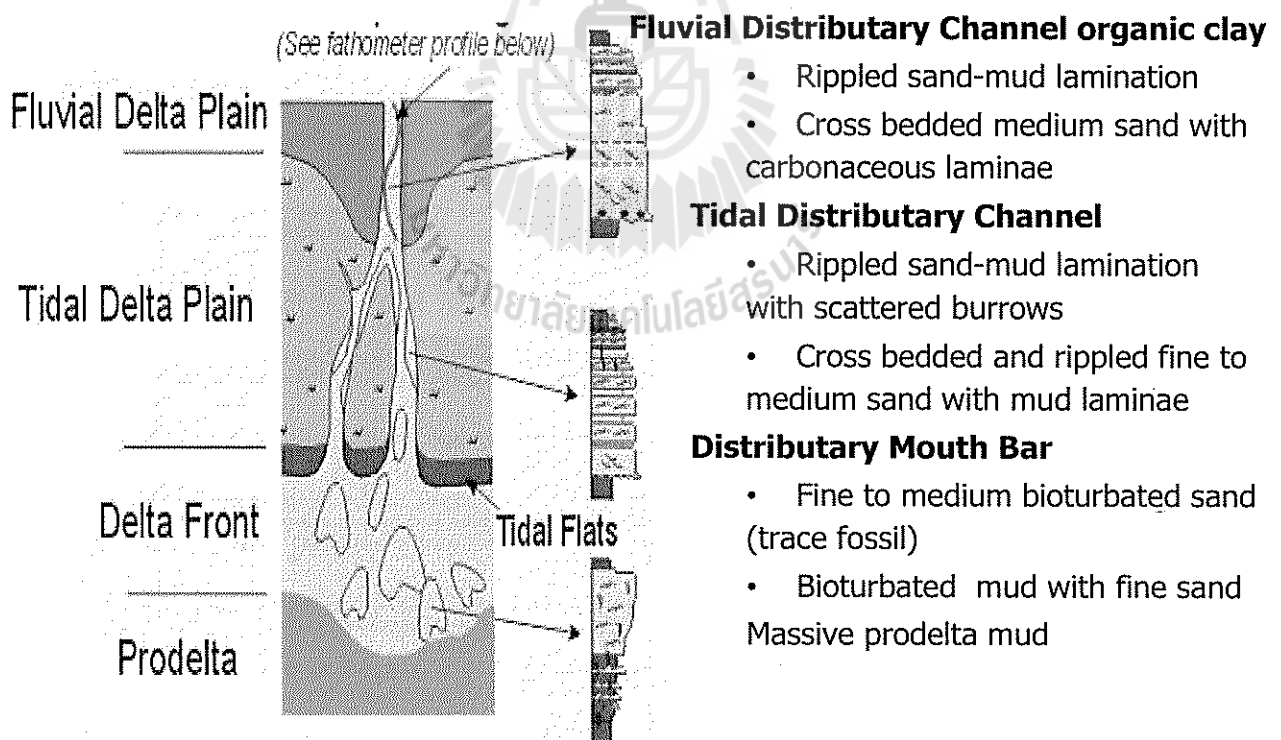
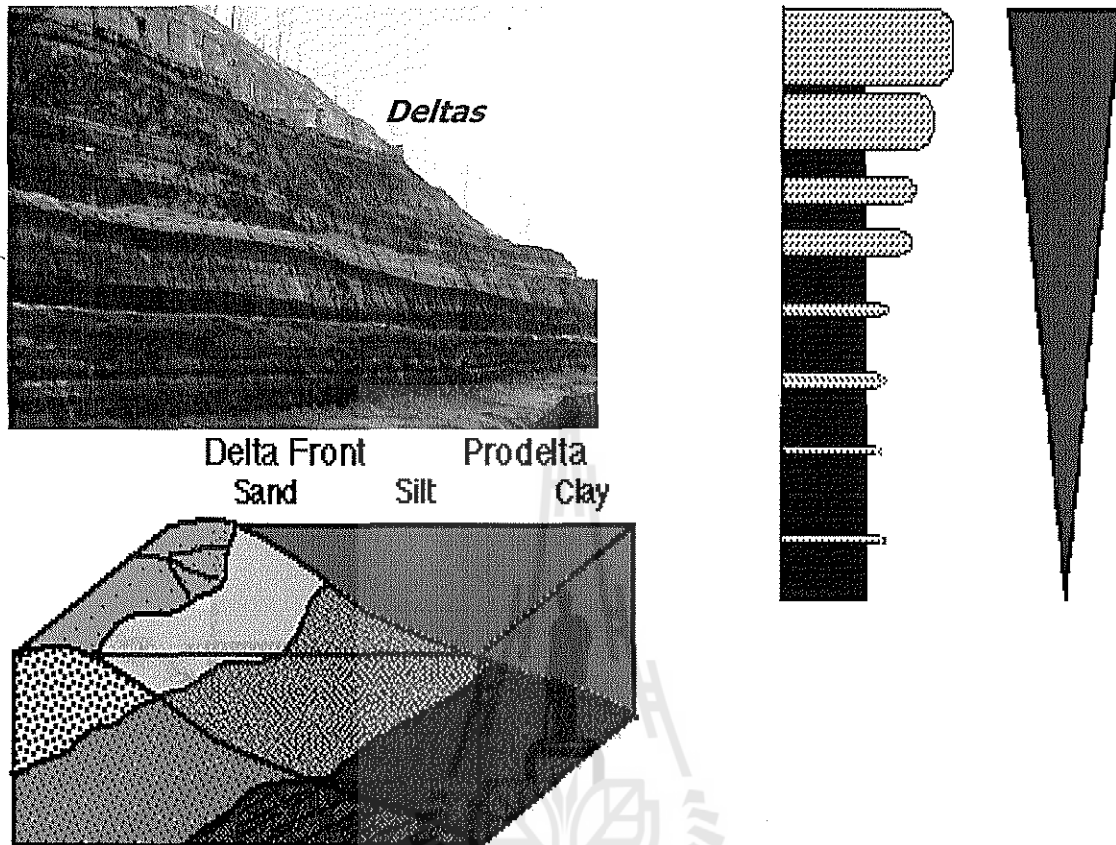


Figure 5-17 Cross section of a delta. As river water flows into the sea, it slows down. First sand drops from suspension in the delta plain; then silt and clay settle on the delta front (the slope is greatly exaggerated in the diagram); and finally clay settles in the prodelta. As the delta grows seaward, the sandy shallow-water sediments build out over the finer-grained sediments deposited in deeper water.





ภาพที่ 11-12 ลักษณะของชั้นหิน deltaic facies (จาก Tucker, 1982)

Deposition : complex, there are several types of delta (lobate and birdfoot especially), and many deltaic subenvironments (distributary channels and levees, swamps and lakes, mouth and distal bars, interdistributary bays and prodelta slope). Many deltas are river dominated but reworking and redistribution by marine processes can be important.

Lithologies : mainly sandstones (often lithic) through muddy sandstones, sandy mudrocks to mudrocks; also coal seams and ironstones.

Textures : not diagnostic, typically average sorting and rounding of sand grains.

Structures : cross-bedding of various types in the sandstones, flat bedding and channels common. Finer sediments show flaser and wavy bedding. Some mudrocks contain rootlets; nodules of siderite common.

Fossils : marine fossils in some mudrocks and sandstones, others with non-marine fossils, especially bivalves, Plants common.

Paleocurrents : mainly directed offshore but may be shore-parallel or onshore if much marine reworking.

Geometry : sand bodies vary from ribbons to sheets depending on delta type.

Facies sequence : these typically consist of coarsening upward units (mudrock to sandstone), through delta progradation, capped by a seatearth and coal; there are many variations however, particularly at the top of such units.

2. Linear Shoreline

1. Barrier Island
2. Beach
3. Tidal Flat
4. Lagoon
5. Estuary

2.1 Barrier Island Environments

- **Barrier Island and Beaches**

- Shoreline deposits
- Exposed to wave energy
- Dominated by sand
- Marine fauna (animals)
- A few km or less in width but may be more than 100 km long
- Separated from the mainland by a lagoon (or salt marsh)
- Commonly associated with tidal flat deposits

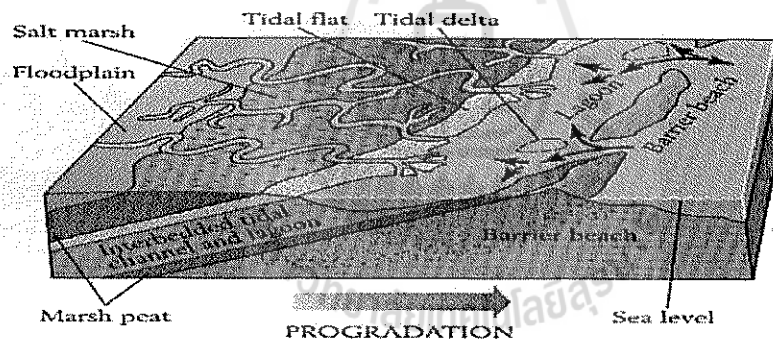
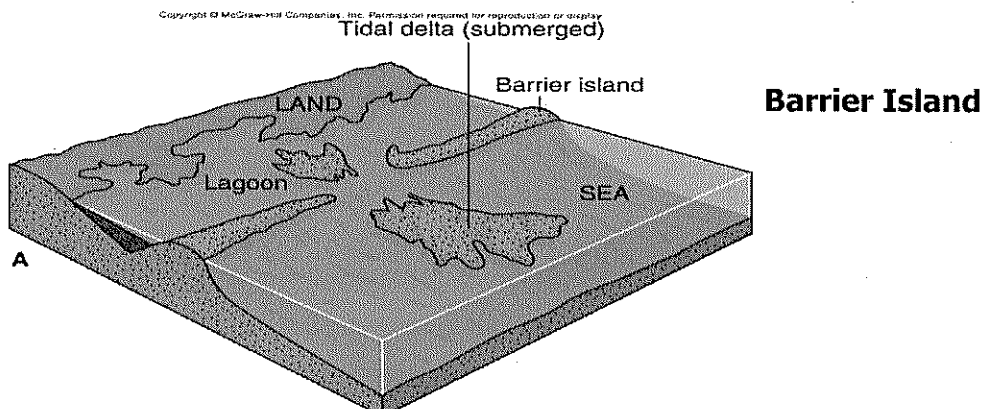
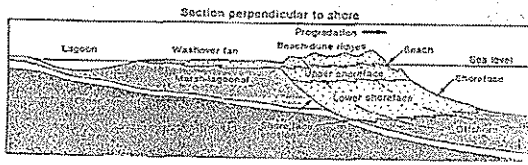


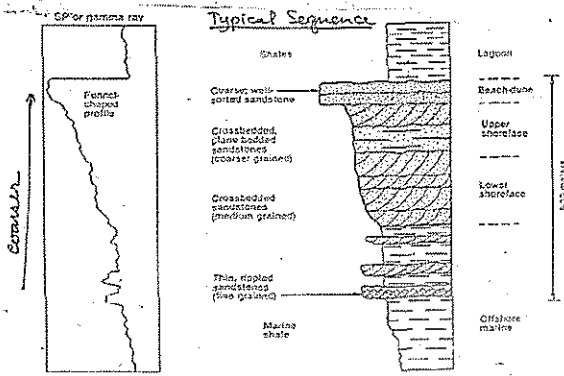
Figure 5-22 The stratigraphic sequence produced when a barrier island-lagoon complex progrades. Sediments of the lagoon and of the adjacent marshes and tidal flats are superimposed on beach sands of the barrier island.





Barrier Island Environment

- Chain of sand bodies running parallel to the shoreline
- Occur as long, narrow, avg. thickness 50 ft



Beach

Beaches (open - shoreline attached)

Rocks:
Quartz Arenite

Shale/siltstone

Fossils: Lots!
(shells)

Climate: Arid to wet

Beach, Barrier Island, Dune: a **Barrier Island** is an elongate sand bar built by wave action. All are comprised of well-sorted quartz sandstones with rounded grains.

Beach and Barrier Island: low angle cross-bedding and marine fossils.

Dune: high-angle and low-angle cross-bedding and occasional fossil footprints.

All 3 environments can also contain carbonate sand in tropical areas producing cross-bedded clastic limestone.

2.3 Tidal Flats

Tidal flats: Behind the beach area of this sand spit lies another transitional environment, is border lagoons.

: They are periodically **flooded and drained by tides** (usually twice each day).

: **Low relief**, cut by **meandering tidal channels**.

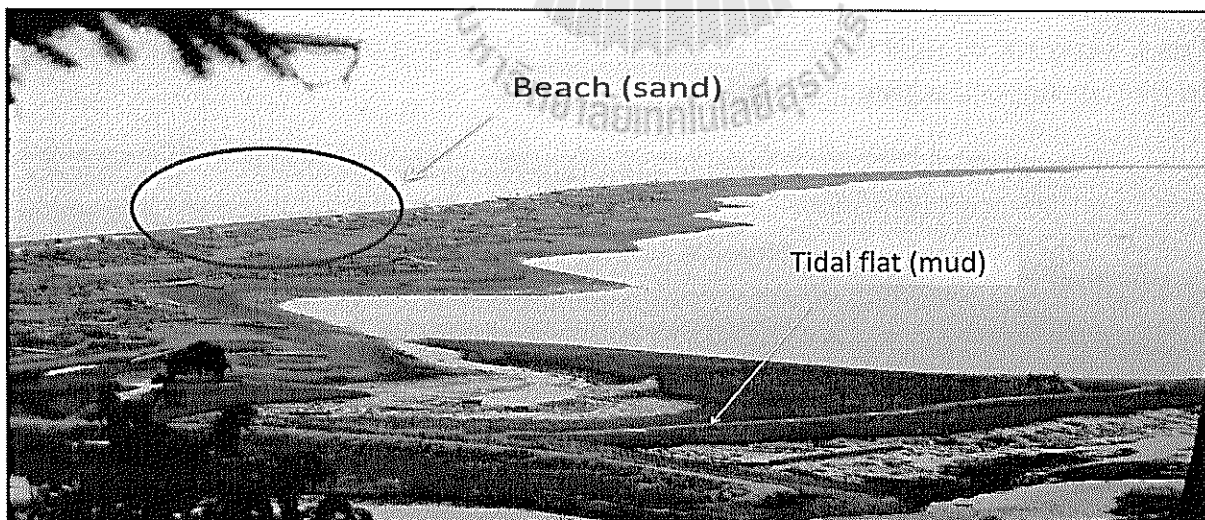
: Laminated or **rippled clay, silt, and fine sand** (either terrigenous or carbonate) may be deposited.

: Intense burrowing is common.

: **Stromatolites** (สาหร่ายสีเขียว)

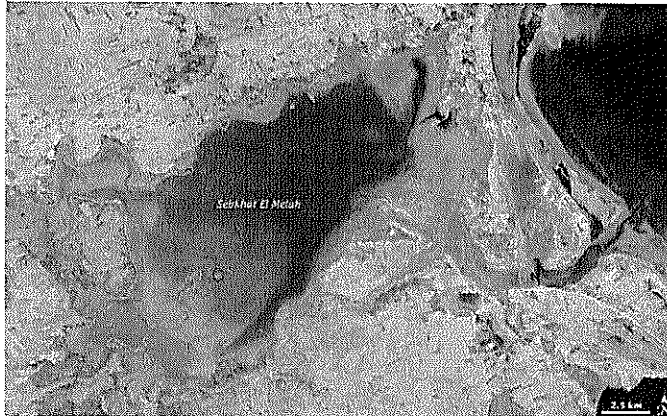


Sandy Tidal flats



Spit

Copyright © 2005 Pearson Prentice Hall, Inc.



Sabkhas are another transitional environment that, although rare today, are important to the geologic past of Utah.

Sabkhas only occur in, hot, arid climates where sea water can evaporate rapidly.

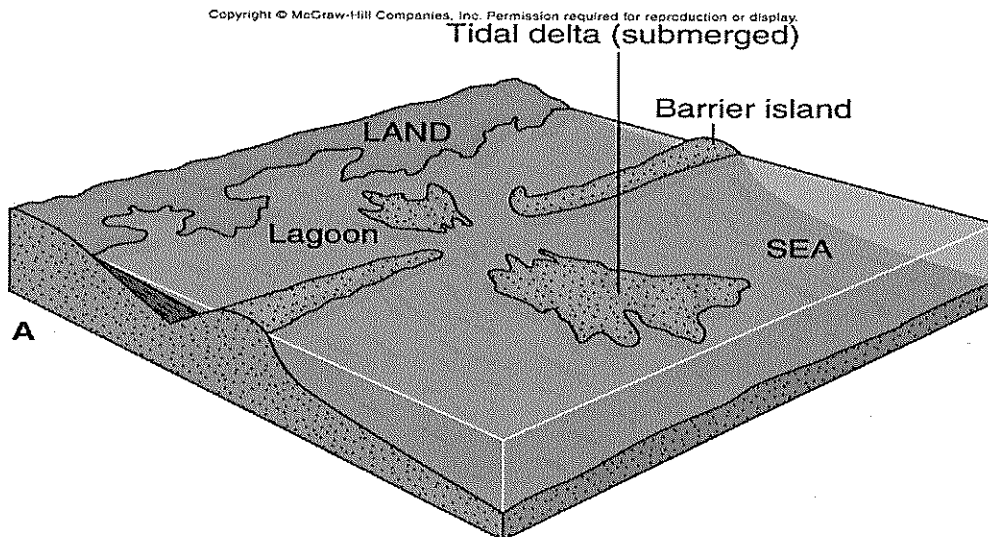


White material is halite and gypsum.

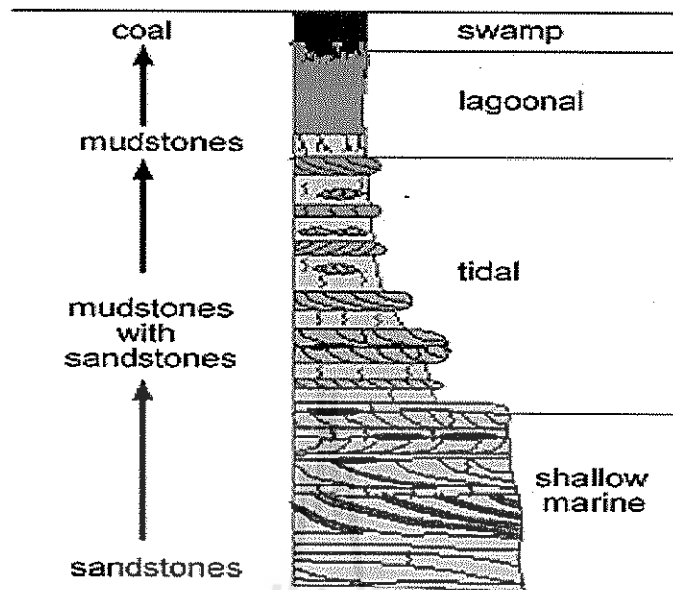
Sabkhas : can occur with tidal flats or pools that are periodically inundated with water.
: Evaporate minerals: halite (salt) or gypsum.

2.4 Lagoon Deposits

Lagoon: semi-enclosed body of water between a barrier island and the mainland. Fine grained dark shale cut by tidal channels of coarse sand containing marine fossils. Limestones may also form in lagoons adjacent to reefs.



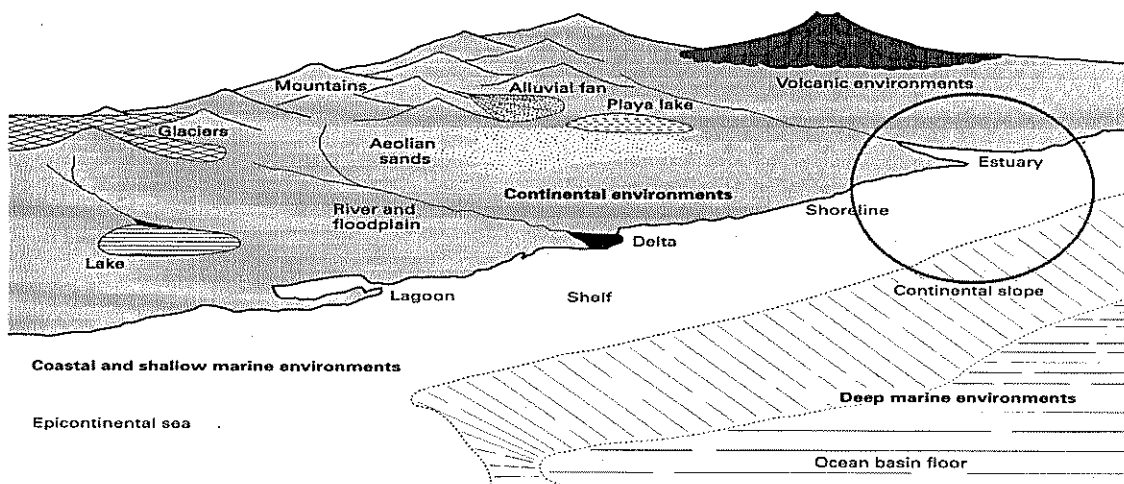
Facies sequence of coastal



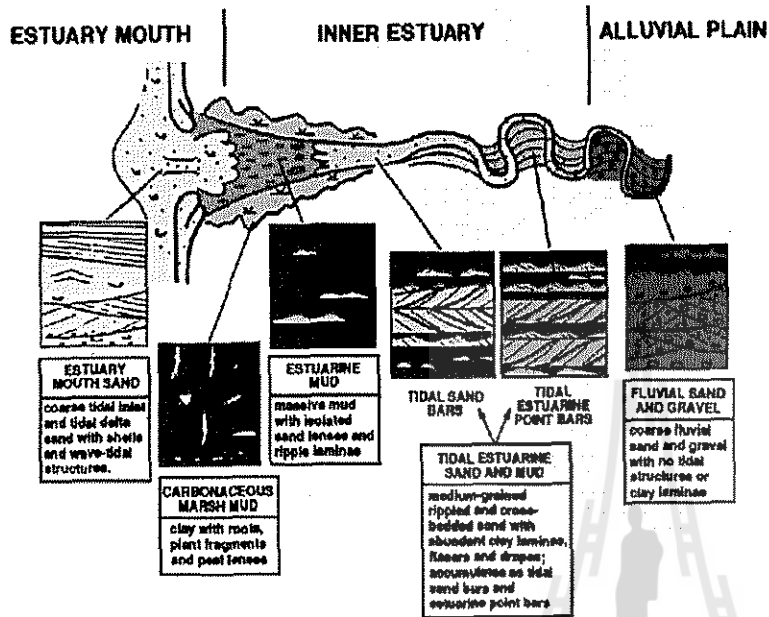
2.5 Estuaries

- Mouth of a river drowned by the sea
- Brackish water (mixture of fresh and salt water)
- May trap large volumes of sediment
- Sand, silt, and clay may be deposited depending on energy level
- Many estuaries formed due to sea level rise as glaciers melted at end of last Ice Age
- Some formed due to tectonic subsidence, allowing sea water to migrate upstream

Coastal and shallow marine environments



Estuarine environment



Lithofacies units:

- Marine lithofacies units
 - Coastal lithofacies units
- Tidal channel"
- "Tidal flat"
- "Salt marsh"
- "Coastal lagoon"
- Fluvial lithofacies units

ตารางที่ II-13 ลักษณะเด่นของ shallow-marine siliciclastic facies (จาก Tucker, 1982)

Deposition : takes place in a variety of environments and subenvironments including tidal flat, beach, barrier island, lagoon and nearshore to offshore shelf. Waves, tidal and storm currents are the most important processes.

Lithologies : mainly sandstones (often quartz arenites) through muddy sandstone, sandy mudrocks to mudrocks; also thin conglomerates.

Textures : not diagnostic although sandstones often have well-rounded and well-sorted grains.

Structures : in the sandstones: cross-bedding, possibly herring-bone in character and with reactivation surfaces, flat bedding (in truncated sets if beach), wave-formed and current ripples and cross-lamination, flaser and lenticular bedding, desiccation cracks, thin graded sandstones of storm current origin; mudrocks may contain pyrite nodules, bioturbation and various trace fossils common.

Fossils : marine faunas with diversity dependent on salinity, level of turbulence, substrate, etc.

Paleocurrents : variable, parallel to and normal to shoreline, unimodal, bimodal or polymodal.

Geometry : linear and bodies if barrier or beach, sheet sands if extensive epeiric-sea platform.

Facies sequences : vary considerably depending on precise environment and sea-level history (rising or falling); both fining up and coarsening up units occur.

Facies associations : limestones, ironstones and phosphates may occur within shallow-marine siliciclastic facies.

ตารางที่ II-15 ลักษณะเด่นของ shallow-marine carbonate facies
(จาก Tucker, 1982)

Deposition : takes place in a variety of environments and subenvironments: tidal flats, beaches, barriers, lagoons, nearshore to offshore shelves and platforms, epeiric shelf seas, submarine shoals and reefs (shelf-margin and largely responsible for formation and deposition of sediment, although physical processes of waves, tidal and storm currents are important.

Lithologies : many types of limestones, especially biosparites, oosparites, biomicrites and pelleted limestones; also dolomites. Limestones may be silicified. Evaporites, especially sulphates (or their replacements) may be associated.

Textures : diverse.

Structures : diverse including cross-bedding, flat bedding, scours, ripples, desiccation cracks, stromatolites, fenestrae, stromatactis and stylolites; reef limestones: massive and unbedded, many organisms in growth position.

Fossils : vary from diverse and abundant in normal marine facies to restricted and rare in hypersaline or hyposaline facies.

Paleocurrents : variable: parallel and normal to shoreline.

Facies sequences : many types but shallowing-up sequences are common

Potential Reservoir & Source rocks vs. Transitional Deposits

Reservoir rocks: Delta, Beach sand, Barrier Island

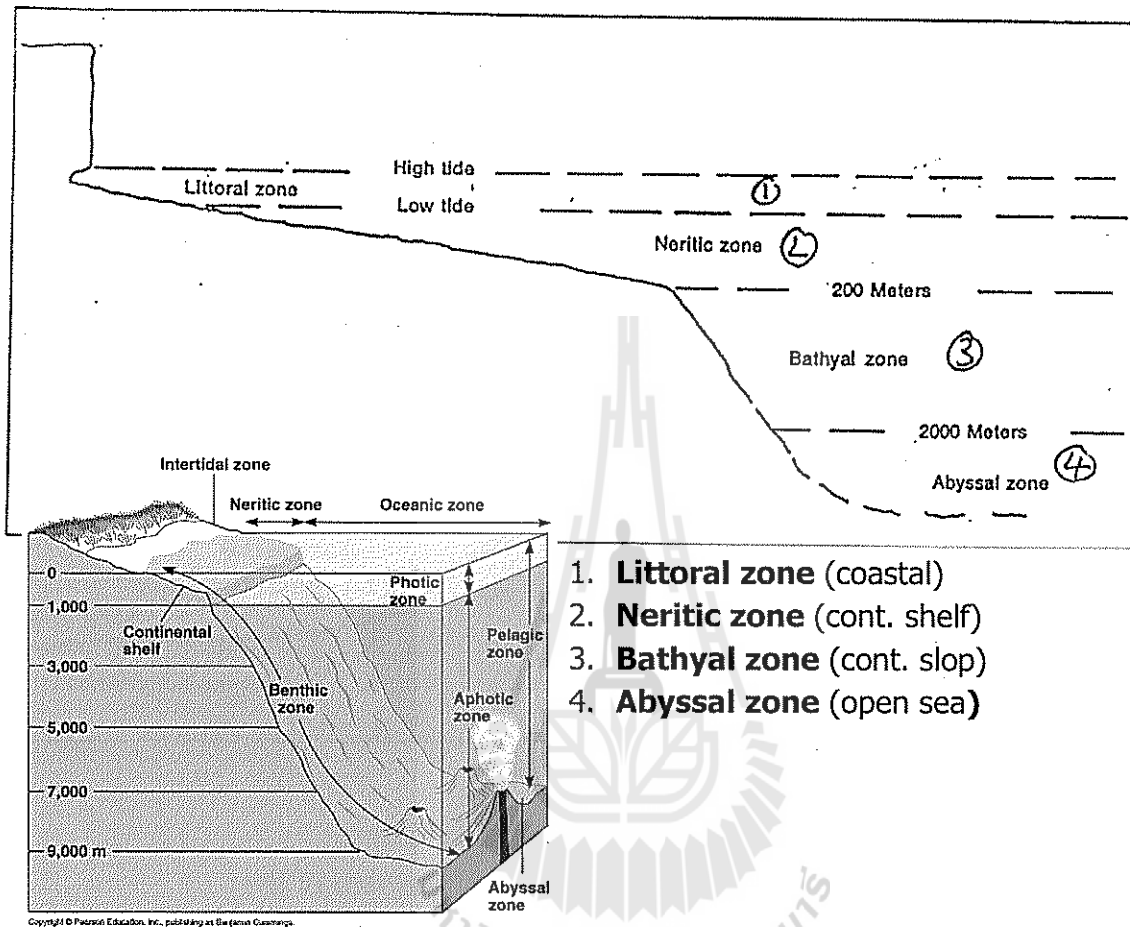
Source rocks: Lagoon, Tidal flat, Estuary, deltas

Summary of Transitional Environment

	DELTA	BARRIER BEACH	LAGOON	TIDAL FLAT
Rock Type	Sandstone, siltstone, shale, coal	Quartz arenite, coquina	Siltstone, shale, limestone, oolitic limestone or gypsum	Siltstone, shale, calcilutite, dolostone or gypsum
Composition	Terrigenous	Terrigenous or carbonate	Terrigenous, carbonate, or evaporite	Terrigenous, carbonate, or evaporite
Color	Brown, black, gray, green, red	White to tan	Dark gray to black	Gray, brown, tan
Grain Size	Clay to sand (Coarsening upward)	Sand	Clay to silt	Clay to silt
Grain Shape	---	Rounded to angular	---	---
Sorting	Poor	Good	Poor	Variable
Inorganic Sedimentary Structures	Cross-bedding, graded bedding	Cross-bedding, symmetrical ripples	Lamination, ripples, cross-bedding	Lamination, mudcracks, ripples, cross-bedding
Organic or Biogenic Sedimentary Structures	Trails, burrows	Tracks, trails, burrows	Trails, burrows	Stromatolites, trails, tracks, burrows
Fossils	Plant fragments, shells	Marine shells	Marine shells	Marine shells

Marine Environments

Marine Depth Zones

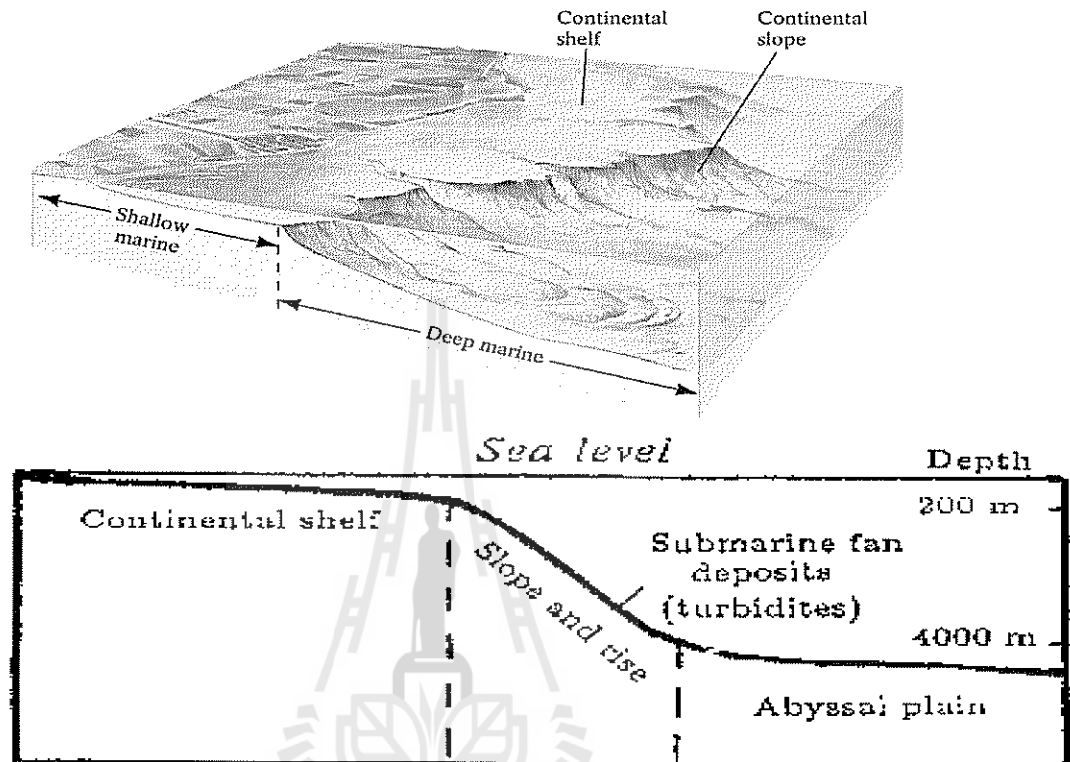


1. **Littoral zone** (coastal)
2. **Neritic zone** (cont. shelf)
3. **Bathyal zone** (cont. slop)
4. **Abyssal zone** (open sea)

Marine environment can be subdivided into 4 depth zones:

1. **Littoral zone** max. erosion, life (animals & plants) forms that live in both marine and terrestrial environments
2. **Neritic zone** (intertidal and subtidal)- -below littoral zone to water depth 200 m., approximate edge of the continental shelf, contains majority of marine life, coral, algae etc.
3. **Bathyal zone** from 200 m to 2,000 m., continental slope, varies in abundance of life and depositional environment between the top and bottom-submarine canyon are often developed
4. **Abyssal zone**-below 2,000 m. to ocean floor, sediments are deposited by turbidity currents from the shelf and slope-no light

Marine sedimentary environment



Marine environment can be divided in to 4 parts:

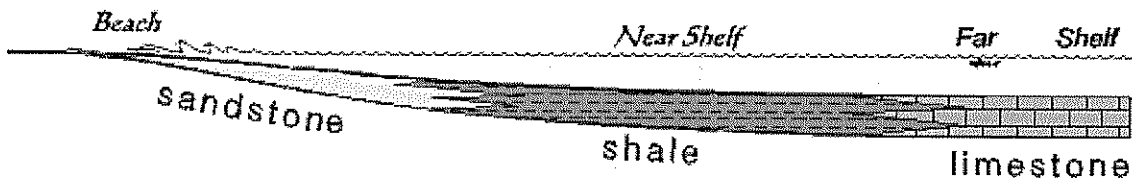
1. The **continental shelf** is the flooded edge of the continent.
2. The **continental slope** } are located seaward of the
3. The **continental rise** } continental shelf.
4. The **abyssal plain** is the deep ocean floor.

Marine Environments

1. Continental Shelf or Shallow Marine Shelf:

Grain size decreases offshore. Widespread sandstones, siltstones, shales. Sandstone & siltstone contains ripple marks, low-angle cross-beds, & marine fossils. If tidal flats near shore are alternately covered & exposed, mud-cracked marine shales form

- Relatively flat (slope < 0.1°).
- Shallow water (less than 200 m deep).
- Exposed to waves, tides, and currents.
- **Coral reefs** and **carbonate sediments** may accumulate in tropical areas.



Carbonate Reservoir

- Carbonate sediments are born
 - Organisms==Corals, Bivalves or Gastropods, Algae
 - Direct precipitation
- Require special marine environment (Clear-warm-fairly shallow-agitated water)

Example of some modern carbonate forming organisms and type of sediments they produce

Organisms

Corals

Bivalves, Gastropods

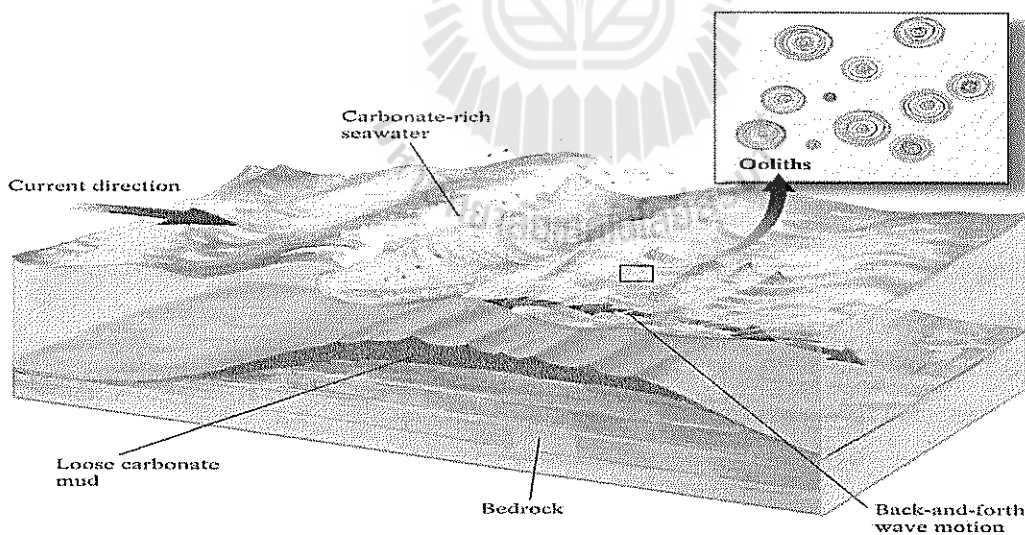
Algae

Sediment produced

Reefs

Sand & Gravel- Sized particles

Sand, Lime, Mud



- **Oolitic carbonate sand** (High-energy shelf)-excellent reservoir rocks if porosity & permeability are not destroyed by subsequent diagenesis
e.g. Oil field in Saudi Arabia

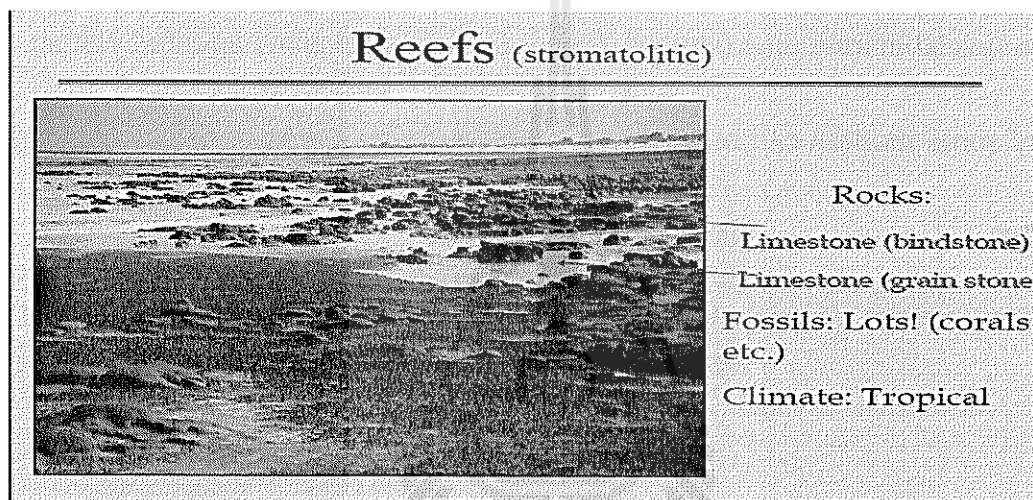
Reefs

Wave-resistant, mound-like structures made of the calcareous skeletons of organisms such as corals and certain types of algae.

: Most modern reefs are **in warm, clear, shallow (25 ft), tropical seas** (latitudes of **30°N and 30°S** of the equator)

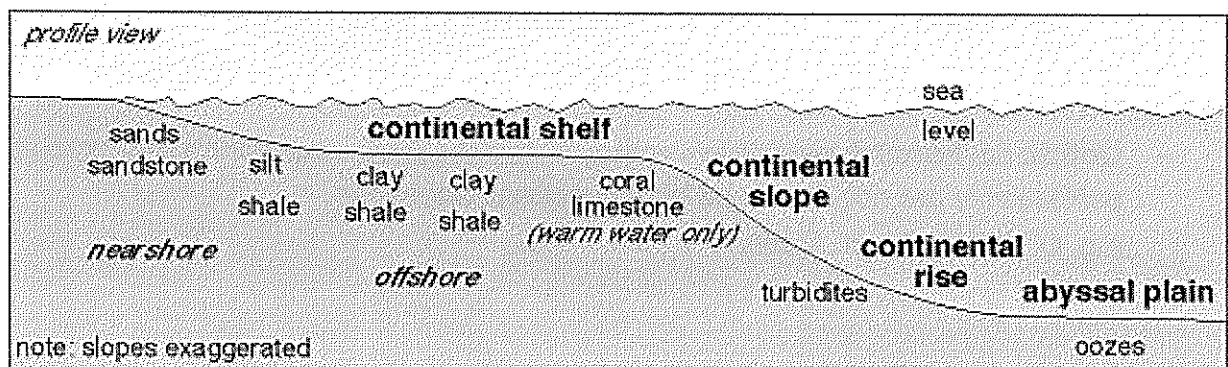
: Massive limestone in core of reef, with steep beds of limestone breccia forming seaward (นอกสู่ทะเล), horizontal beds of sand-sized and finer-grained limestones form landward (เข้าสู่ฝั่ง).

: All are full of fossil fragments (coral, shells, etc.).



2. Continental slope-The steeper slope at edge of the continent.

- Located seaward of the continental shelf.
- Boundary between continental and oceanic crust.
- Deeper water.
- More steeply inclined (3 - 6°).
- Rapid sediment transport down the slope by dense, muddy **turbidity currents**.
- Passes seaward into the continental rise.



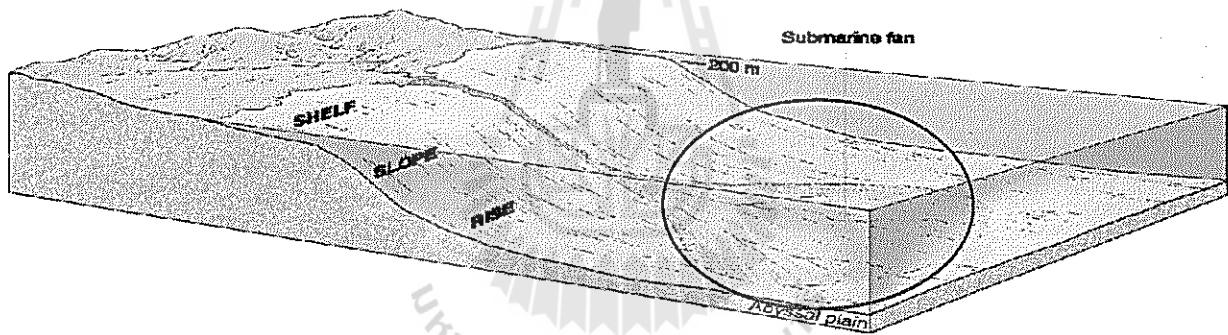
3. Continental rise

Continental rise - At the base of the continental slope.

- More gradual slope.
- Water depths of 1400 to 3200 m.
- **Submarine fans** form at mouth of submarine canyons.
- **Turbidity currents** deposit thick accumulations of sediment (called **turbidites**), transported downslope from continental shelf.
- Passes seaward into the abyssal plain.

Submarine-fan deposition

- The concept of submarine fan is similar to alluvial fan deposits-sediment overloading, storms, and possibly earthquake, coarse material periodically avalanches down canyons is the continental slope==Fan development
- ✓ **Channel deposits** in the upper part of the lobe, near canyon mouth, are dominated by massive conglomeratic and very coarse-grained sands==good reservoir

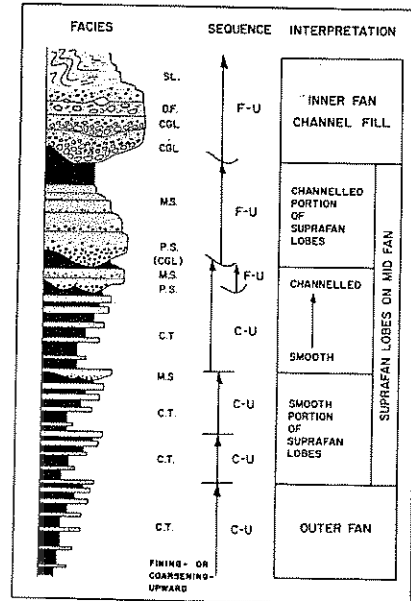
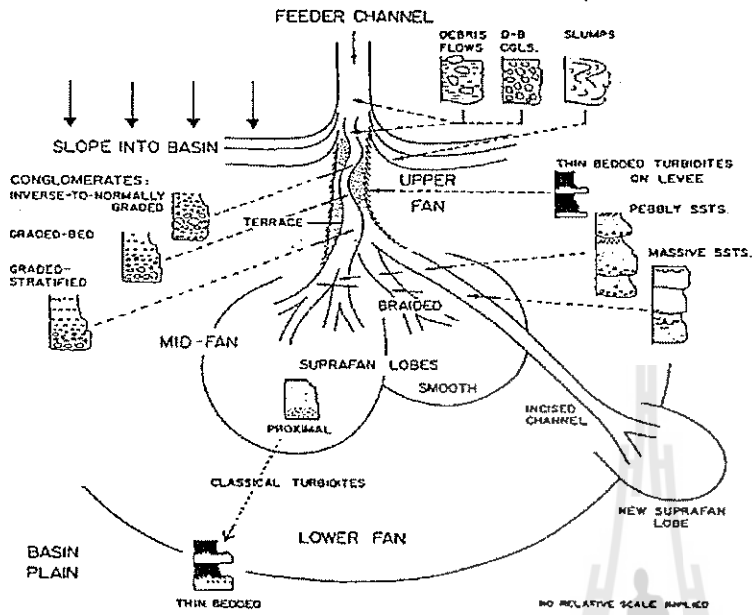


Deep-sea fan deposited by turbidity currents on the continental rise

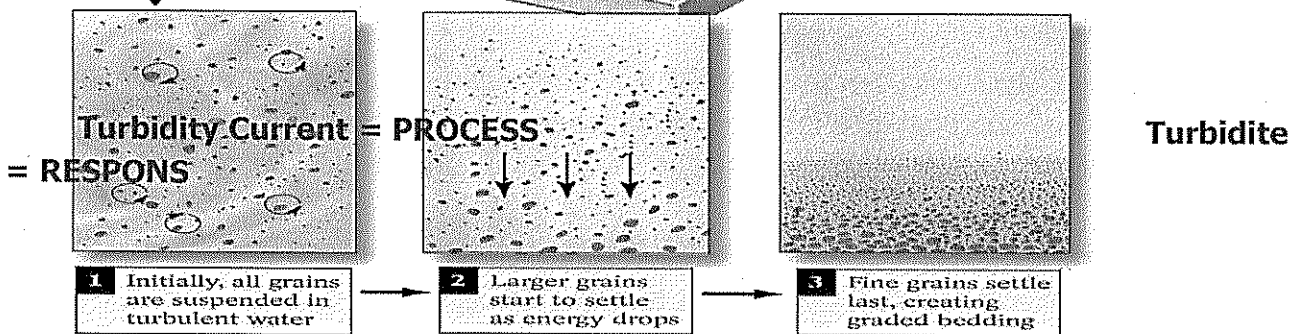
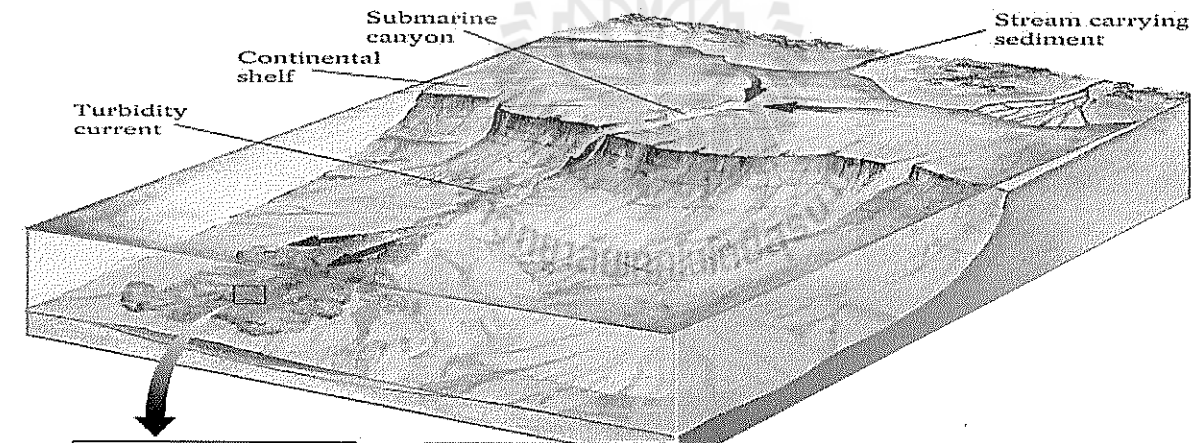
Submarine-fan deposition

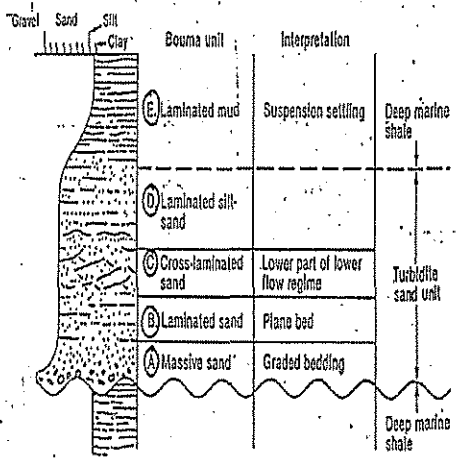
1. **Mid fan**-channels branch into braided distributaries deposits show a feature called graded bedding
 e.g. A single layer with coarser material at the base and progressively finer sand above- imply that when one suprafan lobe is active, other lobes and their former distributary channels are being blanketed by mud==forming stratigraphic traps over potential suprafan oil and gas reservoirs
2. **Lower fan**-consist of a series of thin, laterally extensive sand beds deposited in broad lobes separated by muds==referred as turbidite deposit

Submarine-fan sequence



Graded Bedding = Vertical Decrease of Sediment Size

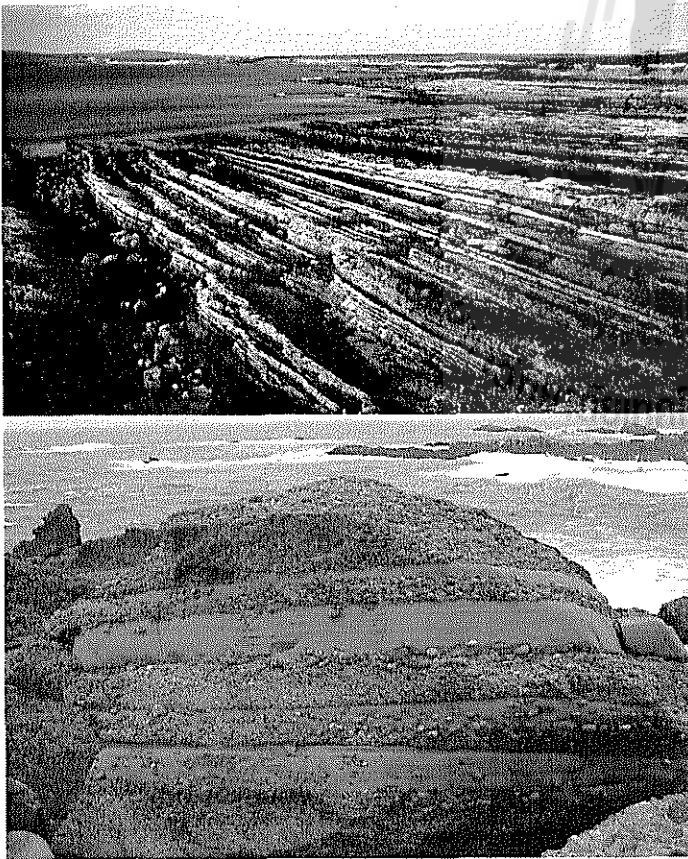




Finning-upward deposits (coarse to fine grains) that were transported seaward in deep-sea channels and canyons by high-density, sediment laden currents.

The deposit of a turbidity current is called a turbidite

Complete turbidite sequence showing Bouma progression



Turbidites

4. Abyssal plain

Abyssal plain - The deep ocean floor.

- Nearly flat.
- Water depths of 3 to 5 km (2 - 3 miles), or more.
- Covered by very fine-grained sediment and shells of microscopic organisms.
 - Clay.
 - Chalk (calcareous limestone)
 - Volcanic ash. (red colors)
 - Foraminifera (calcareous).
 - Radiolarians (siliceous).
 - Diatoms (siliceous).

Pelagic - fine-grained sediments deposited far from land influence by slowly settling particles suspended in the water column.

➤ **Red Terrigenous Clay:**

- the abyssal floor is red clay
- Origin from blown dust, meteoritic dust, volcanic ash, and possible clay sized terrigenous material.
- The red colour relate to oxidizing nature of the cold abyssal waters, which are poor in organic material.

➤ **Calcareous Oozes:**

- water depths less than 3500 m
- the accumulated skeletons of the floating foraminifera
- Sediments are not found in deeper water, below the carbonate compensation depth, because CaCO_3 is undersaturated in these colder deep waters, and the skeletons dissolve.

➤ **Siliceous Oozes:**

- deeper 3500 m
- formed by the settling of the silica skeletons of diatoms (aquatic algae) and radiolarian (planktonic protozoan).
- Diatoms occur preferentially in the colder waters of high latitudes.

ตารางที่ II-18 ลักษณะเด่นของ volcaniclastic facies (จาก Tucker, 1982)

Deposition : takes place in subaerial and submarine (shallow or deep) environments by pyroclastic fall-out, volcaniclastic flows such as ignimbrites, lahars and base surges, and reworking and resedimentation by waves, tidal, storm and turbidity currents.

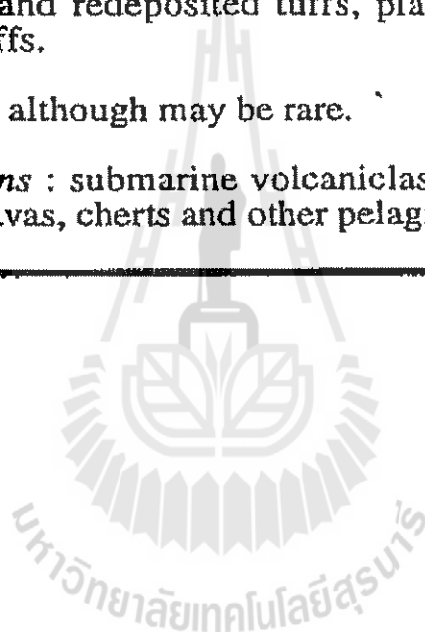
Lithologies : tuffs, lapillistones, agglomerates and breccias.

Textures : diverse, include welding in ignimbrites and matrix-support fabric in lahar deposits.

Structures : include grading in air-fall tuffs, current and wave structures in reworked and redeposited tuffs, planar and cross-bedding in base surge tuffs.

Fossils : do occur although may be rare.

Facies associations : submarine volcaniclastics frequently associated with pillow lavas, cherts and other pelagic sediments.



ตารางที่ II-14 ลักษณะเด่นของ deeper-marine siliciclastic facies
(จาก Tucker, 1982)

<p><i>Deposition</i> : takes place on submarine slopes, submarine fans and in basins of many types, particularly by turbidity currents, debris flows, contour currents and deposition from suspension.</p> <p><i>Lithologies</i> : sandstones (often graywacke in composition) and mudrocks; also conglomerates.</p> <p><i>Texture</i> : not diagnostic; sandstones often matrix-rich; conglomerates mostly matrix-supported and of debris flow origin.</p> <p><i>Structures</i> : in sandstones of turbidity current origin: graded beds (interbedded with hemipelagic mudrocks) which may show 'Bouma' sequence of structures (Fig.II-13); sole marks common, channels perhaps large-scale, also slump and dewatering structures. Some sandstones may be massive. Mudrocks may be finely laminated.</p> <p><i>Fossils</i> : mudrocks chiefly contain pelagic fossils; interbedded sandstones may contain derived shallow water fossils.</p> <p><i>Paleocurrents</i> : variable, may be downslope or along basin axis.</p> <p><i>Facies sequences</i> : turbidite successions may show upwards coarsening and thickening of sandstone beds, or upwards fining and thinning.</p>
--

ตารางที่ II-17 ลักษณะเด่นของ deeper-water carbonates and other pelagic facies (จาก Tucker, 1982)

<p><i>Deposition</i> : takes place in deeper-water epeiric seas, outer shelves and platforms, submarine slopes, in basins of many types and on ridges and banks within basinal areas. Deposition is from suspension and by resedimentation processes.</p> <p><i>Lithologies</i> : pelagic limestones are usually fine grained with dominantly pelagic fauna; limestone turbidites are coarser grained and consist largely of shallow water fossils; cherts, phosphorites, iron-manganese nodules and enrichments, hemipelagic mudrocks.</p> <p><i>Structures</i> : pelagic limestones: often nodular, hardgrounds common together with sheet cracks and neptunian dykes, stylolites common; turbidite limestones: grade bedding and other structures (sole and internal) as in Fig. II-13 although often less well developed; bedded cherts: may be graded and laminated. Pelagic sediments may be slump folded and brecciated.</p> <p><i>Fossils</i> : pelagic fossils dominate; derived shallow-water fossils in limestone turbidites.</p> <p><i>Facies sequences</i> : no typical sequences; pelagic facies may overlie or underlie turbidite successions or follow platform carbonates. Pelagic facies may be associated with volcanoclastic sediments and pillow lavas.</p>
--

Summary of Marine Sedimentary Environments

	REEF	CONTINENTAL SHELF	CONTINENTAL SLOPE AND RISE	ABYSSAL PLAIN
Rock Type	Fossiliferous limestone	Sandstone, shale, siltstone, fossiliferous limestone, oolitic limestone	Litharenite, siltstone, and shale (or limestone)	Shale, chert, micrite, chalk, diatomite
Composition	Carbonate	Terrigenous or carbonate	Terrigenous or carbonate	Terrigenous or carbonate
Color	Gray to white	Gray to brown	Gray, green, brown	Black, white red
Grain Size	Variable, frameworks, few to no grains	Clay to sand	Clay to sand	Clay
Grain Shape	---	---	---	---
Sorting	---	Poor to good	Poor	Good
Inorganic Sedimentary Structures	---	Lamination, cross-bedding	Graded bedding, cross-bedding, lamination, flute marks, tool marks (turbidites)	Lamination
Organic or Biogenic Sedimentary Structures	---	Trails, burrows	Trails, burrows	Trails, burrows
Fossils	Corals, marine shells	Marine shells	Marine shells, rare plant fragments	Marine shells (mostly microscopic)

Sedimentary Depositional Environments

	Depositional Environment	Environmental Characteristics	Organisms	Sediment	Sedimentary Structures	Sedimentary Rocks
non-marine	river channel	variable stream current (high- to low-E), water may dry-up, oxidation	land-freshwater plants & critters	gravel, sand, mud; variable sorting & rounding	crossbeds, ripple marks, graded beds, mudcracks, plant & animal fossil fragments	conglomerate sandstone mudstone
	flood plain	floods (low-E), drying, oxidation, soil formation	land-freshwater plants & critters	mud, sand; well-sorted	bedding, ripple marks, graded beds, mudcracks, abundant fossils	mudstone (red beds) sandstone
	river delta	stream current, tides, low-E	land-freshwater plants & critters	sand, mud; well-sorted	bedding, cross beds, ripple marks, graded beds, abundant fossils	sandstone mudstone
	alluvial fan	periodic flash floods, mudflows, high-E	land plants & critters	gravel > sand; poorly-sorted & angular	plant & animal fossil fragments	sedimentary breccia arkose
	desert dune	variable wind current (high- to low-E), dry, oxidizing	small insects & reptiles; sparse plants	sand; well-sorted & well-rounded	cross beds, ripple marks, trace fossils	sandstone
	playa	low-E, high evaporation, floods periodically, dry	small insects, reptiles; few plants	evaporites, mud	mud cracks, ripple marks, trace fossils	evaporite mudstone
	lake	low-E, shallow-deep standing water	land-freshwater plants & critters	mud, sand, carbonate sediment	bedding, ripple marks, graded beds, abundant fossils	mudstone sandstone limestone
	glacier	ice, bare rock, cold	sparse plants & critters	gravel; angular & poorly sorted	few	till
transitional	beach	waves (high- to low-E), tides, currents, wind	marine & non-marine critters	gravel, sand, mud, carbonate sediment; well-sorted & well-rounded	ripple marks, crossbeds, abundant fossils & fossil fragments	conglomerate sandstone mudstone limestone & coquina
	lagoon	low-E, tides, not very oxidized	marine & non-marine plants & critters	mud	bedding, ripple marks, abundant fossils	mudstone (green-black, not red)
marine	shallow marine	waves (high- to low-E), tides, strong ocean currents, wind	marine plants & critters	sand, mud, carbonate sediment; well-sorted & well-rounded	bedding, crossbeds, ripple marks, abundant marine fossils	sandstone mudstone limestone
	reef	waves (high- to low-E), tides, strong ocean currents, wind	marine plants & critters	gravel, sand, mud, carbonate sediment; variable sorting	abundant marine fossils	limestone breccia sandstone mudstone
	deep marine	low-E, variable currents	weird marine plants & critters	mud, carbonate & siliceous ooze	abundant marine fossils	mudstone limestone chert

Chapter 4

Sources of information

Purpose:

To analysis sedimentary environments, two types of information are in consideration.

- First is direct source of information such as outcrop, core and cutting.
- Second is indirect source of information such as wire line logging, seismic data and lab data.
 - Cutting
 - Core
 - Wire line logs
 - Seismic

1. Core and cutting

- **Core and drilling cuttings** are normally first examined with:

1. A low-power binocular microscope which will indentify most of the important features of the sample.

2. Petrographic microscope may be used to indentify some pore surface and microscorosity feature.

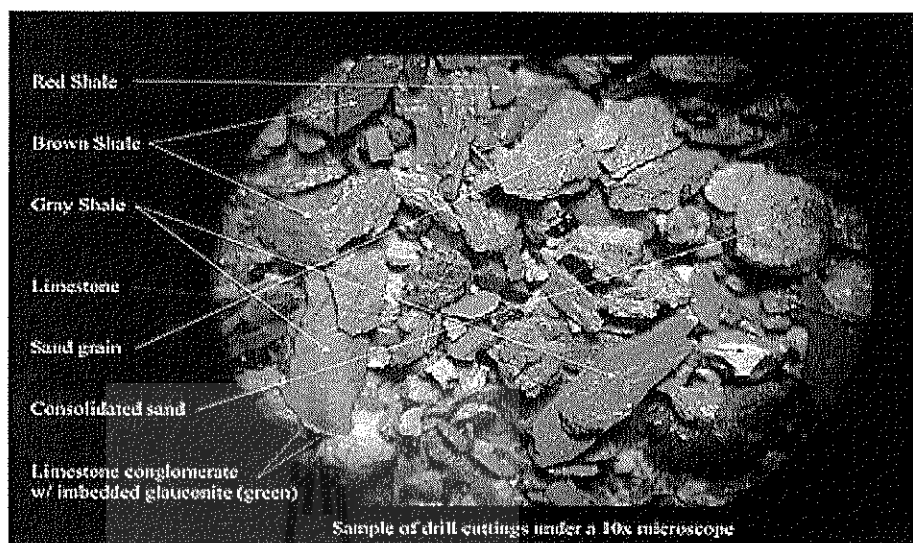
3. Scanning electron microscope (SEM) can magnify from low power up to magnifications of about 2000X, which enables clay mineral texture, microporosity, and pore coating to be dramatically revealed.

- **Drill Cuttings**

- **Drill cuttings** refers to any material (typically called **solids**) removed from a borehole while drilling petroleum well.
- Sand and shale make up the majority of the cuttings

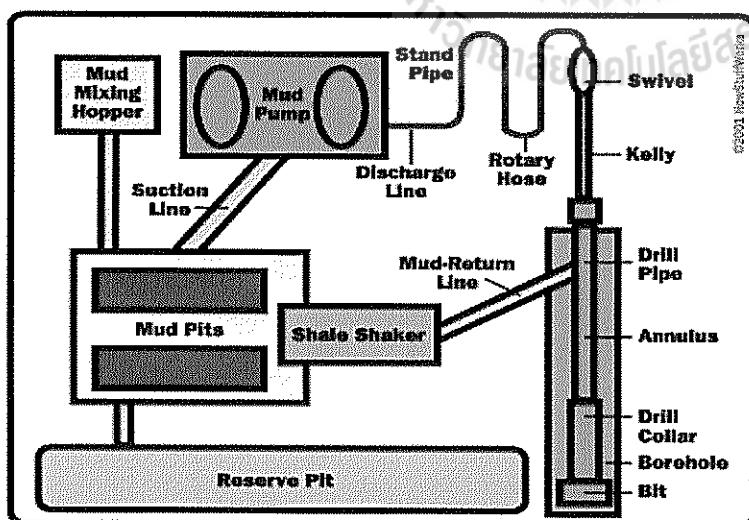
These include but are not limited to: anhydrite, calcite, chalk, chert, clay, dolomite, feldspar, glauconite, granite, gypsum, hematite, iron, kaolinite, lime, marlstone, mica, mudstone, pisolite, pyrite, quartz, sandstone, silica, silt and sulfur.

Sample of drill cutting



Why drilling cutting?

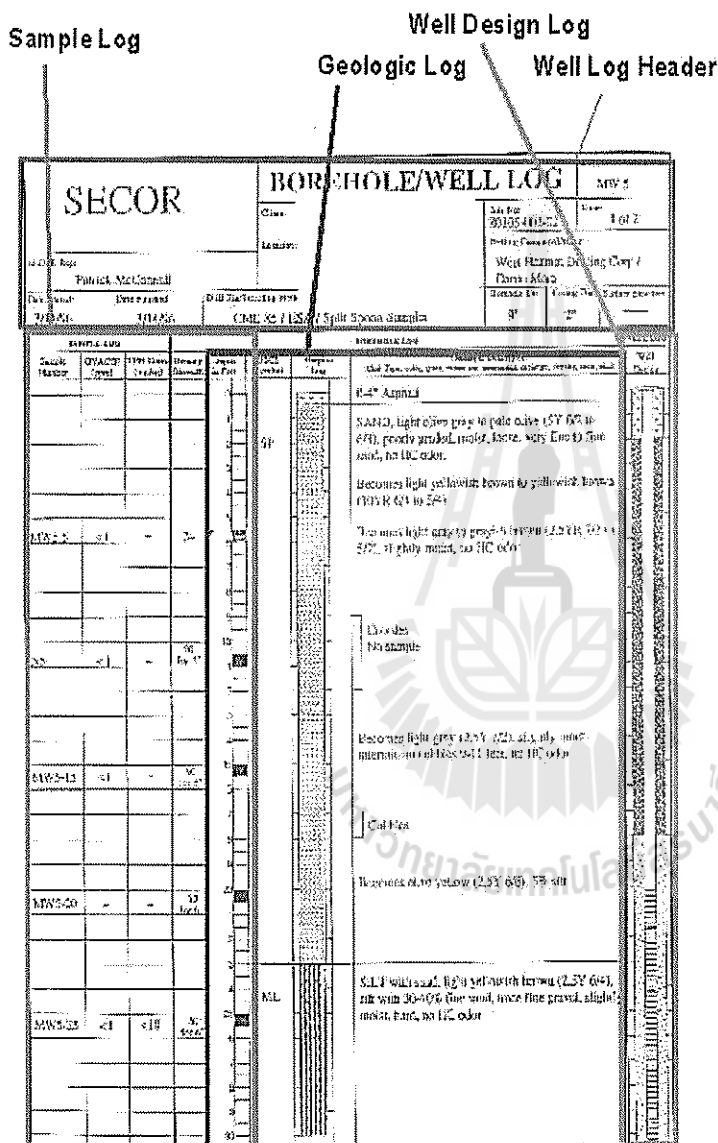
1. Drill cutting are the first and most obvious source of information obtained from the formation being drilled.
2. Drill cuttings are usually removed by circulating the drilling fluid over shale shakers
3. Cutting may reveal the first physical evidence of oil or gas.
4. Cutting can be indicator of increased pore pressure and can reveal formation.



Drill cuttings are usually removed by circulating the drilling fluid over shale shakers

Cutting Log Type

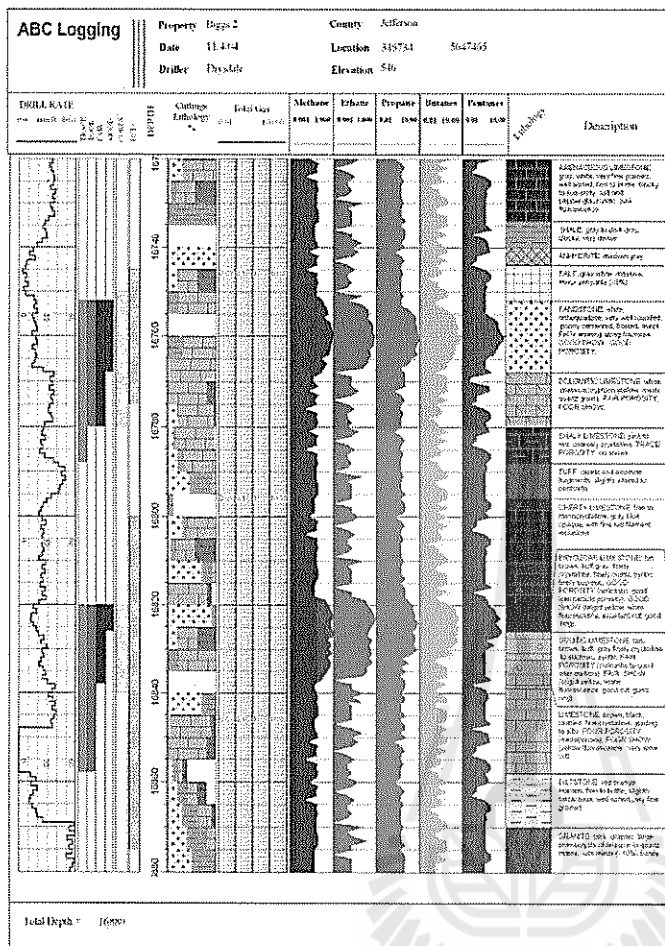
1. **Sample log:** show formation boundary & lithology (Description+symbols)
2. **Mud log:** a graphical representation of the **ROP (Rate Of Penetration)**, **lithology**, **hydrocarbons** and other drilling parameters generated while drilling a petroleum well.



Sample Log

- Formation boundary
- Lithology

(Description+symbols)



Mud Log

Rate Of Penetration (ROP): Drill Rate

Lithology (Description+ Symbol)

Hydrocarbon: Gas & Oil show

CORING METHODS

The rock samples are obtained by cutting a piece of rock from the well bore; the process is called **Coring**.

Important elements in a reservoir description

- Porosity
- Permeability
- Grain density
- Mineralogy

: By estimate of these properties from **Well logs or Rock samples** can be done in the **laboratory**.

Core Type

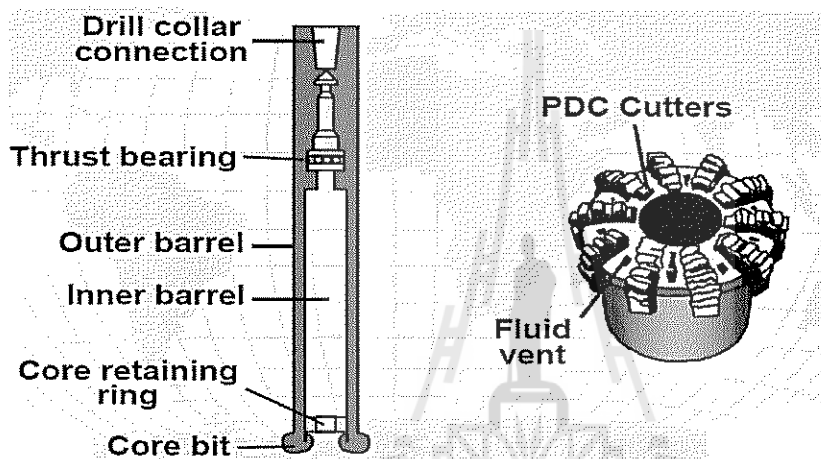
1. Conventional Cores are cut using a specialized subassembly at the bottom of the drill string.

: This consists of a **coring drill bit** (usually a diamond bit), a **core barrel** to hold the recovered core

2. Sidewall Cores used to cut samples measuring 15/16 in x 1 3/4 in. from the formation.

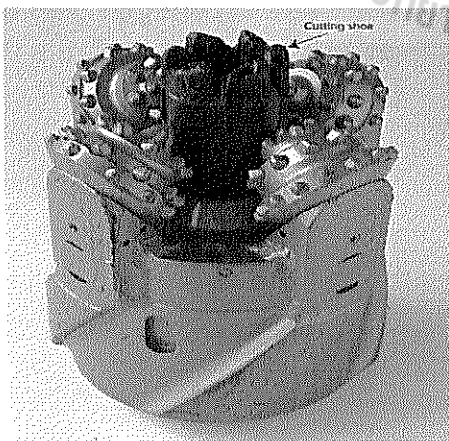
: Sidewall **core gun** or a sidewall **rotary coring** tool. The sidewall core gun uses black powder explosives to fire a steel bullet into the rock adjacent to the tool.

1. Conventional Cores

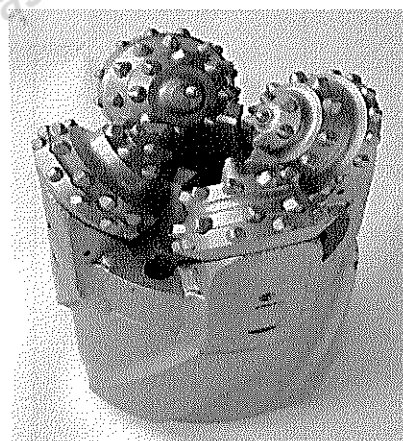


Coring assembly on bottom of drill string and coring bit

Drilling Core Barrels



Extended Core Barrel

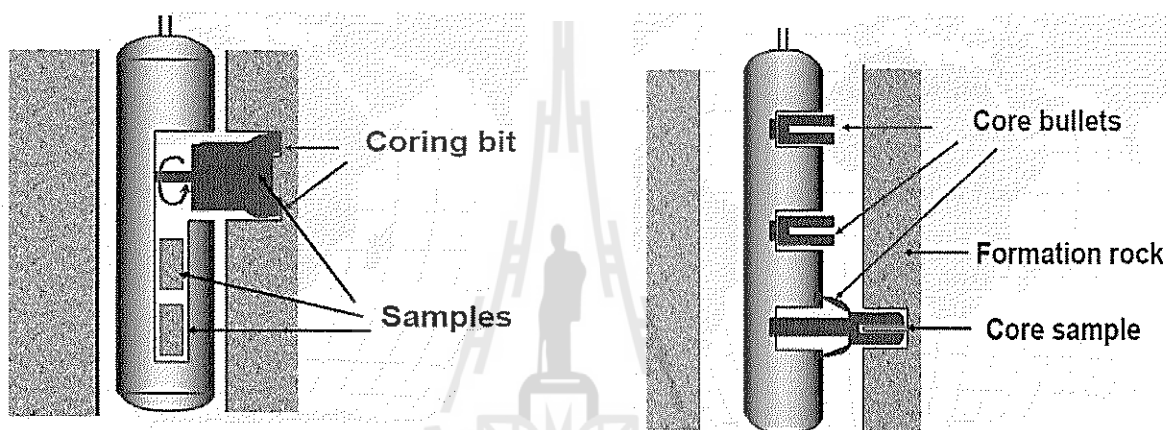


RCB Roller Cone Barrel

How it is physically accomplished

1. Coring assembly is run on the bottom of the drilling assembly.
2. Weight is applied to the core bit and the drillstring is rotated.
3. Doughnut is cut by the core bit
4. Core is swallowed by the core barrel.

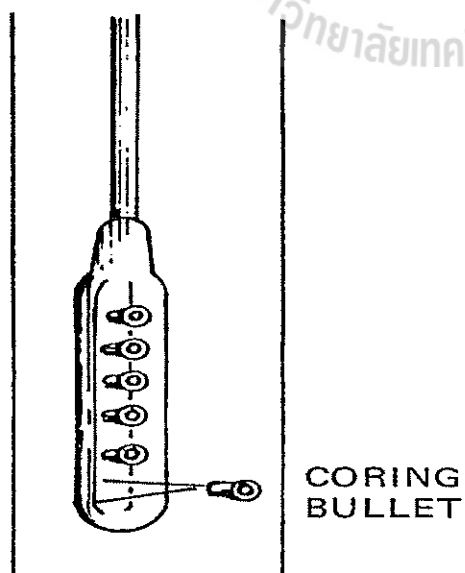
2. Sidewall Cores



1. Rotary core drill on wireline

2. Sidewall core gun with steel bullets

Sidewall Core gun



The sidewall core gun uses black powder explosives to fire a steel bullet into the rock.

Why sidewall cores?

1. Much **cheaper** than conventional cores
2. Core after drilling through the formations and have run electric logs
3. You do not core in zones where core data is not needed.
4. You can selectively retrieve formation samples.

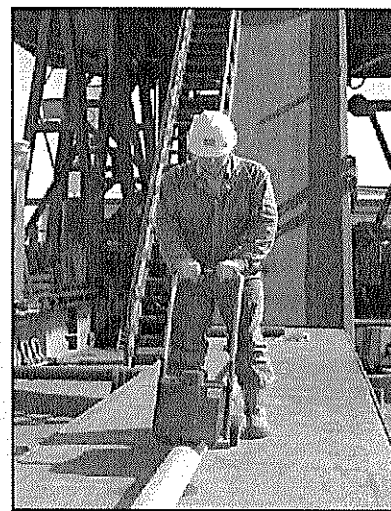
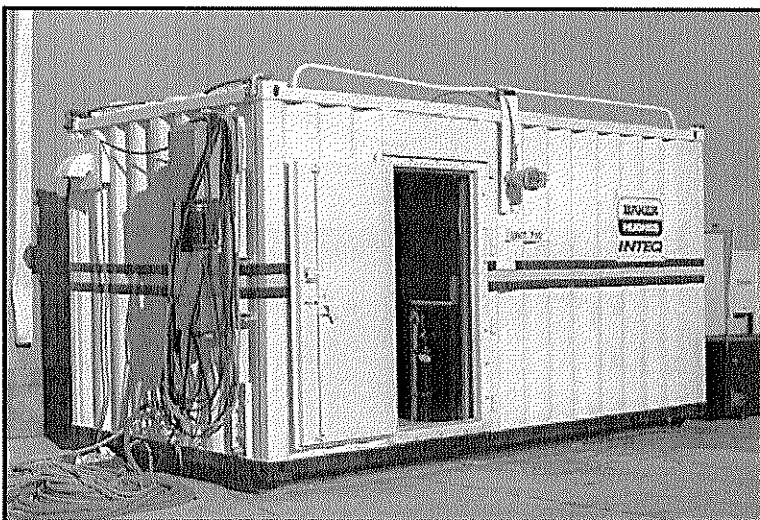
Storage and transport

- Most cores are analyzed on the rig, then the cores are transported to land.
- Cores are then available for additional study by personnel or by other interested parties.



Wellsite Core Evaluation

- Furnish quick preliminary evaluation of core samples
- Cut and preserve core samples for detailed laboratory analysis.



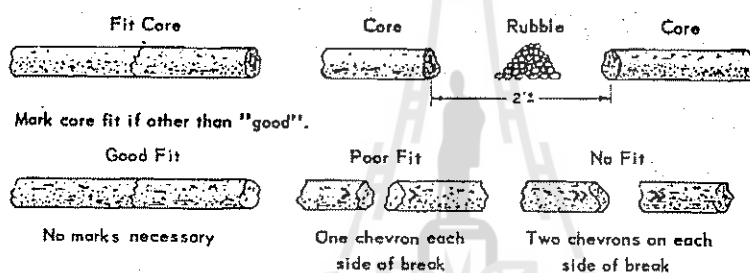
The Gamma link system logs the recovered core on the laydown table

Why protect the cores

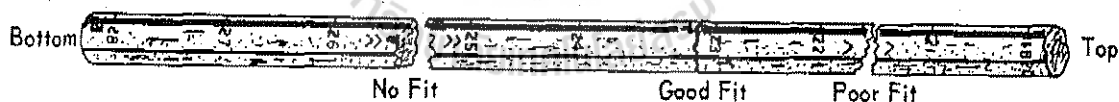
- Altered permeability
- Altered porosity
- Altered fluid content and saturations

Core Handling Procedures

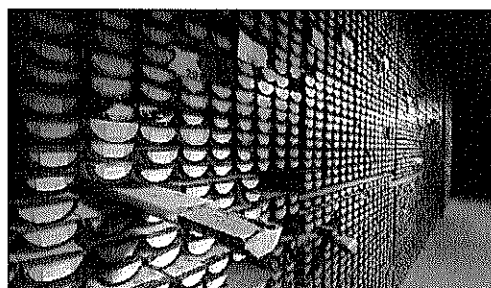
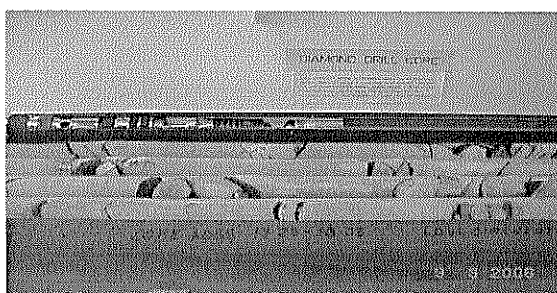
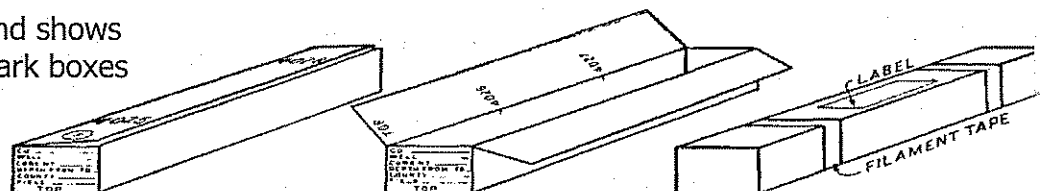
1. Prepare adequate number of boxes. Have rags
2. Set up joints of drill pipe, as required to lay out core
3. Supervise core lay-out to insure correct orientation and order
4. Wipe core clean, with clean dry rags. DO NOT WASH.
5. Fit core. Space rubble between ends of core. Then record depth.



6. Strap core. The unrecovered interval
7. Scribe core with reference lines and depth, using marker pens and straight edge: Black line always to the right; Red line always to the left



8. Describe core and shows
9. Box core and mark boxes



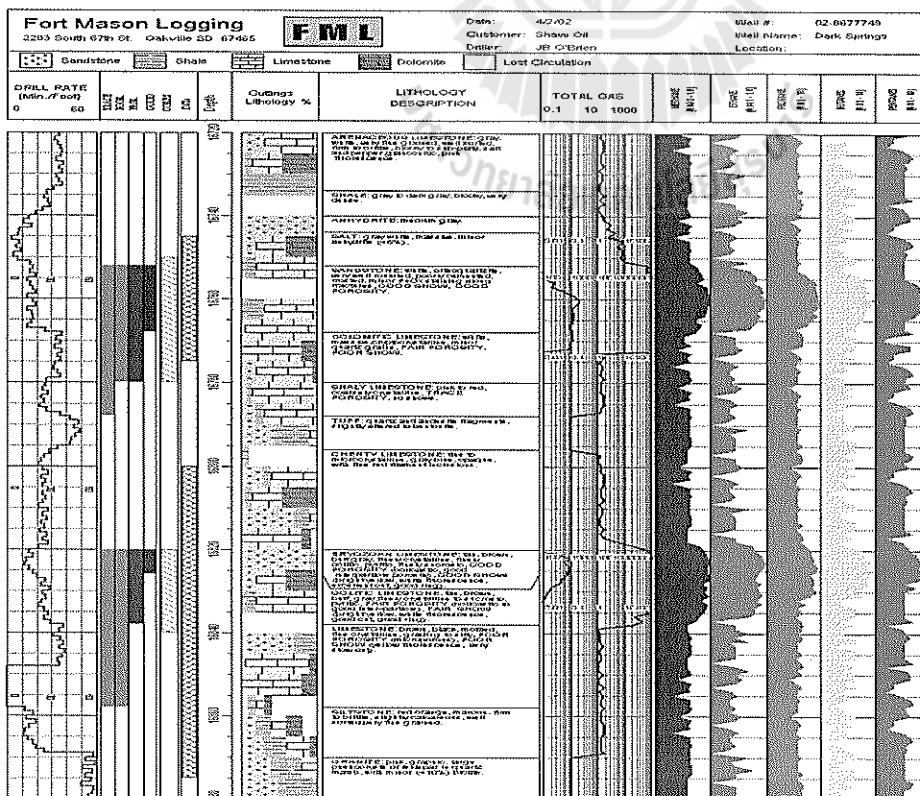
Basic logging form (refer handout)

Logging requirements apply generally to logging of rock

- Dates of drilling
- Drilling method
- Drilling machine make & model
- Drilling fluid type & amount
- Depth and type of casing
- Zones of severe core loss
- Problems that necessitated casing
- Fluid losses
- Bad drilling zones
- Zones of severe bit wear
- Groundwater levels & dates measured

Rock Core Logs

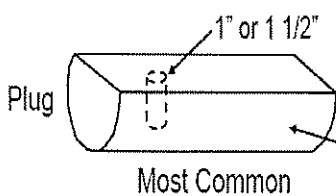
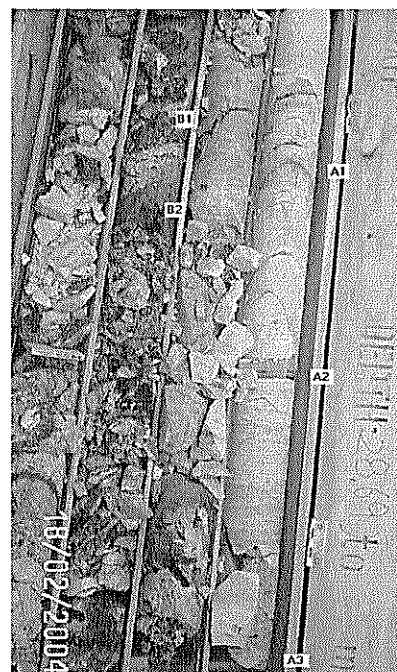
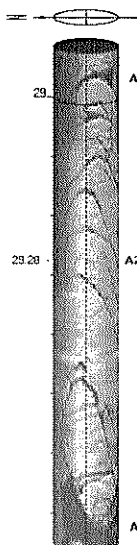
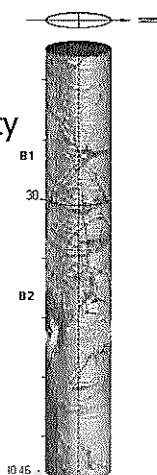
- To record all relevant information about the core and to make a field description
- Contains:
 - Percent core recovery
 - Amount and location of core loss
 - Depth of the beginning and ending of each core run



SAMPLE CORE ANALYSIS REPORT

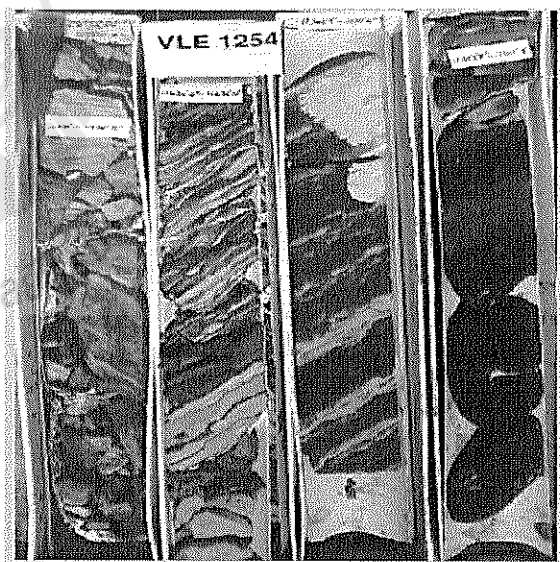
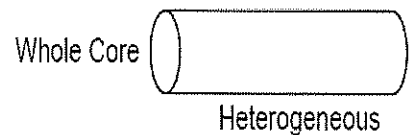
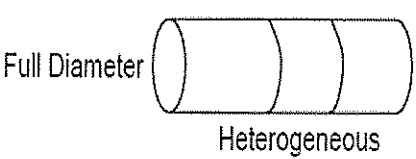
Laboratory Core Analysis

- Porosity
- Fluid content and saturation
- Permeability, relative permeability
- Chemical composition
- Particle size distribution
- Rock strength



Most Common

Slab Taken for
•Photography
•Description
•Archival



Core slab, core plug, full diameter,

Core photo of slabbed core

and whole core definition

Sample Description

From Cutting & Cores

Order of written Description

Required a standardized order of description:

- 1) Reduces the chance of not recording all important properties
- 2) Increase the uniformity of description among geologists
- 3) Saves time in obtaining specific information from description

Handling Procedures

The following order is used:

1. Rock type or lithology-underlined and followed by classification
2. Color
3. Texture-including grain size, roundness, and sorting
4. Cement and matrix material
5. Fossil and accessories
6. Sedimentary structure
7. Porosity and permeability
8. Hydrocarbon show

1. Rock Type or Lithology

Rock type can be classify into two types:

1. **The basic rock name:** rock name that has underline, such as Sandstone, Dolomite, Limestone, Shale, Conlomerate,etc.
2. **The proper composition:** describe to textural of rock, such as Lithic, Oolitic, Grainstone, Calcareouse, Sandy, Silty, Coaly, Dolomite etc.

Chart XIX: Black and White Lithologic Symbols

To be used for Stratigraphic Columnar and Cross Sections
SILICICLASTIC ROCK TYPES

	Clay (See symbols for color designations)		Shale (See symbols for color designations)
	Silt		Siltstone
	Quartz sand		Quartz sandstone
	Lithic sand		Lithic sandstone
	Feldspathic sand		Feldspathic sandstone
	Arkosic sand		Arkosic sandstone
	Gravel (undifferentiated)*		Conglomerate (undifferentiated)*

*Use appropriate rock symbol for matrix component surrounding pebbles, cobbles or boulders.

CARBONATE ROCK TYPES

	Limestone (undifferentiated)		Dolomitic Limestone		Calcareous Dolomite		Dolomite (undifferentiated)
--	------------------------------	--	---------------------	--	---------------------	--	-----------------------------

The texture and particle overlays shown below can be used with any of these basic patterns

TEXTURES

PRIMARY DEPOSITIONAL

	Mudstone
	Wackestone
	Packstone
	Grainstone
	Boundstone

MISCELLANEOUS

	Chalky
--	--------

DIAGENETICALLY ALTERED

	Crystalline
	Sucrosic
	Crystalline w/recognizable particles*

PARTICLES

	Fossils (undifferentiated)*
	Oolites

	Lithoclasts
	Pelletoids

*Consult Charts XII, XIII & XIV for appropriate fossil symbols, and Chart III for additional particle symbols.

MISCELLANEOUS ROCK TYPES

	Anhydrite or Gypsum		Coal
	Bentonite		Lignite
	Chert (dark)		Halite
	Chert (light)		Potassium salt

Type of chert should be designated in margin by appropriate symbols.

Chart XX: Black and White Lithologic Symbols

IGNEOUS AND METAMORPHIC ROCKS

	Extrusive		Metamorphic
	Intrusive		Pyroclastic

Specific rock types can be designated by using symbols on Chart IV and/or inserting first two letters of rock name in center of lithic column.

SECONDARY COMPONENTS

MODIFYING COMPONENTS

	Anhydritic		Cherty		Very sandy
	Argillaceous		Dolomitic		Sandy
	Calcareous		Micaceous		Slightly sandy
	Carbonaceous		Salt hoppers		Silty

CEMENTS

	Anhydrite		Calcite		Chert		Dolomite		Quartz
--	-----------	--	---------	--	-------	--	----------	--	--------

STREAKS AND LENSES

	Argillaceous		Calcareous		Dolomitic		Sandy		Silty
--	--------------	--	------------	--	-----------	--	-------	--	-------

INTERBEDS AND INTERCALATIONS



Use same symbols as for streaks and lenses enclosed within above symbols.

CONCRETIONS AND NODULES

	anhy. Anhydritic		calc. Calcareous		ch Cherty or Siliceous
	fe. Ironstone or other ferruginous material		phos. Phosphatic		sid. Sideritic

2. Color

- **Red, Brown colors:** Ferric iron indicate to an oxidizing environment
- **Green blueyish gray:** Ferric iron indicate to a reducing environment
- **Dark brown, Black colors:** organic matter indicate to a potential petroleum source
- **Black color** of sulfides indicate to anaerobic environment conducive to the production of hydrocarbon

Common use of Color

Color		Extension of color
Buff (สีเ็นือ, เหลืองอ่อน)	Olive	Dark
Black	Pink	Light
Blue	Purple	Moderate, Medium
Brown	Red	Mottled (รอยแต้มสี)
Grey	Tan	Variegated (สลับสีสลับลาย)

3. Texture

- 3.1 Grain or crystal size: size grades and sorting
- 3.2 Shape: used to decipher the history of deposit
- 3.3 Sorting
- 3.4 Composition
- 3.5 Hardness
- 3.5 Luster

3.1 Grain or Crystal Size

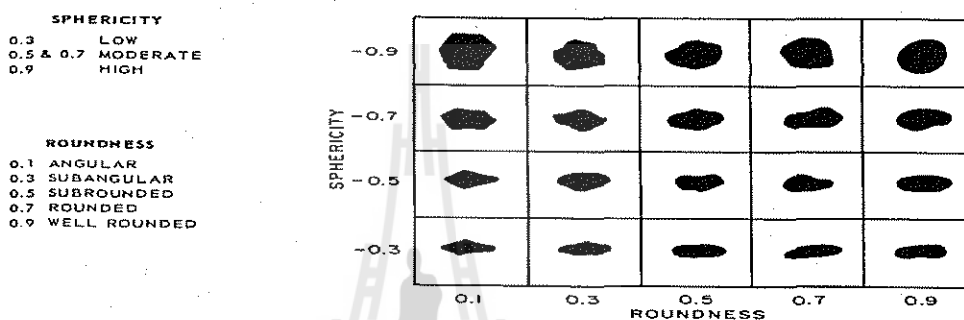
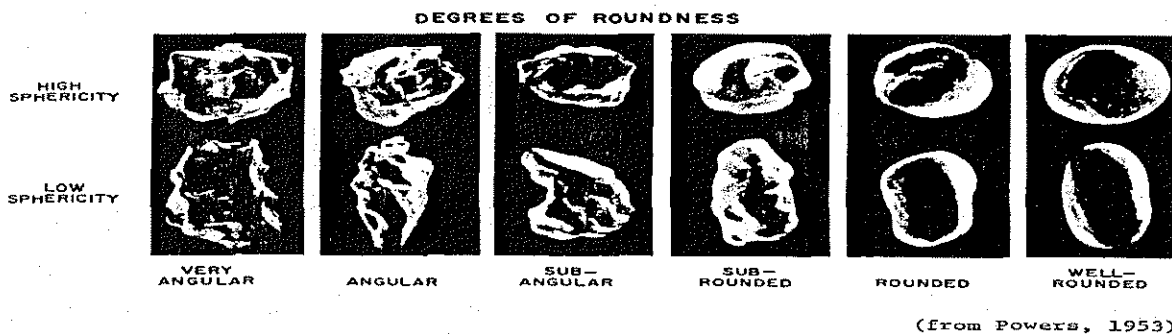
Copyright © McGraw-Hill Companies, Inc. Permission required for reproduction or display.

Diameter (mm)	Sediment		Sedimentary Rock
256	Boulder	Gravel	Breccia (angular particles) or Conglomerate (rounded particles)
64	Cobble		
2	Pebble		
$\frac{1}{16}$	Sand	"Mud"	Sandstone
$\frac{1}{256}$	Silt		Siltstone (mostly silt)
	Clay		Shale or mudstone (mostly clay)

Sandstone and shale are quite common; the others are relatively rare.

12.7 Roundness and Sphericity:

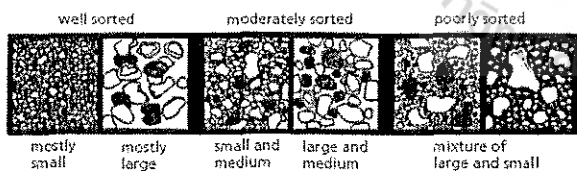
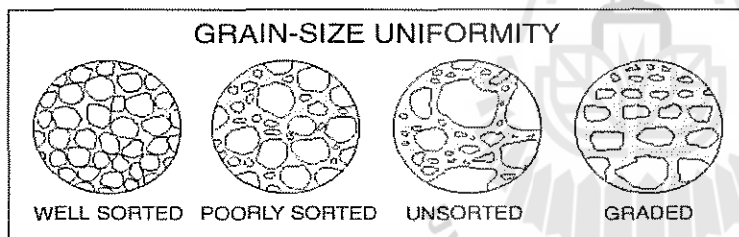
Roundness refers to the roughness of the surface; Sphericity refers to the shape of the grain. These parameters can be expressed by words or by numerical values as shown in the two charts below.



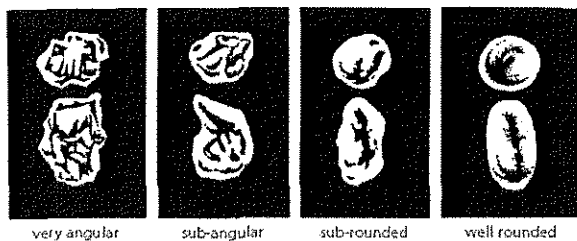
ROUNDNESS

0.1 ANGULAR
0.3 SUBANGULAR
0.5 SUBROUNDED
0.7 ROUNDED
0.9 WELL ROUNDED

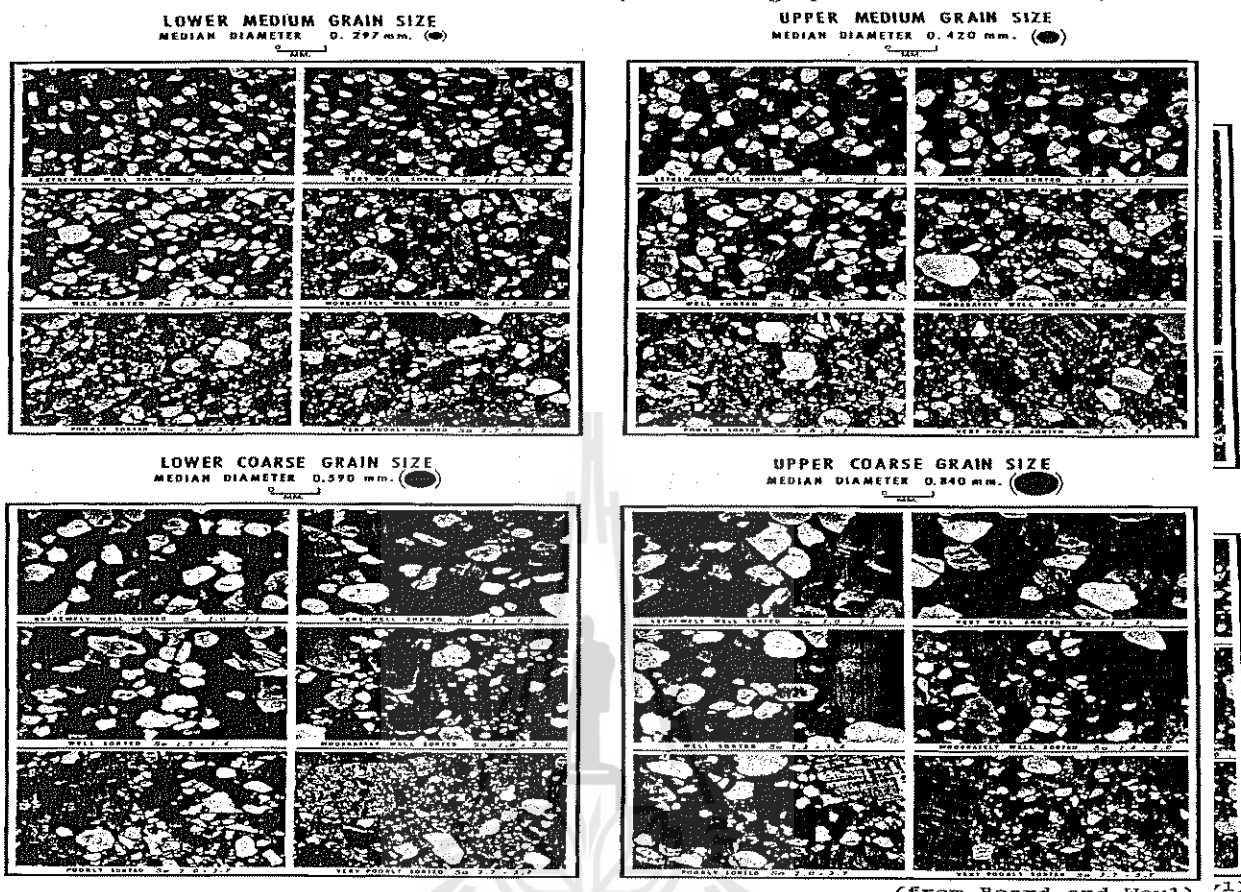
3.2 Sorting



- Good: 90% in 1 or 2 size classes
- Fair: 90% in 3 or 4 size classes
- Poor: 90% in 5 or more size classes



12.51 GRAIN SIZE AND SORTING COMPARATORS (Photomicrographs of Thin Sections)



(from Beard and Weyl)

rd. Red algae gn. Green algae

5. Fossils and Accessories

- Fossil: Foraminifera, Ostracod, Bryozoa, Gastropods, Coral, Algae, Crinoid, Brachiopod

- Abundant: fossils > 25%
- Common: fossils > 10-25%
- Rare: fossils > 0-10%

CHERTS

- Transparent
- Use appropriate chert symbol followed by abbreviation of color.

TEXTURES — Same as on Chart X & XI.
 STRUCTURES — Same as on Chart XVI, XVII & XVIII

Accessories: glauconite, pyrite, mica, feldspar, chert, calcite, siderite, heavy minerals and sand size rock fragments

OIL SHOWS — Same as on Chart VIII except all symbols in black.

- Anhedral: รูปผลึกไม่ให้เห็นเลย
- Poor oil stain
- Good to excellent oil stain
- Dead oil stain

ENGINEERING — Same as on Chart VIII except all symbols in black.

- Euhedral: รูปผลึกค่อนข้างสมบูรณ์

Chart XII: Fossils(1) & (2)

ENVIRONMENT	DEPTH & TOPS	ENGR. DATA	SHOWS	POROSITY	CORES	LITHOLOGY	COLOR	CRYSTAL/ PARTICLE SIZE	FOSSILS	ACCESSORIES	SED. STRUCTURES	REMARKS		
													micro xt vt f m cs vcs xcs	
<p>FOSSILS</p> <p><u>General Symbols</u></p> <ul style="list-style-type: none"> Macrofossil fragments, undifferentiated Macrofossil fragments, rounded Macrofossils, whole Microfossils, undifferentiated Fossils, encrusting <p><u>Specific Symbols</u></p> <ul style="list-style-type: none"> Algae, undifferentiated Algae, Red Algae, Green Algal plates Algal balls, oncolites, rhodolites Algal stromatolites Brachiopods, undifferentiated Brachiopods, phosphatic Brachiopods, productid Bryozoa, tube-like forms Bryozoa, fenestellid forms Calcspheres Chara Conodonts and scolecodonts Corals, colonial Corals, <u>Chaetetes</u> Corals, <u>Syringopora</u> Corals, solitary Crinoids Diatoms Echinoderms 														<p>Use appropriate fossil symbol within circle or square if fossil identifiable</p> <p>Use as underline under appropriate fossil symbol. Ex: = encrusting foraminifera</p> <p>VT 744 VT 751</p>

(1) Relative abundance is indicated by dots over symbols
 No dot = 0-10% To be used over fossil symbols

Chart XIII: Fossils, continued

ENVIRONMENT	DEPTH & TOPS	ENGR. DATA	SHOWS	POROSITY	CORES	LITHOLOGY	COLOR	CRYSTAL/ PARTICLE SIZE	FOSSILS	ACCESSORIES	SED. STRUCTURES	REMARKS		
													micro xt vt f m cs vcs xcs	
<ul style="list-style-type: none"> Fish remains Fish scales Foraminifera, undifferentiated Foraminifera, pelagic Foraminifera, small benthonic Miliolids Tubular forams Foraminifera, large benthonic Orbitolina Dictyoconus Coskinolina and Coskinolinoides Fusulinids Graptolites Hydrozoa Mollusca, undifferentiated Cephalopods Belemnites Gastropods Pelecypods (clams) Chondrodonta Gryphaea Inoceramus Oysters Rudists, undifferentiated Caprinids Caprotinids Monopleurids Requeniids Radiolites Tentaculites Ostracods Plant remains Silicified wood Spicules 														

Chart XIV: Fossils, continued; and Accessories

ENVIRONMENT	DEPTH & TOPS	ENGR. DATA	SHOWS	POROSITY	CORES	LITHOLOGY	COLOR		CRYSTAL/ PARTICLE SIZE	FOSSILS	ACCESSORIES	SED. STRUCTURES	REMARKS	
							macro	micro						
Spines Spines, brachiopod Spines, echinoid Sponges Spores and/or pollen Stromatoporoids, undifferentiated Stromatoporoids, lamellar Stromatoporoids, spherical Stromatoporoids, hemispherical Stromatoporoids, branching Stromatoporoids, Amphipora, undifferentiated Stromatoporoids, Amphipora, lamellar Radiolarians Trilobites Worm tubes Vertebrates														
Accessories(1) & (2) Ash Chlorite Feldspar Glauconite Hematite Limonite Mica Phosphate nodules Pyrite Quartz crystals euhedral singly terminated Quartz grains (floating) Siderite grains Sulfur Volcanic glass													VT 751 VT 751 VT 751 VT 744 VT 744 VT 745 1/2 VT 735 1/2 VT 745 1/2 VT 737 VT 751	

- (1) Relative abundance is indicated by dots over symbols (see Chart XII)
 (2) Any of these symbols can be used as overlays in the lithic column if they represent a major rock constituent.

Chart XV: (Accessories) Chert (1), (2) & (3)

ENVIRONMENT	DEPTH & TOPS	ENGR. DATA	SHOWS	POROSITY	CORES	LITHOLOGY	COLOR		CRYSTAL/ PARTICLE SIZE	FOSSILS	ACCESSORIES	SED. STRUCTURES	REMARKS
							macro	micro					
Mineralization Vug filling Vein or fracture filling CHELT Banded Chalk textured (tripolitic) Fossiliferous Granular Milky Mottled Oolitic Opaque Pelletal Porcelaneous Sandy Spicular Spotted Subporcelaneous Translucent Transparent Undifferentiated Composite symbol (e.g. fossiliferous, oolitic, sandy)											Use symbol color of mineral present to indicate nature of filling. Examples shown indicate calcite fill. Use VT 743 for hydrothermal mineral fill Use appropriate fossil symbol make ticks with appropriate color pencil use appropriate color pencil for filling in symbol make ticks with appropriate color pencil use appropriate color pencil for filling in or outlining symbols VT 737		

- (1) Undifferentiated chert symbol is placed in lithology column. Detailed symbology is shown in accessory column.
 (2) Chert symbols should be made with colored pencil approximating the color of the chert. White chert symbol should be colored light blue (VT 741 1/2).
 (3) Relative abundance is indicated by dots over symbols (see Chart XII).

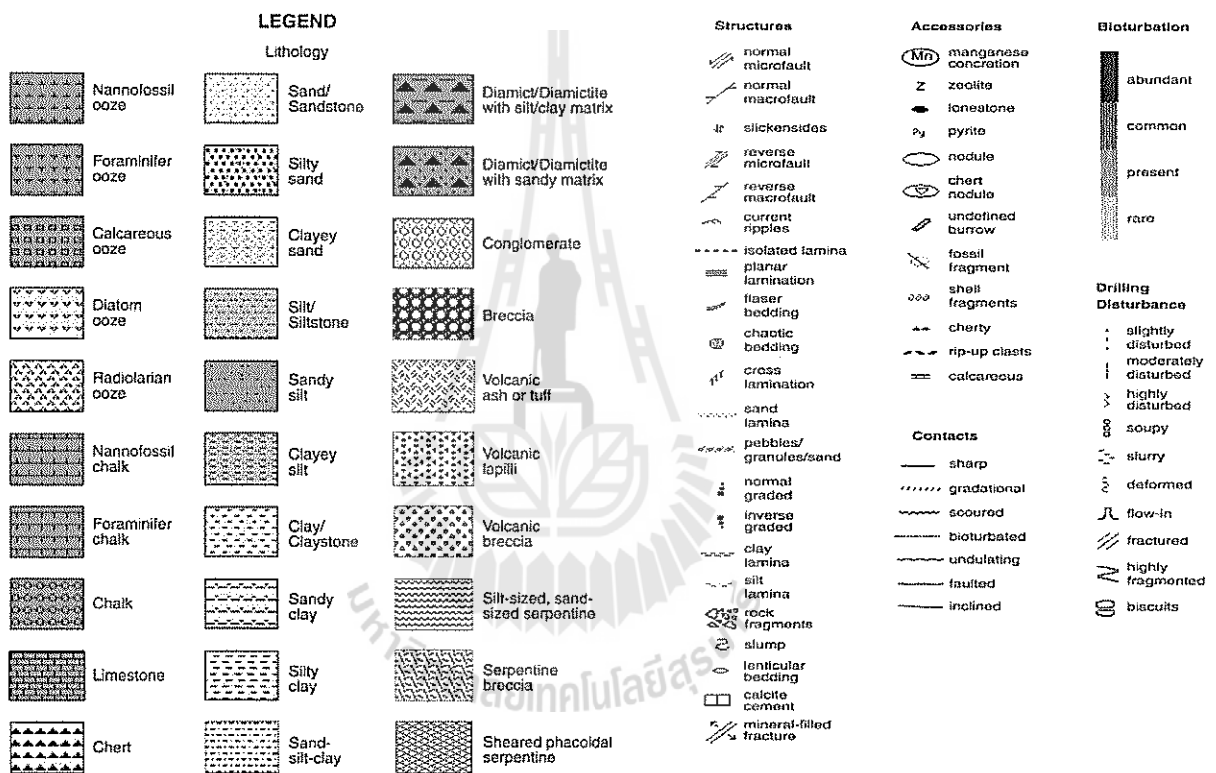
6. Sedimentary structure

- Structure can not found in cutting but it can found in any core
- Structures related to stratification
- The origin can be divide into 2 deposition:

6.1 Syngenetic (formed during with deposition): very important environmental deposition indicator

6.2 Epigenetic (formed after deposition and burial)

Common symbols



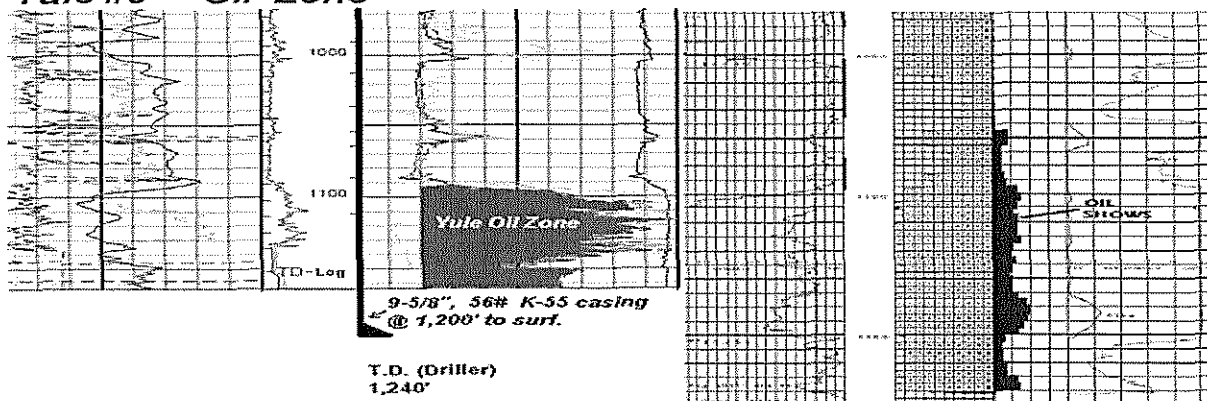
7. Porosity and Permeability

- **Porosity (f)** = measures the fraction of the total rock volume that is void space.
- **Permeability (k)** = The ability of rocks to store and transmit
- **Cementation** tends to reduce pore volume (porosity) and pore interconnection (permeability).
 - Calcite, silica and iron oxides are the common cements in sediments.
- **Clean sands** free from fines (silt and clay) make the best aquifers and reservoir rocks.

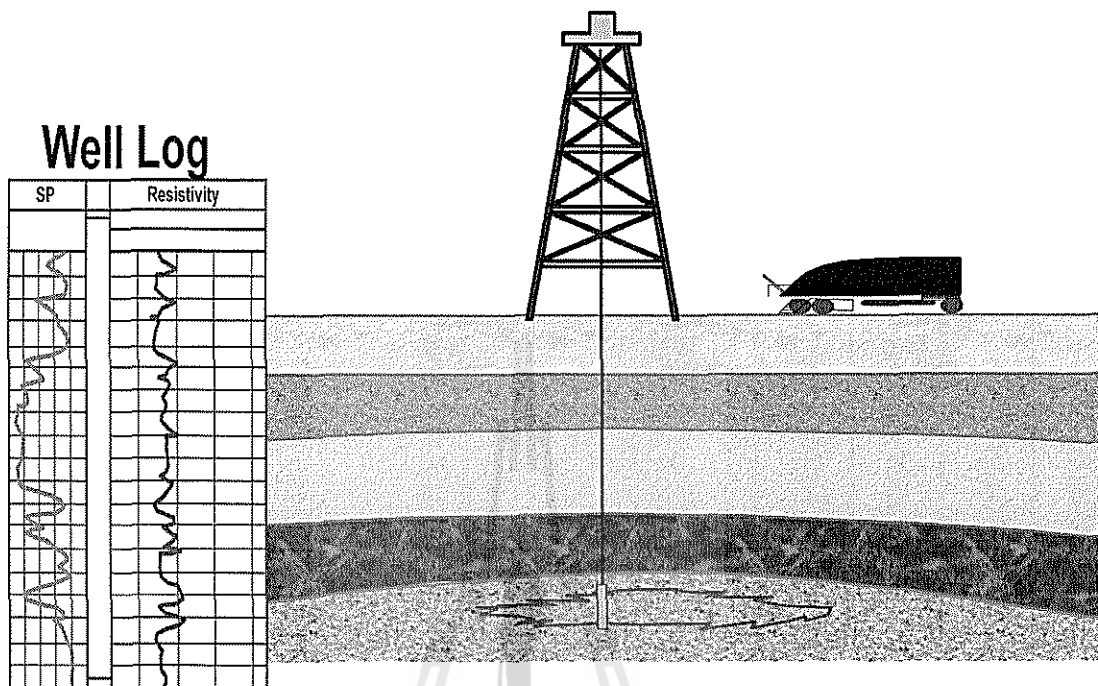
Example of Lithologic Logs

ERA	PERIOD	EPOCH	FN	Thic.(m)	Lithologic log	Lithologic Description
CENOZOIC	TERTIARY	Upper Mio.	Upper Fars	200		Red claystone and sandstone without marl
		Miocene	Lower Fars (Fatha) Formation	13		Alternation of red claystone and sandstone with occasional marl
				10		Alternation of sandstone, shale or marl with occasional beds of 20cm fossiliferous limestone
				12		7m of well bedded package of medium to coarse sandstone, flaser bedded, cross stratified and ripple marked laminated (at top) and laterally extend to 6km
				7		Sandy calcareous shale with skolithos trace fossils
				2-8		Bedded or nodular or laminitic gypsum
				6		Green marl with gypsum
				6		Limestone and chert paraconglomerate
				6		Chalky sparsely fossiliferous limestone
		Eocene	Pitaspi Fm.	120		Chalky sparsely fossiliferous limestone

Yule #9 - Oil Zone

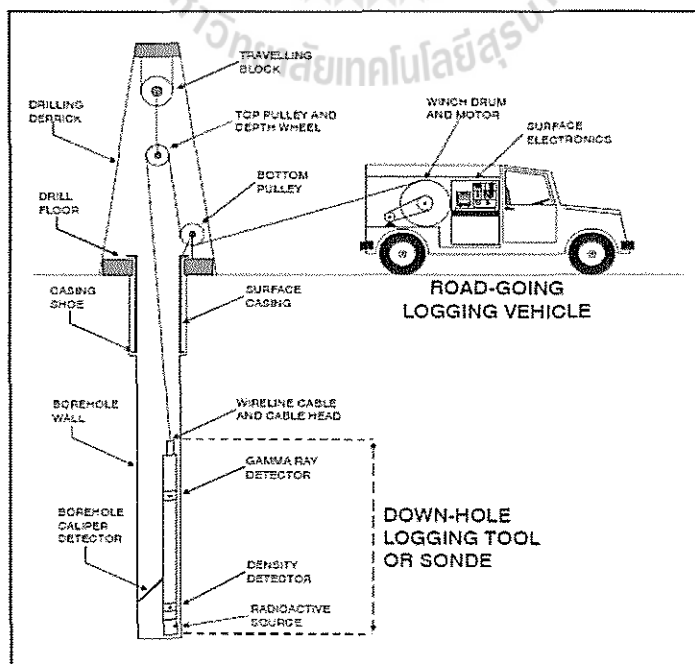


2. Well logging methods and interpretation



Wireline logs

- Wireline logs, Well log, logs หรือ การหยั่งธรณีในหลุมเจาะ
- เป็นการเก็บข้อมูลสมบัติของชั้นหินหรือการตรวจสอบของไหลที่ถูกกักเก็บในชั้นหิน



What do we need to find out?

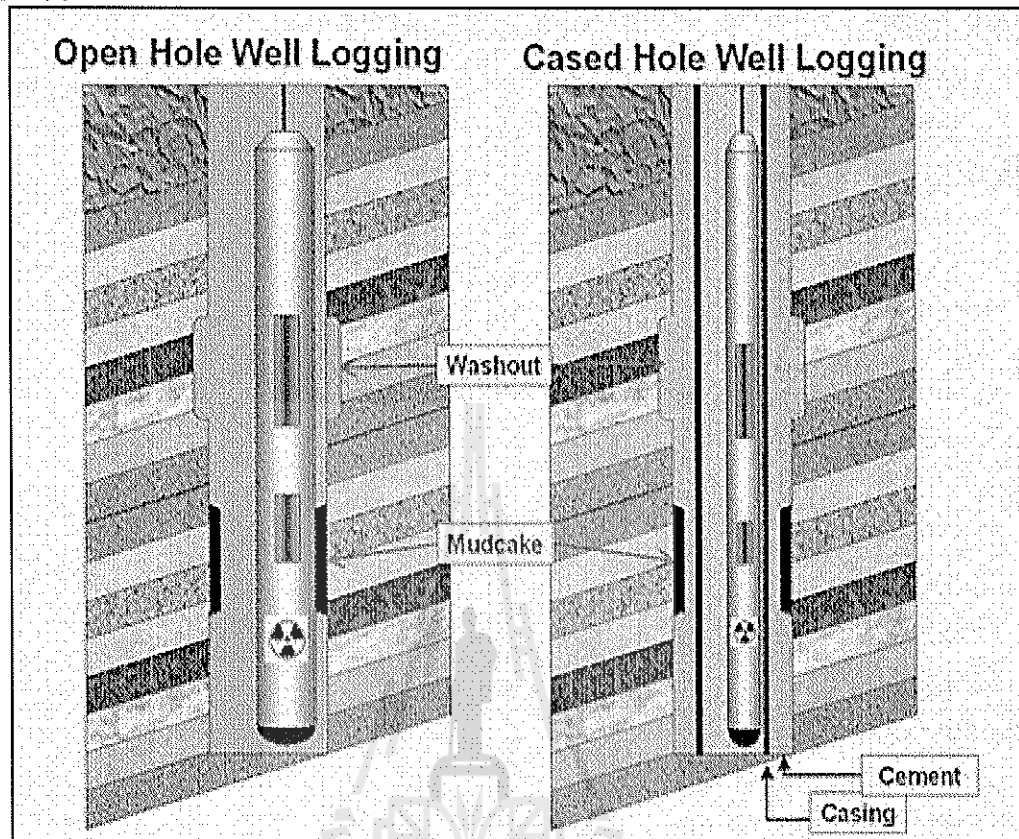
- **Rock type?**
 - Sandstone? Shale?
 - Limestone?
- **Rock Properties**
 - Porosity
 - Permeability
 - Bedding Orientation
 - Fractures
 - Fault
 - Temperature
- **Fluids**
 - Type (water, oil, gas)
 - Saturation
 - Salinity
 - Pressure
- **Engineering**
 - Well trajectory (coord)
 - Shape of hole
 - Casing Joints
 - Quality of cement



What for? (Log applications)

- Lithology type
- Stratigraphic correlation
- Formation Tops
- Quantitative Oil, Gas , Water saturations
- Porosity & Permeability
- Correlation with seismic data
- Sedimentological studies
- Reservoir modeling
- Structural studies etc.

Wireline Log Type



Log Types

- Lithologic Logs
 - Spontaneous Potential (SP)
 - Gamma Ray (GR)
- Porosity Logs
 - Neutron
 - Density
 - Sonic
- Resistivity Logs (Fluid Type)
 - Resistivity

- Other
 - Dipmeter
 - Caliper
 - Temperature
 - Acoustic
 - FMI
 - Many more ...

Log	Properties measured	Units	Geologic uses
Spontaneous potential (SP)	Natural electric potential	millivolts	Lithology (in some cases), Correlation, Curve shape analysis, Identify porous zones
Resistivity	Resistance to electric current flow	ohm.meters	Identification of coals, Bentonites, Fluid evaluation
Gamma-Ray	Natural radioactivity related to K, Th, U	API units	Lithology (shaliness), Correlation, Curve shape analysis
Sonic	Velocity of compressional wave	msec/meter	Identification of porous zones, Coal. Tightly cemented zones
Caliper	Size of hole	centimeters	Evaluation hole condition, Reliability of other logs
Neutron	Concentration of hydrogen in pores	% porosity	Identification of porous zones, Crossplots with sonic, density logs for empirical separation of lithology
Density	Bulk density includes pore fluid in measurement	g/cc	Identification of some lithologies, such as anhydrite, halite, nonporous carbonates
Dipmeter	Orientation of dipping surface by resistivity changes		Structure analysis, stratigraphic analysis

Borehole environment

สภาวะความดันระหว่างการเจาะและการหยั่งธรณีในหลุมเจาะ เกิดจากปัจจัยสองส่วนคือ

1. ความดันในชั้นหิน (Formation pressure): pressure occur from fluid & gas in formation under pressure condition
2. ความดันของคอลัมน์ของน้ำโคลน

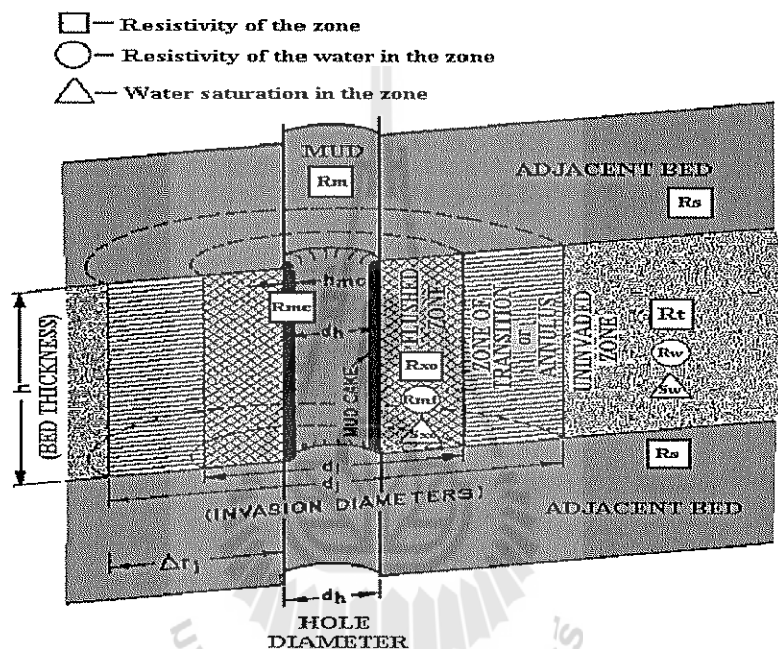
ความดันของคอลัมน์ของน้ำโคลนขึ้นอยู่กับความลึกและความหนาแน่นของน้ำโคลน $P_{mud} > P_{formation}$ == เพื่อใช้ป้องกันแรงดันภายในชั้นหินน้ำซึมผ่านได้ที่จะดันให้หัวเจาะและเครื่องมือที่ปากหลุมเจาะเกิดการเสียหาย ส่วนผสมในน้ำโคลนซึ่งเป็นของแข็งจะเกิดการสะสมตัวเกาะอยู่ที่ผนังหลุมเจาะบริเวณที่เป็นชั้นหินน้ำซึมผ่านได้ซึ่งเรียกว่า **Mud cake** ส่วนที่เป็นของเหลวซึ่งเรียกว่า **Mud filtrate** จะไหลเข้าไปในชั้นหินน้ำซึมผ่านได้ดันให้ของไหลที่เคยอยู่ในชั้นหินกักเก็บเดิมไหลลึกเข้าไปในชั้นหิน

บริเวณที่เกิดการแทรกตัวของน้ำโคลน (Invasion zone)

สามารถแบ่งออกได้เป็น 2 ส่วนใหญ่ๆคือ

1. **Flushed zone** เป็นส่วนของไหลเดิมที่เคยอยู่ในชั้นหินน้ำซึมผ่านได้ทั้งหมดถูกแทนที่ด้วย mud filtrate
2. **Transition zone** เป็นส่วนของไหลเดิมที่เคยอยู่ในชั้นหินน้ำซึมผ่านได้บางส่วนถูกแทนที่ด้วย mud filtrate

: **virgin or uninvaded zone** คือ บริเวณที่ mud filtrate ไม่สามารถแทรกผ่านเข้าไปได้



Borehole Condition for Wireline logging

- Avg. Depth = **6,000 ft** (may be 1,000 ถึง 20,000 ft)
- Borehole diameter **9"** (may be 15")
- Borehole dip **0-5° (onshore) and 20-40° (offshore)**
- Bottom Temperature avg. = 150°F (may be between 350°F)
- Mud salinity avg. = 10,000 ppm (may be 3,000-200,000 ppm)
- Wt. of mud avg. 11 lb/gal (may be 9 -16 lb/gal)
- Bottom pressure avg. = 3,000 psi (may be 3,000 -15,000 psi)
- Thickness of Mud cake avg. 0.5" (may be 0.1-1")

Formation parameters

ในการแปลความหมายข้อมูลที่ได้จากการหยั่งธรณีในหลุมเจาะ สิ่งสำคัญที่ต้องเกี่ยวข้องกับมีอยู่ 2 ส่วนคือ

1. ส่วนประกอบของหิน (constitutes of rock) ได้แก่ เนื้อหิน (**matrix**) หินดินดาน (**shale**) ของไหล (**fluids**)
2. ธรรมชาติของชั้นหิน (nature of formation) ได้แก่ ความพรุน (porosity) สัมประสิทธิ์ความซึมได้ (permeability) ความต้านทานไฟฟ้า (resistivity)

<p>Matrix เนื้อหิน</p>	<ul style="list-style-type: none"> • ส่วนประกอบของหินที่เป็นของแข็ง ยกเว้นส่วนที่เป็นหินดินดานหรือชั้นดินเหนียว • ประกอบไปด้วยแร่หลักชนิดต่างๆ (grains) และ ตัวเชื่อมประสาน (cements) 	<ul style="list-style-type: none"> • Clean formation หมายถึงชั้นหินที่ไม่มีดินเหนียวหรือหินดินดานปะปนหรือแทรกสลับอยู่ • Shaly formation หรือ Dirty formation ชั้นหินที่มีดินเหนียวหรือหินดินดานปะปนหรือแทรกสลับอยู่
<p>Shale หินดินดาน</p>	<ul style="list-style-type: none"> • ประกอบด้วยตะกอน clay และ silt • เกิดการสะสมตัวเมื่อกระแสน้ำที่พัดพาเอาตะกอน เหล่านี้มา มีความเร็วลดลง 	<ul style="list-style-type: none"> • High Ø, Low K • Clay ประกอบด้วยแร่ดิน (clay minerals) ได้แก่ montmorillonite, illite, chlorite, kaolinite
<p>Fluid</p>	<p>น้ำ อากาศ ก๊าซ น้ำมัน</p>	<ul style="list-style-type: none"> • อากาศ ก๊าซ น้ำมัน มีสมบัติที่ตัวนำไฟฟ้าที่ไม่ดี • น้ำ ซึ่งมักจะละลายเอาแร่ธาตุต่างๆไว้ จะเป็นตัวนำไฟฟ้าที่ดี

Structure of Shale

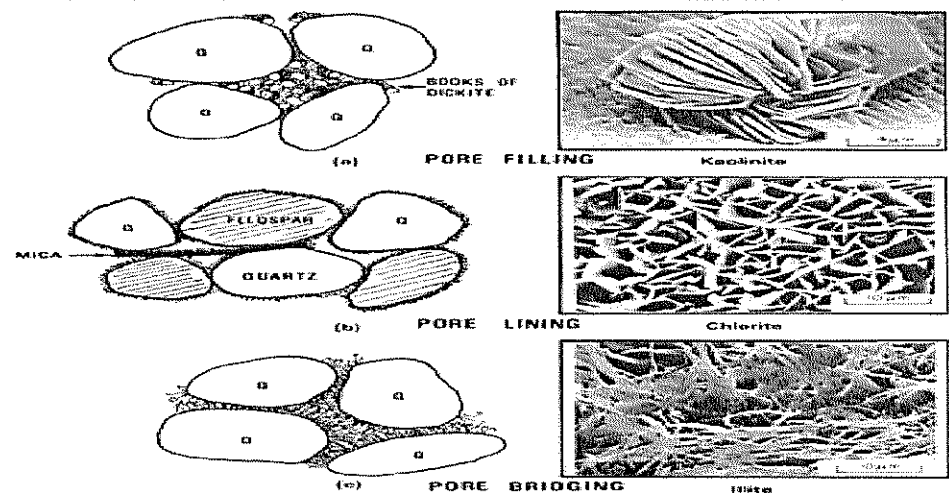


Fig. 3-14. The three types and distributions of dispersed authigenic clay minerals in pore space (from Neasham, 1977)

Logging techniques

การหยังธรณีหลุมเจาะ เพื่อวัดค่าสมบัติต่างๆ ของชั้นหินในหลุมเจาะนั้น สามารถแบ่งออกได้เป็น 2 ลักษณะคือ

1. การวัดค่าที่เกิดขึ้นเองตามธรรมชาติ (Natural phenomena)

- Natural gamma radioactivity (Gamma)
- Spontaneous potential (SP)
- Resistivity (R)
- Formation temperature
- Borehole diameter (Caliper)
- Inclination of borehole and formation (Dipmeter)

2. การวัดค่าที่ได้จากการเหนี่ยวนำ (Induced phenomena)

- Electrical measurement: Induction log
- Nuclear measurement: Density, Neutron
- Acoustic measurement: Sonic

1. Spontaneous potential or Self potential log (SP Log)

- One of the oldest logging measurements
 - ❖ Used commercially in 1931
- Discovered as Noise in Resistivity
- Found to be Related to Presence of sandstone

SP Log Properties

- Measures natural electrical potentials that occur in boreholes
- "Battery" mechanism caused by drilling with fluid that has a different salinity from formation waters
- Ions diffuse from more concentrated solution (generally formation water) to more dilute
- Ion flow an electrical current
- Potential measured in millivolts

The earth well works like a battery

$$E = -K \log (a_w/a_{mf})$$

When: E is in millivolts, a_w = water salinity, a_{mf} = mud salinity

Principle of SP

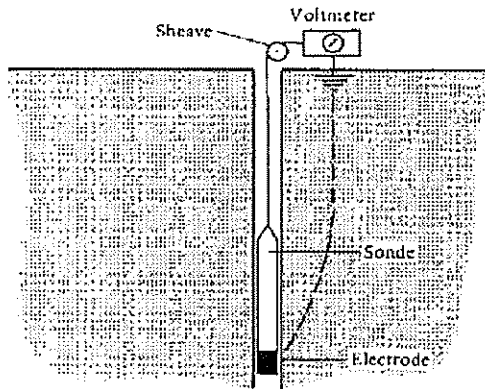
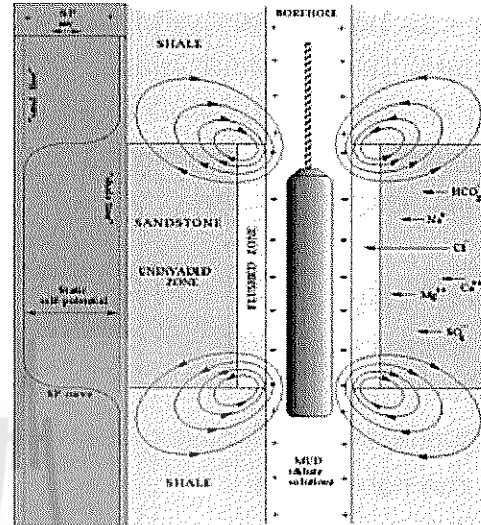


FIGURE 3.18 Basic arrangement for the S.P. log.



Ion flow is easier in permeable sandstones

การไหลเวียนของกระแสไฟฟ้า

การไหลเวียนของกระแสไฟฟ้ามีสาเหตุมาจากแรงกระตุ้นทางไฟฟ้า (electromotive forces, emf) ในชั้นหินที่ได้จาก

1. ความต่างศักย์ไฟฟ้าเคมี (Electrochemical potential, E_c) เกิดได้ใน 2 ลักษณะ คือ *liquid junction potential* (E_{lj}) และ *membraine potential* (E_m)

$$E_c = E_{lj} + E_m$$

2. ความต่างศักย์ไฟฟ้าเชิงกล (Electrokinetic potential, E_k) อาจเรียกว่า *streaming potential* (E_{mc}) หรือ *electrofiltration potential* (E_{sb})

$$E_k = E_{mc} + E_{sb}$$

$$E_{total} = E_c + E_k$$

Total Electrochemical potential, E_c

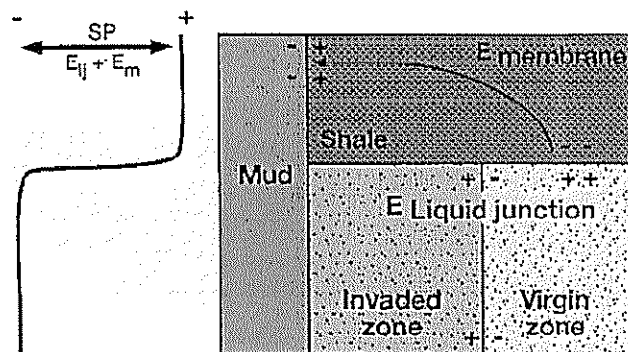
ค่าความต่างศักย์ไฟฟ้าเคมี (E_c) ซึ่งเป็นผลรวมของ liquid junction potential และ membraine potential เป็นไปตามสมการ

$$E_c = K_c \log \frac{R_{mf}}{R_w}$$

โดยที่

$$E_c = K_{lj} + K_m = 60 + 0.133T_{oF} = 65 + 0.24T_{oC}$$

เมื่อ T = อุณหภูมิ



Total SP Picture

Total potential

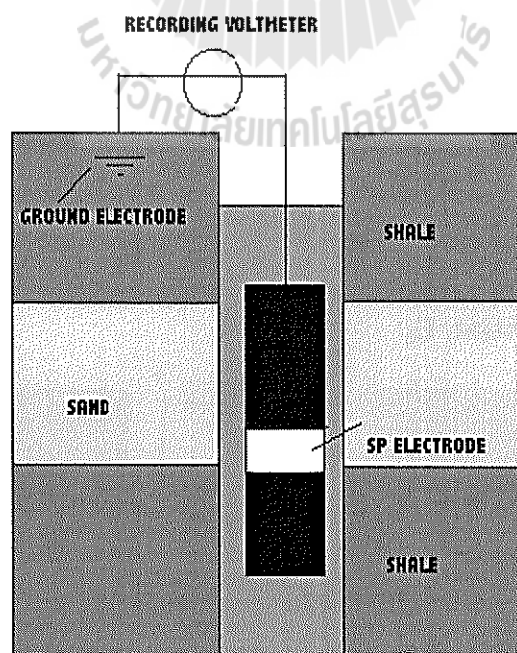
- ความต่างศักย์รวม (**Total potential**)

$$E_{\text{total}} = E_c + E_k$$

- ถ้าค่า $E_k < E_c$ ในบริเวณที่น้ำในชั้นหินมีค่าความเค็มสูง (ค่าความต้านทานไฟฟ้าน้อยกว่า 0.1 โอห์ม - เมตร) และความแตกต่างของความดันมีค่าไม่มาก (ประมาณ 200-300 psi หรือน้อยกว่า) สามารถที่จะไม่นำ ค่า E_k มารวมคำนวณได้
- ถ้าค่า E_k จะเริ่มมีผลกับค่าความต่างศักย์รวม เมื่อมีความผิดปกติของค่าความแตกต่างของความดัน หรือ K (permeability) ต่ำมาก

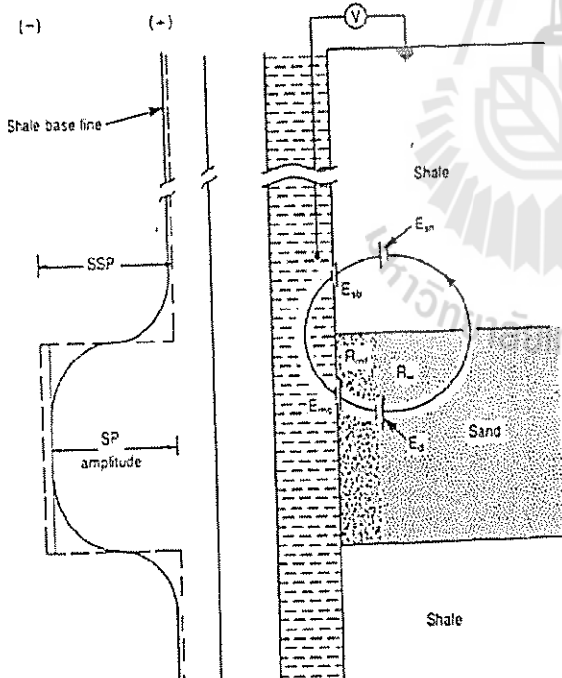
Condition for SP Log

- **SP log** measure **the difference of the natural electric potential** that occur in borehole
- Mud properties == Conductive mud: water base mud
- SP log can not work in
 - oil-base mud,
 - Air or foam drilling,
 - empty holes
 - cased holes
- The SP electrode is built into different logging tools for example:
 - Induction log, Laterolog, Sonic log. , Sidewall core gun etc.



SSP versus SP

SSP (Static Spontaneous potential)	SP (Spontaneous potential)
<ul style="list-style-type: none"> การวัดกระแสไฟฟ้าในน้ำโคลนเมื่อมีการไหลของกระแส เป็น สภาวะในอุดมคติ (idealized condition) การวัดค่าความต่างศักย์ไฟฟ้าสูงสุดเทียบกับความต่างศักย์ไฟฟ้าที่เกิดขึ้นในชั้นหินดินดาน ค่า SSP ในชั้นหินดินดาน = 0 เรียก ความต่างศักย์ไฟฟ้าในชั้น หินดินดานว่า Shale base line $SSP = - K_c \bullet \log \left[\frac{R_{mf eq}}{R_{we q}} \right]$	<ul style="list-style-type: none"> การวัดกระแสไฟฟ้าในน้ำโคลนเมื่อมีการไหลของกระแส ในสภาวะจริง ค่า SP ที่ peak มีค่าน้อยกว่า SSP เรียกว่า Pseudostatic potential (PSP) ขึ้นอยู่กับ <ul style="list-style-type: none"> ความหนาของชั้นหิน ค่าความต้านทานไฟฟ้าของ invaded และ virgin zones ความลึกของ invasion ปริมาณของแร่ดิน $SP = -(.133 T^{\circ}F + 61) \log \frac{R_{mf}}{R_{we}}$



$$SSP = - K_c \bullet \log \left[\frac{R_{mf eq}}{R_{we q}} \right]$$

$$SP = -(.133 T^{\circ}F + 61) \log \frac{R_{mf}}{R_{we}}$$

SSP : potential in mud when SP currents are prevented from flowing (idealized condition)

SP: potential in mud when SP currents are flowing

Static SP (SSP)

ในสถานะโดยทั่วไป ผลรวมของความต่างศักย์ที่ เรียกว่า **Static SP (SSP)** สามารถคำนวณจากสมการ

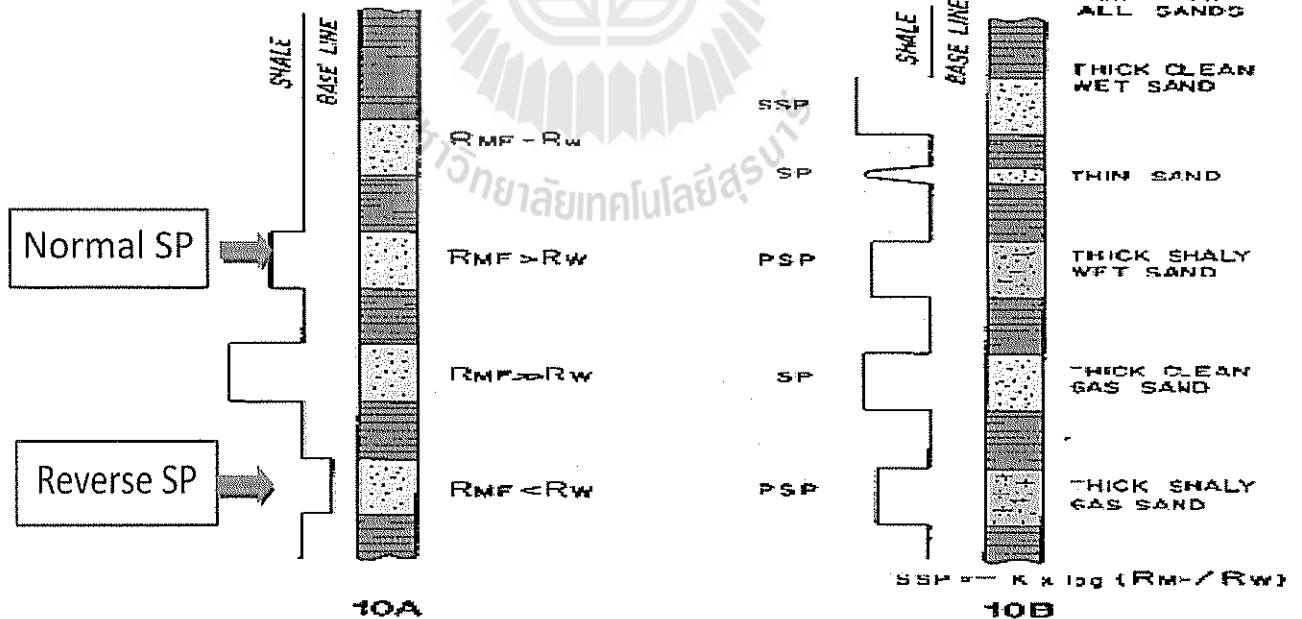
$$SSP = -K_c \cdot \log \left[\frac{R_{mf\text{eq}}}{R_{w\text{eq}}} \right]$$

$$K_c = 65 + .24 \cdot T(^{\circ}\text{C})$$

$$K_c = 61 + .133 \cdot T(^{\circ}\text{F})$$

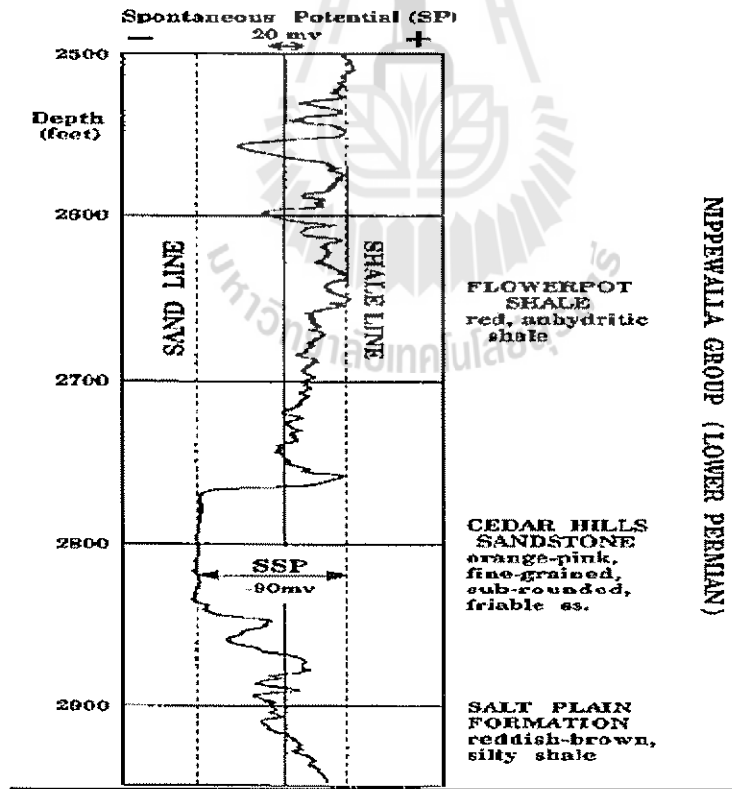
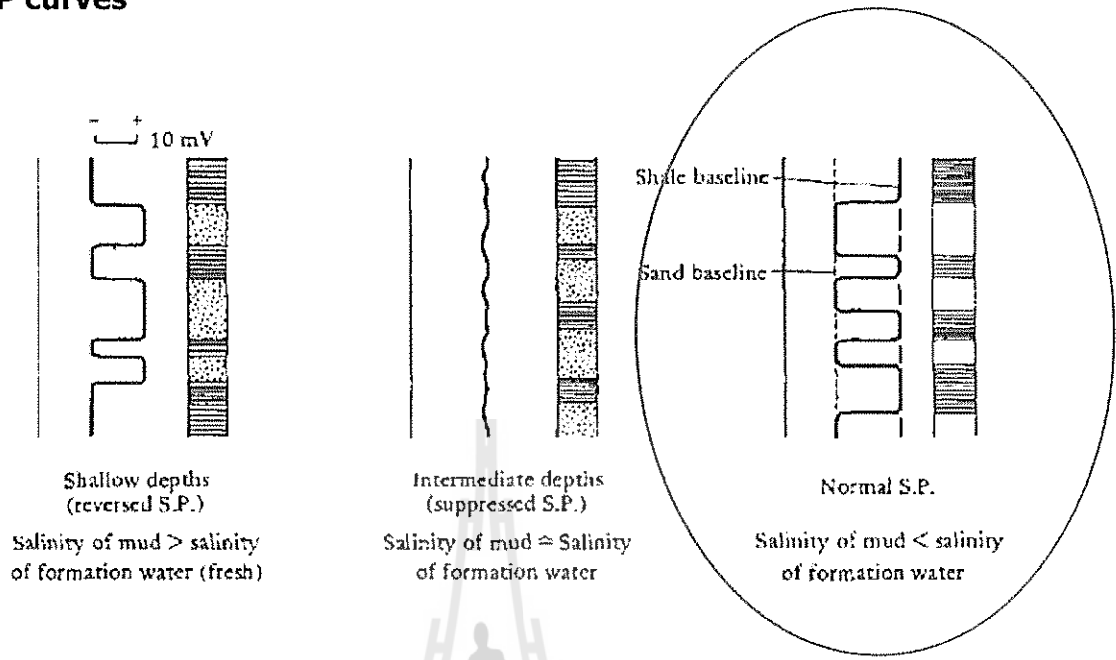
SSP	is Static SP (mv) measured from a shale baseline,
R_{mfeq}	is equivalent resistivity (activity) of mud filtrate at formation temperature,
R_w	is equivalent resistivity (activity) of formation water,

Shape of SP curves



$R_{mf} > R_w$:SP deflects to the left (- SP)
 $R_{mf} < R_w$:SP deflects to the right (+ SP)

Shape of SP curves

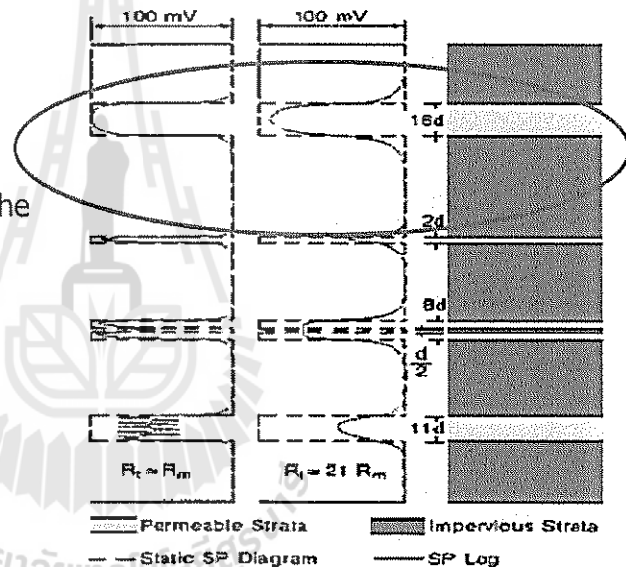


Factors influencing the SP curve

ลักษณะกราฟของ SP และค่าผิดปกติที่เกิดขึ้น ขึ้นอยู่กับหลายปัจจัย การนำเอาค่า SP ไปใช้จึงต้องมีความระมัดระวังปัจจัยต่างๆได้แก่

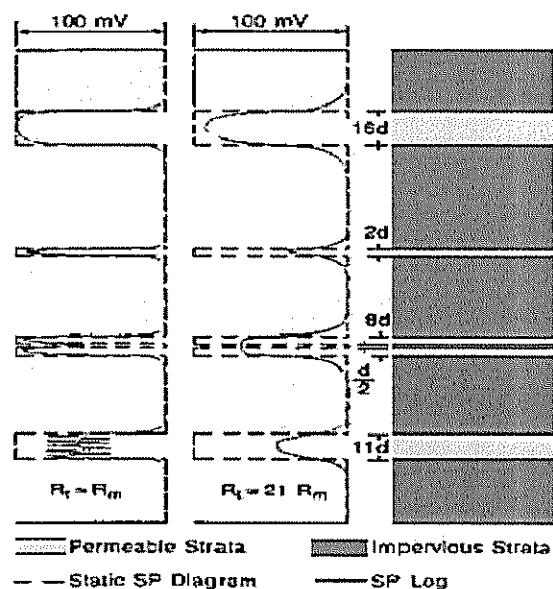
1. ความหนาของชั้นหินขีมน้ำใต้:
 2. ความต้านทานไฟฟ้าของชั้นหินขีมน้ำใต้ และความต้านทานไฟฟ้าของ mud filtrate: SP R_t/R_m (in virgin zone)
SP \uparrow , $R_{xo}/R_m \uparrow$ (in invaded zone)
 3. ความลึกของชั้น invasion: SP \downarrow , Depth \uparrow
 4. เส้นผ่าศูนย์กลางของหลุมเจาะ: SP \downarrow , diameter \uparrow
 5. ความต้านทานไฟฟ้าของชั้นหินดินดาน: SP \downarrow , Rsh \uparrow
 6. สารประกอบไฮโดรคาร์บอน: SP \downarrow @ HC zone
- ความหนาของชั้นหินขีมน้ำใต้

- SP \uparrow , voltage in mud \downarrow
- SP=SSP: $R_t \ll R_m$ when thick formation
- In thin formation can not occurs the completed current
- Thus SP \downarrow Formation thickness \downarrow



ความต้านทานไฟฟ้าของชั้นหินขีมน้ำใต้และ ความต้านทานไฟฟ้าของ mud filtrate

- In virgin zone: $R_t/R_m \uparrow$, SP \downarrow
(cause can not indentified the boundary)
- SP \downarrow at HC zone
- SP in shale \uparrow , $R_{sh}/R_m \uparrow$
- In Invaded zone: SP \uparrow , $R_{xo}/R_m \uparrow$

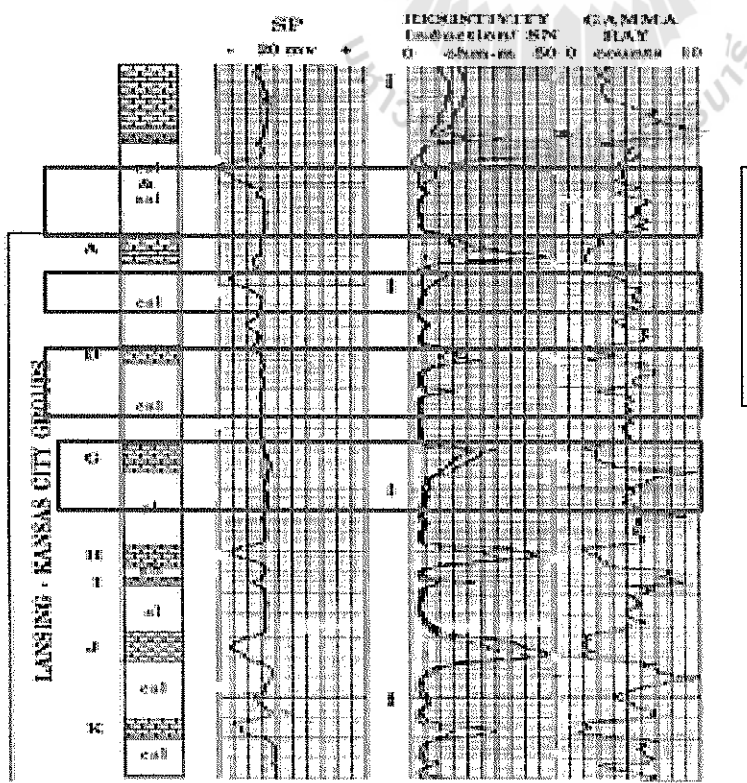
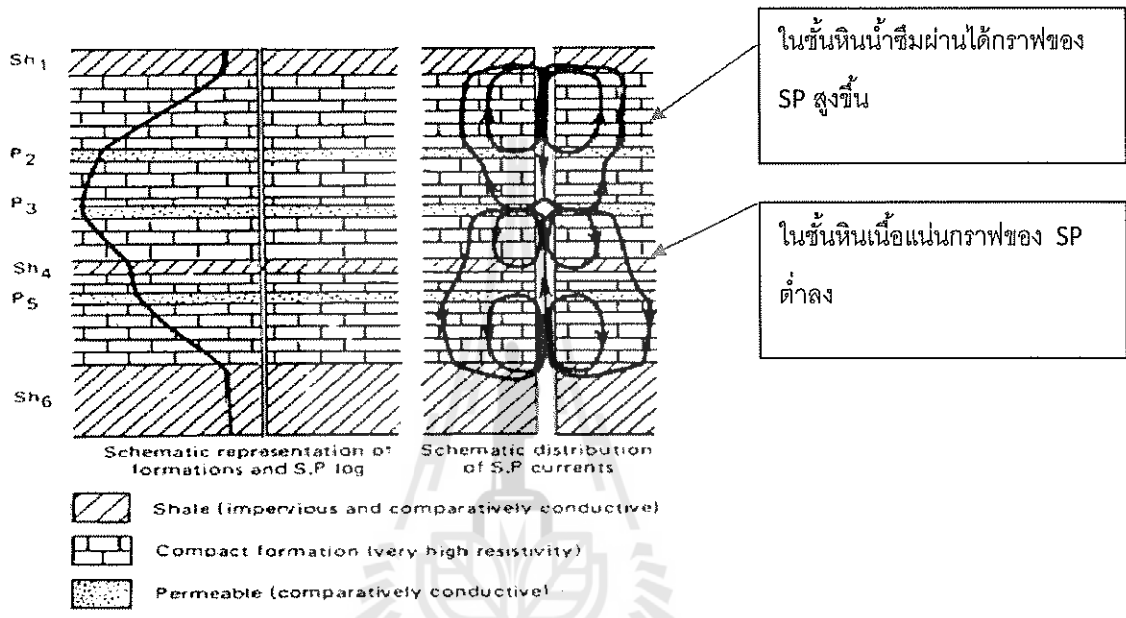


$R_t=R_m=R_s$; SP curve clear & SP =SSP

: $R_t=R_s= 21 R_m$; SP curve not clear & SP < SSP

Irregular anomaly of SP curves

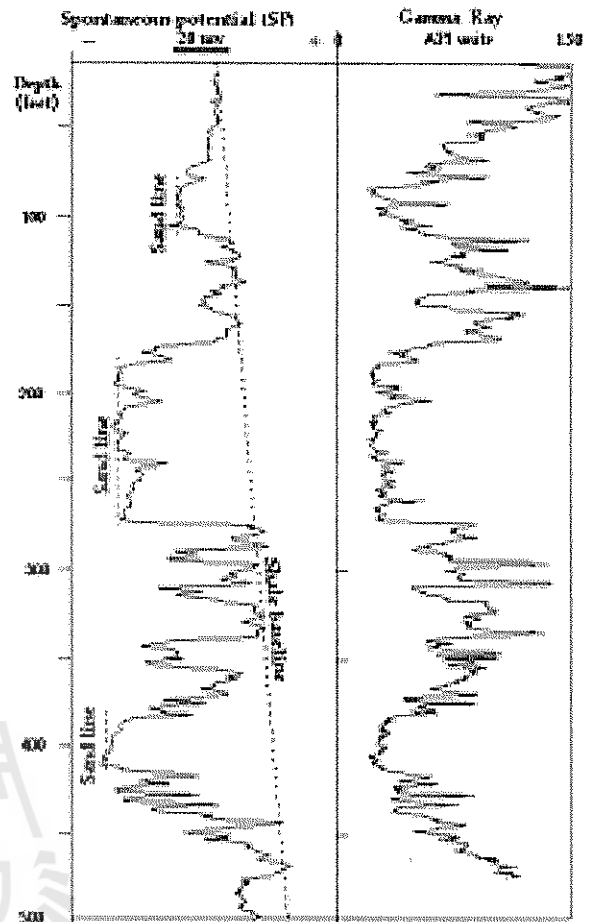
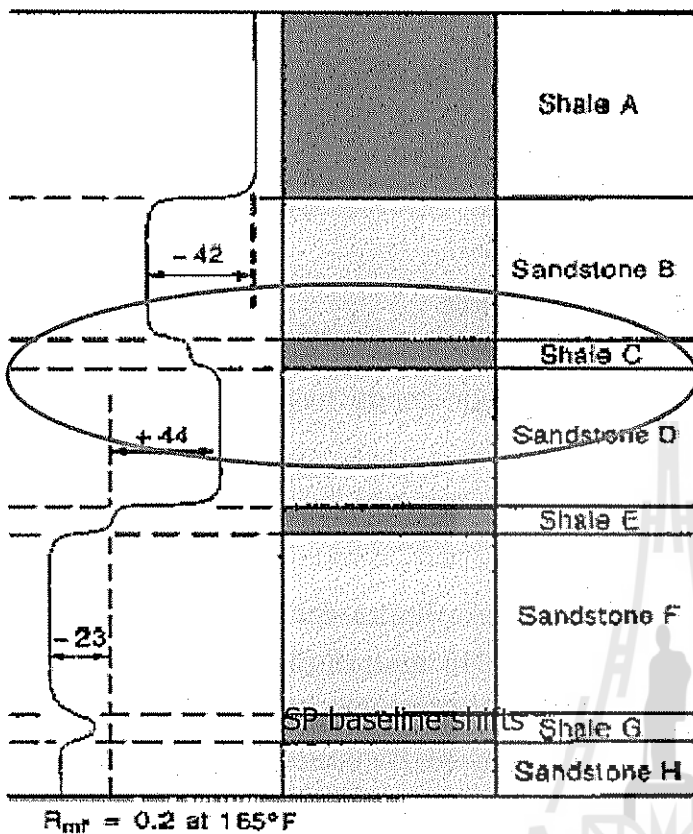
1. Highly resistivity formations or tight formation



- SP log has Poor Limestone Response
- GR and Resistivity logs can be detect

Key: sal = saltstone; cal = calcarenaceous saltstone; sil = sandy saltstone; sh = shale

2. Shale baseline shifts



ปัญหาและข้อจำกัดของ SP log

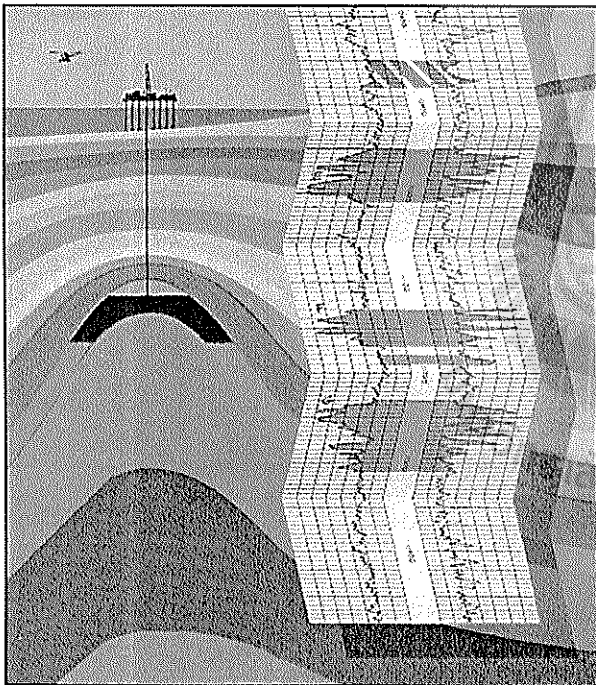
ปัญหาต่างๆที่พบได้ในการประยุกต์ใช้ กราฟของ SP ในการศึกษาสภาพแวดล้อมของการเกิด เช่น

1. ถ้ามีการเปลี่ยนแปลงค่าความเค็มของน้ำในชั้นหินทราย จนกระทั่งทำให้เกิดลักษณะที่ชั้นหินทรายที่มีน้ำไม่เค็ม แสดงลักษณะเหมือนชั้นหินดินดาน
2. การใช้น้ำโคลนที่แตกต่างกันในการเจาะหลุมหนึ่งๆ จะมีผลให้เกิดการเปลี่ยนแปลงกราฟของ SP โดยเฉพาะเมื่อ mud filtrate และ น้ำในชั้นหิน มีค่าความต้านทานไฟฟ้า เท่ากัน ทำให้แปลผลว่าเป็นชั้นหินดินดาน
3. ในบางกรณีอุณหภูมิมีผลต่อกราฟของ SP
4. หินทรายที่มีก๊าซหรือน้ำมัน ค่า SP จะลดลง
5. การใช้กราฟของ SP ร่วมกับกราฟของความต้านทานไฟฟ้า จะเหมาะสมเฉพาะกับบริเวณที่เป็นชั้นหินทราย - หินดินดาน เนื้อแน่น แต่จะใช้ไม่ได้ ผลดีกับบริเวณที่ชั้นหินเนื้อไม่แน่นที่ มีค่าความพรุนมากและมีความเค็มของน้ำในชั้นหินสูง
6. SP log ไม่สามารถทำในหลุมเจาะที่แห้ง (ไม่มีน้ำโคลน) หรือหลุมที่ใช้ Oil base mud หรือหลุมที่ลง Casing แล้ว

2. Gamma Ray Log

- Lithology log
- Measures natural radioactivity
- Uses a scintilometer (Gaiger counter)
- Potassium (K), Uranium, Thorium, Phosphorous
- K → abundant in clay → shales
- Unaffected by fluids
- Gamma ray log can work both open hole and cased hole
- GR log can be use for replacement SP log
- GR logs can work in salt mud, air or oil-based mud (non-conductivity mud)

Objective of gamma ray log



1. หาความสัมพันธ์ของชั้นหิน (correlation)
2. ประเมินปริมาณของชั้นหินดินดานในชั้นหิน
3. วิเคราะห์ชนิดของแร่
4. บอกชนิดและปริมาณของธาตุที่ปลดปล่อย
5. รั้งสีแกมมาที่มีอยู่ในชั้นหินดินดาน

Principles of Gamma rays

- **Three naturally radioactive isotopes abundant in nature:**
 - **Uranium series (U-235, U-238)** – fixed by fine-grained organic material
 - **Thorium series (Th-232)** – absorbed by clay minerals
 - **Potassium-40 (K-40)** – part of clay mineral composition (particularly illite)

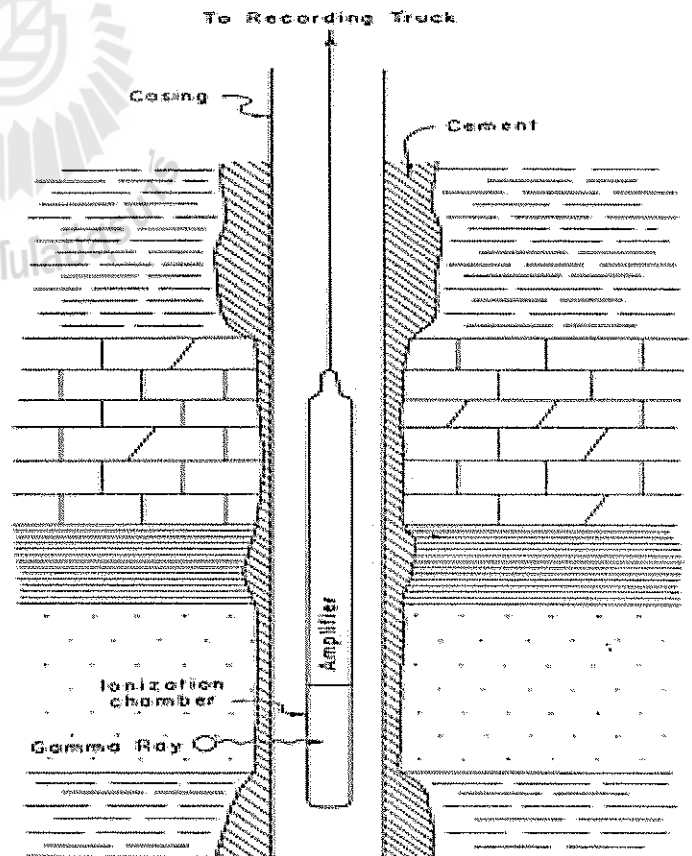
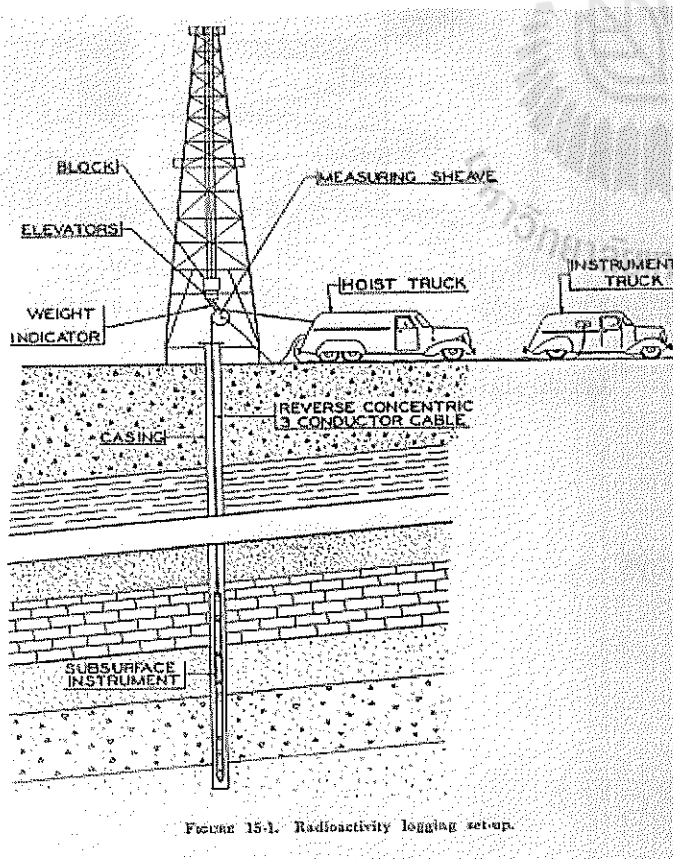
Where are these radioactive element found?

- In zones containing potassium feldspars (i.e. granites, feldspathic sands)
- Volcanic and igneous rocks
- Sands containing volcanic ash
- Clays
 - Shales tend to be more radioactive than “clean” sandstones, limestones
 - Exceptions: feldspathic sandstone (k-spar), uranium mineralization in carbonates, etc.

Gamma ray tool

- Scintillation detector (originally Geiger counters): present use **sodium iodide crystal**
- Measured in American Petroleum Institute (API) units
 - Arbitrary scale
 - Calibration in API test pit at U. of Houston – 200 API = 2x average “midcontinent shale”

Gamma ray tool



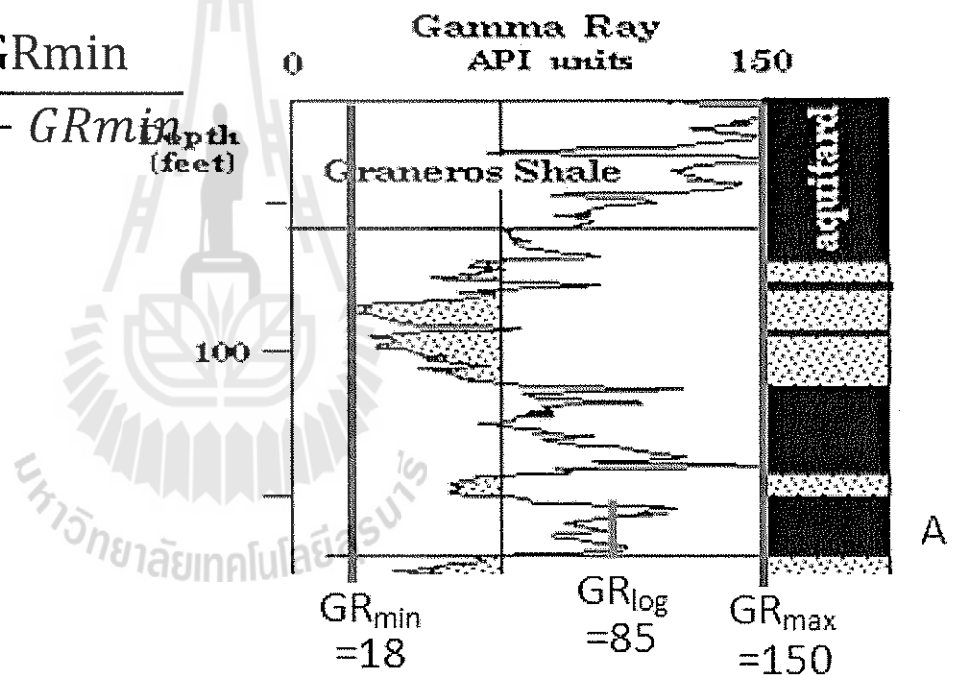
Gamma ray Application

1. Broad-scale lithology: "clean" versus shaly units
2. Quantification of shale content
3. Stratigraphic correlation
4. Depositional environment identification
5. Quantification of radioactive element content

Estimating shale content

- เนื่องจากธาตุกัมมันตรังสีมักมีความสัมพันธ์กับแร่ดินซึ่งเป็นส่วนประกอบหลักของชั้นหินดินดาน ดังนั้นจึงสามารถใช้รังสีแกมมาที่วัดได้มาประเมินปริมาณของ shale-volume indicator

$$V_{shale} = \frac{GR - GR_{min}}{GR_{max} - GR_{min}}$$



$$V_{shale} = (85 - 18) / (150 - 18) = 51\%$$

Spectral Gamma Ray (SGR)

Differentiates the different sources of gamma rays

: Type and quantity of radioactive element

HNGS (NPLT string) versus N3T (Induction-Sonic string) Mode 1.006A

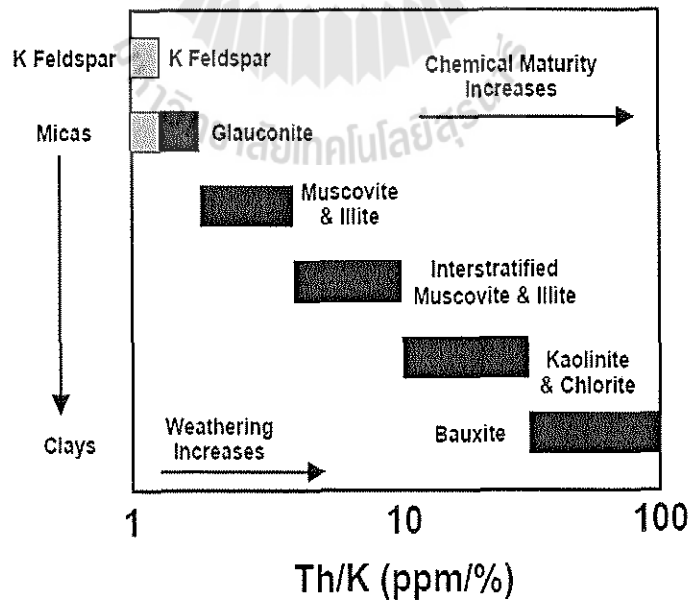
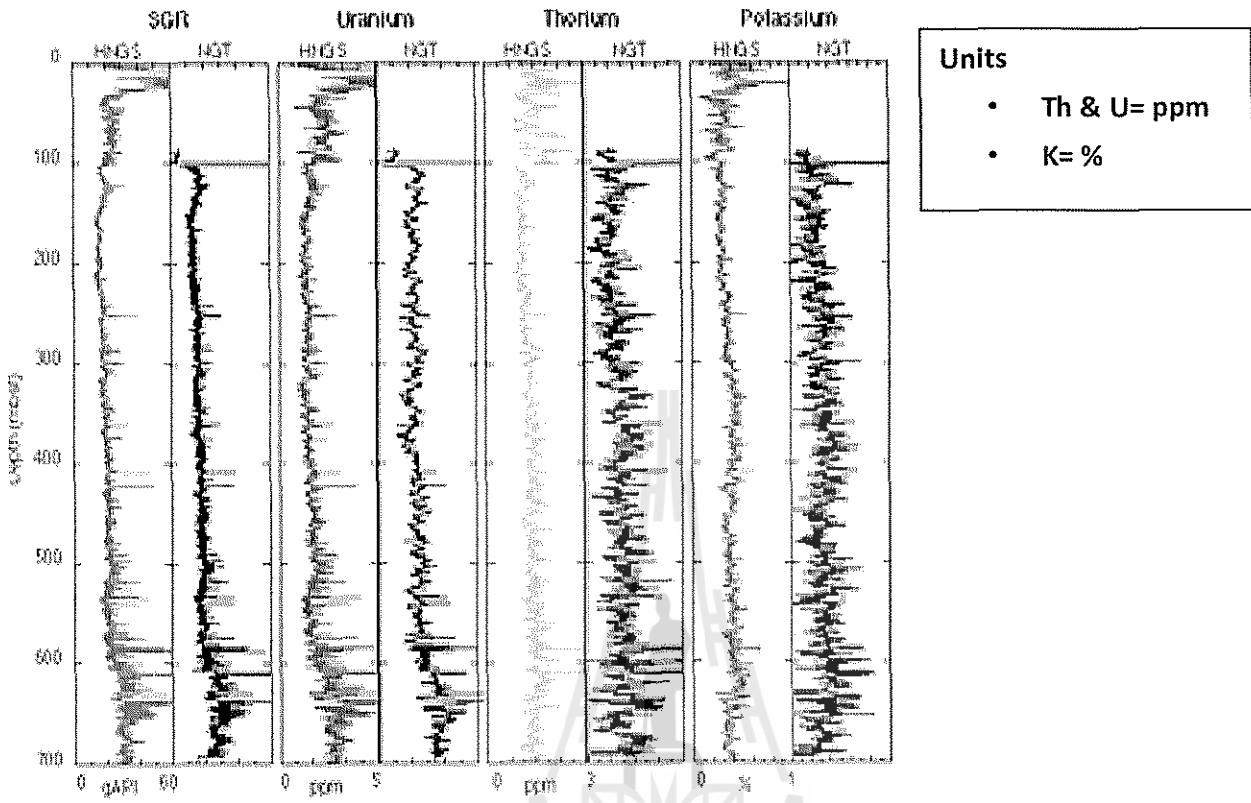


Figure 12.5 Thorium/potassium ratio plot for mineral identification using spectral gamma ray

Table 12.3 Sedimentological inferences from spectral gamma ray data.

SGR Observation	Sedimentological Inference
Presence of glauconite	Marine, mainly continental shelf origin.
Phosphatic deposits	Marine, mainly continental shelf origin, with warm water in a reducing environment.
Uranium	Low energy, reducing conditions
Clay type	Analysis of depositional environment.
Bauxite	Warm, humid, continental environment with good drainage.
Feldspars	Indicator of the degree of evolution of sand facies, only found in abundance close to the igneous source.

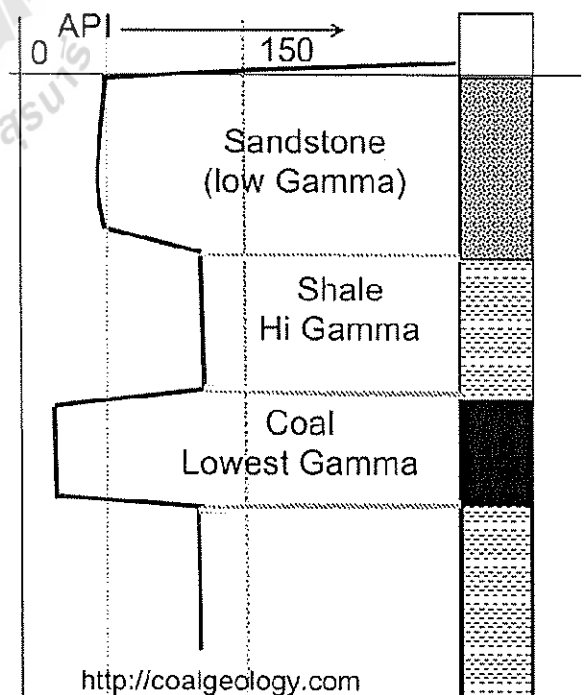
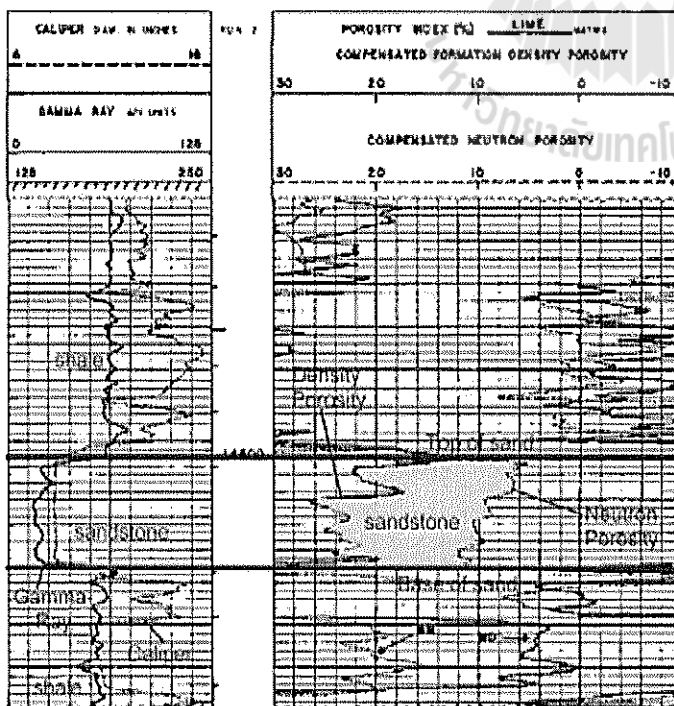
Table 12.1 Interpretation of spectral gamma ray data in carbonates.

K	Th	U	Explanation
Low	Low	Low	Pure carbonate, no organic matter or oxidizing environment.
Low	Low	High	Pure carbonate, organic matter, reducing environment.
Low	High	Low	Not a carbonate, or shaly carbonate with rarer low K high Th clay minerals, no organic matter or oxidizing environment.
Low	High	High	Not a carbonate or shaly carbonate with rarer low K high Th clay minerals, organic matter, reducing environment.
High	Low	Low	Glauconite carbonate, no organic matter or oxidizing environment. Also consider K-bearing evaporites.
High	Low	High	Algal carbonate, or glauconite present, organic matter, reducing environment.
High	High	Low	Shaly carbonate, no organic matter or oxidizing environment.
High	High	High	Shaly carbonate, organic matter, reducing environment.

Note: Stylolites can locally concentrate U, clays and organic matter.

CHARACTERISTICS OF GAMMA RAY

1. เป็นการวัดรังสีแกมมา Gamma ray ที่มีอยู่ในหินตามธรรมชาติ ไม่มีการวัดคุณสมบัติทางกระแสไฟฟ้าใด ๆ เลย
2. ลักษณะของ GR curve ที่ปรากฏคล้ายกับ SP curve ซึ่งเป็นจริงในหินทรายและหินดินดาน แต่ใช้ไม่ได้เสมอไปในหินปูน
3. ชั้นหินแต่ละชนิดจะมีคุณลักษณะของ Curve เฉพาะหิน
4. สามารถใช้เฉพาะ GR curve อย่างเดียวแปลความหมายของชั้นหินในหลุมเจาะได้
5. สามารถใช้ GR curve ตรวจสอบความถูกต้อง (Shale) ของชั้นหิน และเปรียบเทียบกับข้อมูลอื่น ๆ ได้ เช่น SP Curve
6. หินดินดาน (Shale) ปกติจะให้ค่า GR สูง
7. ช่วงกลางของ Slope ของ GR curve จะเป็นตัวบอกระยะ Top และ bottom ของชั้นหิน
8. GR curve จะไม่มีค่าศูนย์และ base line ทุกค่าที่อ่านได้เป็นบวก (+)
9. GR curve คือการตรวจวัดกัมมันตรังสีที่มีหรือไม่มีในชั้นหินโดยตรง
10. GR curve ไม่ขึ้นกับขนาดของหลุมเจาะ หรือแม้แต่ว่าจะมีการขยายหลุมเจาะ (Enlarged bore well)
11. GR curve จะไม่มีผลกระทบต่อจำนวนท่อกรุดที่ติดตั้งไว้แล้วในบ่อบาดาล
12. GR curve จะไม่มีผลกระทบกับ Formation fluid และ Bore hole fluid
13. GR curve จะไม่บอกคุณสมบัติของชนิด Formation fluid ใด ๆ เพราะค่า Gamma ไม่ได้ขึ้นอยู่กับสารละลายใด ๆ ทั้งที่อยู่ในหลุมเจาะและในชั้นหินนั้น ๆ
14. GR curve ไม่ใช่ตัวบอก Porosity และ Permeability เพราะเป็นการวัดค่ากัมมันตรังสีของชั้นหิน ไม่สามารถนำมาใช้ได้กับการตรวจวัด Porosity และ Permeability



Log Shape – Depositional Environments

- Gamma ray and SP curves sensitive to "shaliness"
- Different types of depositional environments produce stratigraphic columns that show characteristic changes in lithology/shaliness
- Use vertical GR or SP profiles to identify depositional environment

Log Shape – Depositional Environments

- Caution: Similar curve shapes may be produced in a variety of depositional environments
E.g., "cylindrical" – braided fluvial channels, submarine channels, sharp-based shorefaces, carbonate shelves, etc.
- Use in conjunction with other lines of evidence (core, lateral correlations, seismic data, etc.)

Recognition of sandstone depositional environments

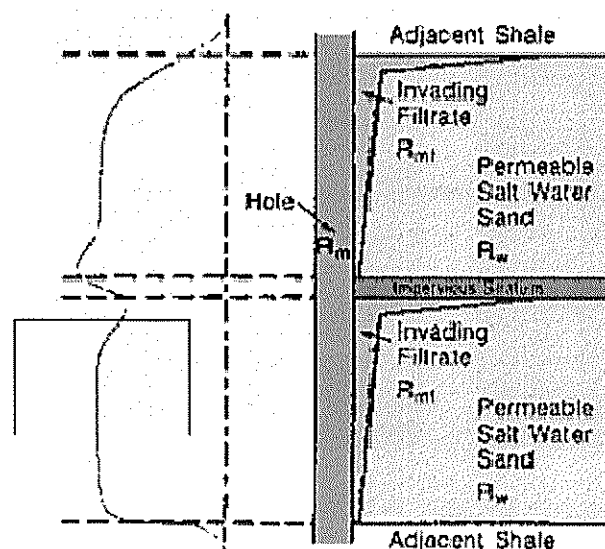
กราฟของ SP ที่วัดจากชั้นหินทรายจะให้ลักษณะที่สามารถบ่งบอกถึง

- Boundary: แสดงลักษณะการเปลี่ยนแปลงค่าความต่างศักย์ไฟฟ้าอย่างชัดเจนด้วยการแทรกสลับของชั้น หินดินดาน ชั้นหินดินดานปนทราย
- Interbedded: ลักษณะการแทรกสลับของชั้นหิน และ Grain distribution: การกระจายตัวของขนาดของเม็ดตะกอน

ในชั้นหินทราย (Sandstone)

- ลักษณะของกราฟแบบฟันปลา (serrated) เนื่องจากค่า SP ได้รับผลกระทบอย่างมากจากการเปลี่ยนแปลงปริมาณหินดินดานในชั้นหิน ทำให้ การบอกลักษณะการกระจายตัวของเม็ดตะกอนทำได้ยากขึ้น
- กราฟของ SP ที่วัดจากบริเวณที่เป็นหินทราย อาจสามารถแปลความหมายในลักษณะของการลดขนาดของตะกอนขึ้นด้านบน (Fining upward) หรือ การเพิ่มขนาดขึ้นด้านบน (Coarsening upward)

- Sandstone with thin shale interbedded result the saw-tooth pattern (ลักษณะฟันเลื่อย)
- Upper = abnormal of SP > SSP



- Under= abnormal of $SP < SSP$
- This abnormal result from mud filtrate deposit under shale bed

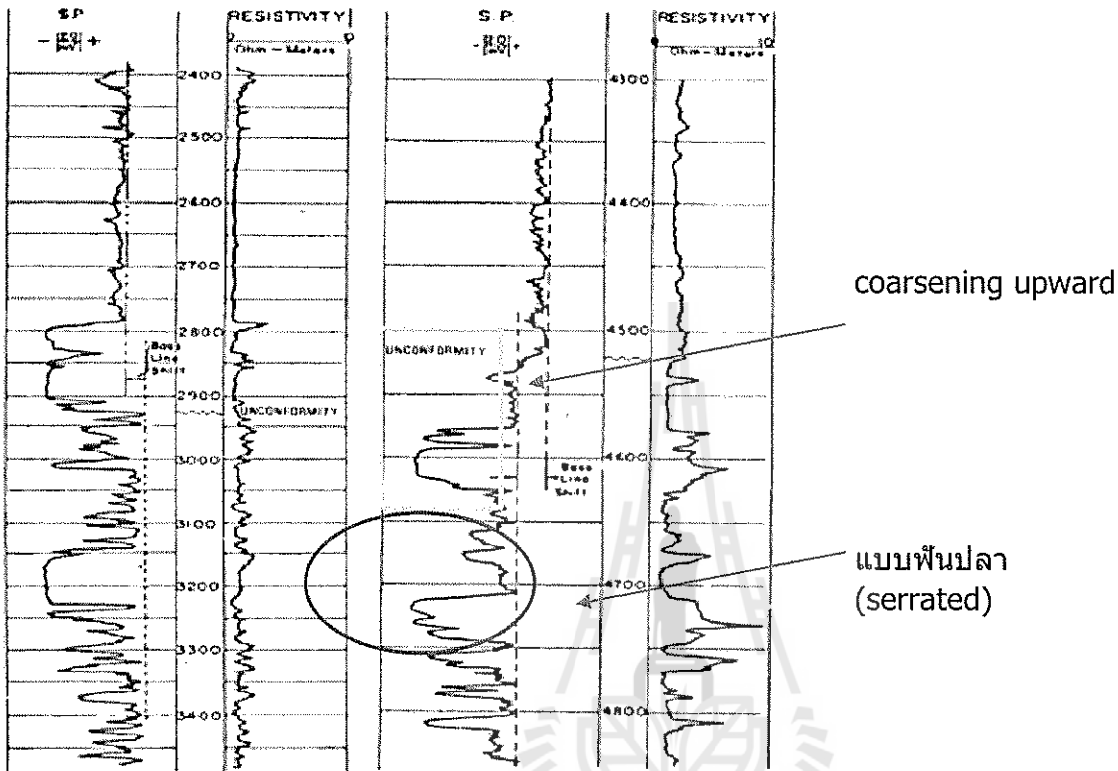


Fig. 4-21. Field examples of SP base line shift and unconformity (from Doll, 1948).

Shape of SP graph

รูปร่างพื้นฐาน 4 แบบของกราฟของ SP ที่วัดได้จากชั้นหินทราย ได้แก่

1. รูประฆัง (Bell)
2. รูปทรงกระบอก (Cylinder)
3. รูปกรวย (Funnel)
4. รูปไข่ (Egg)
 - รูปฟันปลา (Serrated)
 - รูปทรงเรียบ (Smooth)
 - ทำให้สามารถแปลความหมายถึง รูปร่างภายนอก ลักษณะเนื้อหิน และสภาพแวดล้อมการเกิด
 - การใช้เพียงกราฟของ SP ในการแปลความหมายอาจมีความผิดพลาดได้ง่ายจึงควรที่จะใช้ประกอบกับข้อมูลอื่นๆ เช่น หินโผล่ แท่งหินจากหลุมเจาะ เป็นต้น

Shape of SP graph

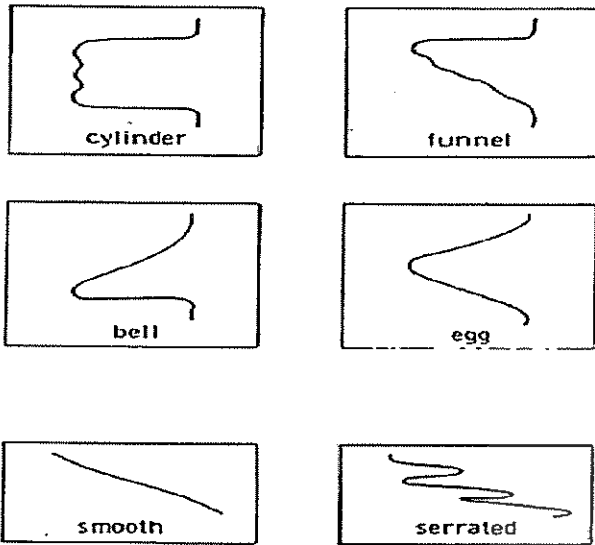


FIGURE 4. Basic descriptive shapes of SP profiles.

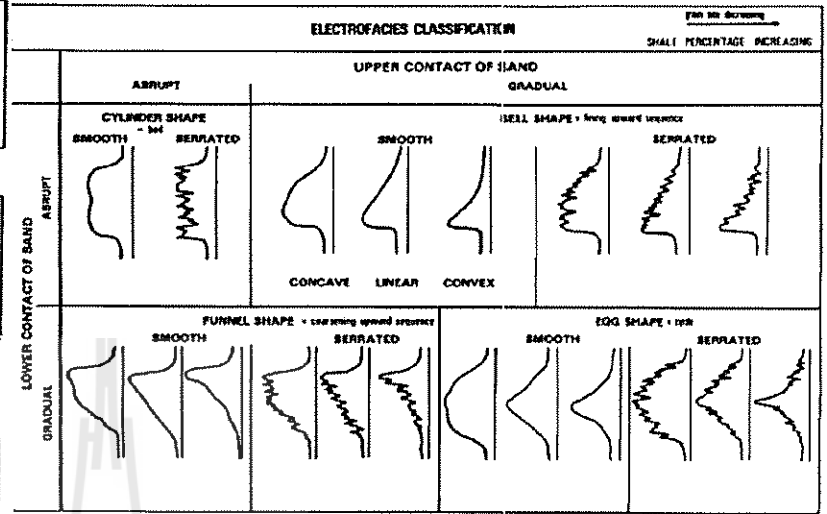


Fig. 5-1. - Classification of electrofacies by shapes of log responses.

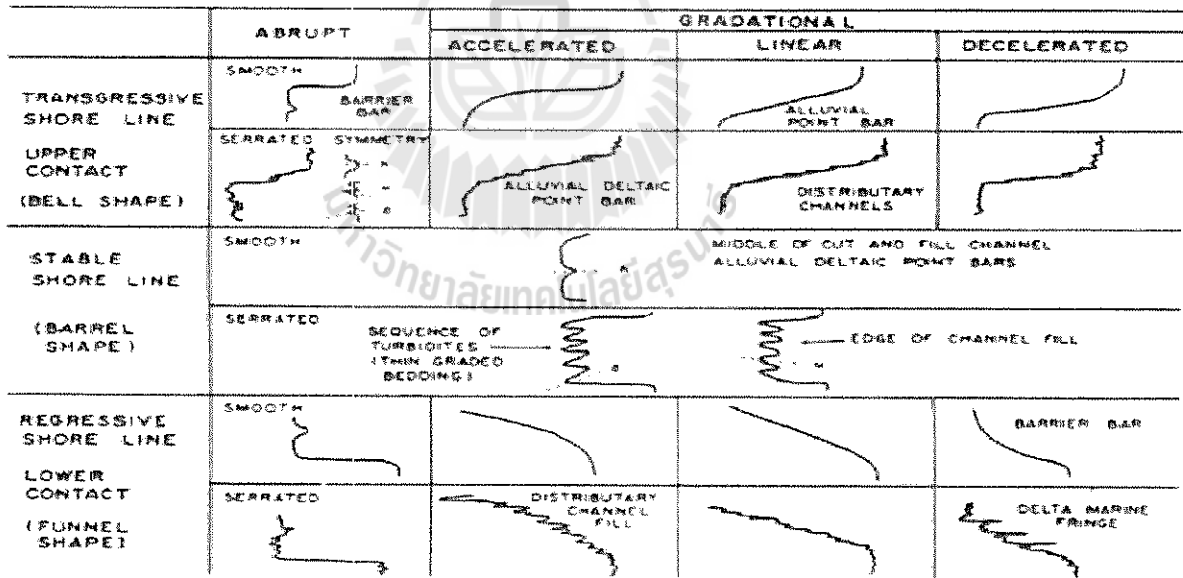
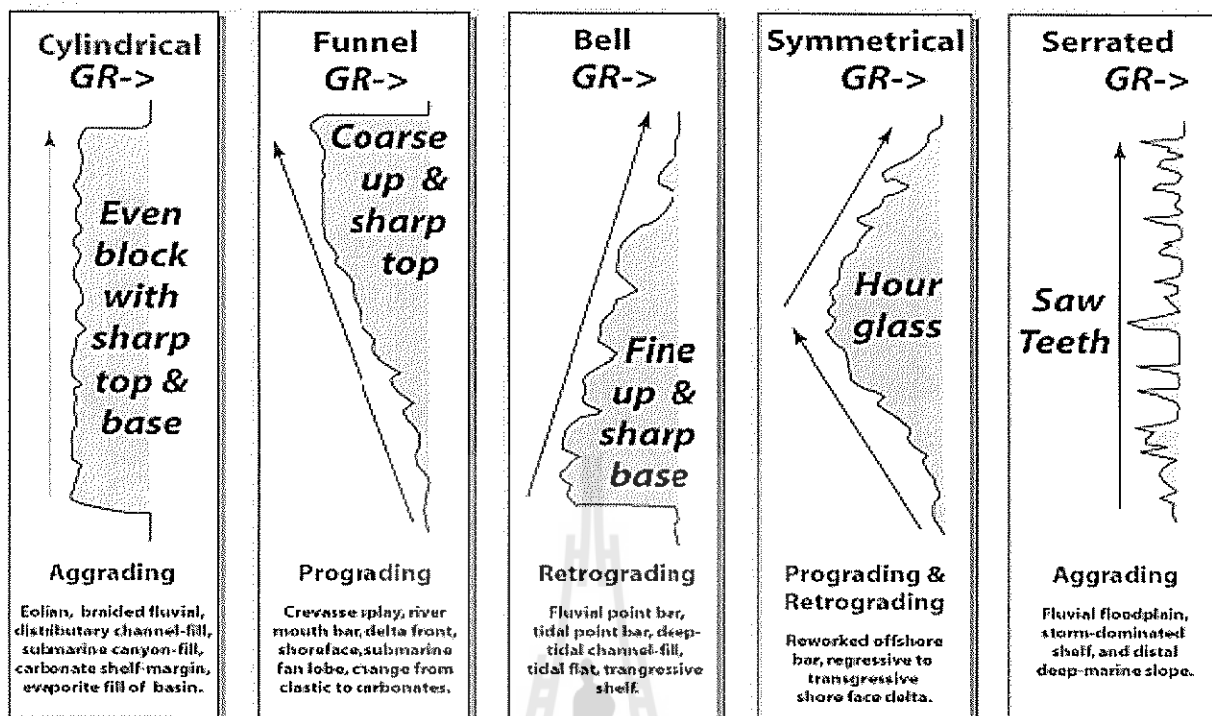


Fig. 5-2. - Classification of SP curve shapes in terms of sedimentary patterns (courtesy of Pirson, 1970, and Gulf Publishing Co., fig. 2-1).

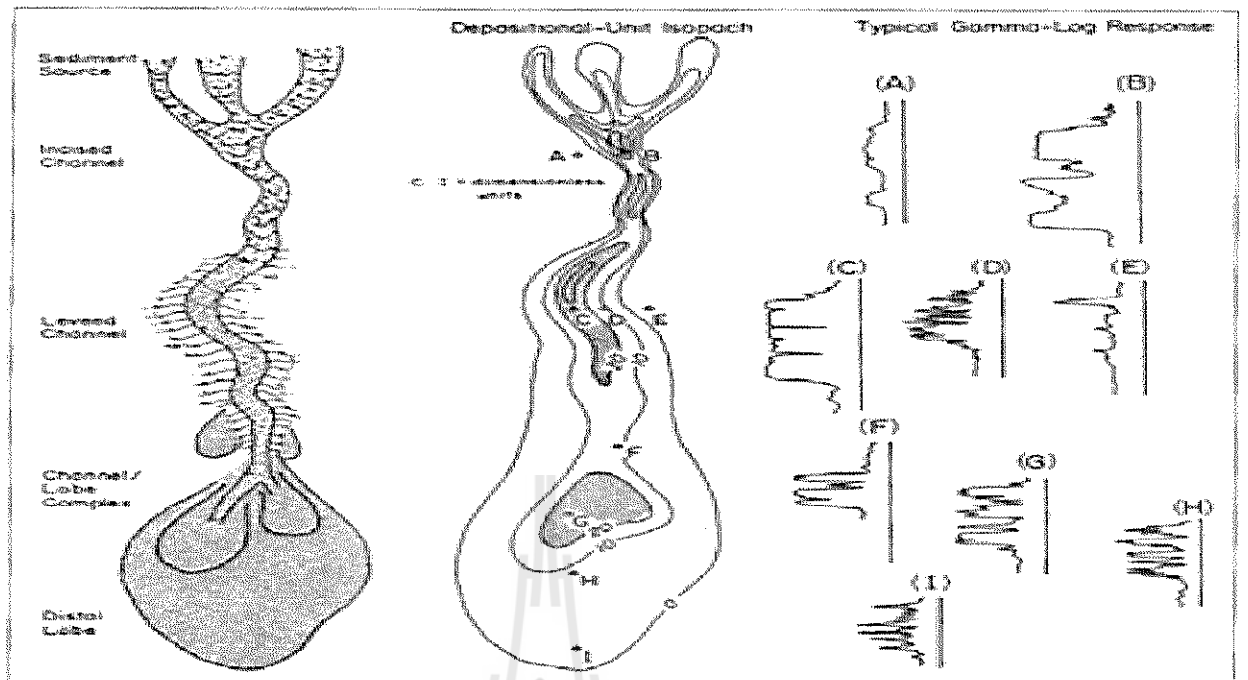
General Gamma Ray Response to Variations in Grain Size



-C.G.S.L.C. Kent (03) modified from Emery, 1996

Gamma-Ray Log Responses of Some Glacigenic Materials in Northeast Indiana

Gamma Log (counts/second)	Material	Log Response	Origin
	Silty clay Silty clay loam Loam Sandy loam	Moderate to high deflection Moderate to low variation Uniform response	Basal till
	Sand and gravel Clean, rich in quartz and carbonate rocks	Low to moderate deflection Low variation Uniform response; commonly shows fining or coarsening upward sequences	Outwash aprons, Channel fills, Delta and midfan depositional lobes
	Loam, sandy loam loamy gravel silty-clay loam	Moderate to high deflection Moderate to high variation Wide range of sequences	Proximal-ice debris flows, Proximal, midfan and dead-ice channel fills
	Fine sand, silt and clay	Moderate to high deflection Low variation Repetitive fining upward micro-sequences	Lacustrine rhythmites and ice-contact deltas



GR and SP curve shape vs. Environment

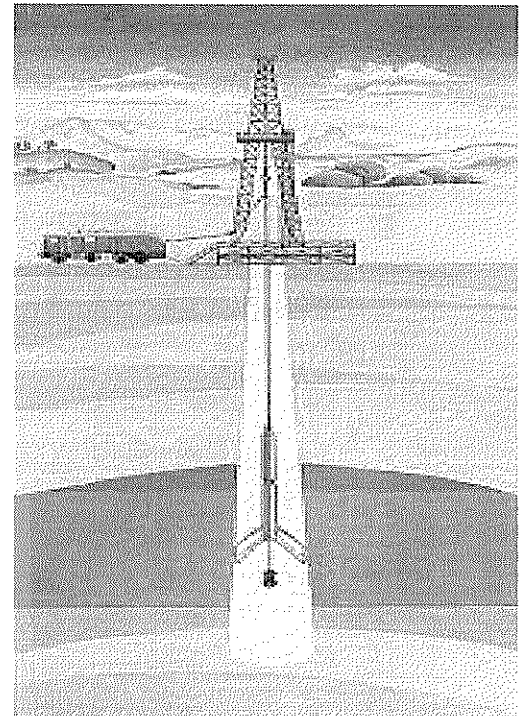
- Depositional environment: Use GR and SP vs. resistivity curve
- Resistivity curve is opposite from SP curve
- Resistivity log can identify **coal** and **dense limestone** but SP can not identify

- **GR & SP curve:**
 - Bell or cylinder pattern in Closed bay
 - Funnel pattern in Barrier island and marine bars
 - SP curve show close to shale base line in Pro-delta
 - Serrated pattern in Regressive sands in delta front

3. Resistivity Logs

Wireline logging

- Several tools are run on each logging trip into the hole.
- **First run** will usually be a "**resistivity run**" using a combined tool "string" (several tools attached together) consisting of a gamma-ray tool, a caliper tool, and three different types of resistivity tools.
- The log generated from this run is called a "Gamma-Ray & Resistivity Log".



Resistivity Log

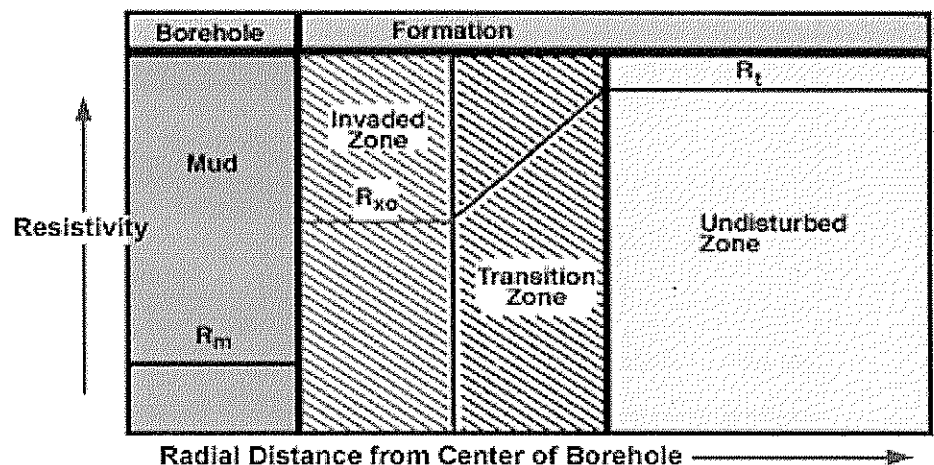
- Resistivity measures the electric properties of the formation,
- Resistivity is measured as, R (Ohm-m unit)
- Resistivity is the inverse of conductivity,

Related to:

- Fluid content (hydrocarbons/water)
- Porosity
- Mineralogy
- Temperature
- Measured in several ways

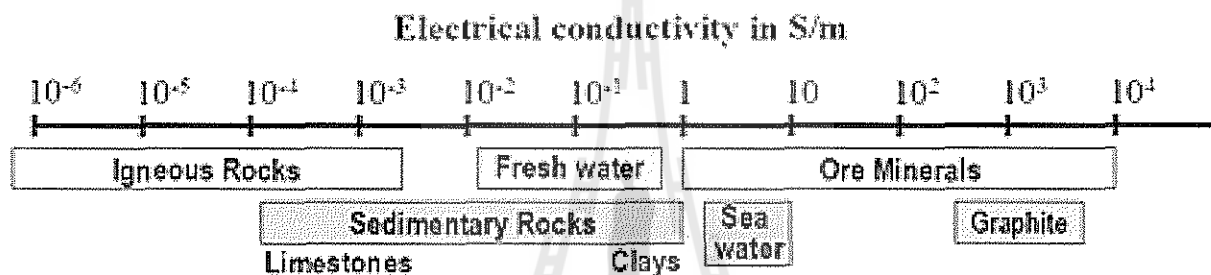
Resistivity Log in borehole

R_m is mud resistivity
 R_{xo} is shallow resistivity
 R_i is medium resistivity
 R_t is virgin resistivity

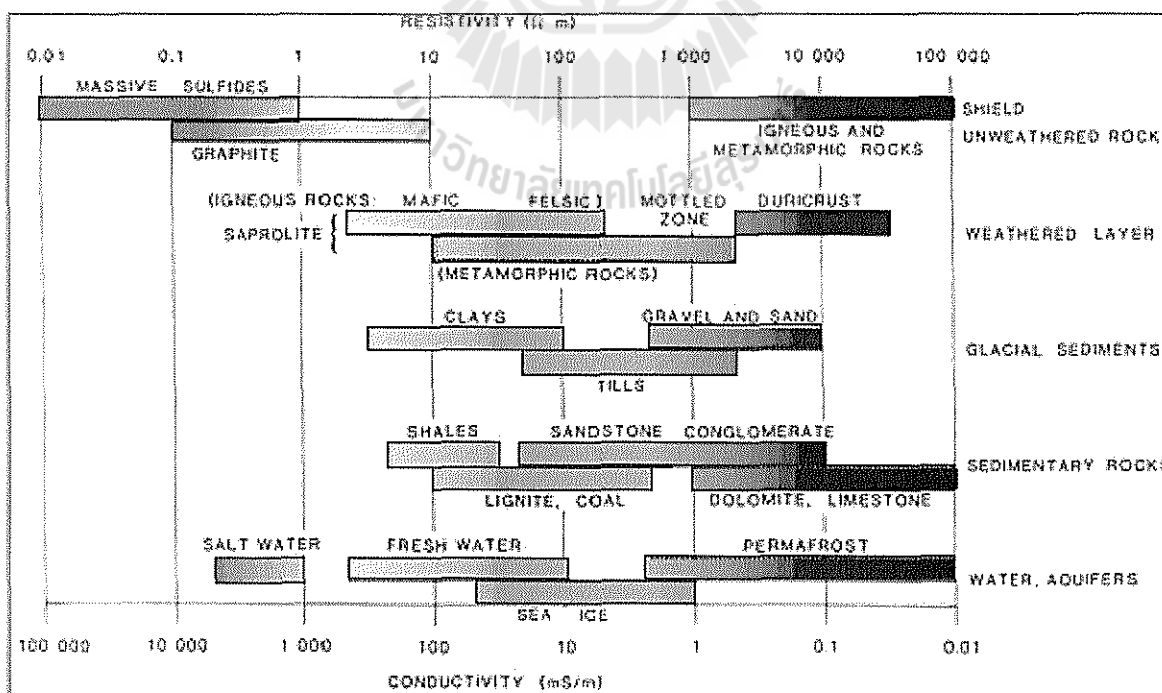


Resistivity and Conductivity

- ความต้านทานไฟฟ้า (**resistivity**) ของวัตถุใดๆ เป็นการวัดค่าการต่อต้านการไหลของกระแสไฟฟ้าที่ไหลผ่านวัตถุนั้นๆ มีหน่วยเป็น ohm.m
 - Water: low resistivity
 - Oil and gas: high resistivity
- การนำไฟฟ้า (**conductivity**) ของวัตถุใดๆ เป็นการวัดความสามารถในการยอมให้กระแสไฟฟ้าผ่านวัตถุนั้นๆ หรือ ความสามารถในการนำไฟฟ้าซึ่งเป็นส่วนกลับกับความต้านทานไฟฟ้า มีหน่วยเป็น (s/m)
 - Water: high conductivity
 - Oil and gas: low conductivity



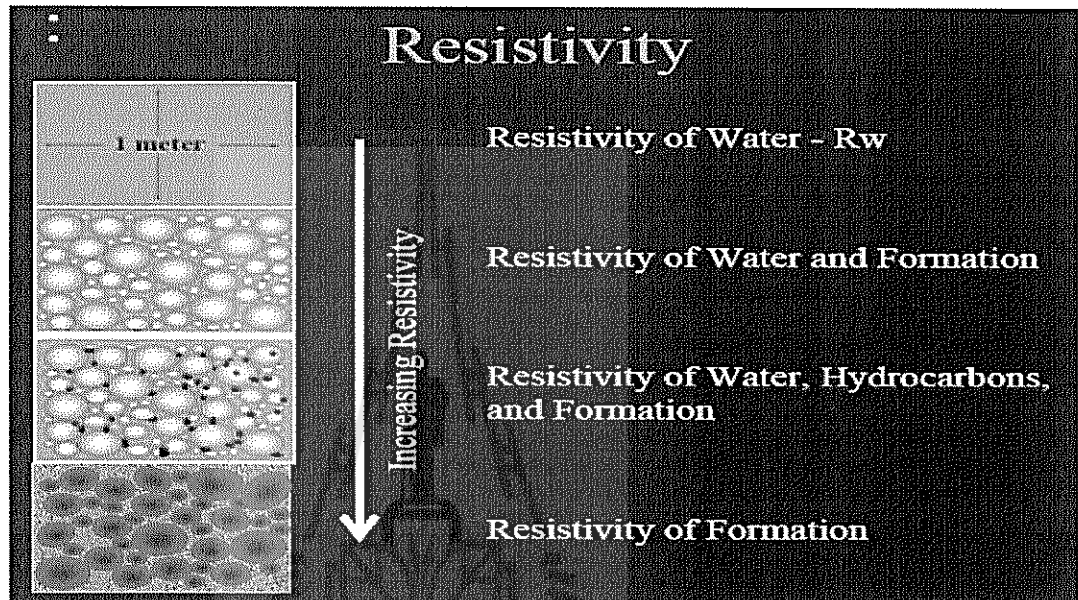
Specific resistivity and conductivity in rocks



ความต้านทานไฟฟ้าของชั้นหิน ขึ้นอยู่กับ

ความต้านทานไฟฟ้าของน้ำในช่องว่างจะขึ้นอยู่กับ

- ธรรมชาติ และปริมาณของสารที่ละลายอยู่ในน้ำ
- ชนิดของหิน ธรรมชาติและปริมาณของแร่ดิน และ แร่ที่นำไฟฟ้า
- เนื้อหิน การกระจายตัวของช่องว่างการกระจายตัวของแร่ดิน และแร่ที่นำไฟฟ้า
- อุณหภูมิ



ความสัมพันธ์ระหว่างความต้านทานไฟฟ้ากับความเค็ม resistivity & salinity

- เนื่องจากความต้านทานไฟฟ้าขึ้นอยู่กับความเข้มข้น และชนิดของสารละลายในน้ำ ความต้านทานไฟฟ้าจะมีค่าลดลงเมื่อ ความเข้มข้นของสารมีค่าเพิ่มขึ้น (น้ำไฟฟ้าได้ดี)
- ความเค็ม (salinity) เป็นการวัดค่าความเข้มข้นของสารละลาย มี หน่วยเป็น ppm หรือ g/l
- Reservoir Rock ไม่สามารถนำไฟฟ้าได้ เนื่องจากทั้งHydrocarbon and sediment ไม่นำไฟฟ้า กระแสไฟฟ้าจะไหลผ่านชั้นหินได้ก็ต่อเมื่อมีน้ำที่มีสารละลายอยู่ในช่องว่างของเนื้อหิน
- ความเข้มข้นของสารละลาย (salinity) เป็นตัวกำหนดความสามารถในการต้านทานการไหลของกระแสไฟฟ้า โดยที่สารละลายที่มีความเข้มข้นมาก จะมีค่าความต้านทานไฟฟ้าต่ำหรือนำไฟฟ้าได้ดี
- ในชั้นหินที่มีความพรุนสูงที่อิ่มตัวด้วยน้ำจะมีค่าความต้านทานไฟฟ้าต่ำ ดังนั้นการวัดค่าความต้านทานไฟฟ้าจึง เป็นวิธีการหนึ่งในการศึกษาถึงค่าความอิ่มตัวด้วยน้ำของชั้นหิน (S_w)

Resistivity of clays

- Clay mineral ซึ่งเป็นส่วนประกอบหลักของหินดินดาน และยังอาจแทรก อยู่ตามช่องว่างระหว่างเม็ดตะกอน ทำให้ค่าความต้านทานไฟฟ้า ของชั้นหินเปลี่ยนแปลงได้

- ค่าความต้านทานไฟฟ้าต่ำ ในชั้นหินดินดาน เนื่องจากว่าแร่ดินสามารถนำไฟฟ้าได้ (SP สูง)
- การนำไฟฟ้าของแร่ดินเกิดได้ 2 ลักษณะ คือ การนำไฟฟ้าเนื่องจากน้ำที่อยู่ในโครงสร้างของแร่ดิน และโครงสร้างของแร่ดินเอง
- โครงสร้างของแร่ดินเป็นชั้นของ silicate ซึ่งมีผิวเป็นประจุลบ ทำให้ประจุบวกของอิออนต่างๆมาล้อมรอบและจับตัวกับ โมเลกุลของน้ำที่ล้อมรอบ Na^+ อีกชั้นหนึ่ง น้ำที่ล้อมรอบแร่ดินเหล่านี้ เรียกว่า Bound water

Resistivity devices เครื่องมือวัดค่าความต้านทานไฟฟ้า

หลักการทำงาน

- การส่งกระแสไฟฟ้าเข้าไปในชั้นหิน และวัดการตอบสนองของชั้นหิน ที่มีต่อกระแสไฟฟ้าที่ส่งเข้าไป โดยใช้ตัวรับสัญญาณไฟฟ้าซึ่งมี ค่ารระยะห่างระหว่างตัวส่งกระแสไฟฟ้ากับตัวรับสัญญาณไฟฟ้าที่คงที่ค่าหนึ่ง ค่ารระยะห่างระหว่างตัวส่งกระแสไฟฟ้ากับตัวรับสัญญาณไฟฟ้าจะเป็นตัวกำหนดความลึกที่เครื่องมือจะสามารถวัดเข้าไปในชั้นหินได้

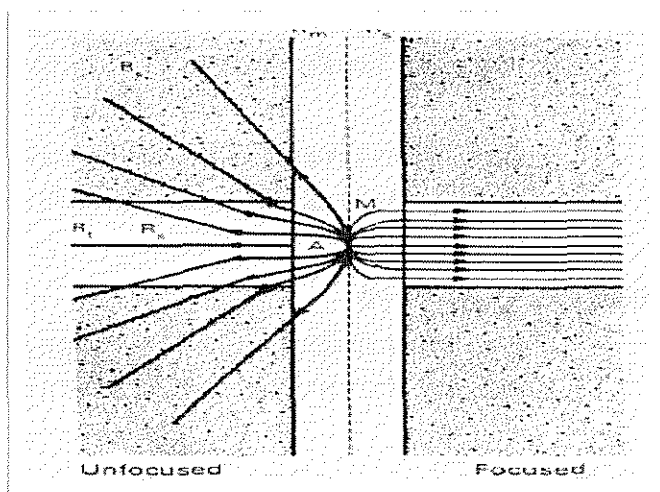
Type of Resistivity Device

1. Resistivity devices or Conventional resistivity tools
 - 1.1 Non-focus long-spacing tools
 - 1.1.1 Normal configuration
 - 1.1.2 Lateral and inverse configuration
 - 1.2 Focus long-spacing tools
 - 1.2.1 Laterologs: which are used with salt mud.
 - 1.2.2 Spherically focused log (SFL)
2. Induction devices; which are used with fresh water base mud
3. Non-focused Microtools: Microlog (ML), Microlaterolog (MLL), Microproximity log (PL), Microspherically focused log (MSFL)

Resistivity or Conventional resistivity tools

It consist of

- 1.1 Non-focus long-spacing tools
- 1.2 Focus long-spacing tools:
 - Laterologs

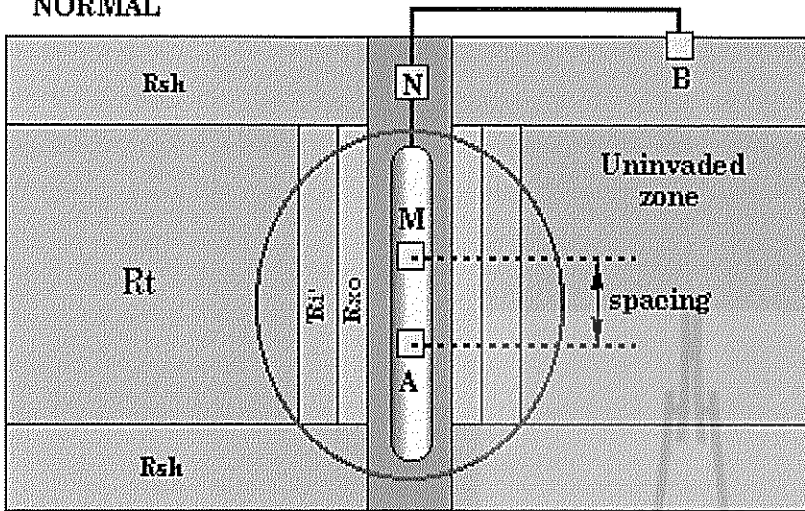


1.1 Non-focus long-spacing tools

1.1.1 Normal Resistivity Tool

Spacing of electrodes determines penetration

NORMAL



Short normal

- Spacing A and M = 16 in

Long Normal

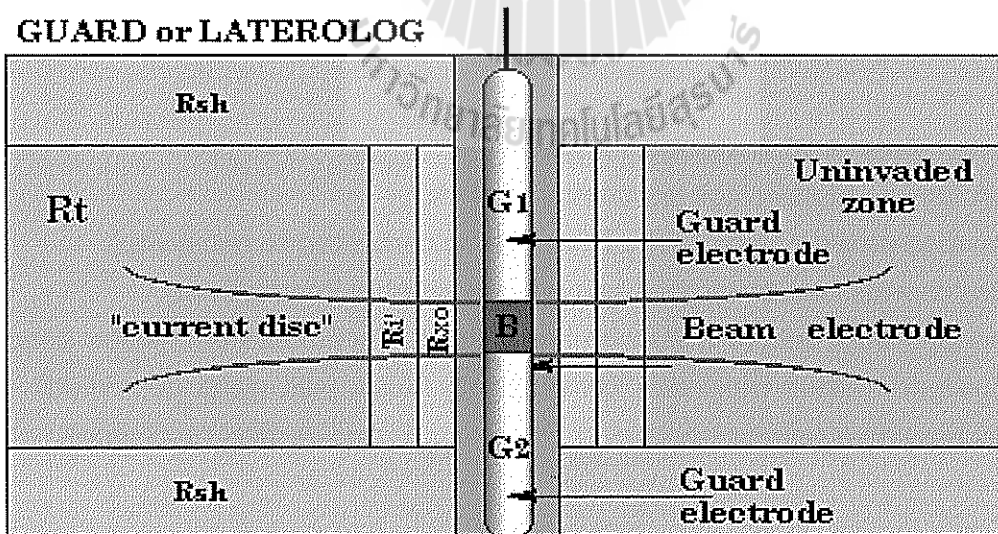
- Spacing A and M = 64 in

Normal devices: 2 current electrode (A, B) and 2 potential electrode (M, N)

1.1.2 Guard or Laterolog Tool

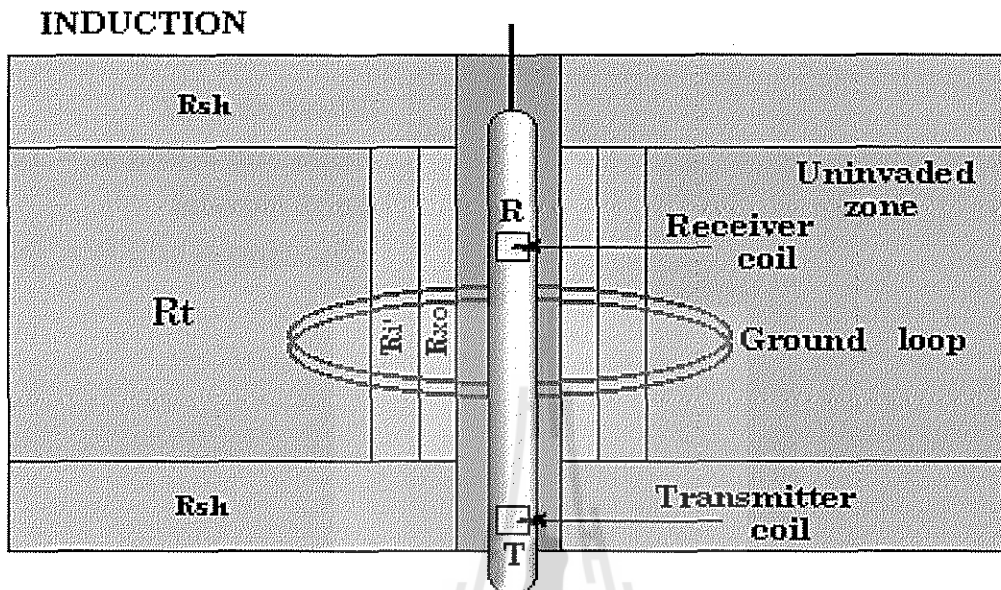
The guard electrodes focus the current in a narrow disk

GUARD or LATEROLOG



1.1.3 Induction (Conductivity) Tool

- Receiver coil measures the induced electrical



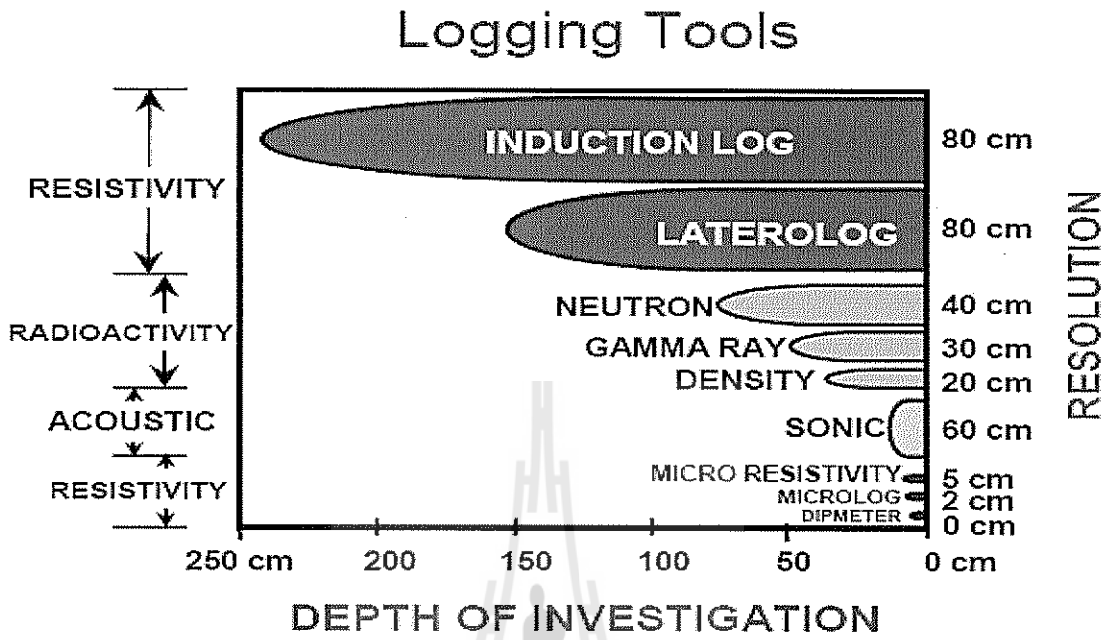
Resistivity logs and Induction logs

- Resistivity logs: ความต้านทานไฟฟ้า (electrical resistivity) ของวัตถุเป็นความสามารถในการต้านทานการไหลของกระแสไฟฟ้าผ่านวัตถุนั้นๆ
- ค่าความต้านทานไฟฟ้าของชั้นหิน สามารถวัดได้จากการ เปลี่ยนแปลงค่ากระแสไฟฟ้า (current variations) โดยใช้ เครื่องมือ electrical devices
- Induction logs: การวัดจากค่าการเปลี่ยนแปลงค่ากระแสไฟฟ้าเหนี่ยวนำ (induced current variation) โดยใช้ เครื่องมือ induction devices

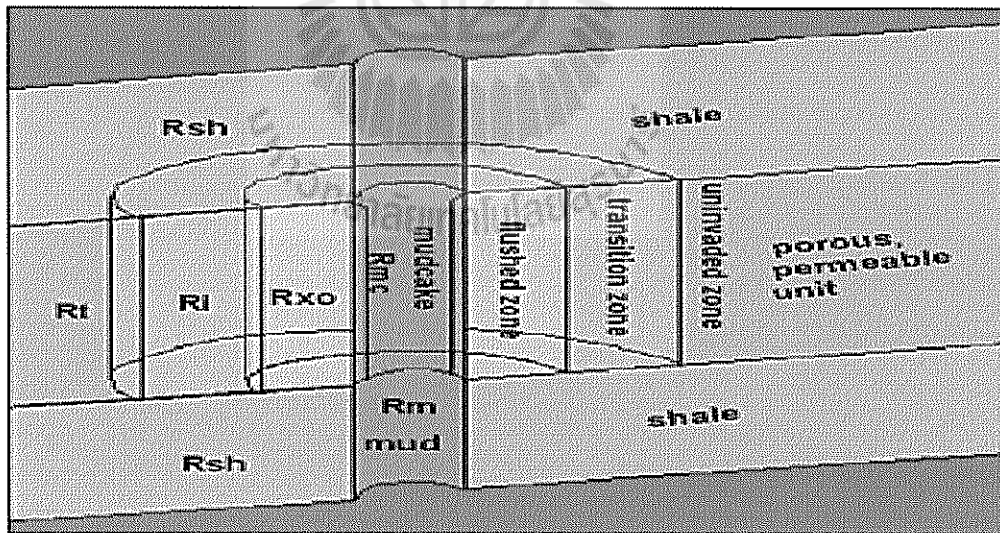
Comparing Laterologs and Induction Logs

- Induction logs and Laterologs are complimentary,
- Induction logs provide conductivity (that can be converted to resistivity).
- Laterologs provide resistivity (that can be converted to conductivity).
- Induction logs work best in wells with low conductivity fluids. (fresh water base mud)
- Laterologs work best in wells with low resistivity fluids. (salt water base mud)
- Both logs provide a range of depths of penetrations and vertical resolutions.

Depth of Investigation of Logging Tools



The Borehole Environment

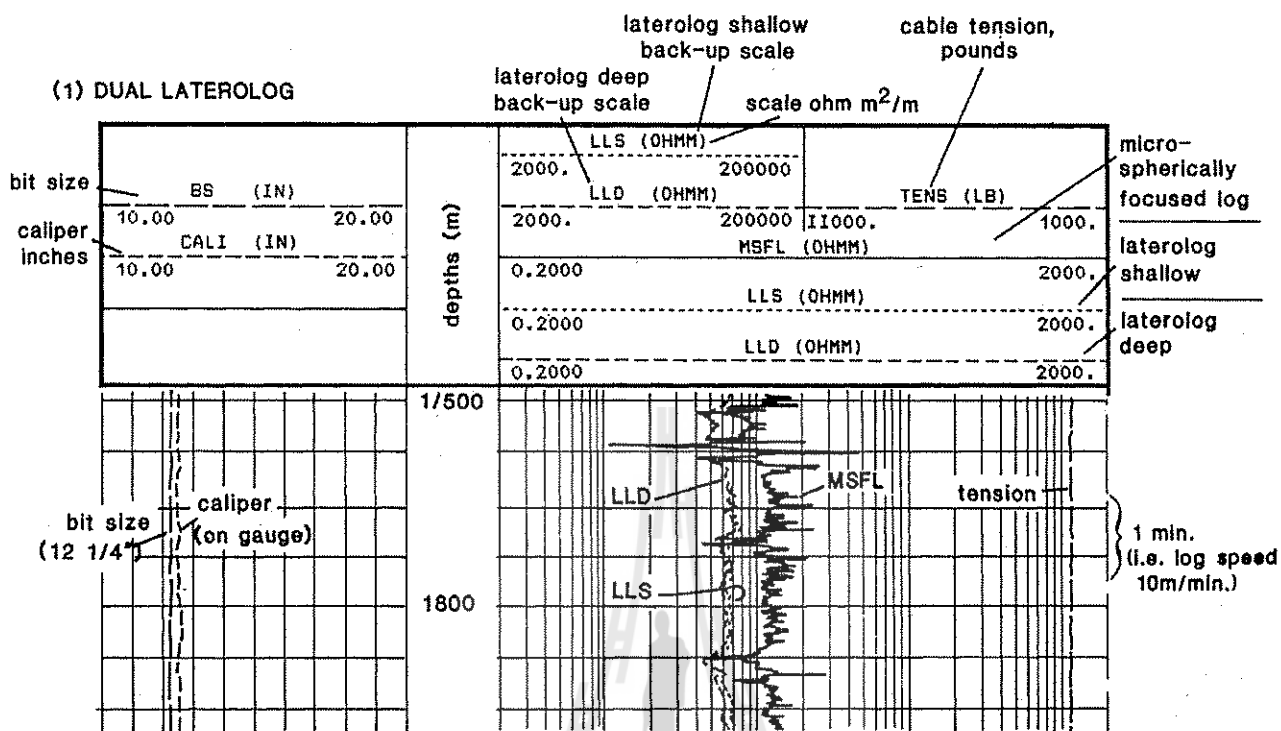


Resistivity log depth of investigation:

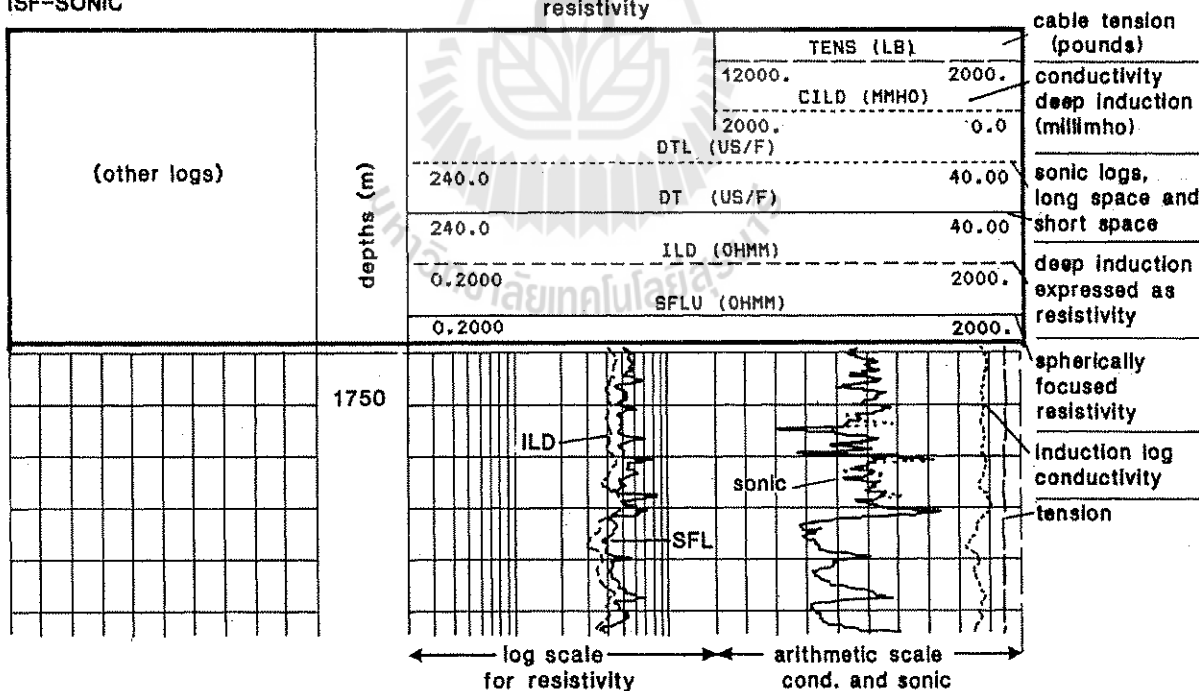
Flushed zone Rxo	Invaded zone Ri	Uninvaded zone Rt
Micro Log (ML)	Short normal (SN)	Long normal
Microlateor log (MLL)	Laterolog-8 (LL-8)	Latero log (LL)
Proximity log (PL)	Spherically focused log (SFL)	Deep induction Log (ILD)
Microspherical focused log (MSFL)	Induction log medium (ILM)	Deep latero log (LLD)
	Shallow latero log (LLS)	Laterolog-3 (LL-3)
		Laterolog-7 (LL-7)

Log Presentation

(1) DUAL LATEROLOG



(2) ISF-SONIC



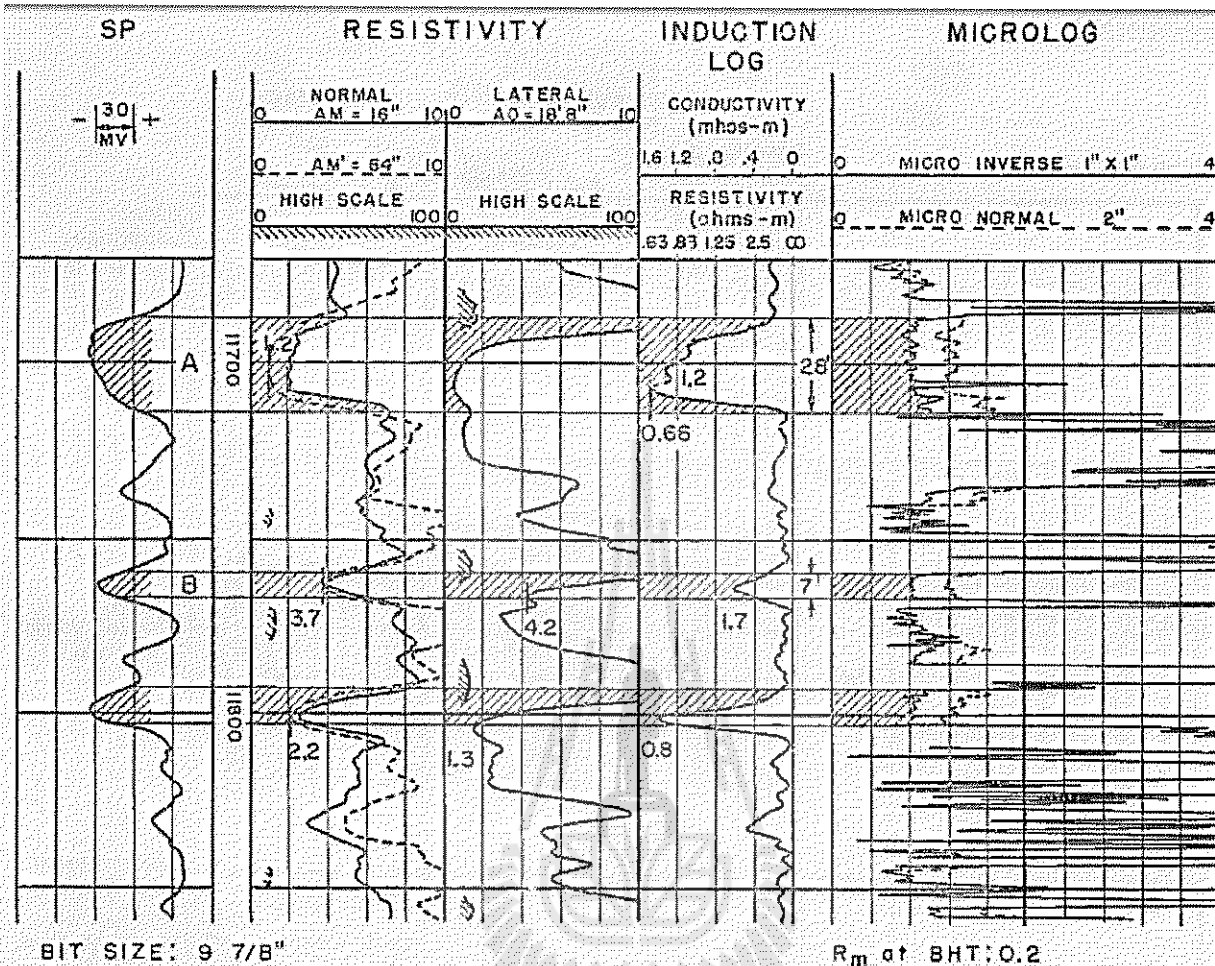


FIGURE 14-16. Example of induction log.

Log Presentation and Scales

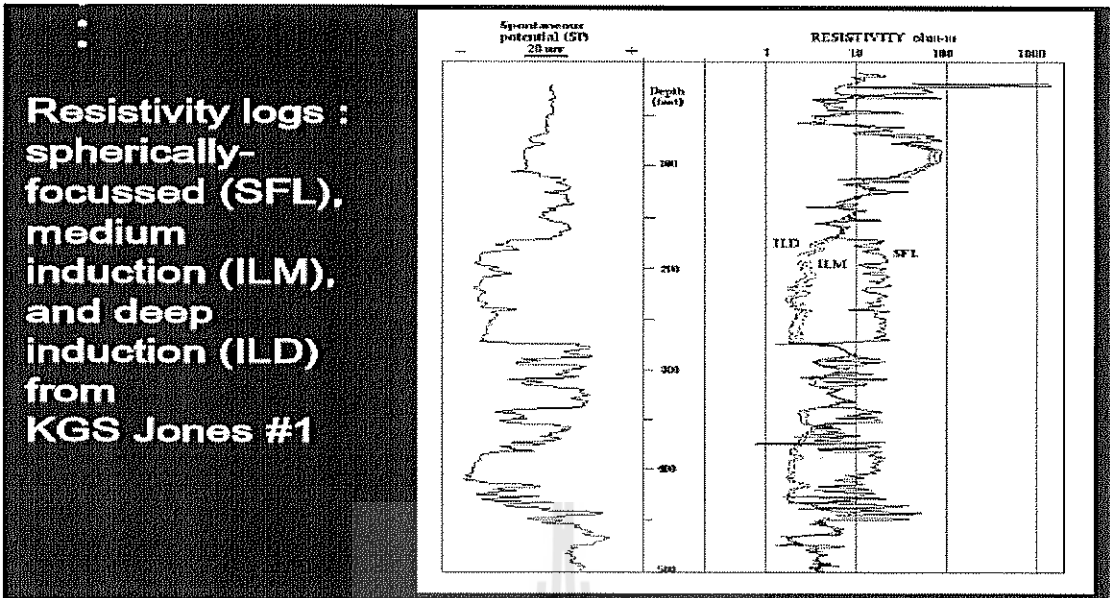
Fig. 7-22 — Dual Induction-Log presentation.

ID, IM, LL8 measure resistivity at different distances from the borehole.

ID = deep induction

IM = medium induction

LL8 = shallow induction



Resistivity Log Applications

1. "True" Rt Formation Resistivity
2. Fluid Saturation Sw from Archie's Equation
3. Determination of Hydrocarbon-Bearing vs. Water-Bearing Zones
4. Geopressure Detection
5. Diameter of Invasion
6. Porosity & Permeability
7. Source rock identification and its maturity.
8. Stratigraphic correlation and facies depositional environment.

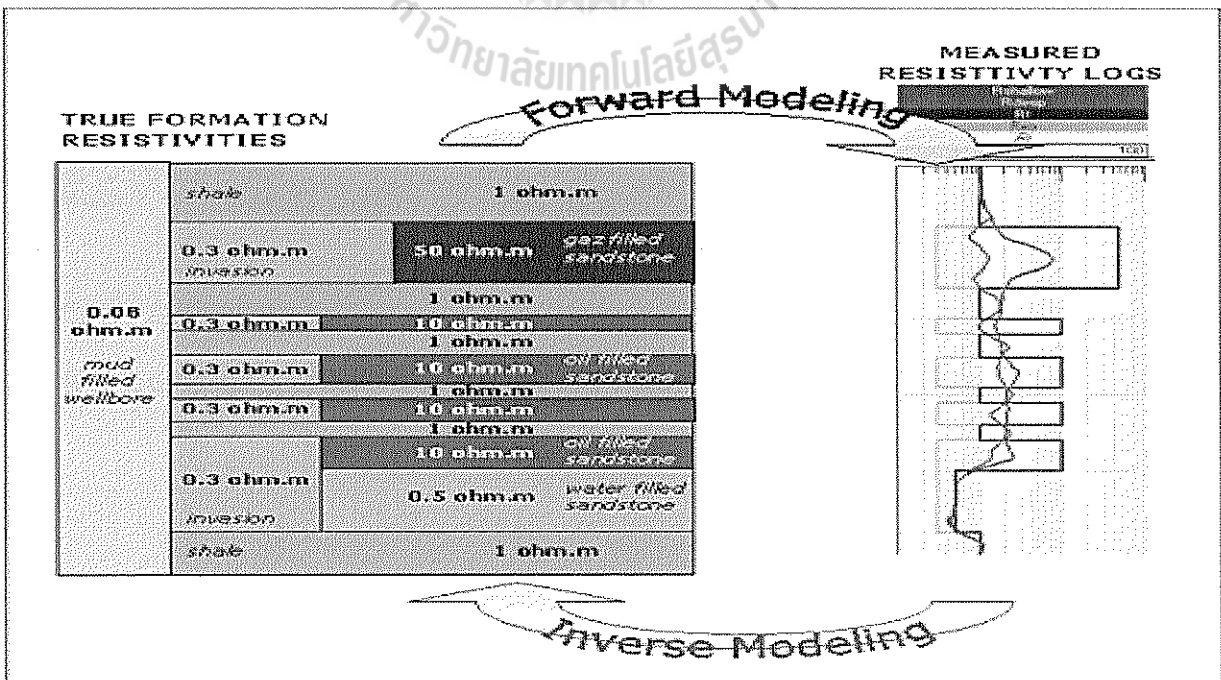


Figure 19.25 shows the characteristics that are being looked for schematically.

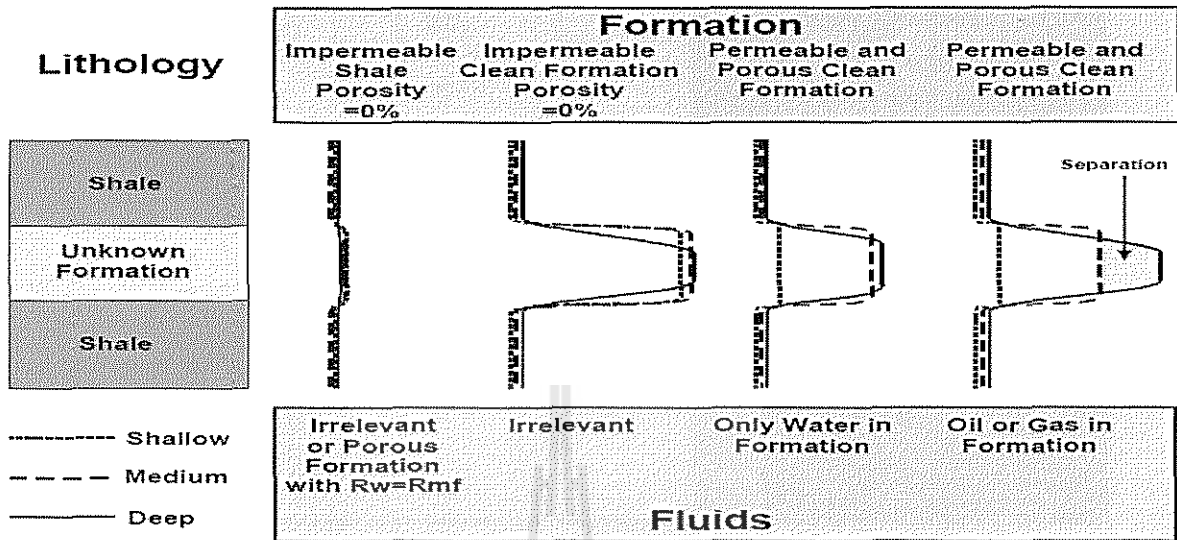


Figure shows the response of resistivity logs in formations with various fluids (recognition of hydrocarbon zones).

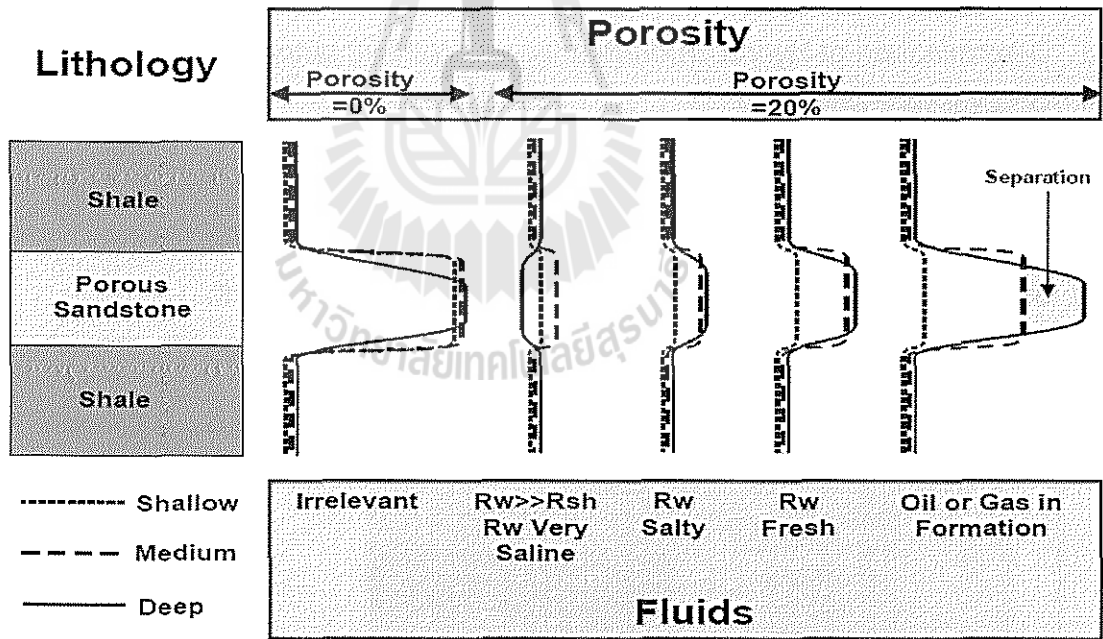


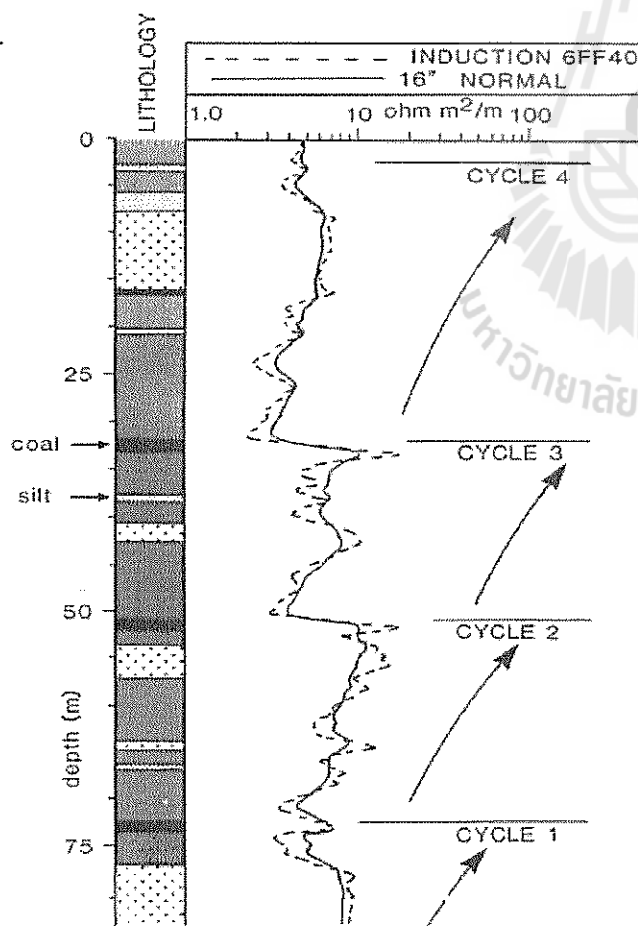
Fig. 19.26 The behaviour of the resistivity log responses for different formation water salinities.

การจำแนก Hydrocarbon Zones

Recognition of oil and gas in reservoir rocks is carried out by:

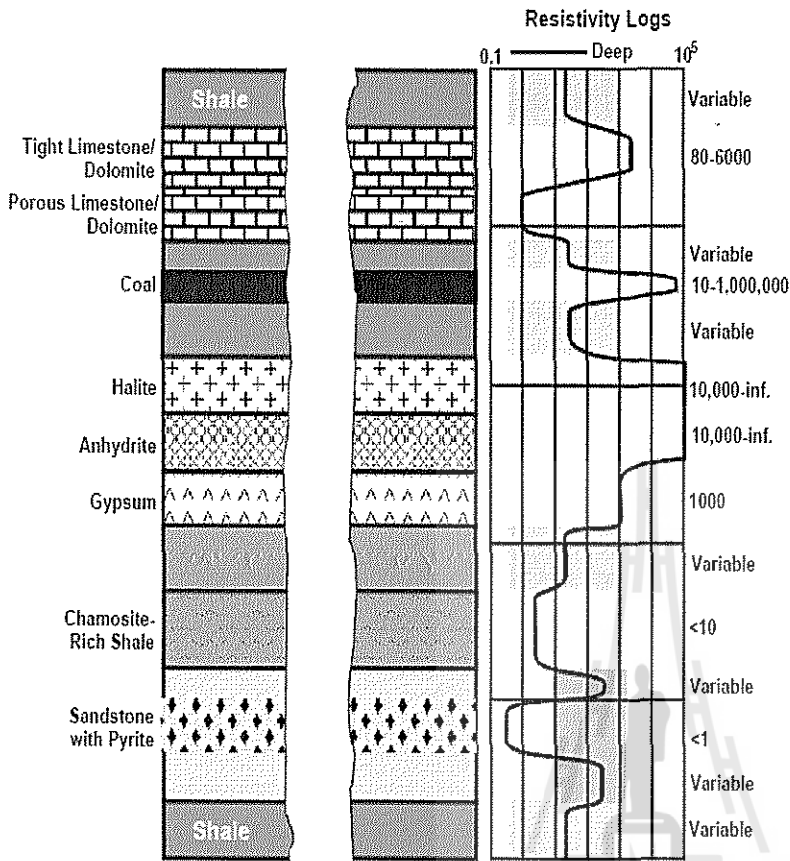
- Oil shows in the mud log. Noting a difference in the shallow, medium and deep resistivity tool responses.
- If all three curves are low resistivity, and overlie each other, the formation is an impermeable shale, or, rarely, the formation is permeable and water-bearing but the mud filtrate has the same resistivity as the formation water.
- If all three curves are higher resistivity than the surrounding shales, and overlie each other, the formation is an impermeable cleaner formation (sandstone, limestone).
- If the shallow curve has low resistivity, but the medium and deep penetrating tools have a higher resistivity that is the same (they overlie each other), the formation is permeable and contains only formation water.
- If the shallow curve has low resistivity, the medium as a higher resistivity, and the deep one has an even higher resistivity (i.e., there is separation of HC formation)

Textures and Facies Recognition



Use of resistivity logs to track changes of lithofacies.

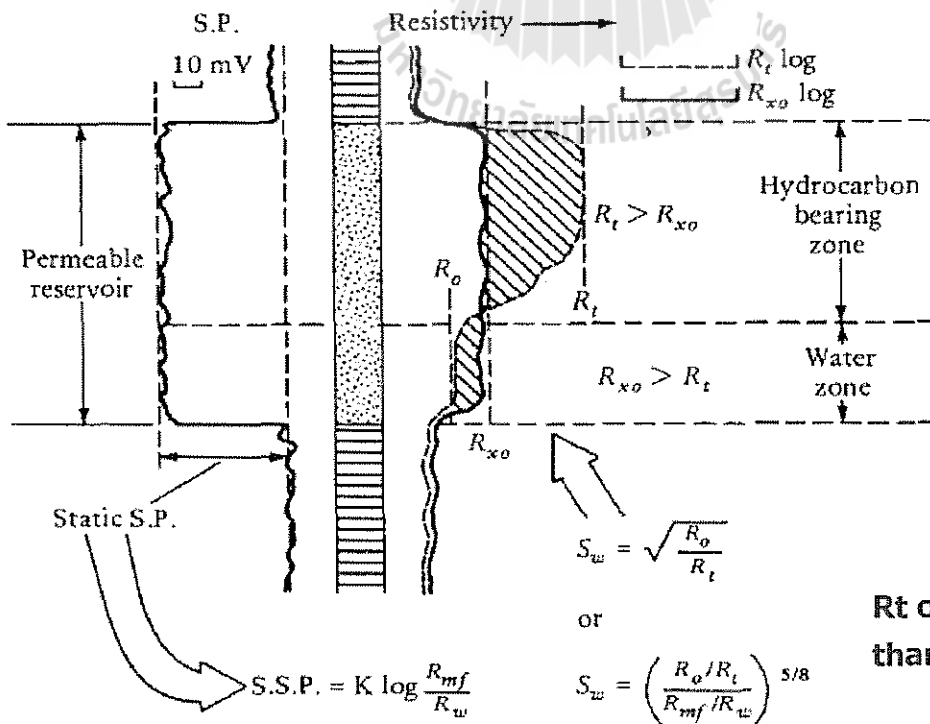
In this case the log shows small scale deltaic cycles



Lithology Recognition

- Gypsum 1000 Ωm .
- Anhydrite 10,000 - $\infty\ \Omega m$.
- Halite 10,000 - $\infty\ \Omega m$.
- Coals 10 - 10⁶ Ωm .
- Tight limestones and dolomites 80 - 6000 Ωm .
- Disseminated pyrite < 1 Ωm (pyrite has a resistivity of 0.0001 - 0.1 Ωm).
- Chamosite < 10 Ωm .

Fig. 19.28 Characteristic resistivities from various lithologies recorded by resistivity logs.



R_t of HC zone is higher than R_t in water zone.

Fluid Saturation

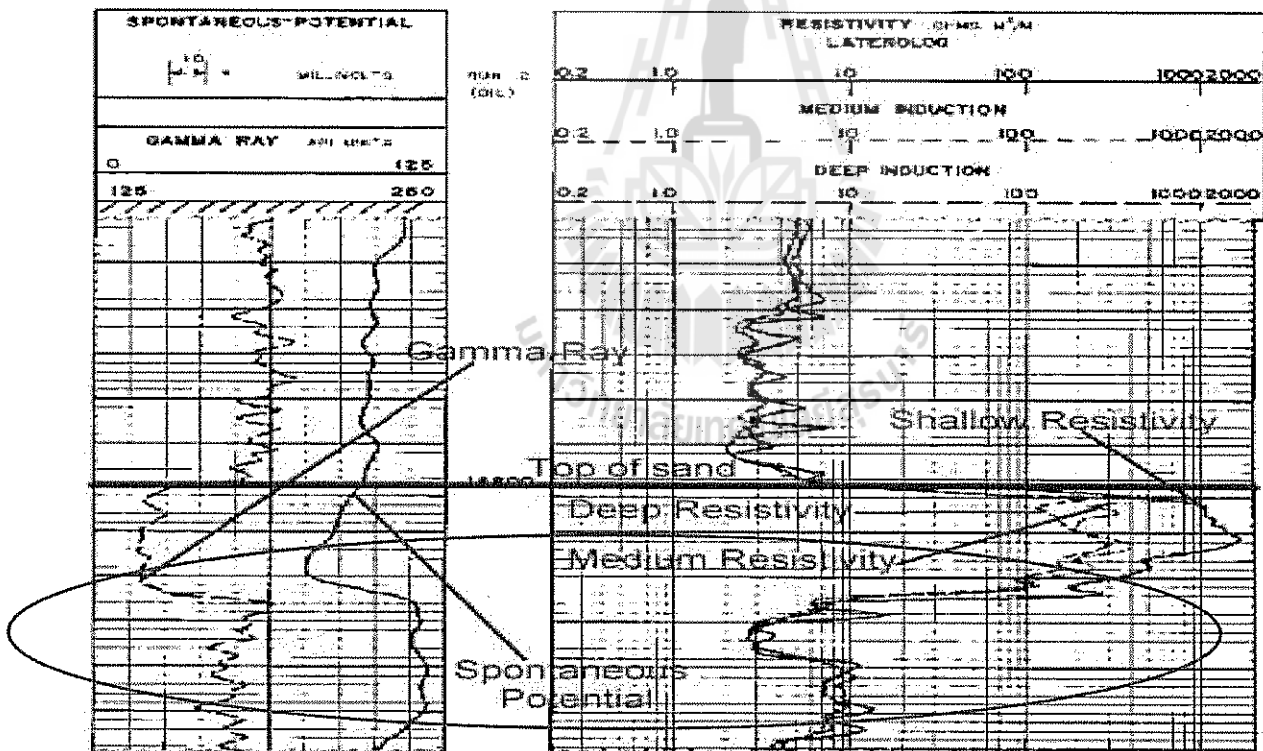
Calculating Fluid Saturation

$$S_w = \phi(R_w/R_t)^{0.5} \text{ or } S_w = \frac{(R_{xo}/R_t)^{5/8}}{(R_{mf}/R_w)}$$

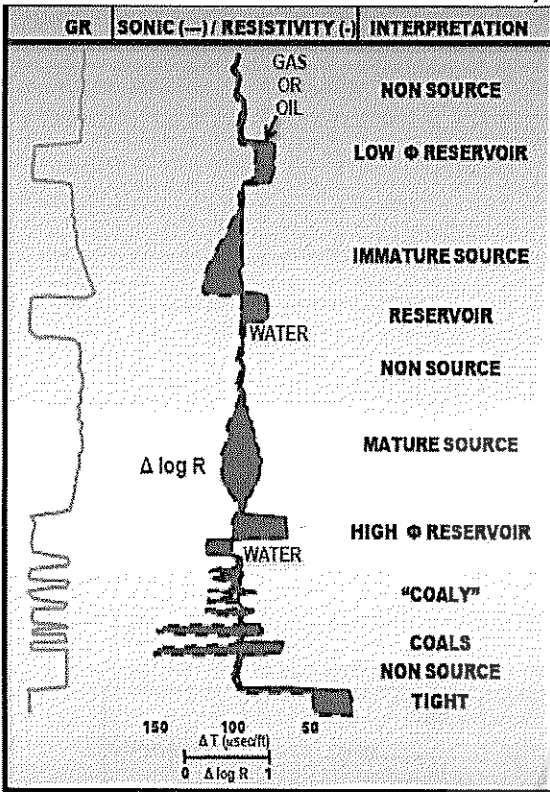
Where

- R_{xo}= Resistivity of flushed zone
- R_w= Resistivity of formation water
- R_{mf}= Resistivity of mud filtrate
- R_t= Resistivity of uninvaded zone
- Φ = Porosity of formation

Gamma ray, Sp and Resistivity logs correlation



หลักการแปลความหมายจากกราฟ SP, Gamma ray และ Resistivity

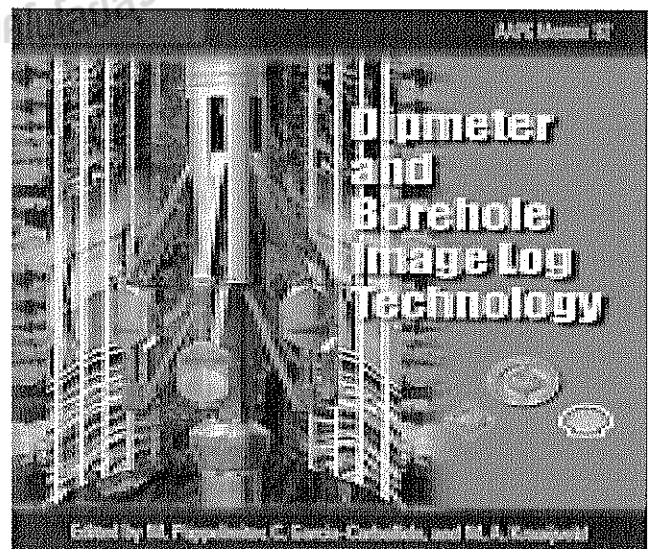
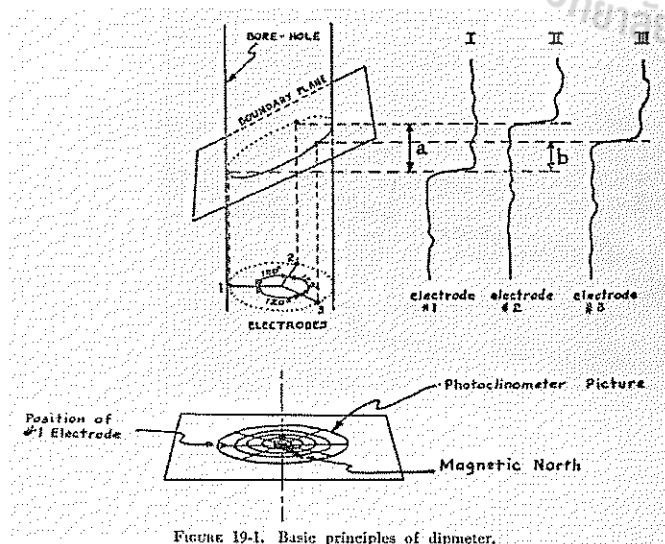


- **Basic Rule "A"**: เมื่อ GR (or SP) ย้ายไปทางซ้ายแสดงถึง clean และอาจเป็น reservoir. เมื่อ GR ไปทางขวา ปกติเป็น Shale zone (not a reservoir quality rock).
- **Basic Rule "B"**: Porosity logs (sonic log) แสดงค่า higher porosity ไปทางด้านซ้าย แสดงค่า lower porosity ไปทางด้านขวา ซึ่งบ่งบอกว่าเป็นชั้น clean formation and porous reservoir, ดังนั้น การเปรียบเทียบ GR กับ Porosity log จะบอก clean+porous zones.
- **Basic Rule "C"**: Resistivity logs ค่า resistivity สูงไปทางด้านขวา ค่า resistivity สูงๆ บ่งบอกว่าเป็นชั้น hydrocarbons or low porosity. ค่า resistivity ต่ำ บ่งบอกชั้น shale or water zones. ดังนั้น clean+porous+high resistivity เป็น formation ที่น่าจะเป็น reservoir ที่ดี.

4. Dipmeter Log

Dipmeter tool:

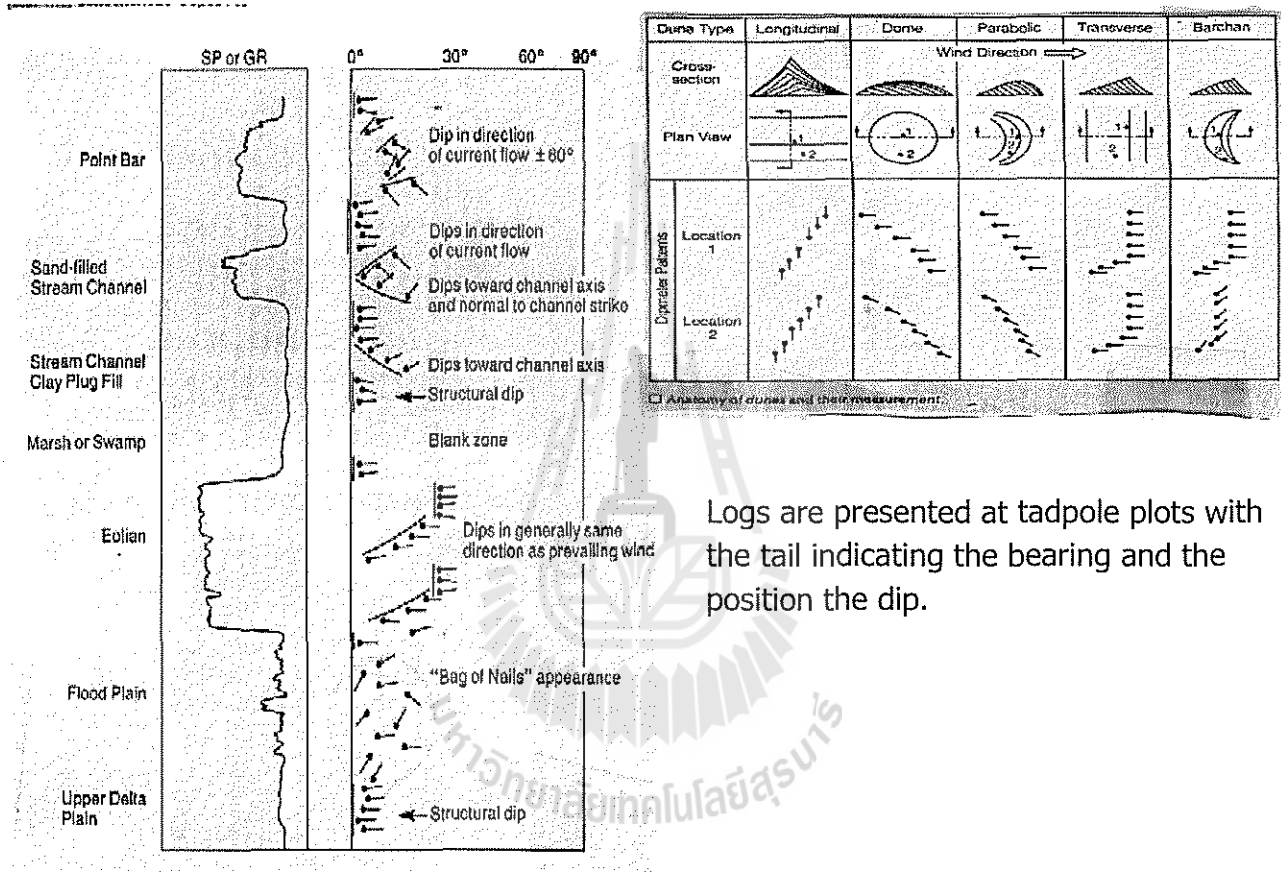
Records the attitude (dip angle and dip direction) of rock layers in the borehole



Dipmeter survey

การหาค่ามุมเอียงเทของชั้นหินที่อยู่ใต้ผิวดิน จำเป็นอย่างยิ่งที่ จะต้องได้ข้อมูลการวางตัวของชั้นหินจากหลุมเจาะอย่างน้อย 3 หลุมที่ไม่อยู่ในแนวเส้นตรงเดียวกัน ซึ่งทำได้ยากเนื่องจาก จะต้องมีการเจาะถึง 3 หลุมเป็นอย่างน้อย และชั้นหินที่ต้องการ ศึกษาต้องผ่านหลุมเจาะทั้ง 3 หลุมด้วย ทำให้สิ้นเปลืองทั้งเวลา และค่าใช้จ่ายในการเจาะมาก

Log Presentation



Logs are presented at tadpole plots with the tail indicating the bearing and the position the dip.

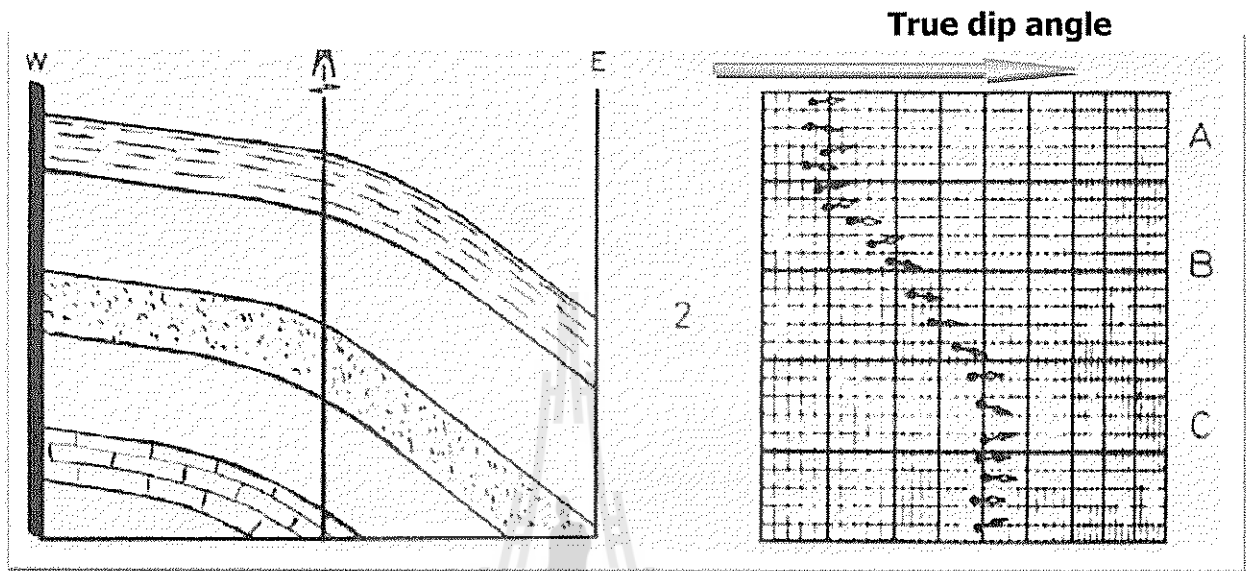
ประโยชน์ของ Dipmeter log

1. Tectonic or structural application

- ค่ามุมเอียงเทที่ได้จากเครื่องมือถูกใช้เป็นข้อมูลพื้นฐานในการกำหนดค่ามุมเอียงเทของโครงสร้างโดยทั่วไปในบริเวณนั้น
- ค่ามุมเอียงเทที่ผิดปกติไปจากค่ามุมเอียงเทปกติในบริเวณนั้นทั้ง ขนาดและทิศทาง อาจเกิดเนื่องจากการแปรสภาพของโครงสร้าง เช่น รอยเลื่อน รอยสัมผัสไม่ต่อเนื่อง การคดโค้งโครงสร้างที่เกิดเป็นบริเวณแคบๆ เช่น โดมเกลือหิน

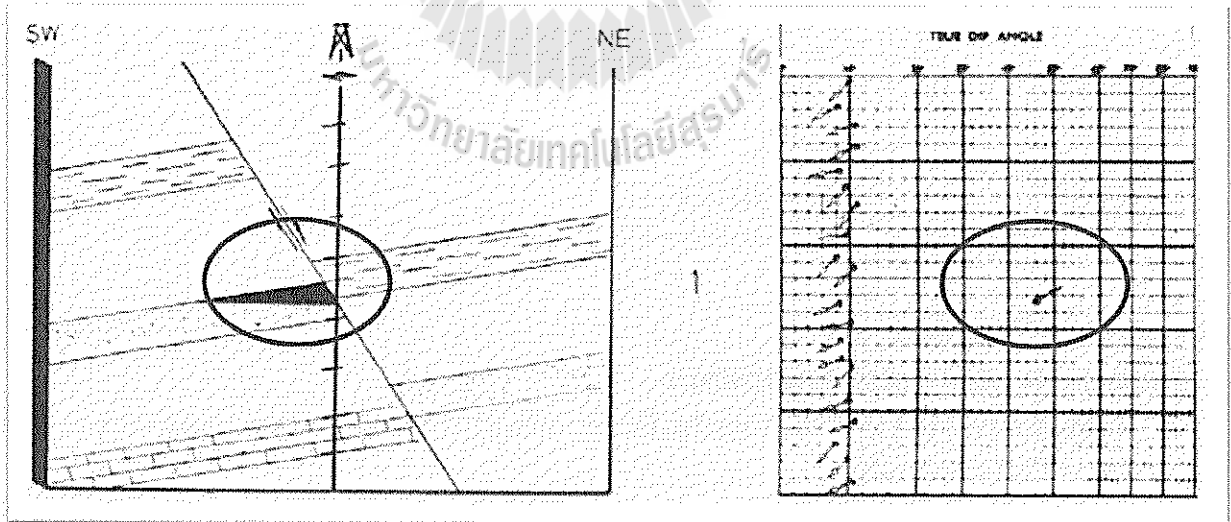
1.1 Salt dome

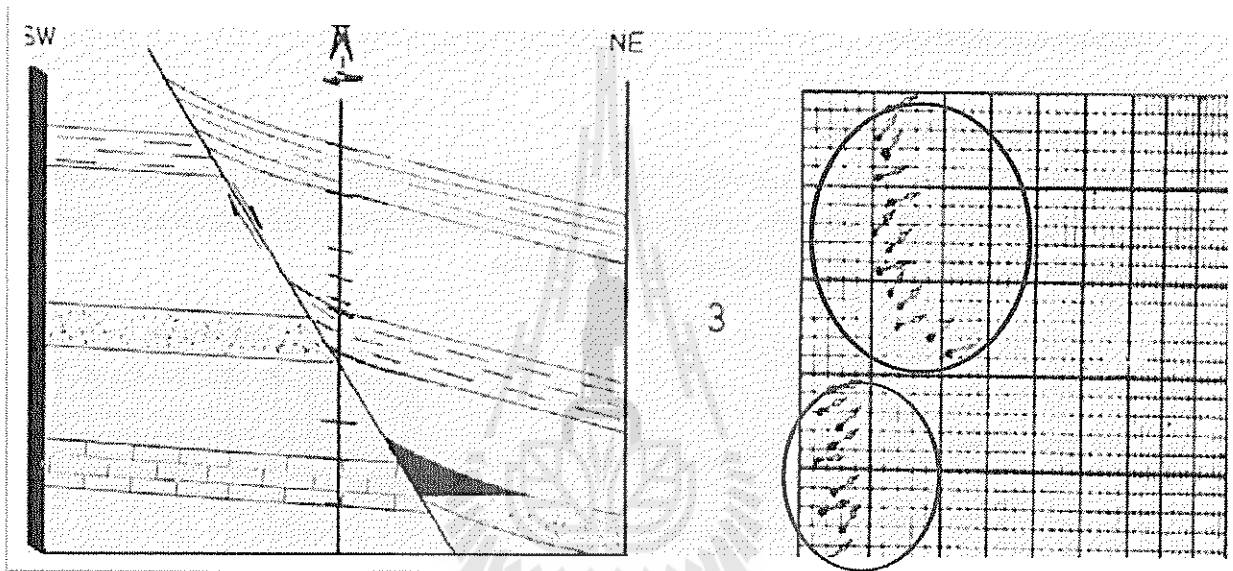
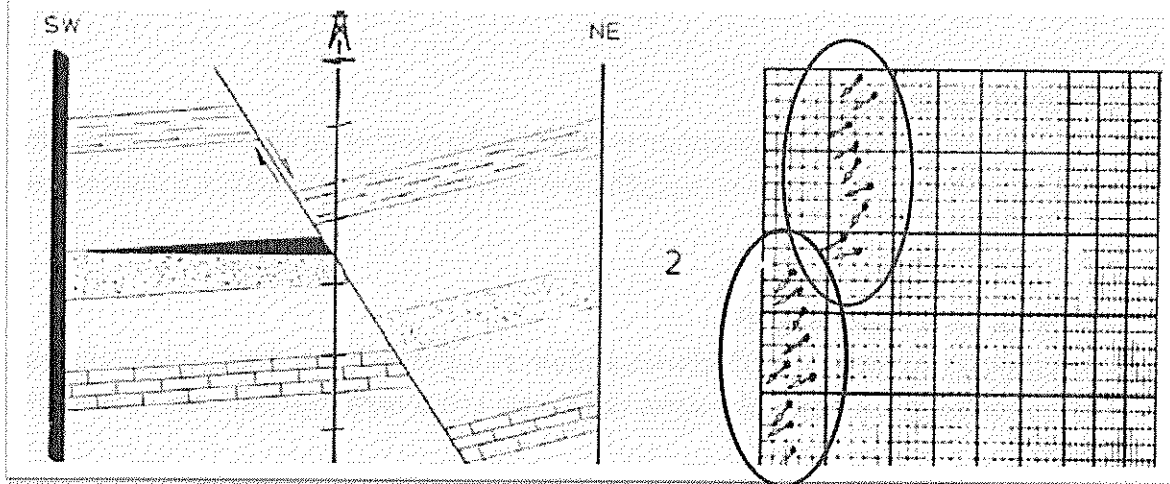
- บริเวณใกล้โดมเกลือหินค่ามุมเอียงเทจะมีค่ามากและน้อยลงเมื่อห่างจากโดมเกลือหิน



1.2 Fault

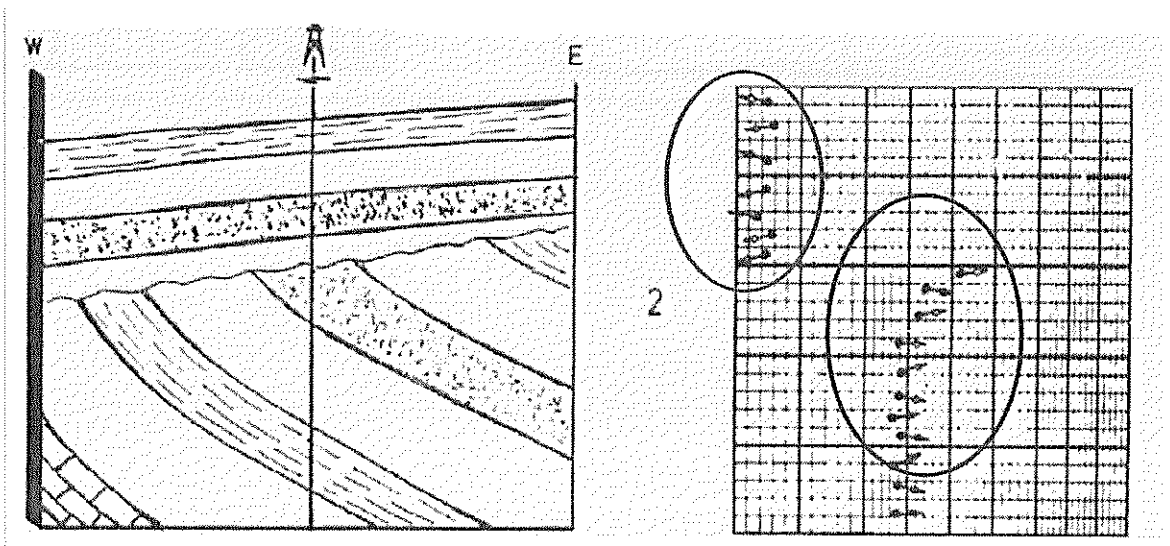
รอยเลื่อนสามารถสังเกตเห็นได้จากการเปลี่ยนแปลงค่ามุมเอียงเท อย่างฉับพลันจากหินด้านหนึ่งของรอยเลื่อนไปยังอีกหินอีกด้านหนึ่งของรอยเลื่อน





1.3 Unconformity

รอยสัมผัสไม่ต่อเนื่องสังเกตจากการเปลี่ยนแปลงทั้งทิศทางและค่ามุมเอียงเทจากหินชุดหนึ่งไปยังหินอีกชุดหนึ่ง



2. Structural mapping

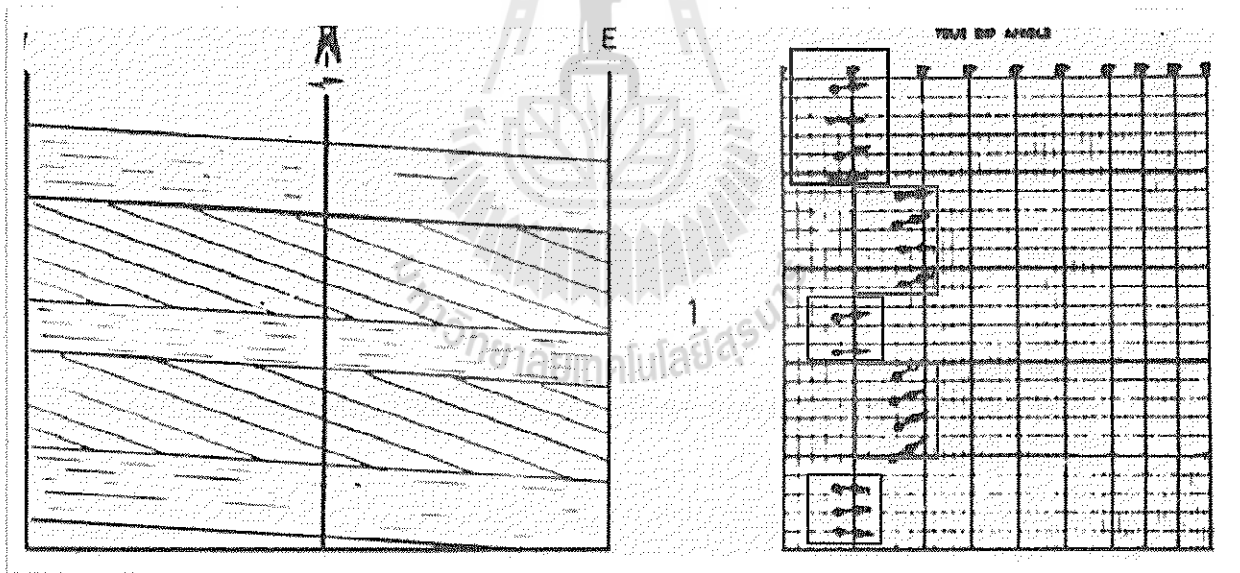
จากค่ามุมเอียงเทและทิศทางการวางตัวของโครงสร้างต่างๆที่วัดได้จากเครื่องมือสามารถนำมาสร้างเป็นแผนที่โครงสร้างทางธรณีวิทยาหรือภาพตัดขวางทางธรณีวิทยาแสดงลักษณะโครงสร้างได้

3. Sedimentary applications

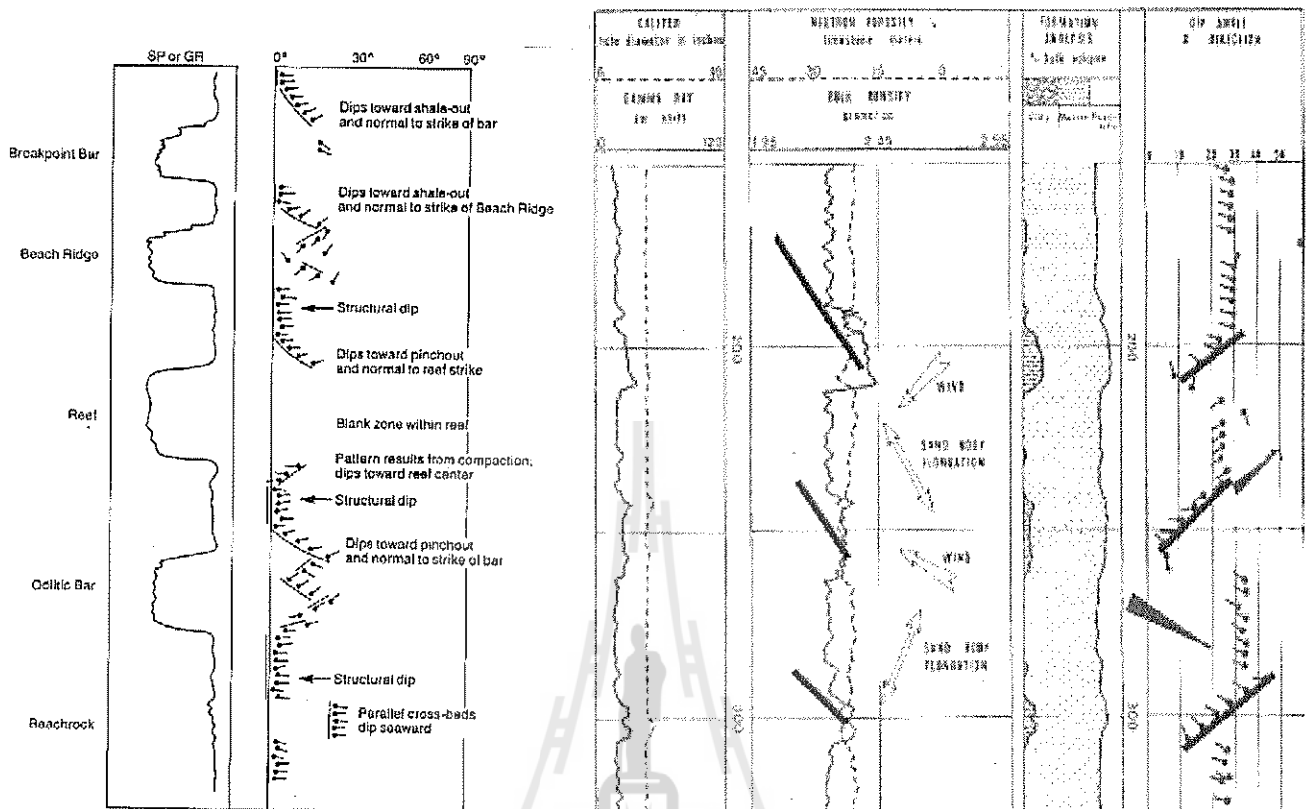
- ค่ามุมเอียงเทและทิศทางการวางตัวของบ่งบอกถึงการวางตัวของชั้นหิน กักเก็บ ซึ่งอาจอาศัยข้อมูลของการวางตัวของโครงสร้างทางหิน ตะกอนต่างๆ เช่น cross bedding, paleocurrent, slumps และ drapes
- ลักษณะที่สำคัญของหินตะกอนของชั้นกักเก็บในแต่ละช่วงสามารถนำไปสู่การแปลความหมายถึงขอบวนการสะสมตัวได้

4. Formation Thickness

- ค่าความต้านทานและมุมเอียงเทจะมีความสัมพันธ์กับความหนาของชั้นหิน ปรากฏการณ์ที่เกิดขึ้น การพัฒนาของหินในแนวตั้ง ขนาดของเม็ดตะกอน ส่วนประกอบ ชนิดของชั้นหิน จุดกำเนิดของรอยต่อของชั้นหิน หรือ ความเป็นเนื้อเดียวของชั้นหิน



5. Stratigraphic application



Caliper and Dipmeter in sand dune

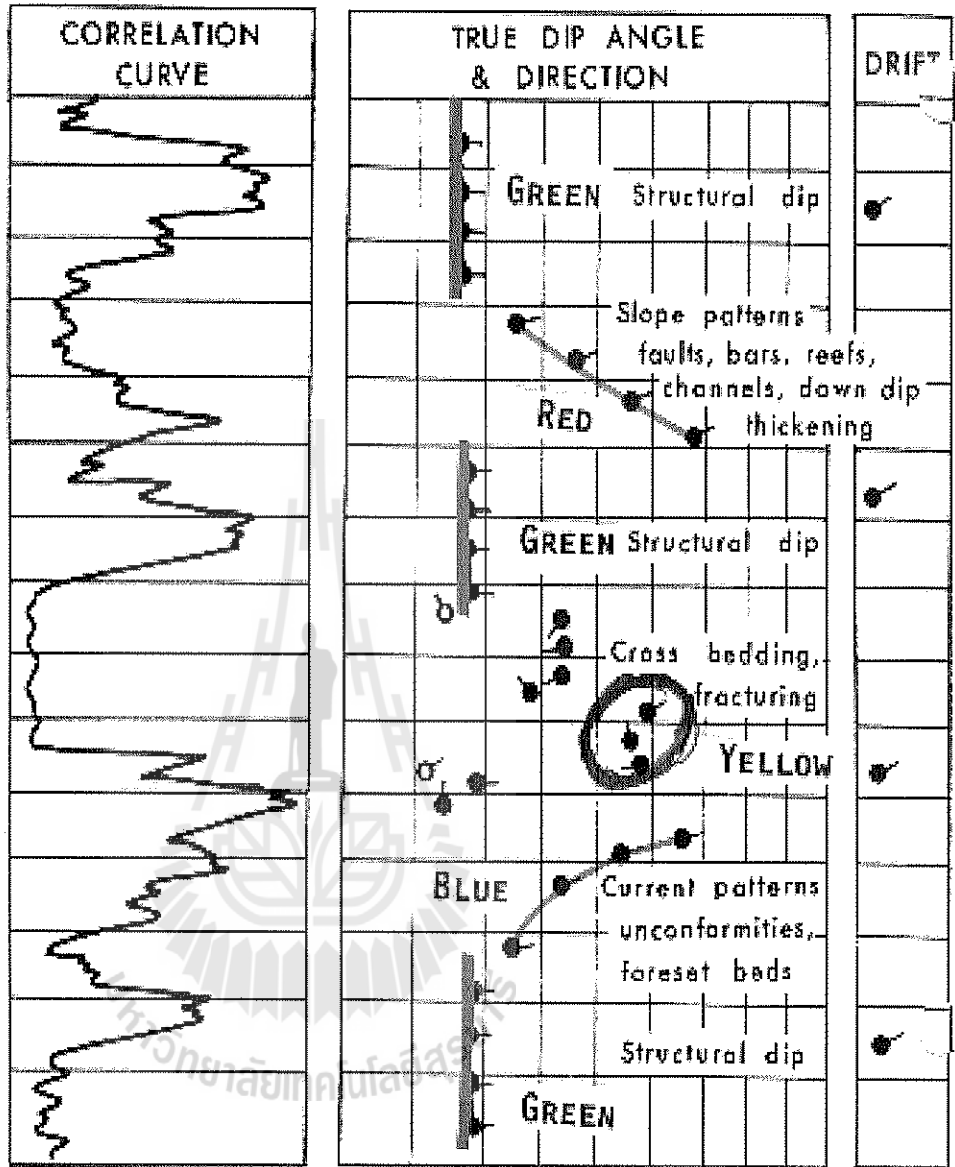
Dipmeter in reef environment

Dip Pattern

Structural analysis begins with a review of the arrow plot. It defined by the color of the pencil used to mark them:

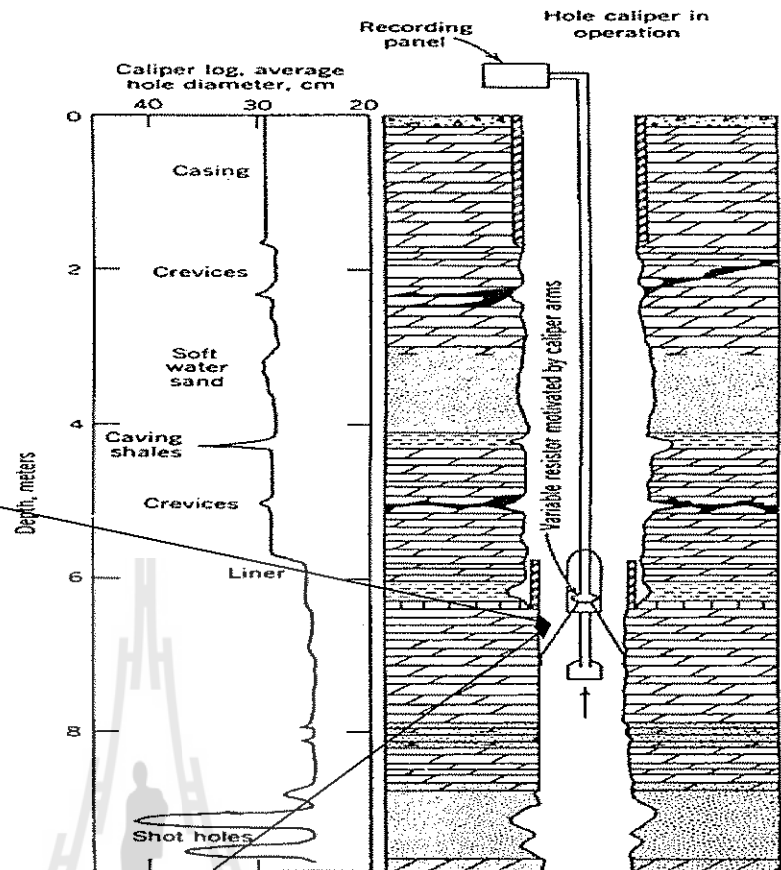
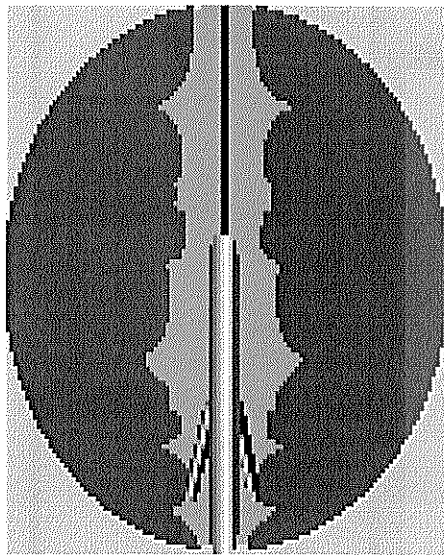
1. GREEN PATTERNS (GP): nearly constant dip and direction, representing regional dip, sometimes called structural dip.
2. RED PATTERNS (RP): increasing dip with depth, representing drape, down dip thickening, differential compaction, drag on faults, or folding.
3. BLUE PATTERNS (BP): decreasing dip with depth, representing drag on faults or folding.
4. BLACK PATTERNS: abrupt change in dip and/or direction, representing unconformities, fault planes, or erosional boundaries between stratigraphic units.
5. CIRCLED PATTERNS or YELLOW PATTERNS: random dip angles or directions indicates bad hole conditions, contorted bedding, fractures, slumping, or breccia, sometimes associated with fault planes.

Dip Pattern



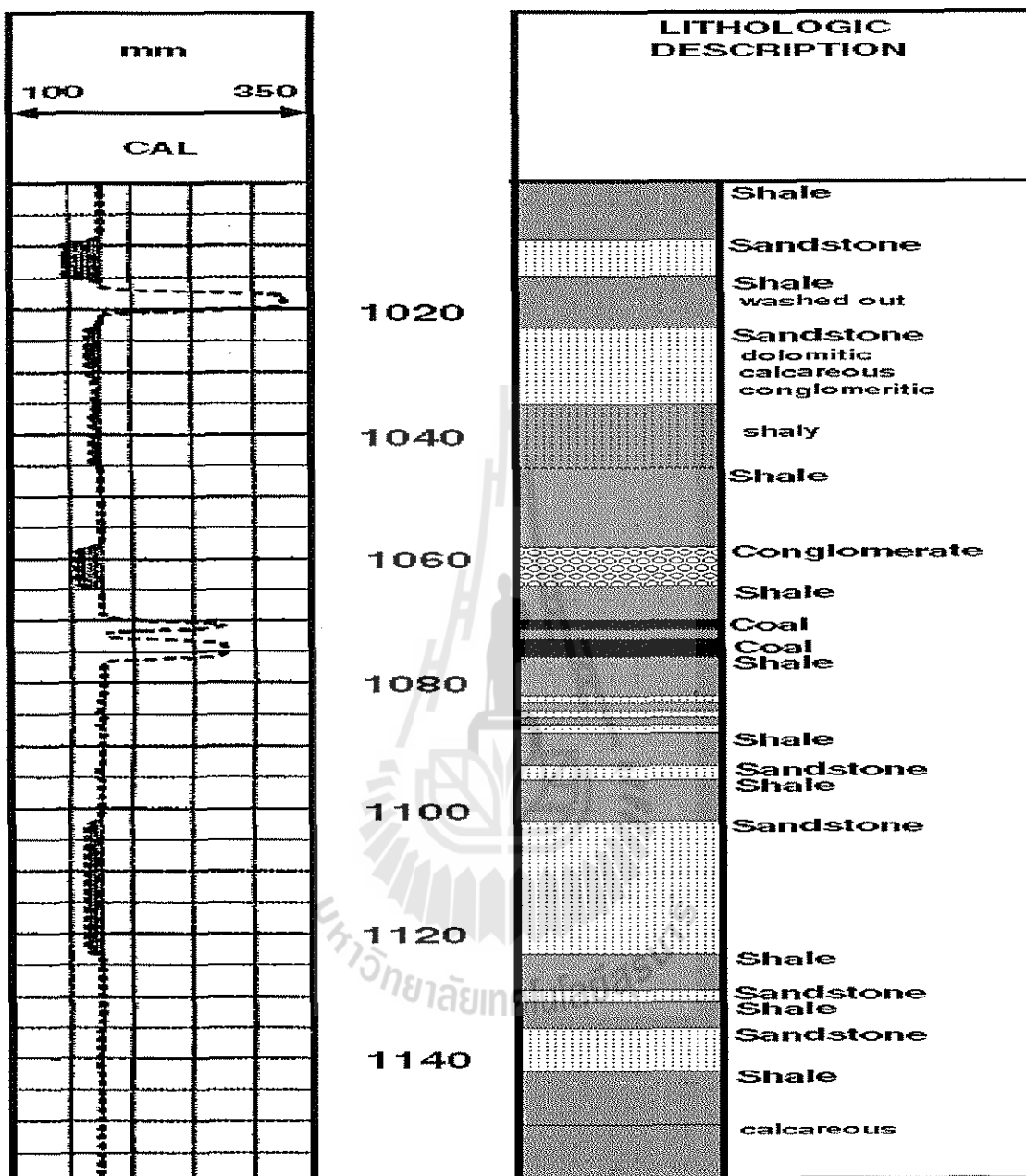
5. Caliper Log

- Size of Borehole
- Size of casing
- Detect cave or dissolution formation
- Detect mud cake thickness
- Determination of lithology



Caliper Log

- To assist in the quantitative interpretation of many other logs that are sensitive to borehole diameter and wall roughness (rugosity).
- Normally run with GR or SP log.
- The deflections Mud cake (smaller radius) and Caving (oversize excursions)
 - Shales, coals and LS are lithologies that tend to cave.
 - The absence of mud cake adjacent to a porous bed may indicate a tight sand or possible overpressure.



Caliper log graph and lithology

6. Porosity logs

- ▶ เครื่องมือที่นิยมใช้ในการหาความพรุนในหิน ได้แก่
 - ▶ Density log
 - ▶ Neutron log
 - ▶ Sonic log
- ▶ เครื่องมือเหล่านี้ได้รับอิทธิพลจาก ความพรุนของเหลวในช่องว่าง และส่วนประกอบทางแร่ในหิน (matrix mineral)
- ▶ ค่าความพรุนที่หาได้จากเครื่องมือแต่ละชนิดอาจให้ค่าที่ไม่เท่ากันได้ ดังนั้นในการสำรวจจึงยังมีความจำเป็นที่จะต้องใช้เครื่องมือทั้ง 3 ชนิดในการหาค่าความพรุนที่เหมาะสมของชั้นหิน

6.1 Density log

- ▶ ความหนาแน่นเป็นสมบัติของชั้นหินอันหนึ่งที่สำคัญสำหรับการ ประเมินศักยภาพของชั้นหิน ซึ่งใช้เป็นดัชนีเบื้องต้นที่บ่งบอกถึงความพรุนของชั้นหิน

Density log ถูกใช้เป็นเครื่องมือวัด

- ▶ ค่าความหนาแน่นของชั้นหิน (bulk density)
- ▶ ความพรุนของชั้นหิน
- ▶ จำแนกชนิดของแร่ประกอบหิน
- ▶ ตรวจสอบการสะสมตัวของก๊าซในชั้นกักเก็บ
- ▶ หาค่าความหนาแน่นของไฮโดรคาร์บอน
- ▶ ประเมินคุณสมบัติของ ชั้นทรายที่มี shale ปนอยู่ (shaly sands)
- ▶ เนื้อหินที่ซับซ้อน (complex lithology)
- ▶ คำนวณค่าความดันที่เกิดจากตะกอนที่ปิดทับอยู่ด้านบน (overburden pressure)
- ▶ ประเมินค่าของ oil-shale
- ▶ ตรวจสอบสมบัติทางกลของหิน

ความหนาแน่นของชั้นหินที่วัดได้เป็นความหนาแน่นรวมของเนื้อหิน (matrix) หรือแร่ที่ประกอบหิน (rock-forming minerals) และของเหลว (fluid) ที่อยู่ในช่องว่าง == Bulk density

Principle of Density Log

- ▶ เมื่อธาตุกัมมันตรังสี (Cs-137 หรือ Co-60) ปลดปล่อยรังสีแกมมาพลังงานปานกลางเข้าไปในชั้นหิน รังสีแกมมาเหล่านี้เมื่อชนกับอิเล็กตรอนจะสูญเสียพลังงาน บางส่วนให้กับอิเล็กตรอนและถูกดูดกลืนอยู่ในชั้นหิน
- ▶ ชั้นหินที่มีความหนาแน่นมาก ปริมาณการชนของรังสีแกมมาขึ้นกับจำนวนอิเล็กตรอนก็จะมากขึ้นด้วย
- ▶ การดูดกลืนรังสีแกมมาในชั้นหินที่มีความหนาแน่นมาก จะดีกว่าในชั้นหินที่มีความหนาแน่นน้อย

- ▶ รังสีแกมมาที่เหลืออยู่จะเดินทางกลับมายังตัวตรวจจับรังสีแกมมา ทราบระยะห่างระหว่างแหล่งกำเนิดรังสีและตัวตรวจจับรังสีแกมมาก็สามารถคำนวณความหนาแน่นของชั้นหินได้

เนื่องจากความหนาแน่นของ Formation สามารถวัดได้จาก Density log สรุปได้ว่า หินเนื้อแน่น (Dense formation) สามารถดูดกลืนรังสีแกมมาได้ดี แสดงถึง high-density formations

หินที่มีความพรุน (Porous formation) สามารถดูดกลืนรังสีแกมมาได้น้อย แสดงถึง low-density formations

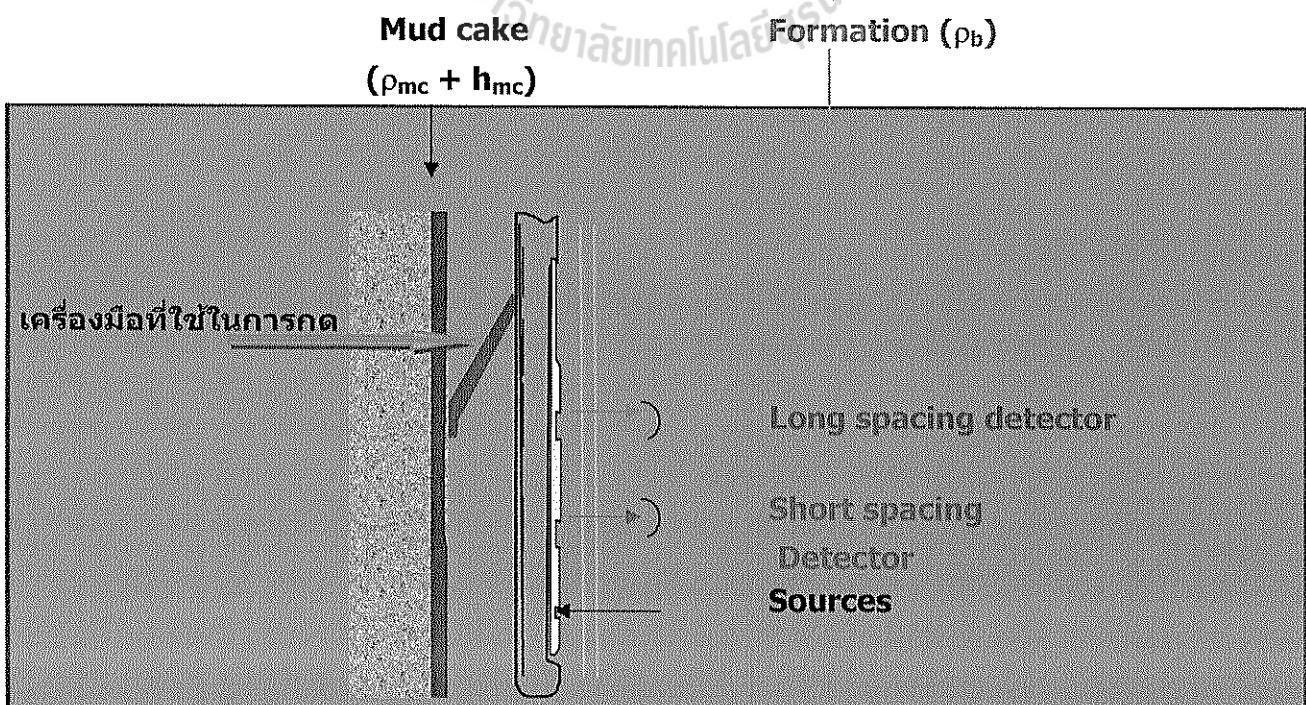
ดังนั้น ค่าความพรุนของชั้นหิน พิจารณาจากปริมาณการชนของรังสีแกมมากับอิเล็กตรอน ความหนาแน่นของอิเล็กตรอน สัมพันธ์กับความหนาแน่นรวมของชั้นหิน (true bulk density, ρ_b) ซึ่งขึ้นอยู่กับความหนาแน่นของส่วนประกอบทางแร่ของหิน ความพรุน และ ความหนาแน่นของของเหลวที่อยู่ในช่องว่าง

Type of Density Logs

1) Compensated formation density tool (FDC)

- ▶ เครื่องมือประกอบด้วยตัวปลดปล่อยรังสีแกมมา (source) ที่ติดตั้งด้านล่าง 1 ตัว และตัวตรวจจับรังสีแกมมา (scintillation detector) 2 ตัว
- ▶ ตัวที่อยู่ใกล้ตัวปลดปล่อยรังสีแกมมาเรียกว่า ตัวตรวจจับรังสีแกมมาตัวใกล้ (short-spacing detector) และ ตัวตรวจจับรังสีแกมมาตัวไกล (long-spacing detector)
- ▶ มีเครื่องมือที่ใช้ในการกดให้เครื่องมือติดกับผนังของหลุมเจาะ เพื่อให้รังสีแกมมาที่ปลดปล่อยออกมาเดินทางเข้าไปในชั้นหินโดยไม่ผ่านชั้นที่เป็น mud cake

Source of Compensated formation density tool (FDC)



Density porosity determination

ในกรณีของ clean formation ที่มีของเหลวอยู่ในช่องว่าง ค่าความพรุนที่ได้จาก density log และ φ_D คำนวณได้ตามสมการ

$$\rho_{log} = \rho_{ma} (1 - \varphi_D) + \rho_f \varphi_D$$

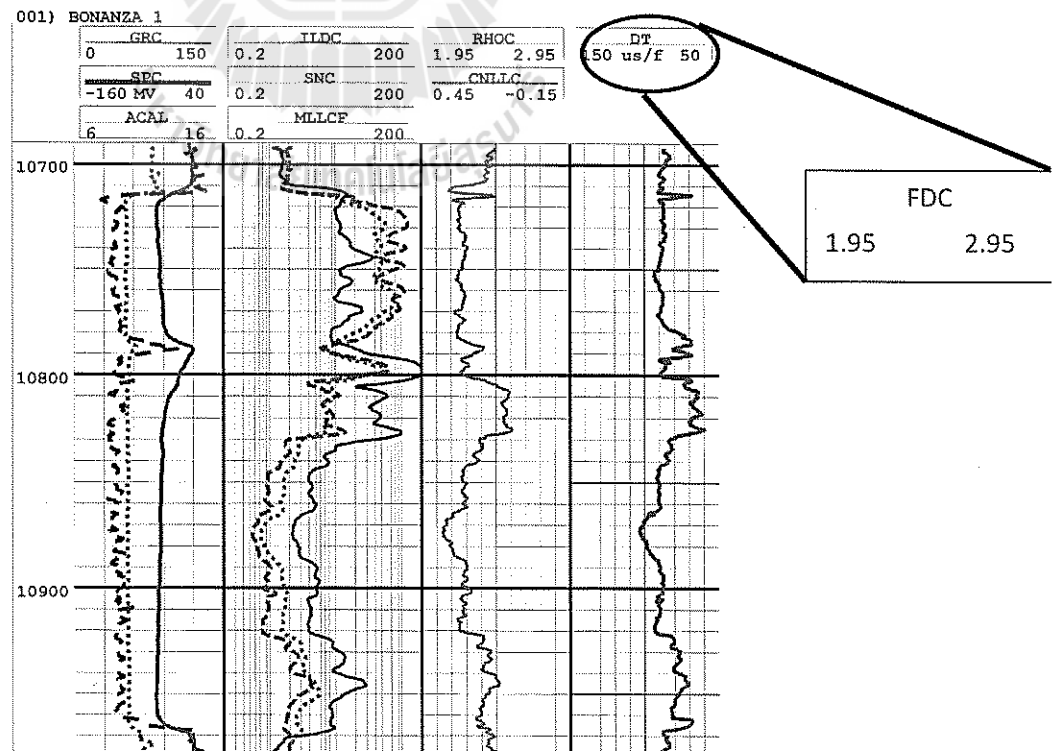
$$\varphi_D = \frac{\rho_{ma} - \rho_{log}}{\rho_{ma} - \rho_f}$$

หรือ

เมื่อ ρ_{ma} = ความหนาแน่นของ matrix
 ρ_{log} = ความหนาแน่นที่อ่านได้จาก log
 ρ_f = ความหนาแน่นของของเหลว

- ▶ Bulk density, ρ_b , is dependent upon:
 - ▶ Lithology
 - ▶ Porosity
 - ▶ Density and saturation of fluids in pores
 - ▶ Saturation is fraction of pore volume occupied by a particular fluid (intensive)

BULK DENSITY LOG



Some effects on density log

1. Borehole effect

เนื่องจาก density tool ถูกกดให้ติดกับผนังหลุมเจาะ ดังนั้นใน บริเวณที่ผนังหลุมเจาะขรุขระหรือมี washout จะมีผลกับค่าที่อ่านได้ ดังนั้นค่า caliper ที่อ่านได้ จะถูกนำไปใช้ในการแก้ไขค่า

2. Hydrocarbon effect

ชั้นหินที่เป็น oil-bearing formation เนื่องจากความหนาแน่นของน้ำมันและน้ำมีค่าใกล้เคียงกันมาก จึงไม่สามารถแยกให้เห็น ความแตกต่างได้จาก density log

แต่ใน gas bearing formation ค่าความหนาแน่นมีค่าน้อยกว่าน้ำ ดังนั้น density log ที่อ่านได้จึงมีค่าน้อยกว่าปกติ

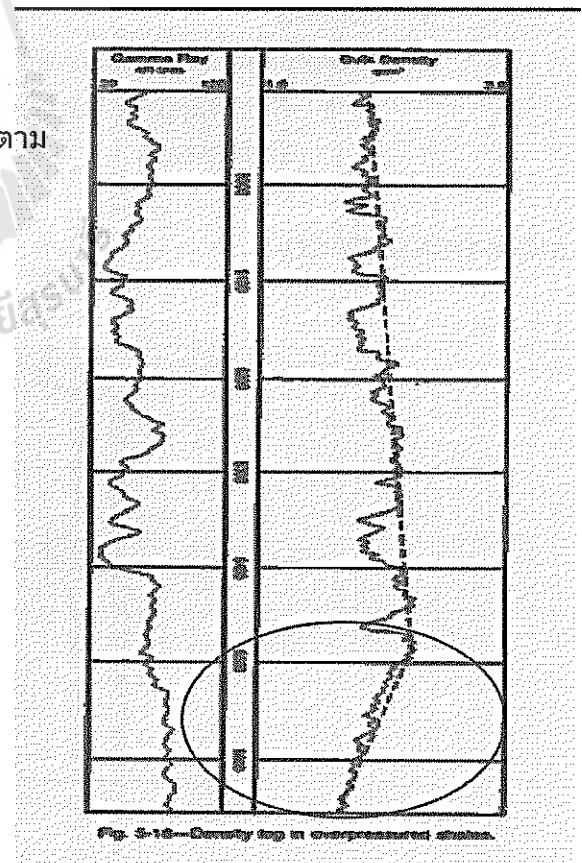
3. Effect of shale

ในชั้นหินที่มี shale หรือ clay อยู่ ถึงแม้ว่าสมบัติของ shale อาจเปลี่ยนแปลงไปบ้างในแต่ละชั้นหิน แต่ความหนาแน่นของ shale จะอยู่ในช่วง 2.2 ถึง 2.65 g/cm³ แนวโน้มค่าของความหนาแน่นของ shale เพิ่มขึ้นตามความลึกและ compaction

ดังนั้นในชั้นหินที่ shale ที่ไม่ compaction หรือ เป็นชั้นหินที่มี clay อยู่ในช่องว่าง ค่าความหนาแน่นของชั้นหินที่อ่านได้จะมีค่าน้อยกว่าปกติ

4. Effect of pressure

โดยปกติแนวโน้มของความหนาแน่นของ shale เพิ่มขึ้นตามความลึกและการอัดตัว (compaction) แต่ในบริเวณ overpressure ความหนาแน่นของ shale ลดลง เมื่อความลึกเพิ่มขึ้น มักพบได้ มากในบริเวณที่อยู่ใกล้ high-pressure permeable sands



ประโยชน์ของ Density Logs

1. การวัดค่าความหนาแน่นสามารถนำไปช่วยในการแปลความหมาย การสำรวจด้านแรงโน้มถ่วงและการสำรวจด้านคลื่นไหวสะเทือนได้
2. เมื่อใช้ร่วมกับ neutron, sonic log และ log ชนิดอื่นๆ สามารถ บอกถึง lithology ได้
3. ใช้ร่วมกับ neutron และ resistivity log ในการกำหนด gas-oil, gas-water, oil-water contact

6.2 Neutron log

- ▶ Neutron log เป็นเครื่องมือที่ถูกนำมาใช้ในการหาชั้นหินที่มีความพรุน (porous rock) และค่าความพรุนของชั้นหินนั้นโดยตรง
- ▶ เครื่องมือจะตรวจสอบปริมาณของไฮโดรเจนในชั้นหิน โดยสมมติฐานว่าช่องว่างในเนื้อหินมีของเหลวอยู่ ซึ่งของเหลวนี้อาจ เป็นน้ำหรือน้ำมัน
- ▶ ในการตรวจสอบชั้นหินที่มีก๊าซสะสมตัวอยู่ neutron log จะต้องใช้ควบคู่กับเครื่องมือชนิดอื่น เช่น GR, resistivity log หรือ core

Neutron log

: เป็นการตรวจวัดจำนวนอนุภาค neutron ที่ถูกปล่อยออกจากแหล่งกำเนิด (source) ที่เป็นธาตุ Americium-241 และ Beryllium-226

โดยเมื่ออนุภาคของ Americium-241 ถูกปล่อยออกมาและชนกับ Beryllium ก็จะทำให้เกิดการปล่อยนิวตรอนออกมา แต่บางครั้งอาจใช้คู่ของธาตุ Plutonium-239/Beryllium-226 หรือ Radium-226/Beryllium-226 เป็นตัวกำเนิดอนุภาคของนิวตรอนก็ได้

: จากนั้นอนุภาคของนิวตรอนที่ถูกปล่อยออกมาจะเดินทางเข้าไปในชั้นหิน และบางส่วนจะมีการชนกันกับอนุภาคของชั้นหินทำให้สูญเสียพลังงานไปหรืออาจอนุภาคบางส่วนถูกกักเก็บไว้ในชั้นหิน ก่อนที่ส่วนที่เหลือจะเดินทางกลับเข้ามาที่เครื่องมือตรวจวัด (detector)

: โดยพลังงานส่วนมากที่หายไปเกิดจากการที่อนุภาคของนิวตรอนไปชนกับ hydrogen ion ซึ่งเป็นส่วนประกอบหลักของน้ำ (H₂O) ดังนั้นพลังงานที่สูญเสียไปนี้จึงมีความสัมพันธ์โดยตรงกับปริมาณน้ำในช่องว่างของหิน ถ้าปริมาณอนุภาคนิวตรอนหายไปมาก แสดงว่าในช่องว่างของหินเหล่านั้นมีปริมาณน้ำอยู่มาก

หลักการทำงานของ Neutron Logging Tool

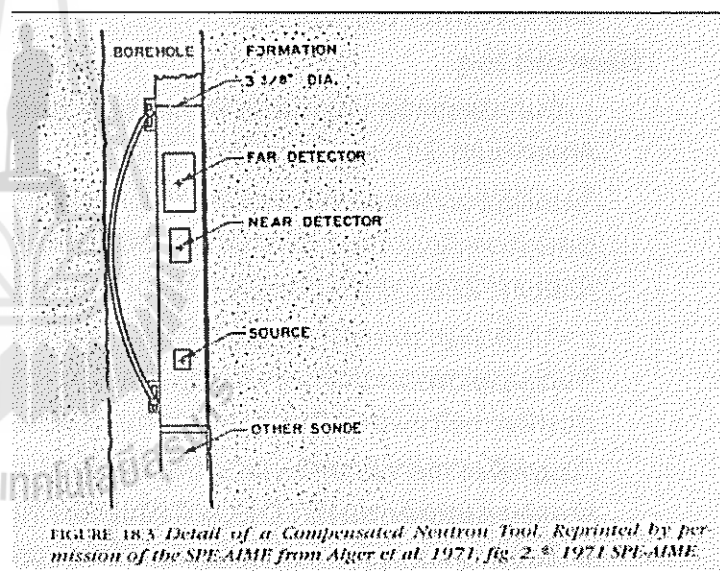
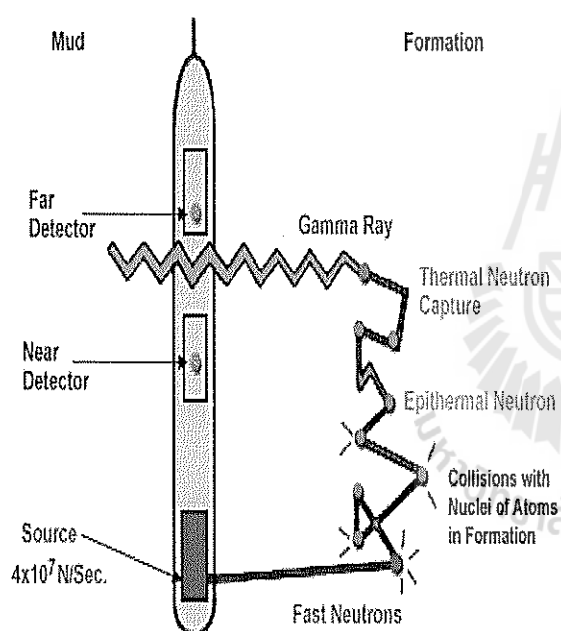
- 1) Logging tool emits high energy neutrons into formation
- 2) Neutrons collide with nuclei of formation's atoms
- 3) Neutrons lose energy (velocity) with each collision
- 4) The most energy is lost when colliding with a hydrogen atom nucleus
- 5) Neutrons are slowed sufficiently to be captured by nuclei
- 6) Capturing nuclei become excited and emit gamma ray

Equipment

เครื่องมือสำหรับนิวตรอนได้รับการพัฒนาขึ้นเป็นลำดับ จาก

1. Gamma ray/Neutron Tool (GNT) ซึ่งประกอบด้วย แหล่งกำเนิด อนุภาคนิวตรอน 1 ตัว และ ตัวรับรังสีแกมมา (Scintillation หรือ Geiger-Mueller detector) 1 ตัว เนื่องจากอิทธิพลจากหลุมเจาะมีมากทำให้ค่าความพรุนที่วัดได้ผิดพลาดได้มาก เครื่องมือชนิดนี้ จึงไม่มีการใช้แล้วในปัจจุบัน
2. Sidewall neutron porosity tool (SNP) or Neutron-epithermal neutron log (CNT-G) ซึ่งในปัจจุบันมีใช้น้อยแล้วเช่นกัน
3. เครื่องมือที่ยังใช้ในปัจจุบันเป็น Compensated neutron logging (CNL) และ Dual-energy neutron logging (DNL)

Compensated neutron logging (CNL)

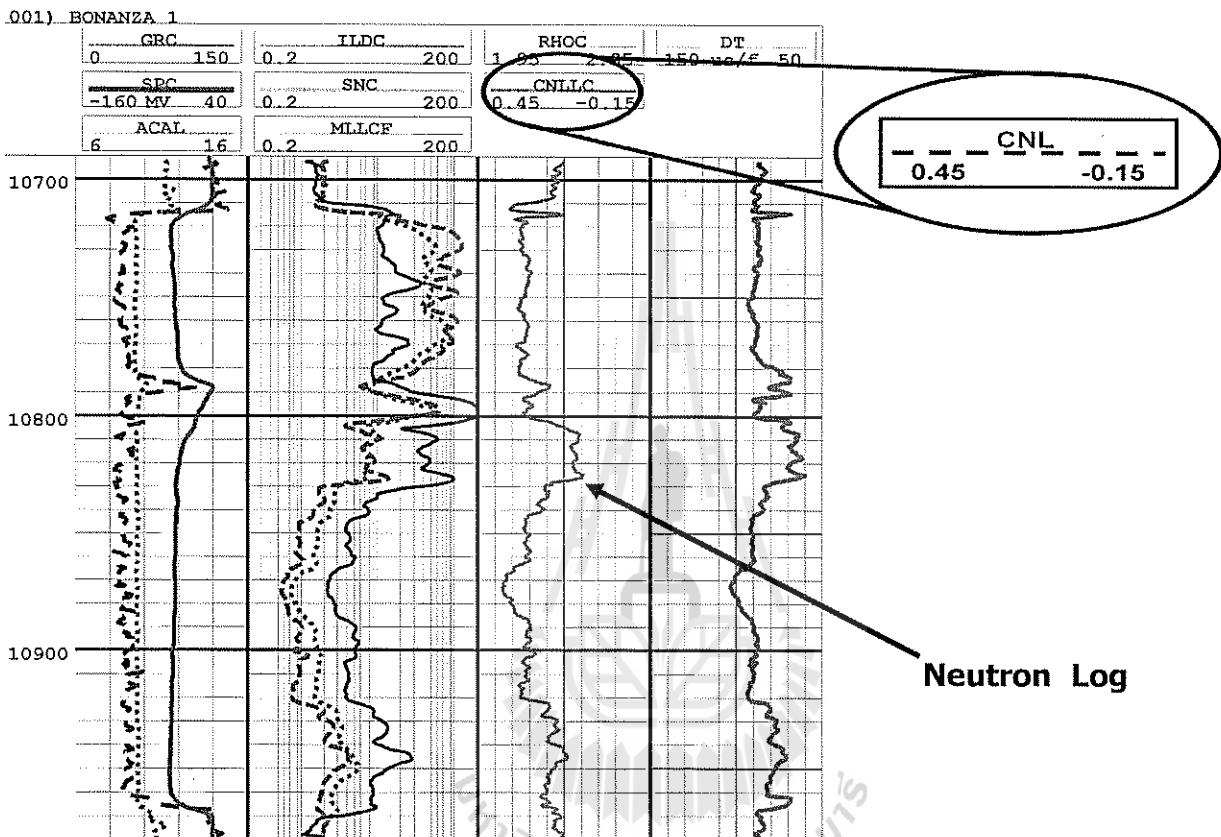


Log presentation

- ▶ ค่าความพรุนที่ได้จาก SNP logging จะถูกบันทึกและเขียนออกมา ใน scale เชิงเส้น trace ที่ 2 และ 3 ได้โดยตรง ค่าที่อ่านได้จาก log อาจต้องมีการแก้ค่าผิดพลาด เนื่องจากน้ำหนักของน้ำโคลน ความเค็ม อุณหภูมิและขนาดของบ่อ
- ▶ CNL tool และ DNL tool จะแสดงค่าความพรุนโดยอ้างอิงกับชนิดของหินที่กำหนดไว้ ซึ่งอาจเป็น หินปูน หรือ หินทราย เมื่อชนิดของหินเปลี่ยนไปจากที่กำหนดไว้ จะต้องมีการคำนวณแก้ค่าในกรณีที่ใช้ CNL log ทำการวัดข้อมูลร่วมกับ porosity log ตัวอื่น เช่น Compensated density (FCD)

- ▶ ค่าความพรุนที่อ่านจาก neutron tool และความหนาแน่นที่อ่านได้จาก density tool อาจเขียนลงใน trace เดียวกันได้ เพื่อให้ง่ายต่อการแปลความหมายถึงค่าความพรุนและชนิดของหิน โดยเฉพาะอย่างยิ่งในบริเวณที่เป็นแหล่งสะสมตัวของก๊าซ

POROSITY FROM NEUTRON LOG



Environmental effect

1. Response to hydrocarbon

- ▶ Oil มีผลการตอบสนองของ neutron log ใกล้เคียงกับน้ำ
- ▶ Gas (มีปริมาณไฮโดรเจนน้อยกว่า) ซึ่งขึ้นอยู่กับอุณหภูมิและความดัน ดังนั้น ถ้ามีก๊าซอยู่ใกล้กับขอบของชั้นหินทำให้ปริมาณความหนาแน่นของไฮโดรเจนลดลง ค่าความพรุนที่อ่านได้ จะมีค่าน้อยกว่าปกติ ซึ่งจากการใช้ neutron log ร่วมกับ log อื่นๆ สามารถตรวจสอบบริเวณที่มีการสะสมตัวของ ก๊าซหรือเป็นบริเวณรอยสัมผัสระหว่างก๊าซและของเหลวใต้ (Gas-Oil Contact: GOC)

2. Shale, bound water

เนื่องจาก neutron log ตรวจสอบปริมาณไฮโดรเจนในชั้นหิน ซึ่งใน บางครั้งไฮโดรเจนอาจไม่เกี่ยวข้องกับของเหลวที่กักเก็บอยู่ในช่องว่างของชั้นหินก็ได้ เช่น น้ำที่อยู่ระหว่างโครงสร้างแต่ละชั้นของ shale ทำให้ค่าความพรุนที่อ่านได้ มีค่ามากกว่าความเป็นจริง

3. Effect of lithology

เนื่องจากค่าความพรุนที่อ่านได้จาก neutron log ถูกกำหนดให้ เปรียบเทียบกับหินชนิดหนึ่งๆ ซึ่งโดยทั่วไปใช้อาจหินปูน หรือ หินทราย ดังนั้น ถ้าเป็นการวัดค่าความพรุนในหินอื่น จึงจำเป็นต้องมีการคำนวณค่าความพรุนใหม่

ประโยชน์ของ Neutron Log

- ▶ SNP tool ถูกออกแบบให้ทำงานในหลุมเปิด และให้ค่าความพรุนที่ไม่มีผลเนื่องจากหลุมเจาะ ทั้งยังสามารถใช้ได้ดีกับหลุมเจาะที่ใช้อากาศเจาะ (air mud)
- ▶ Neutron tool เมื่อใช้ร่วมกับ resistivity tool, sonic tool หรือ density tool สามารถบอกถึงบริเวณที่มีการสะสมตัวของก๊าซ หรือไฮโดรคาร์บอนน้ำหนักเบาได้ หรือ ใช้ในการจำแนกชนิดของหินได้
- ▶ Neutron tool ใช้ในการตรวจสอบ gravel pack

Responses of porosity logs

- ▶ The three porosity logs:
 - ▶ Respond differently to different matrix composition
 - ▶ Respond differently to presence of gas or light oils
- ▶ Combinations of logs can:
 - ▶ Imply composition of matrix
 - ▶ Indicate the type of hydrocarbon in pores

6.3 Sonic or Acoustic log

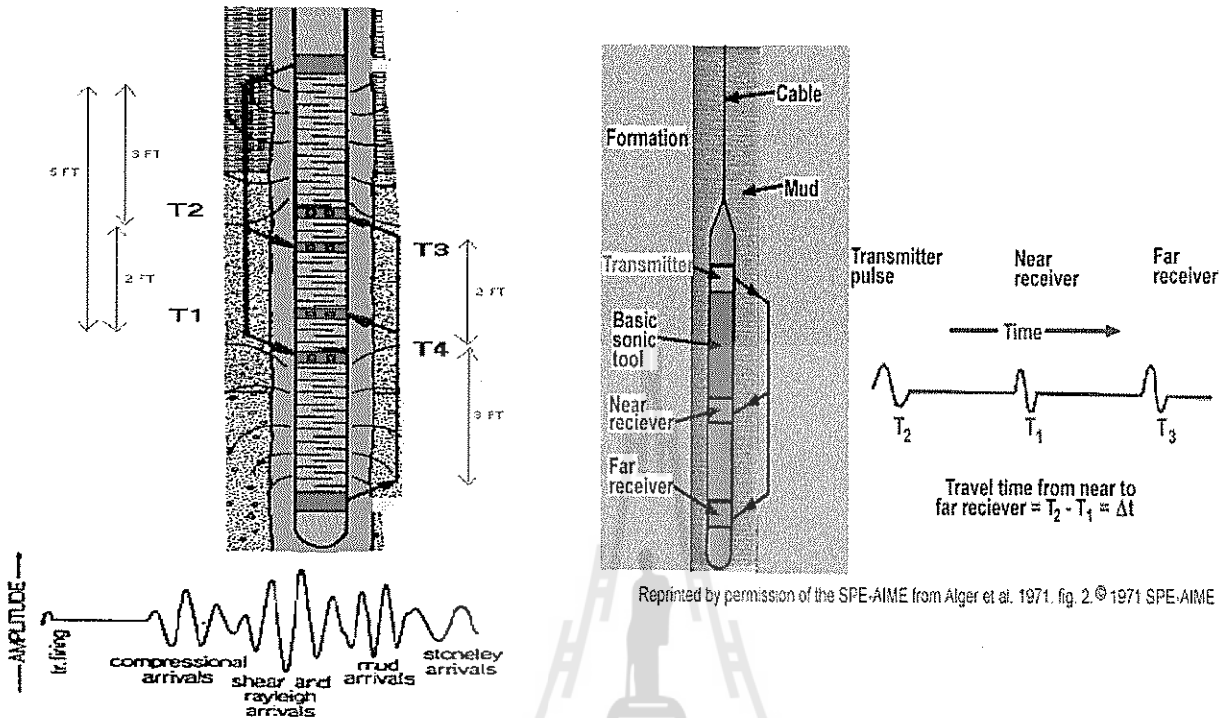
Sonic tool เป็นเครื่องมือที่ออกแบบเพื่อ

- ▶ การวัดค่าความพรุนของชั้นหิน ในหลุมเจาะที่มีของเหลวอยู่ โดยอาศัยความเร็วของคลื่นเสียงที่เดินทางผ่านเข้าไปในชั้นหิน
- ▶ ข้อมูลที่ได้จาก sonic tool ยัง ถูกนำไปใช้ประกอบการแปลความหมายข้อมูลการสำรวจด้านคลื่นไหวสะเทือน
- ▶ การกำหนดความเร็วคลื่นของชั้นหิน
- ▶ การทำ synthetic seismogram
- ▶ Sonic tool ประกอบด้วย ตัวส่งคลื่น (transmitter) ซึ่งเป็นตัวปลดปล่อยคลื่นเสียง (sonic pulse) และ ตัวรับสัญญาณ (receiver) ซึ่งเป็น piezoelectric ทำจาก lead zirconate titanate (PZT) เป็นตัวรับคลื่นเสียงที่เดินทางผ่านชั้นหินกลับมาถึงในรูปของความดัน ทำการเปลี่ยนสัญญาณที่เป็นความดันไปเป็นสัญญาณไฟฟ้า และส่งสัญญาณไปตามสายไฟฟ้าเพื่อการบันทึกข้อมูล

Principle of Neutron Log

- Tool usually consists of one sound transmitter (above) and two receivers (below)

- Sound is generated, travels through formation
- Elapsed time between sound wave at receiver 1 vs receiver 2 is dependent upon density of medium through which the sound traveled



Type of sonic log tool

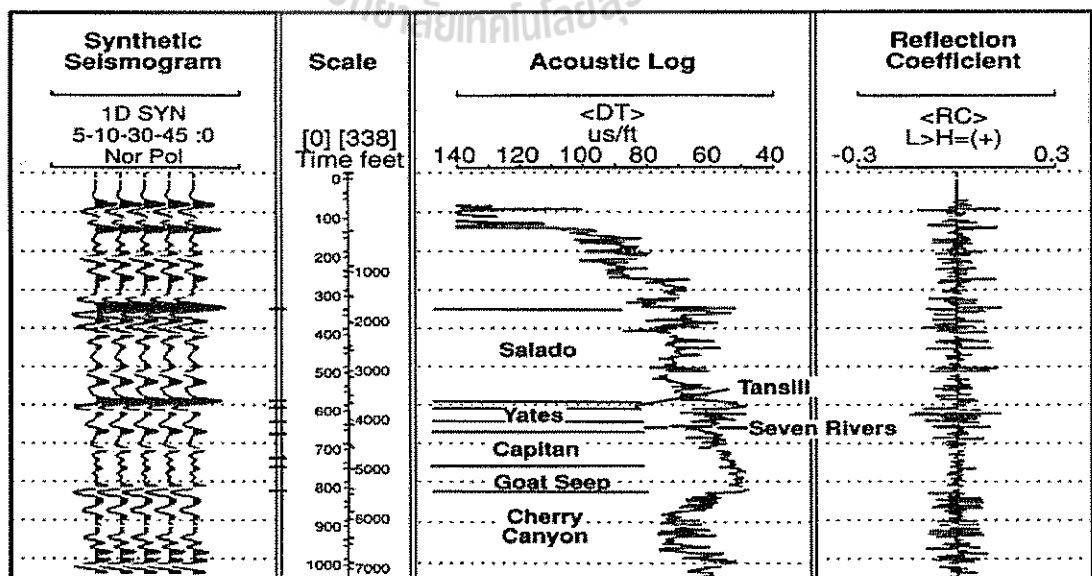
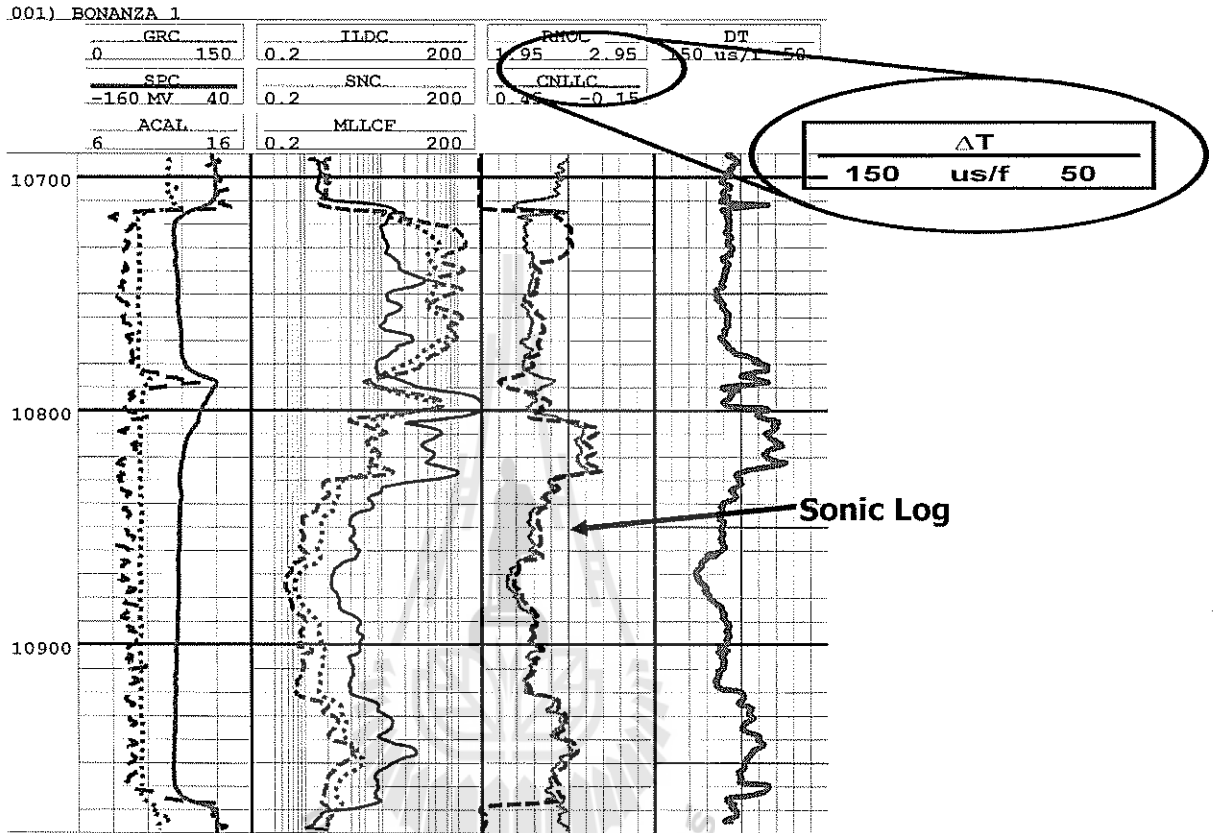
1. Conventional sonic tool
2. Borehole compensated sonic tool (BHC)
3. Long-spaced sonic tool (LLS) หรือ depth- derived borehole compensated
4. Array-sonic tool สามารถวัดได้ทั้งแบบ BHC log และ LSS log ใน open hole และ cement bond log (CBL) และ variable density log (VDL) ใน cased hole

Log presentation

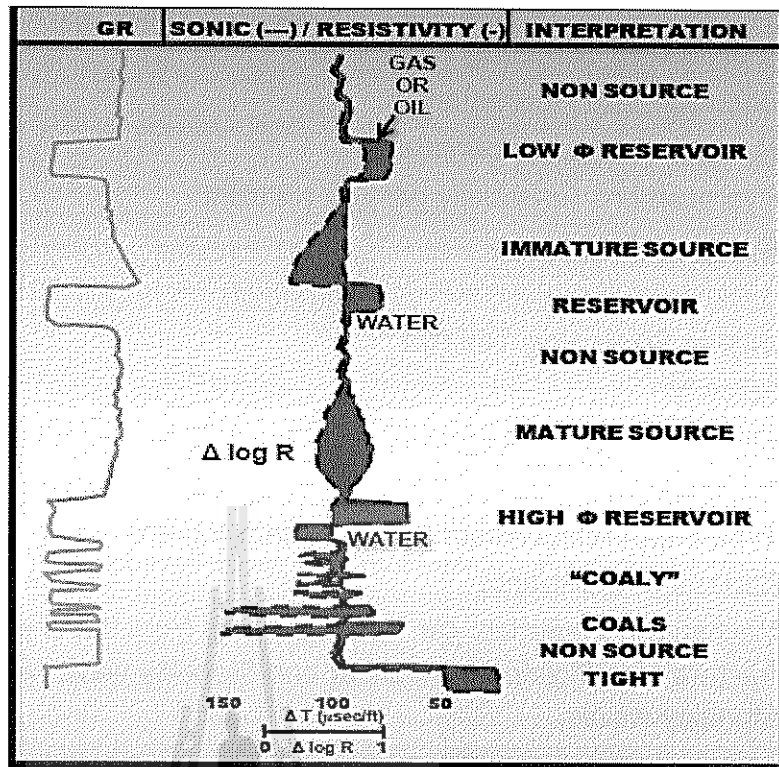
- ▶ ค่า interval transit time ของ sonic log มักแสดงไว้ที่ trace 2 และ 3
- ▶ เป็น scale แบบเชิงเส้น (linear scale) ในหน่วยของ $\mu\text{s}/\text{ft}$ โดยที่ค่า interval transit time (t) ที่เพิ่มขึ้นอยู่ทางด้านซ้ายของ trace ซึ่งหมายความว่า การเพิ่มขึ้นของค่าความพรุนด้วย ค่า t โดยปกติอยู่ในช่วงระหว่าง 40 ถึง 140 μs
- ▶ นอกจากผลที่ได้จาก sonic tool แล้วยังมีข้อมูลอีกชุดหนึ่ง แสดงเป็นชุดของขีดเล็กๆ (series of pips) อยู่ในบริเวณด้านซ้าย ของ trace 2 ซึ่งแต่ละขีดเล็กแสดง 1 millisecond ของ integrated travel time (TTI) ขีดใหญ่แสดง 10 msec ซึ่งแสดงถึงเวลาที่ ได้จากค่าเฉลี่ยของความเร็วของ

ชั้นหินพลีตเปรียบเทียบกับความลึกในแนวดิ่ง มีประโยชน์สำหรับหาความสัมพันธ์ ระหว่างเวลา และความลึกในภาพตัดขวางทางคลื่นไหวสะเทือน (seismic section)

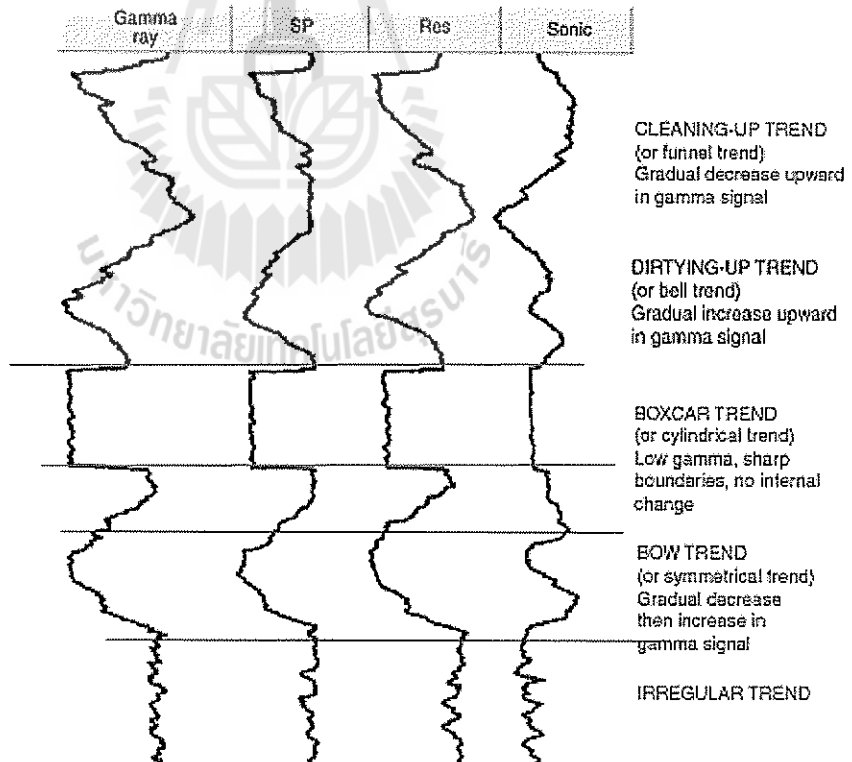
SONIC LOG GRAPH



Sonic vs. Resistivity



Sonic and other logs



Factors affecting sonic log response

1. Unconsolidated formation
2. Naturally fractured formations
3. Hydrocarbons (especially gas) ค่า t มากขึ้น
4. Rugose salt section

ประโยชน์ของ Sonic Log ได้ข้อมูล

1. Porosity
2. Volume of clay (V_S)
3. Lithology
4. Time-depth relationship: Synthetic seismogram
5. Reflection coefficients
6. Mechanical properties: can be determined from the shear and compressional waves, fracture identification from shear and Stoneley waves and permeability indication from Stoneley waves.

- ในกรณีของ gas-bearing zone จะสามารถสังเกตเห็นได้จากการลดลงของความเร็วของ compressional waves ทำให้เวลาที่คลื่นใช้ในการเดินทางเพิ่มขึ้น ค่า interval transit time (t) มากขึ้น
- ในชั้นหินที่ทราบสมบัติความยืดหยุ่น sonic log สามารถนำไปใช้ทำนายถึงบริเวณที่เหมาะสมสำหรับทำ hydrofracturing

Porosity determination by logging

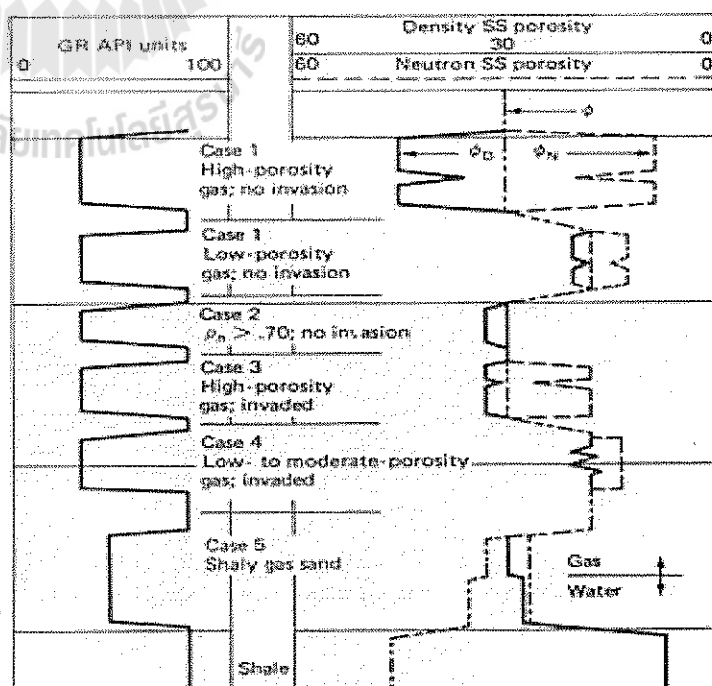
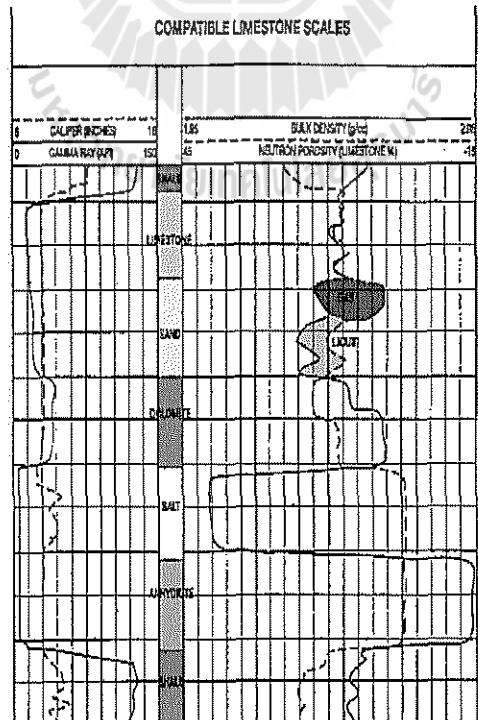
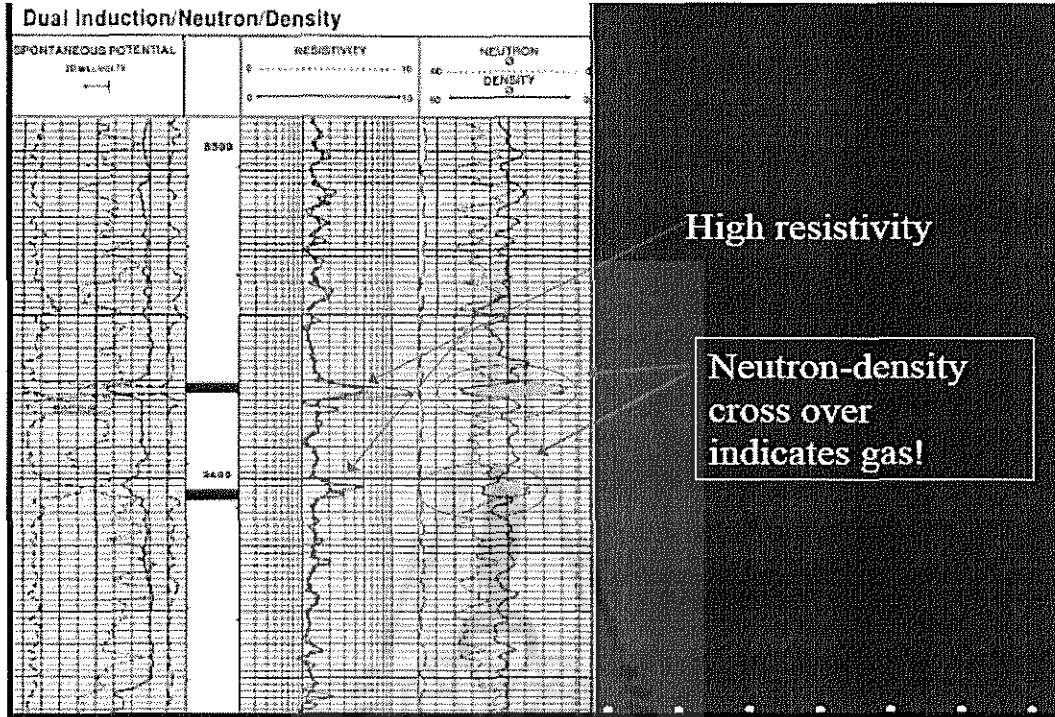


FIGURE 10-2 Schematic overlay of neutron (CNL) and density logs that shows the effect of gas and shale. (Truman et al., 1972.)

Gas Effect

- ▶ Density – Porosity is too high
- ▶ Neutron- porosity is too low
- ▶ Sonic- porosity is not significantly affected by gas



Summary of Combination of Wireline Logging

- 1) **Bed boundary:** Drilling rate may be compared with Sonic/GR logs and gave a good interpretative of bed boundary.
- 2) **Horizontal variation:** The same lithology interpretation of Mud log/Cores/Wireline logs may be used for Horizontal analysis
- 3) **Vertical variation:** Base line/Color/Curve separation of Mud log/Cores/Wireline logs may be used for vertical analysis
- 4) **Completion log:** Mud log+Cores+Wireline logs can be corroborated and compared for Completion/Final/Composite log
- 5) **Lithology:** GR, SP, Density & Neutron logs combination may indicates matrix type
- 6) **Fracture, Overpressure zone and Unconformity:** Density & Sonic logs combination, Dipmeter log may indicate those feature
- 7) **Source rock potential:** Density+Neutron+Resistivity+GR combination may indicates source rocks

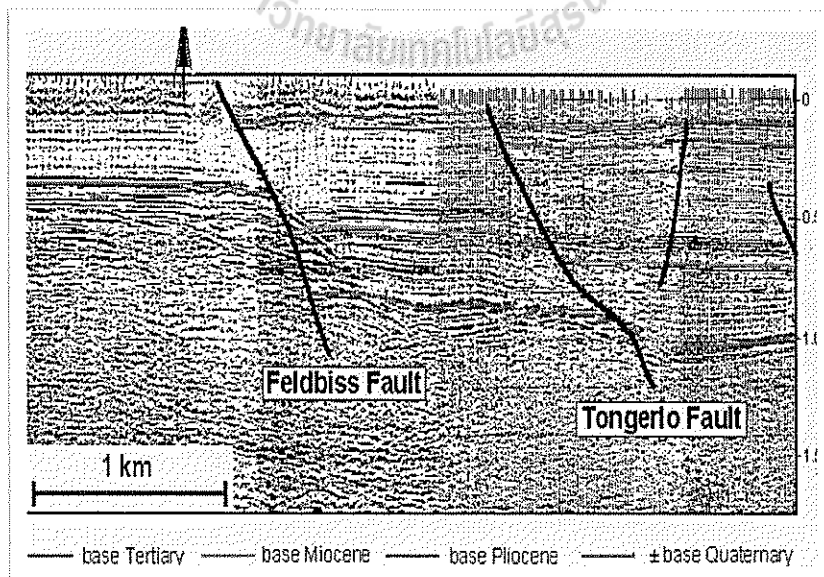
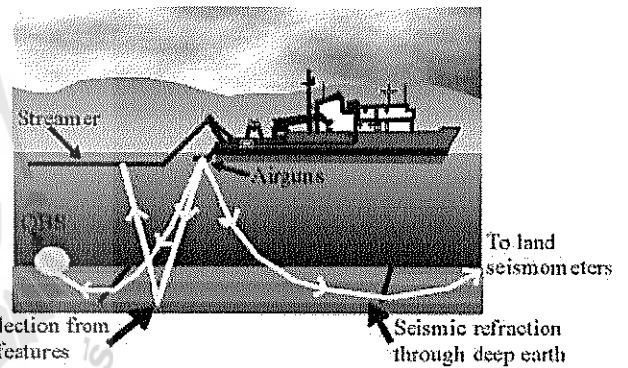
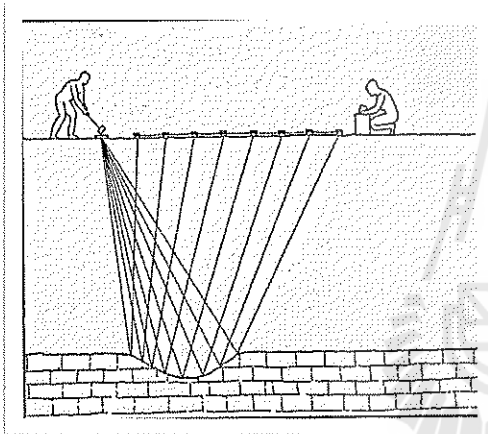
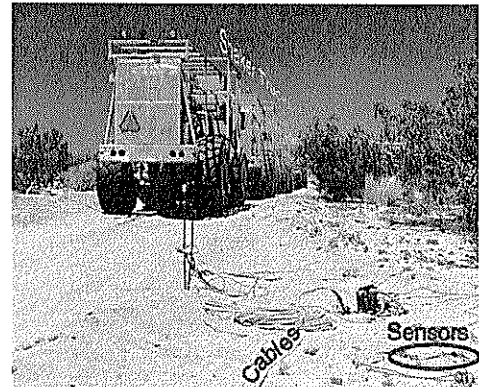


Seismic Interpretation

- Seismic stratigraphy is technique for interpreting stratigraphic information from seismic data
- The resolution of the seismic reflection follow gross bedding and as such they approximate time line

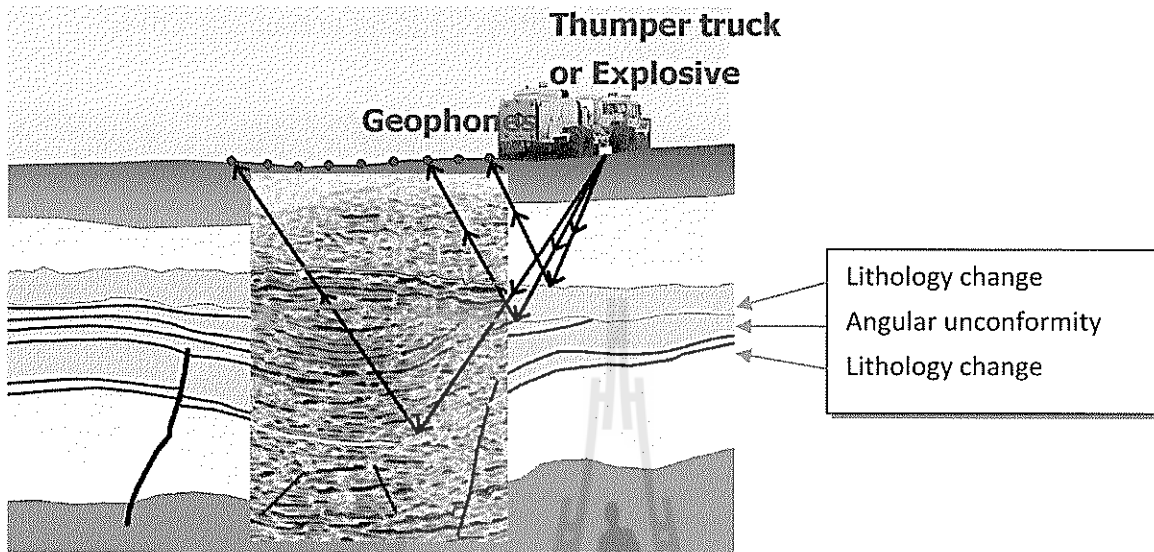
Seismic Reflection

- The seismic reflection method works by bouncing sound waves off boundaries between different types of rock.
- The reflections recorded are plotted as dark lines on a seismic section.

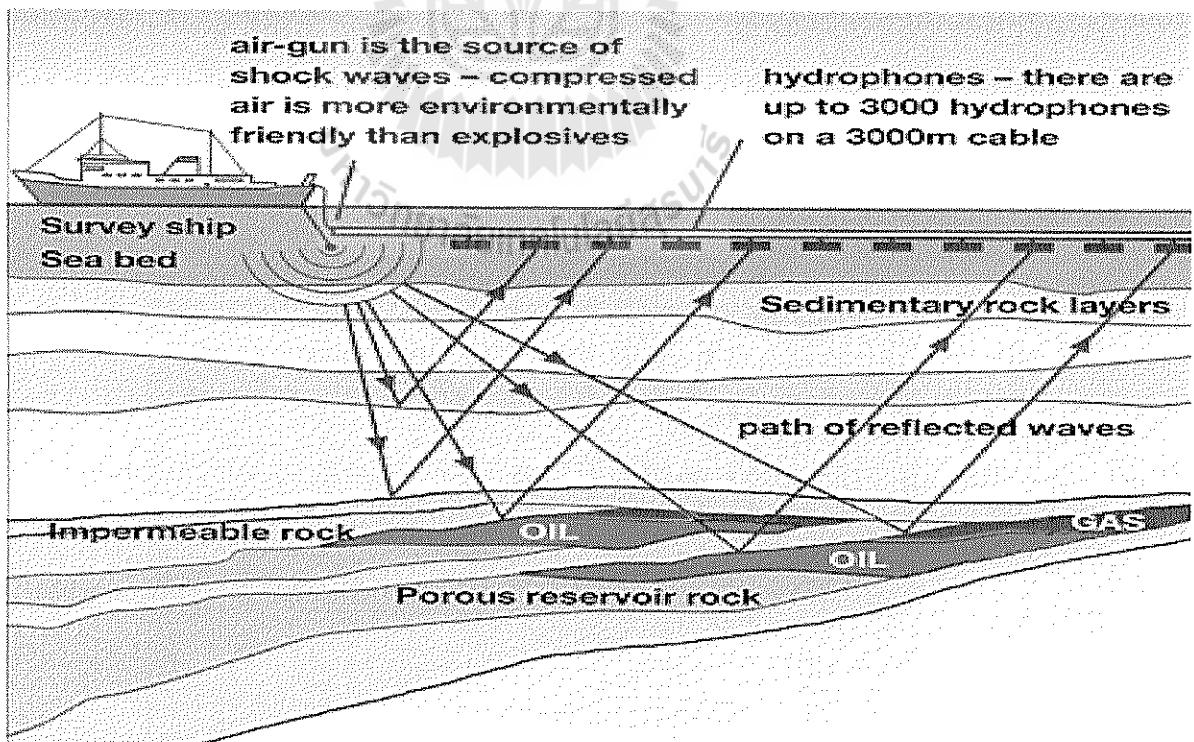


Seismic acquisition onshore

- Seismic horizons represent changes in density and allow the subsurface geology to be interpreted.



Seismic acquisition offshore



Application of Seismic reflection

1. Seismic Facies Analysis
2. Seismic Stratigraphic Analysis
3. Seismic Sequence Analysis

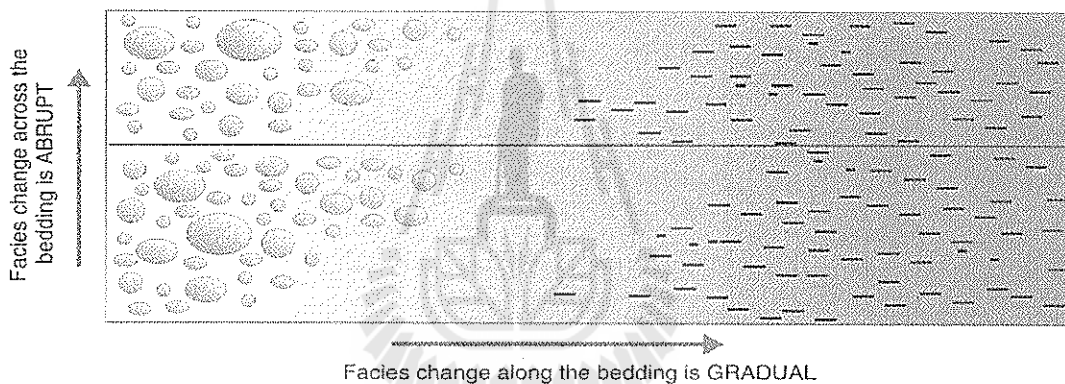
1. Seismic Facies Analysis

3-D units of reflection indicating:

- 1.1 Configuration and Continuity
- 1.2 Amplitude
- 1.3 Geometry of the reflection package

All are resulting from the depositional environment

Seismic Reflection vs. Facies change



- The key is that the contrast represented by seismic lines come from bedding surface and not lateral variations (facies changes).

1.1 Seismic reflection configuration & continuity

Configuration:

- 1) Parallel/Sub-parallel Configuration
(Uniform rate of deposition or subsidence)
- 2) Divergent Configuration
(Differential rate of deposition or subsidence)
- 3) Clinoform Configuration
 - **Oblique unit:** Shallow water with high energy deposit
 - **Sigmoid unit:** Deeper water with low energy deposit

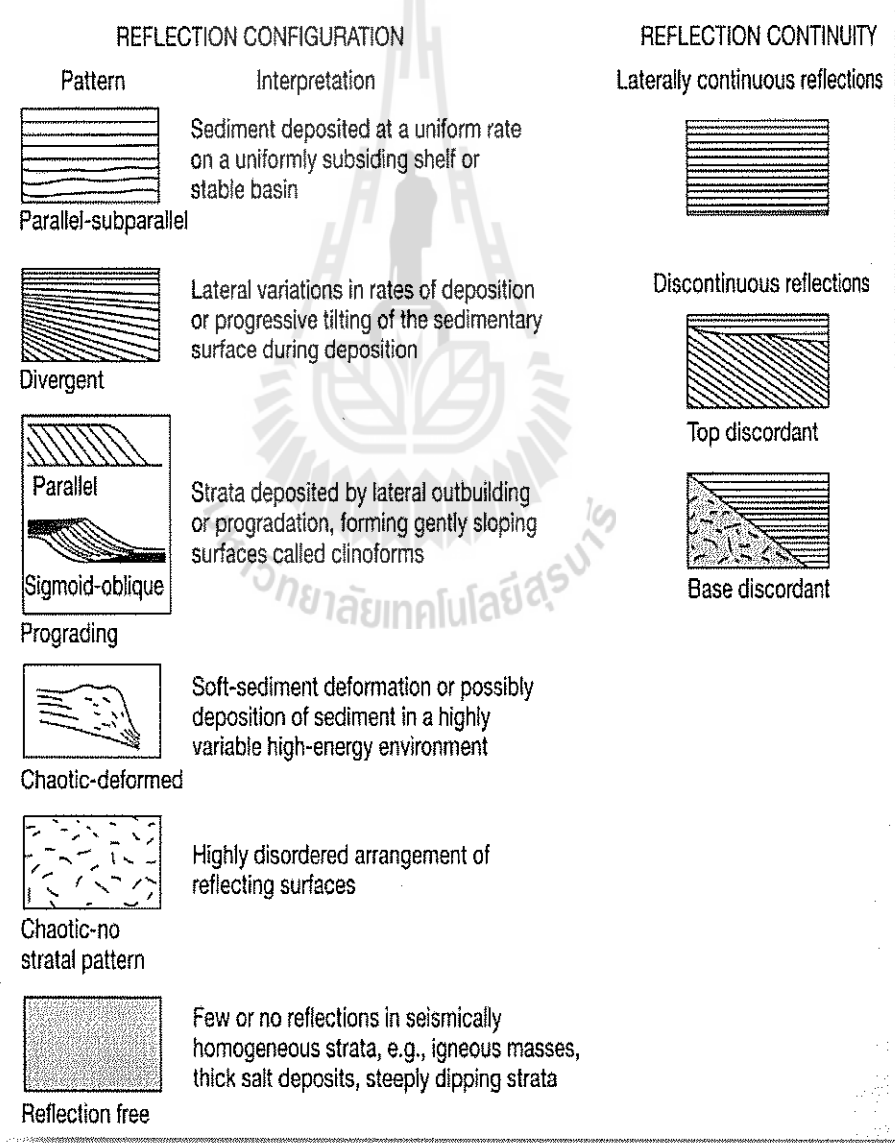
- **Hummocky unit:** Shallow water with storm deposit
- **Shingled unit (Off-lap):** Continental shelf
- **Lenticular unit:** Submarine fan, Reef

Continuity:

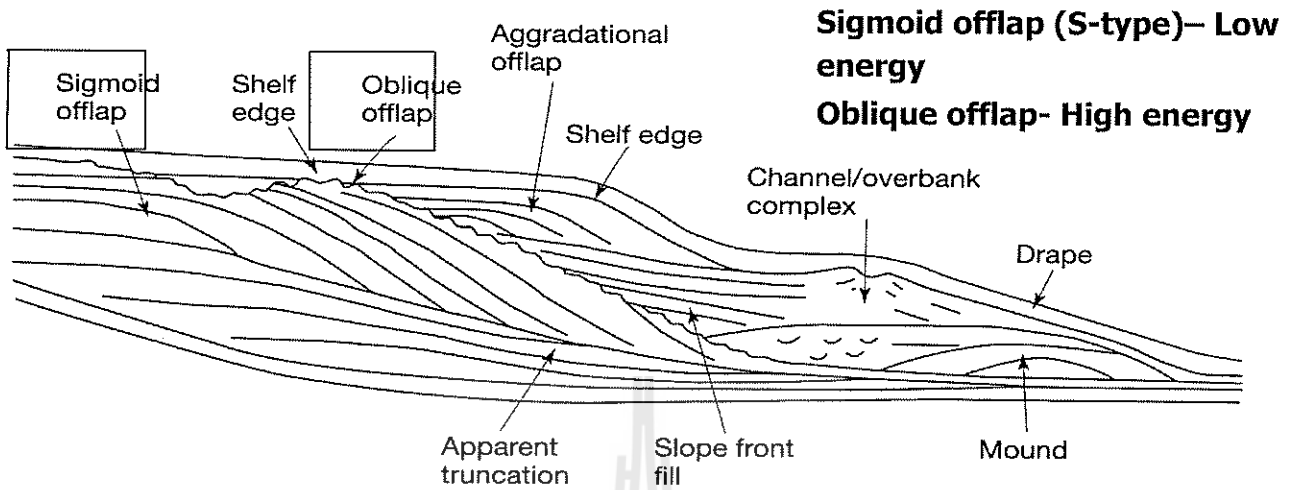
- Good Continuity: Large area with low energy deposit
- Poor Continuity: Small area with high energy deposit

Primary depositional conditions

– Parallel, divergent, prograding



Common Seismic facies patterns



Seismic facies unit – mappable, aerially definable, 3-D unit composed of seismic reflections, differ from adjacent units

A prograding clinoform pattern formed by a number of superposed sigmoid (s-shaped) reflections interpreted as strata with thin, gently dipping upper and lower segments, and thicker

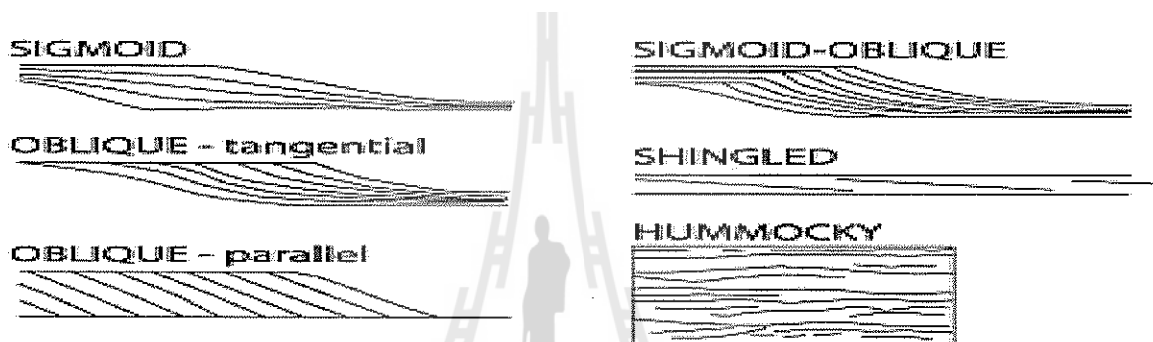


Sigmoid offlap (S-type) – Low energy

Oblique offlap- High energy



Clinoform pattern



Clinoform Profiles (from Mitchum, 1977)

1.2 Amplitude

- **Amplitude** – indicates bed thickness, and spacing
 - Fluid and gas in formation affect amplitude
 - Bright spots – dark bands

Depend on

1. Reflection frequency

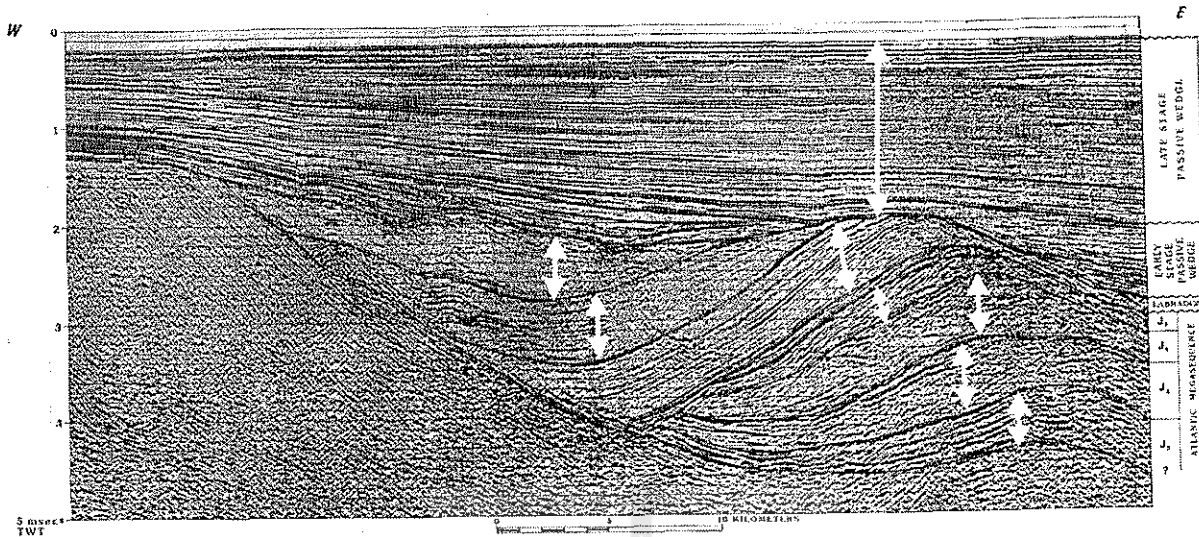
- number of oscillations of seismic waves per second, hertz (Hz) or kilohertz (KHz)
- Frequency of seismic waves induced by energy source used to create the waves

2. Interval velocity

- average velocity of seismic wave between reflectors.
- Porosity, density, external pressure and pore pressure affect this.

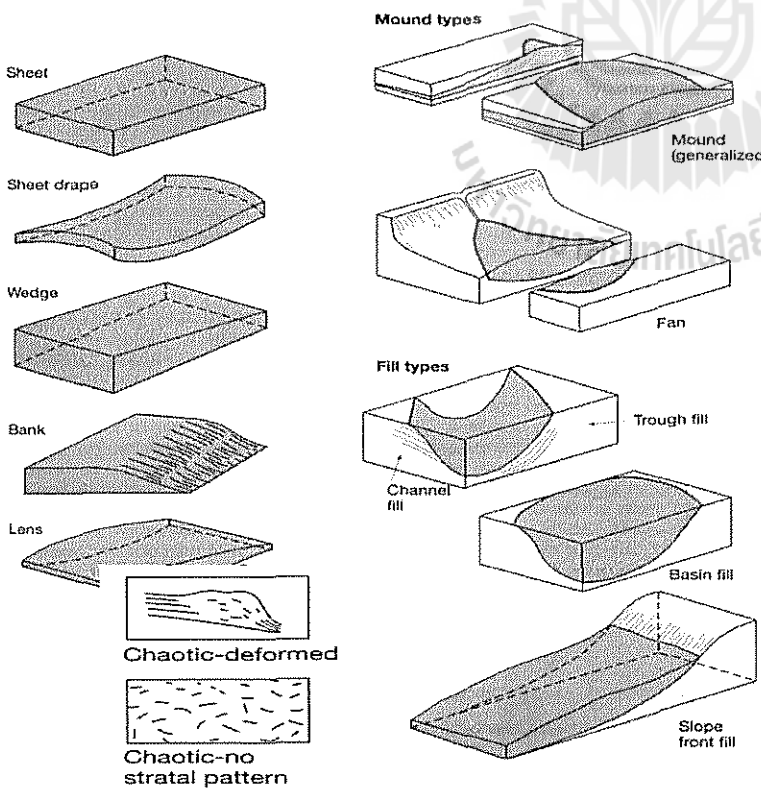
3. External form

- geometry of the stratigraphic body, seismic facies



Variable-Density Mode, waves of certain amplitude shaded black, other light colored

- If High Amp. & Good Continuity == Quiet water deposition (lake, lacustrine)
- If Low Amp. but Good Cont. == Deep sea



- High Amp. & Poor Continuity == Continental deposition

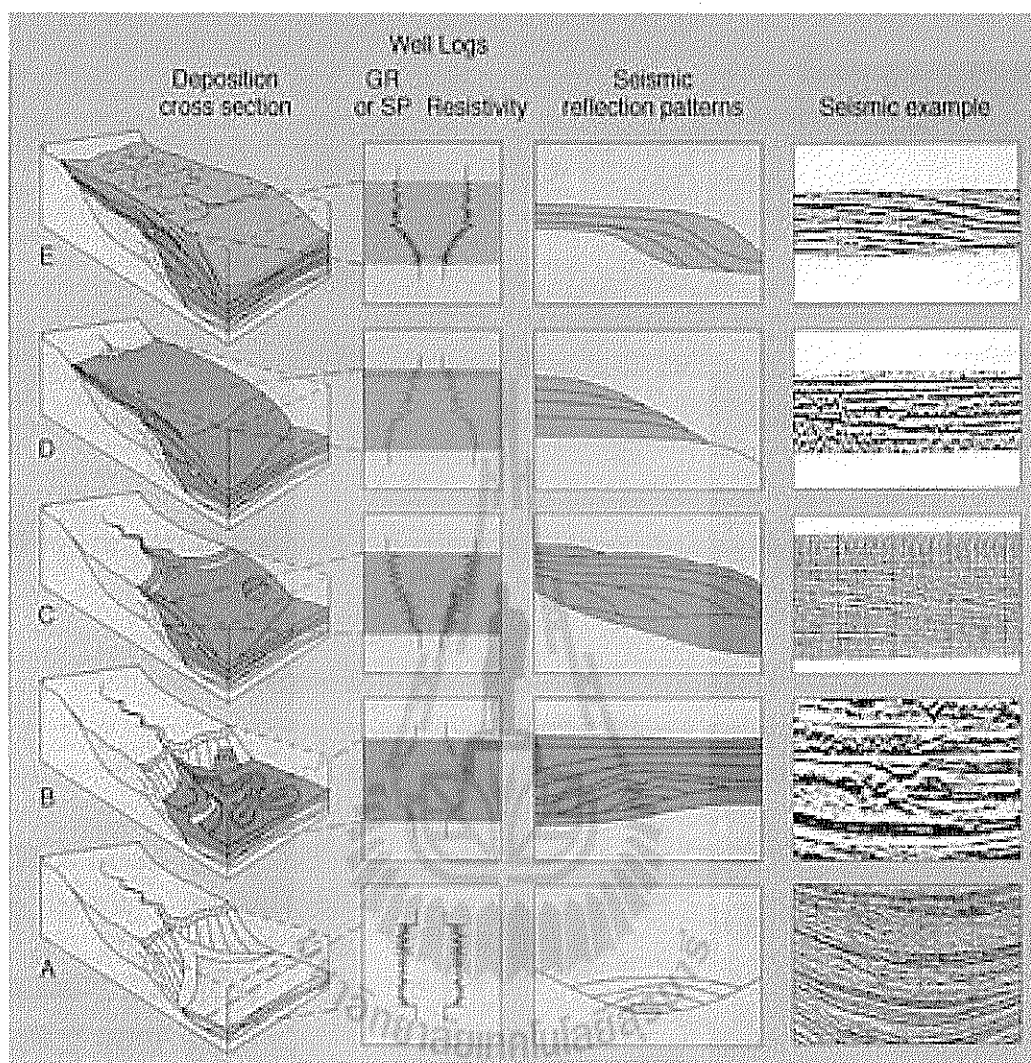
(Alluvial, Fluvial)

- High Amp. & Good Continuity == Quiet water deposition (lake, lacustrine)

- Low Amp. but Good Cont. == Deep sea

- High Amp. & Poor Continuity == Continental deposition (Alluvial, Fluvial)

Elements of sequence stratigraphic interpretation



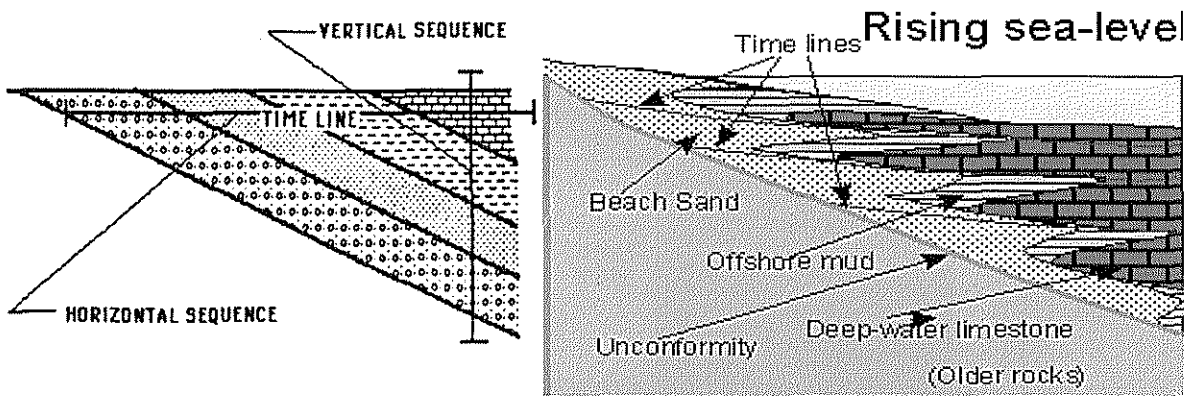
2. Seismic Stratigraphic Analysis

- Depositional processes interpreted from seismic profiles
- Based on analog from established stratigraphic and depositional models
- Used for: lithofacies changes, relief, topography of unconformities, paleobathymetry (depth relationships), burial history

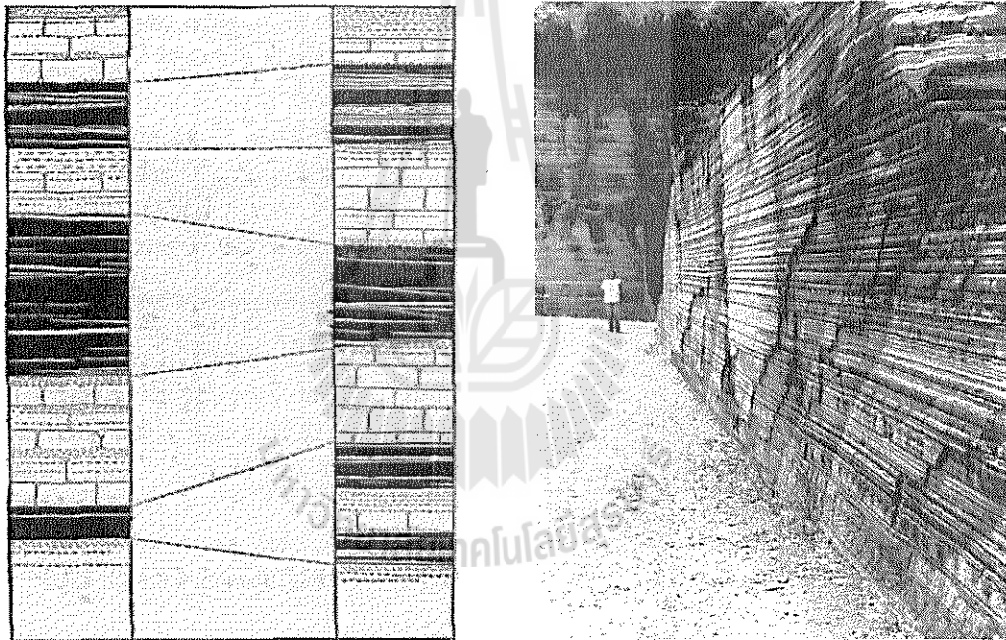
Time line

Time line can divide into 2 type:

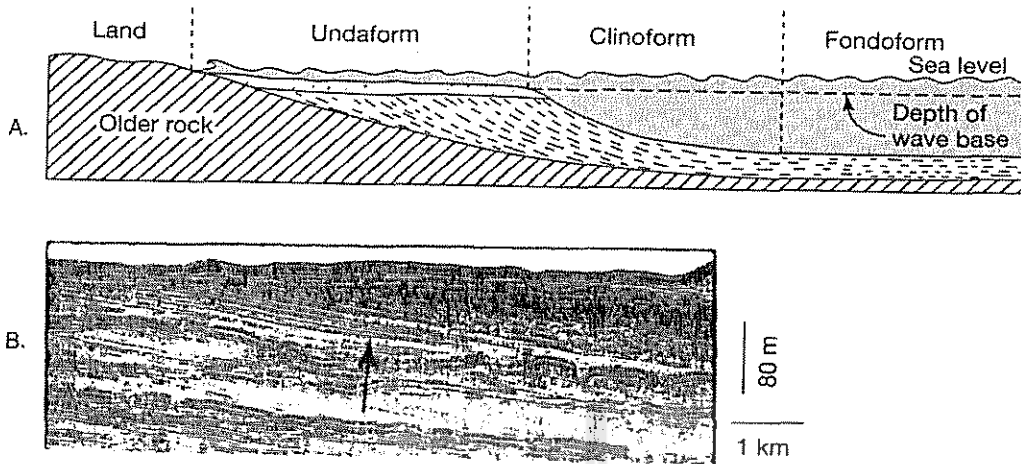
1. Chronostratigraphy : Parallel to bedding surface (เกิดในช่วงเวลาเดียวกัน)
2. Transgressive: Cross to bedding surface (ชั้นหินเกิดในเวลาที่แตกต่างกัน)



Parallel Bedding



Undaform, Clinoform and Fondoform

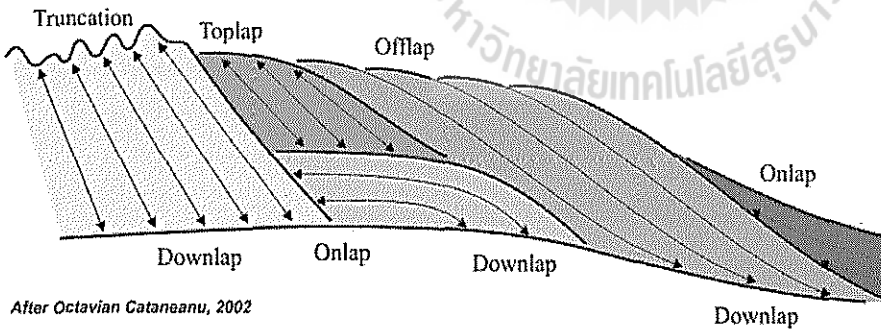


Depositional Environments in relationship to wave base.

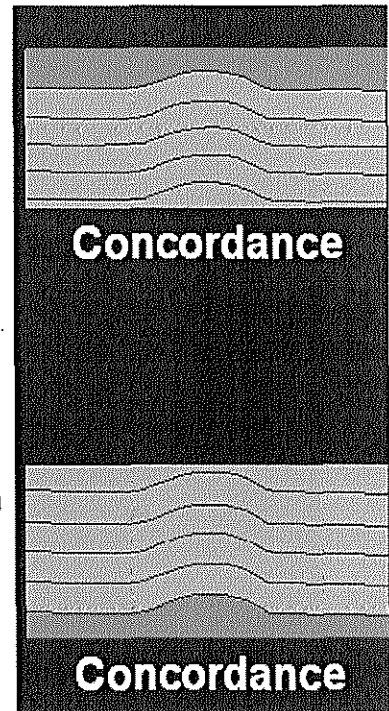
- (1) Unda for shallow water overlying the shelf,
- (2) Clino for the deeper water overlying the slope
- (3) Fondo for the deepest water covering the bottom of the basin

Internal Relationships

- **Concordant** – parallel to the sequence boundary
- **Discordant** – lack parallelism with sequence boundaries



After Octavian Cataneanu, 2002



Seismic Boundaries

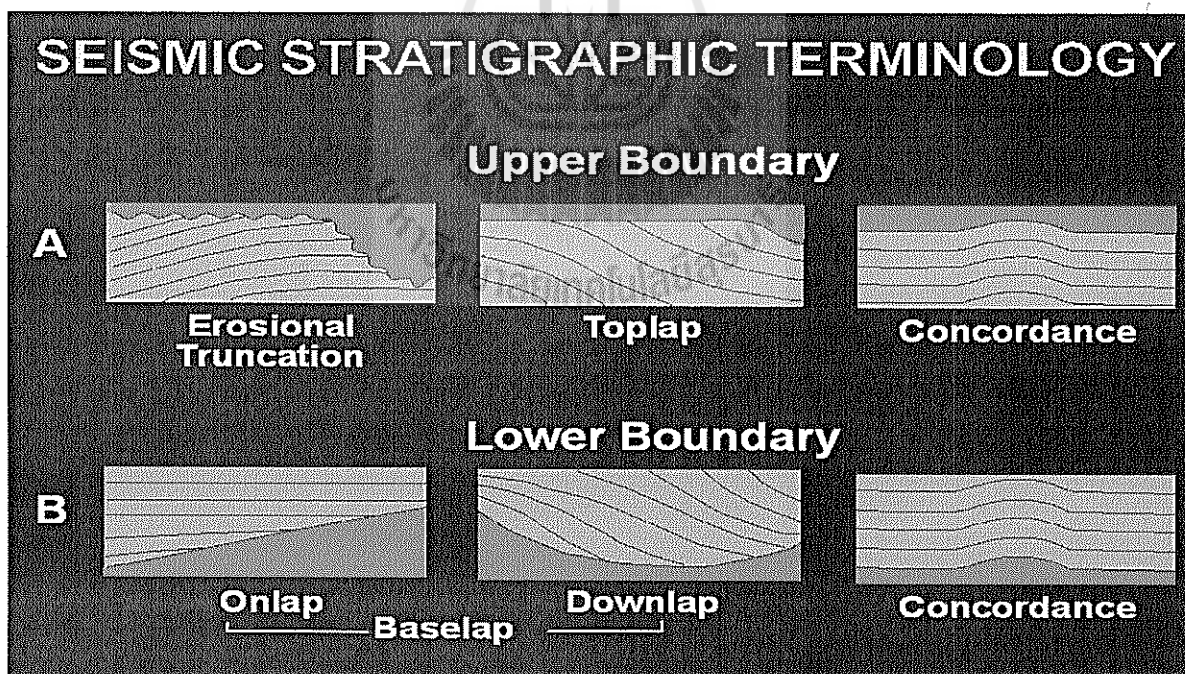
Termination below discontinuity, or upper sequence boundary :

- ❖ **Toplap:** termination of strata against an overlying surface, representing the result of non-deposition and/or minor erosion
- ❖ **Truncation** of sediment surface (same with toplap but have erosional surface)
- ❖ Often channel bottom

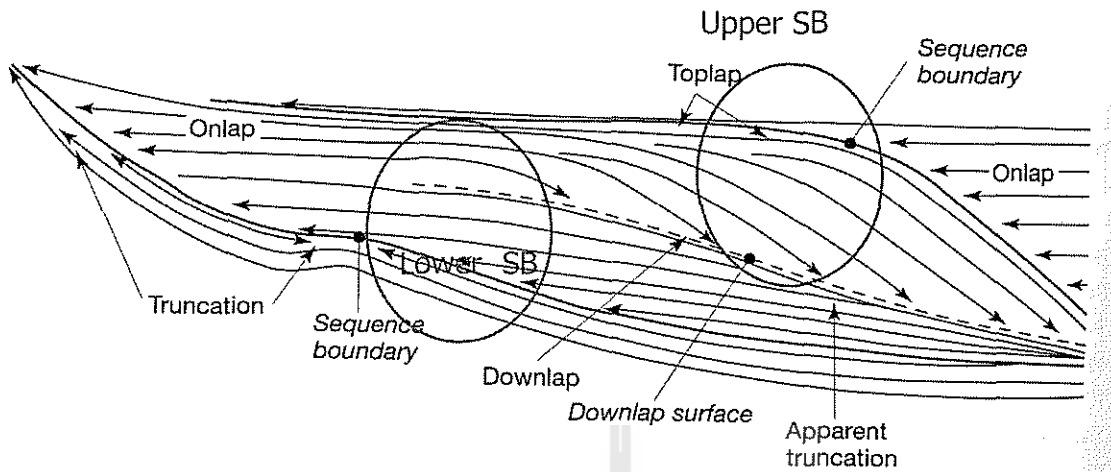
Termination above a discontinuity defining lower sequence boundary:

- **Onlap:** A base-discordant relationship in which initially horizontal strata progressively terminate against an initially inclined surface (Two Types: marine & coastal)
- **Downlap:** seismic reflections of inclined strata terminate downdip against an inclined or horizontal surface

Original Sequence Stratigraphic Approach (seismic stratigraphy) was based on recognition of unconformity-bound sequences using geometry and termination patterns of seismic reflectors.



Sequence Boundaries, Downlap, Reflection termination

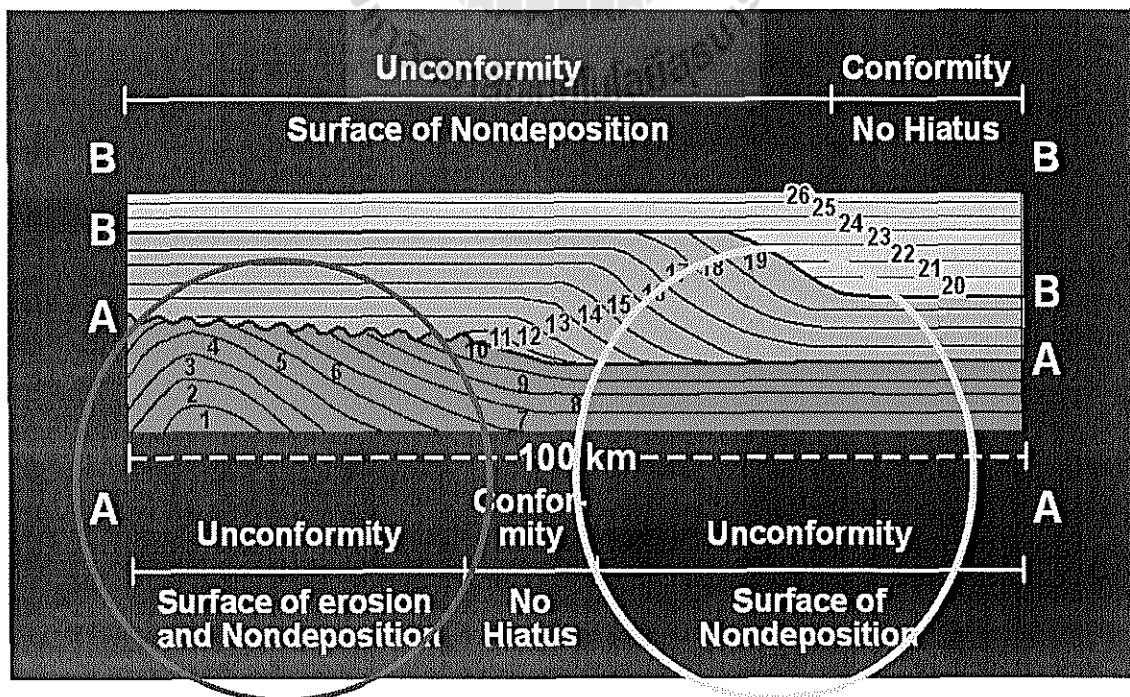


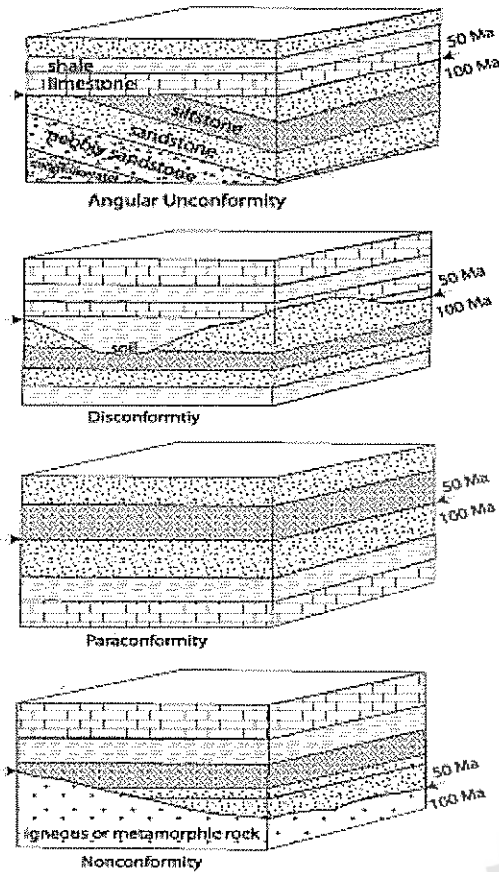
Above discontinuities (Lower boundary) – onlap, downlap

Below discontinuities (Upper boundary) – truncation, toplap, apparent truncation

Unconformities

- **Outcrop** – there are 4 kinds; Angular, Disconformity, Paraconformity and Nonconformity
- **Seismic stratigraphic** – 2 kinds of discontinuities – good reflectors
 - 1) **Erosional unconformity surface** – hiatus produced by subaerial or subaqueous erosional truncation
 - 2) **Downlap surfaces** – marine surfaces representing a hiatus without evidence of erosion.





Unconformities (redrawn from Boggs, 2001)

Unconformity (OUTCROP)

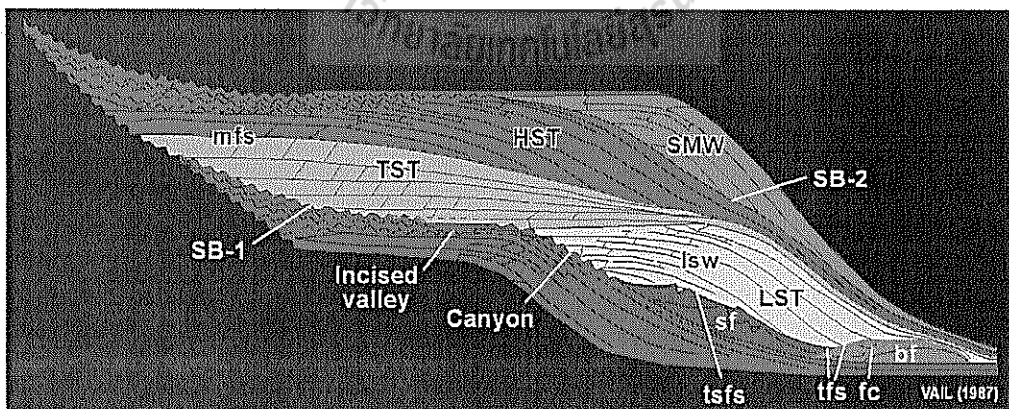
1) **Angular unconformity:** younger sediments rest upon the eroded surface of tilted or folded older rocks.

2) **Disconformity:** contact between younger and older beds is marked by a visible, irregular or uneven erosional surface.

3) **Paraconformity:** beds above and below the unconformity are parallel and no erosional surface is evident; but can be recognized based on the gap in the rock record.

4) **Nonconformity:** develops between sedimentary rock and older igneous or metamorphic rock that has been exposed to erosion.

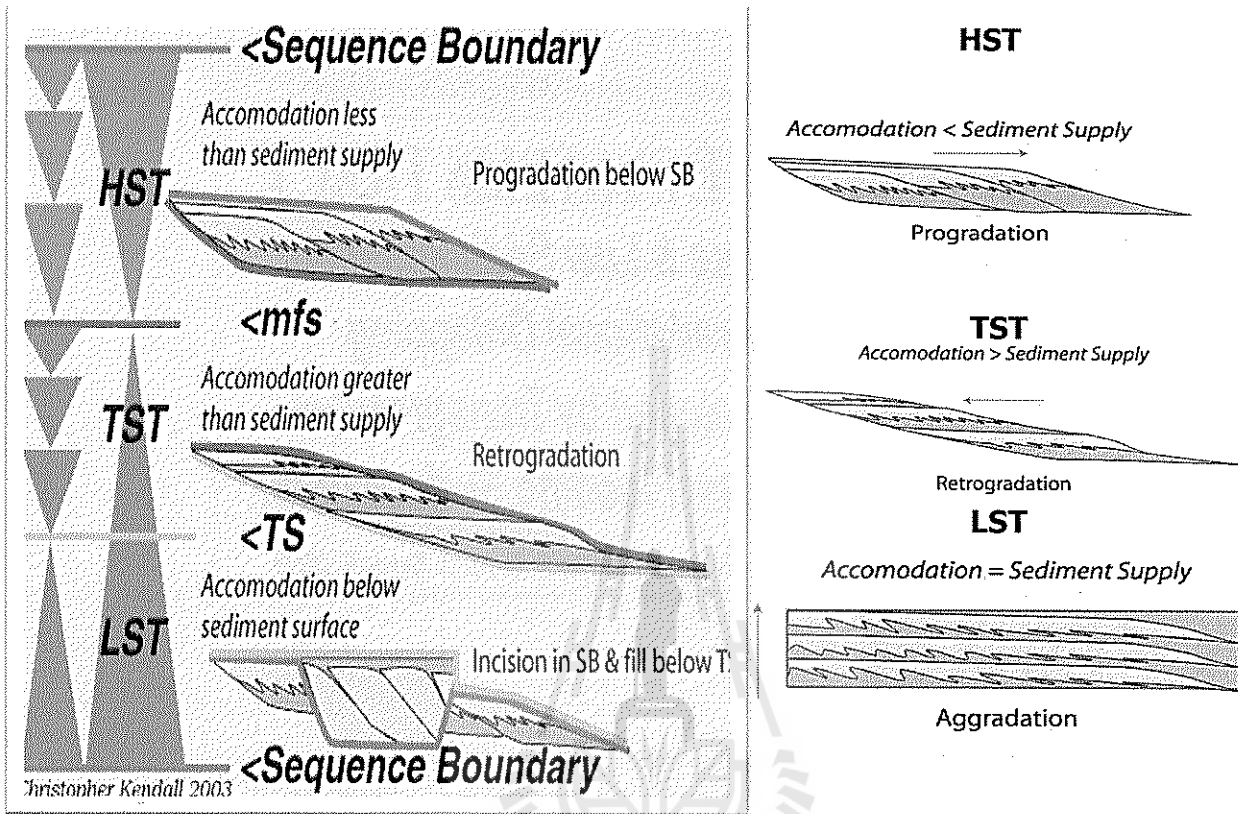
The Classic Slug Exxon Model



SB – sequence boundary
 LST – Lowstand systems tract
 TST – Transgressive systems tract
 HST – Highstand systems tract
 SMW – shelf-margin wedge

Mfs – maximum flooding surface
 Lsw – lowstand wedge
 Sf – slope fan
 Bf – basin-floor fan

System Tracts



Seismic System Tracts

1. LST – Lowstand systems tract

bounded by the Falling Stage Systems Tract and the Transgressive Systems Tract

LOWSTAND SYSTEMS TRACT
*Rising Sea Level & High Sedimentation
 Produce Onlapping & Aggrading Clinofom
 Enveloped by 1st Onlapping Parasquence
 & Transgressive Surface*

Movie Animation bu C. G. St. C. Kendall. 2003

2. TST – Transgressive systems tract

- below by underlying SB and above by mfs
- mounded geometry
- less grainstone prone, more diverse skeletal assemblages

TRANSGRESSIVE SYSTEMS TRACT
Rapid Sea Level Rise & Low Sedimentation
Produce Retrogradational Onlapping
Parasequences Enveloped by Transgressive
Surface and Maximum Flooding Surface (mfs)

Movie Animation by C. G. St. C. Kendall. 2003

3. HST – Highstand systems tract

- below by mfs and above by SB
- shingled or offlapping (clinoformal) stratal geometry

HIGHSTAND SYSTEM TRACT
Sea Level Stillstand & Low Sedimentation
Produce Prograding Onlapping
and Aggrading Clinoforms

Animated Gif by C.G.St.C. Kendall, 2002

Principle of Seismic interpretation

1. Check line scale and orientation
2. Work from the top of the section, where clarity is usually best, towards the bottom.
3. Distinguish the major reflectors and geometries of seismic sequence

Recommended procedures for performing seismic sequence analysis include:

1. Identifying the unconformities in the area of interest. Unconformities are recognized as surfaces onto which reflectors converge.
2. Mark these terminations with arrows.
3. Draw the unconformity surface between the onlapping and downlapping reflections above; and the truncating and toplapping reflections below.
4. Extend the unconformity surface over the complete section. If the boundary becomes conformable, trace its position across the section by visually correlating the reflections.
5. Continue identifying the unconformities on all the remaining seismic sections for the basin.
6. Make sure the interpretation ties correctly among all the lines.
7. Identify the type of unconformity:
 - a. Sequence boundary: this is characterized by regional onlap above and truncation below.
 - b. Downlap surface: this is characterized by regional downlap.

Recommended color codes:

Red: Reflection patterns and reflection terminations.

Green: Downlap surfaces

Blue: Transgressive surfaces (TS)

Other colors: Sequence boundaries (SB)

If using only black and white:

Thin solid lines — : Reflection patterns

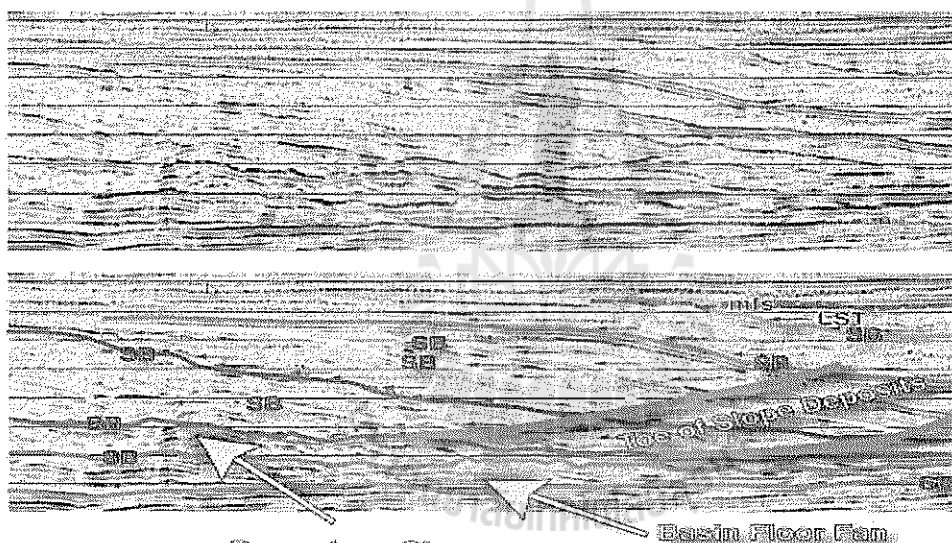
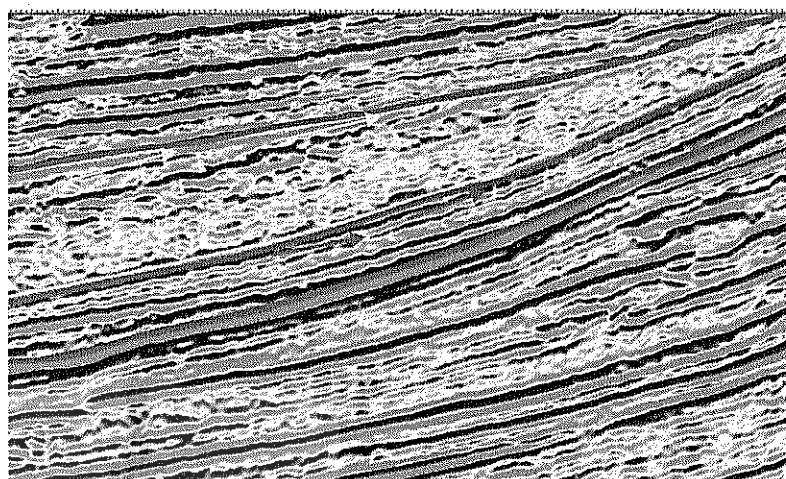
Thicker solid lines — : Sequence boundaries (SB)

Dashed lines - - : Downlap surfaces

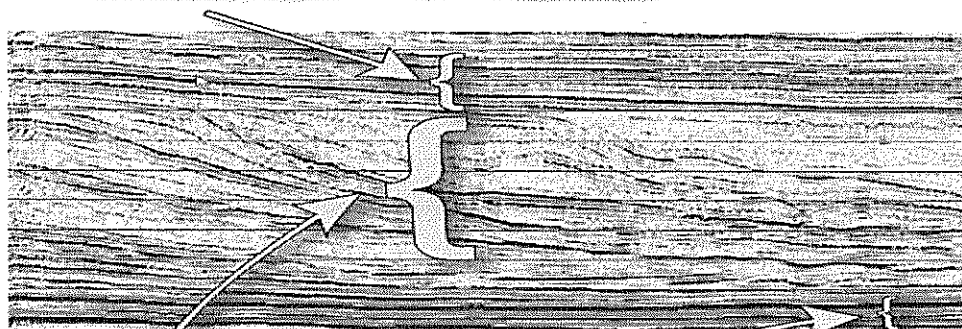
Dotted lines : Transgressive surfaces (TS)

Reflector character and geometry

- Continuous reflector truncating short ones
- Next continuous reflector
- Reflectors onlapping continuous one



Nanushuk Formation



**Torok
Formation
Clinofolds**

Pebble Shale

Figure 3. Regional seismic line illustrating the stratigraphic relationships among the major rock units within the NPRA.

Disadvantages of Seismic Data

- May be expensive to collect
- Vertical resolution is poor
 - Depends on frequency content of seismic data
 - 10s of meters common
- Difficult to collect good-quality data in places
- Non-unique answers possible



Table show the summary of Sandstone Reservoir Facies

Sandstone Reservoir Facies			
Sedimentary Deposition	Cores	Logs	Seismic
1. Alluvial	Upper fan: coarser+angular+ poor sorting Lower fan: finer+crossbedding CU seq.	High GR Shale of low dip angle (GP) Low GR Sand of 3 braided channel (BP) Fangbmerate (random dip pattern)	Poor continuity
2. Braided streams	Channel: sharp erosional base	Blocky GR: braided channel sand	Homogeneity lithology: poor internal reflection
3. Meandering streams	Channel: sharp erosional base + FU	Bell GR: point bar sand Structure dip (GP) + Accretion slopes (RP)+ high crossbedding (BP)	Erosional base: high amplitude
4. Eolian dune	Well sorting (rework)+crossbedding	Blocky GR: sand dune body Saw toothed FDC/GR: finer grain+mica (base) Low dip angle at the base then increase upward until reaching a max. of about 25-35 degree	Not detectable
5. Lacustrine	Define as facies group and consider as small inland seas Non-marine fossil & rift graben-type		
6. Coastal barrier islands	Well sorting upward +CU Abundance & scale of cross stratification increasing upward but Bioturbation increasing downward	Funnel GR/SP BP Dip	High amplitude (beach/dune sand overlying marine/lagoonal shale
7. Continental Shelf Sand	F-VC grain, mod-well sorting crossbedding Sst Ripple Sst intercalated with silty gy Sh/Bioturbated Sst and Sh Burrowed silty gy Sh	Funnel GR/SP (CU)	High amplitude and become transitional updip to the right
8. Deep sea sands	Dominate cut-and-fill channel in upper portion Incomplete turbidite sequence in lower portion	Blocky or bell GR/SP+random dip in upper fan Thinner bell GR/SP+RP dip in mid fan Funnel GR/SP in lower fan	Mountd-shaped with an interal hummocky/chaotic
9. Deltas	Fluvial dominate delta : Upper part-alluvial channel (meandering) : Lower part-distributary delta		
	Wave or tidal dominate delta : Barrier island, tidal channel, tidal flat		
	Distributary channel sands : Moderate to well sorting+FU : Crossbedding (lower)+ripple & plain lamp (upper)	Blocky to bell GR/SP RP Dip	
	Distributary mouth bar sands	Funnel GR/SP	Oblique

Chapter 5 Subsurface Mapping

Correlation points of Logged Data

Using **correlation points/data points/key beds/log markers** to define surfaces.

1. Distinctive thin configuration
2. Similar curve configuration
3. Recognizable over large area

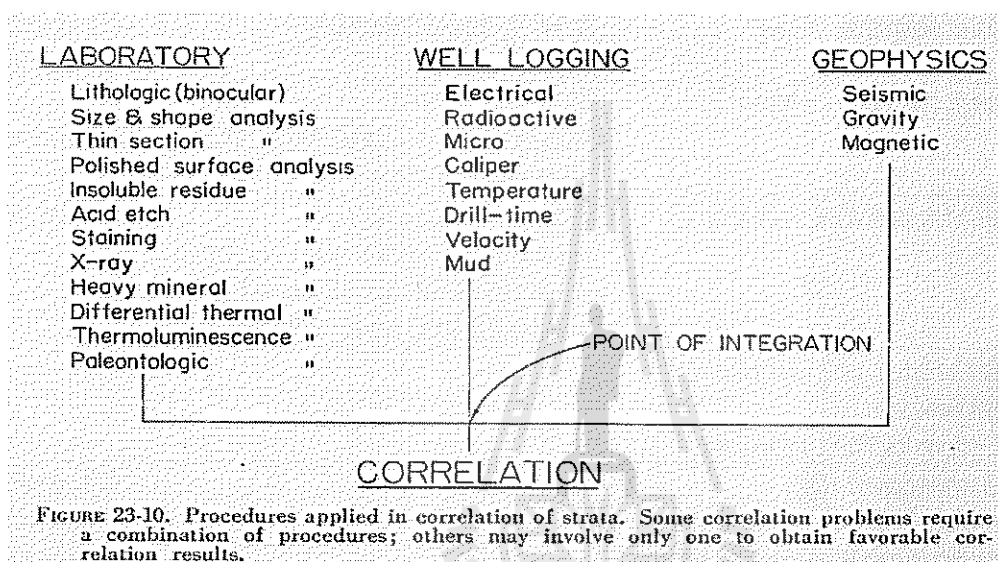
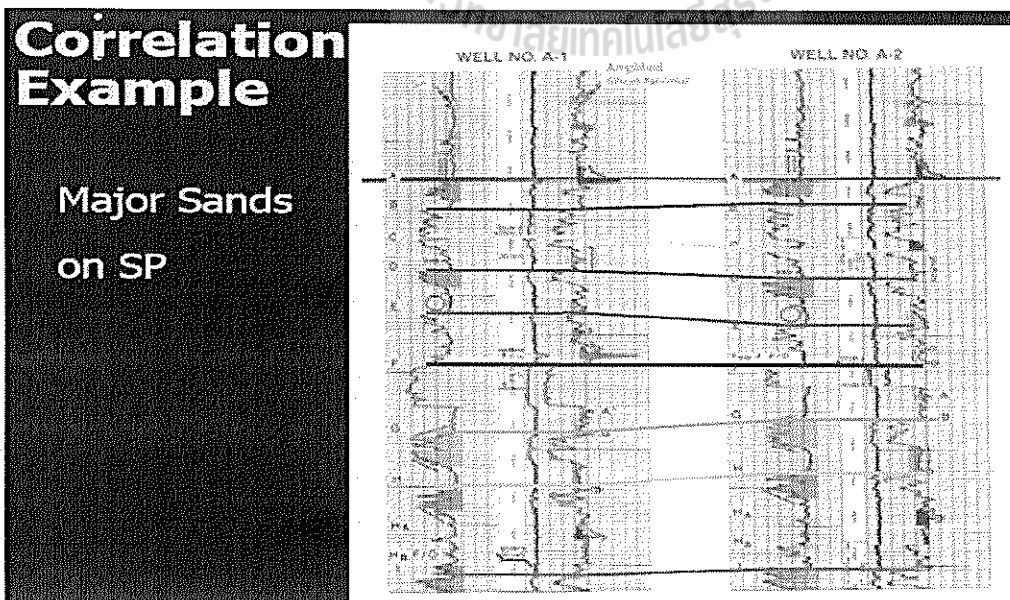


FIGURE 23-10. Procedures applied in correlation of strata. Some correlation problems require a combination of procedures; others may involve only one to obtain favorable correlation results.

Example of Correlation



Type of correlation points

1. Vertical correlation points

The correlation points is seen either as a surface of a mass of strata containing some property in common or as a tangible trace of as abstract geological event.

2. Horizontal correlation points

Lithofacies and biofacies shift laterally in space through time

Stratigraphic Law

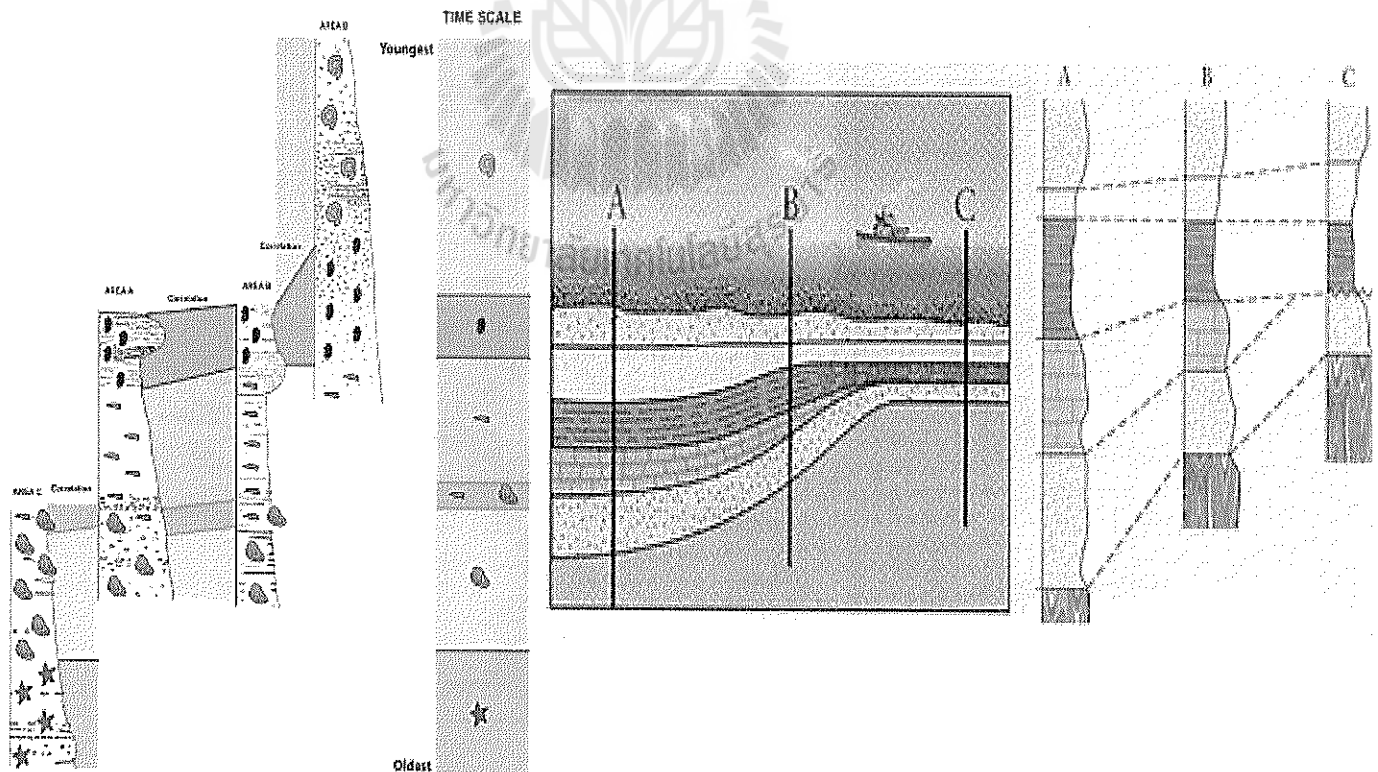
1. Superposition

- Each sedimentary bed is younger than the bed beneath it and older than the bed above it.

2. Faunal Succession

- The relative age of rocks can be determined from their fossil content

3. Original continuity and horizontal water-laid sediments are deposited in nearly horizontal strata; each stratum initially continuous laterally in all directions until it abuts against the edge of the original depositional basin



4. Crosscutting relationship

- A younger one cuttings an older surface

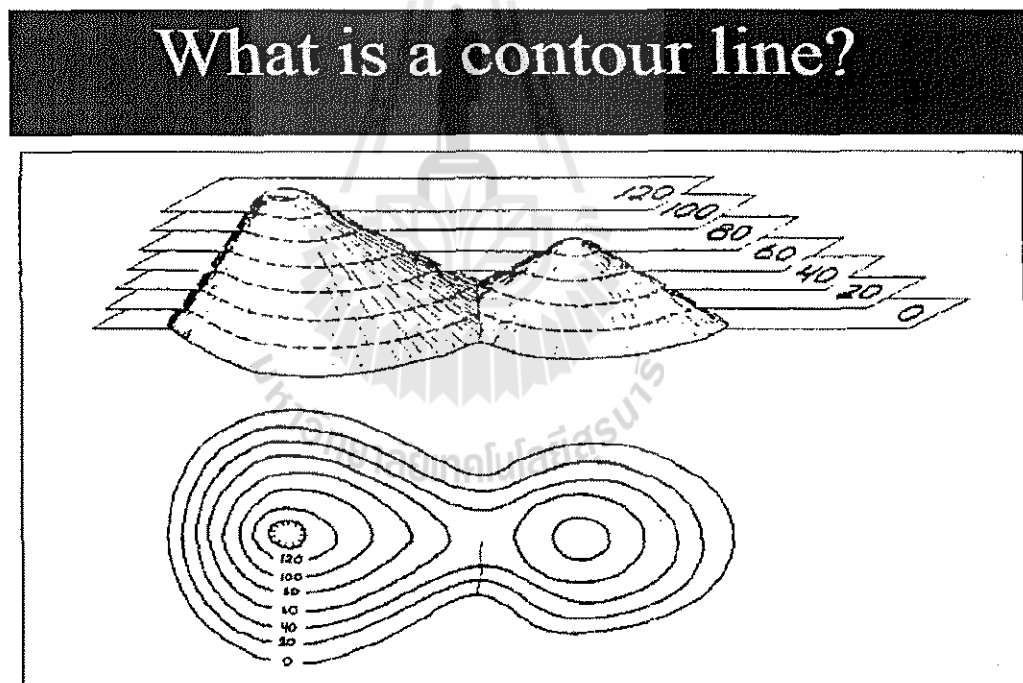
5. Correlation of facies (Walther's Law)

- Within a given sedimentary cycle, the same succession of facies that occurs laterally is also present in vertical succession

Structure contour maps

General

1. Scale & Contour should be appropriate to the data available to the map.
2. Map should not be so overloaded with data that they become confusing.
3. All the geologist's maps and sections of any one area must conform with one another.
4. The art of contouring is so critical



Contouring Rules

1. Contour line separates points that are higher from points that are lower
2. Contour lines cannot cross
3. Contour lines cannot merge
4. Contour lines must close on themselves within the map area or extend to the edge of the map
5. Contour interval must remain constant for the entire map

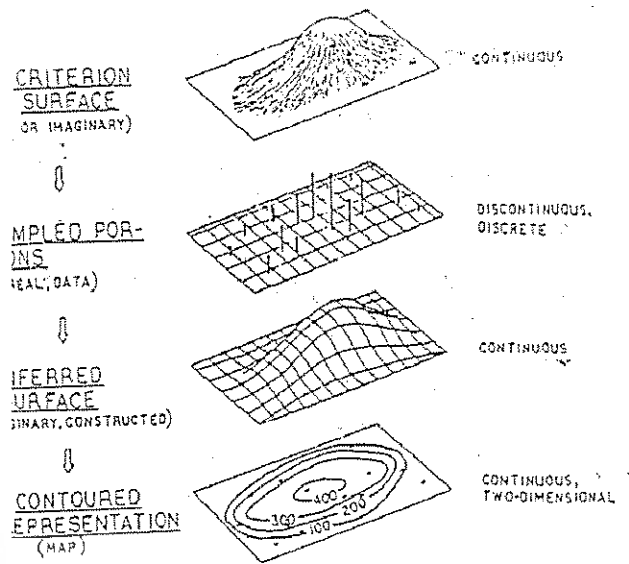
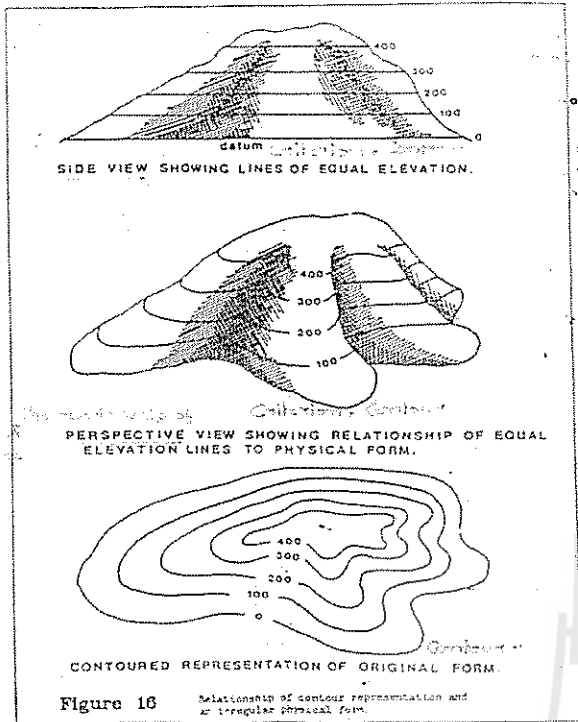
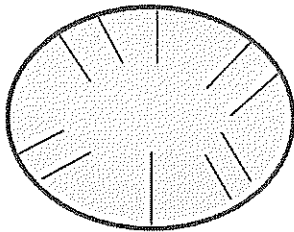


Figure 17

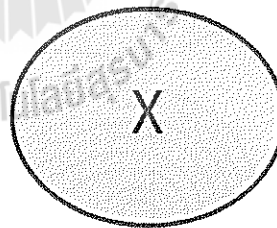
The contouring transformation from criterion to map.

Structural contour maps

1. Datum plane (SL)
2. Chosen horizontal marker
3. Closed contours should be marked as positive (High) or negative (Low)
4. Faults should be shown clearly with dip direction.



Negative (Low)



Positive (High)

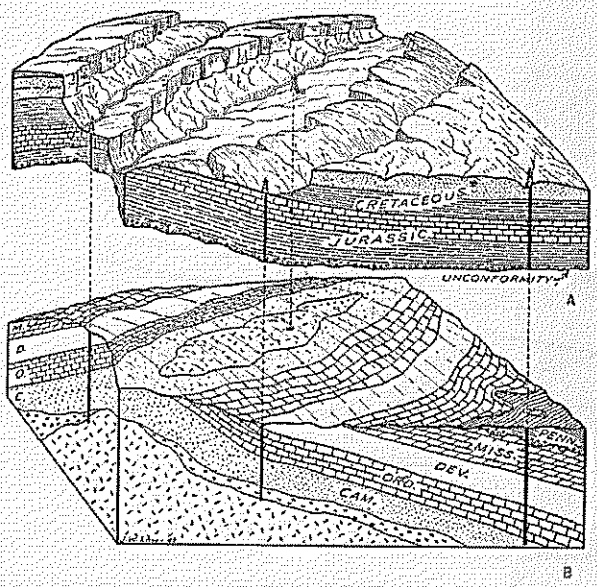
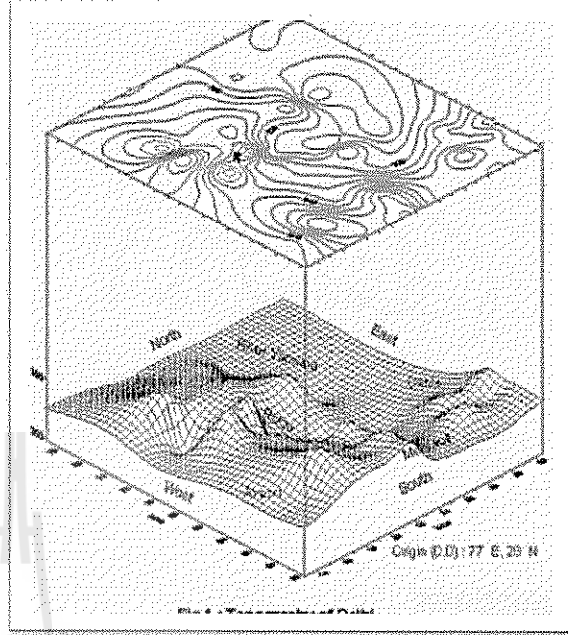


FIGURE 24-6. Typical eroded anticline involving a major unconformity in subsurface.

Ex. Subsurface Maps



Structural contour maps

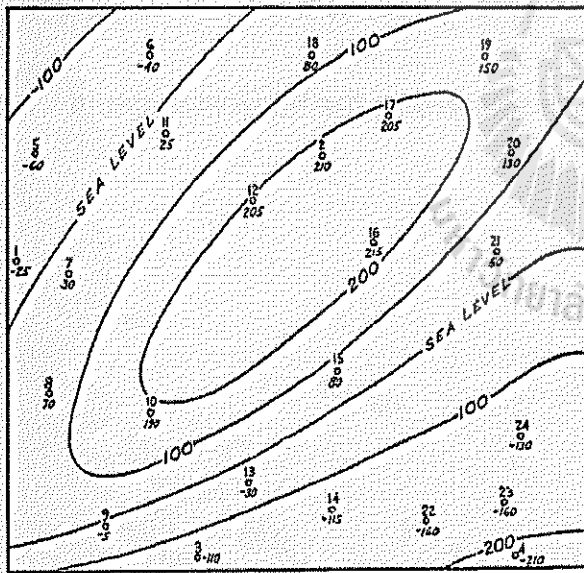


FIGURE 24-7. Structure contour map on top of Jurassic.

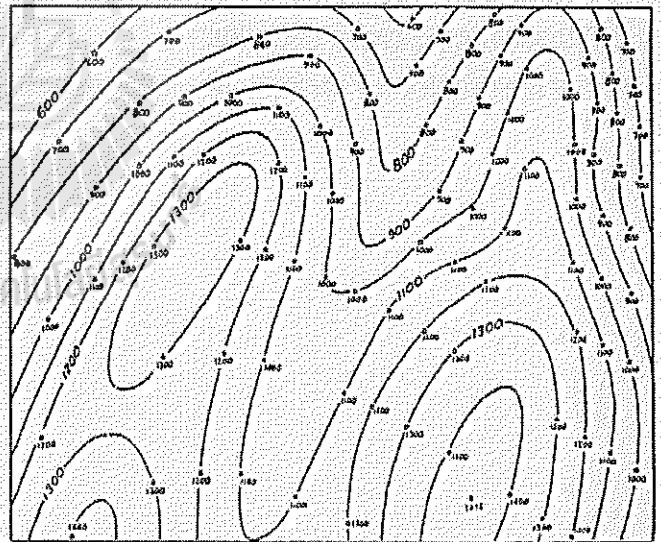
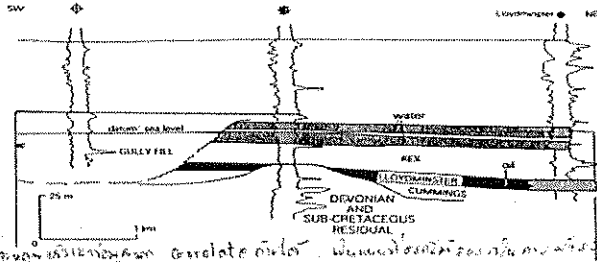


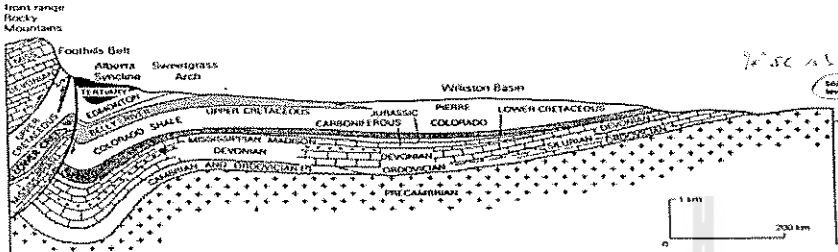
FIGURE 24-17. Subsurface structural map on top of Mississippian.



Correlation cross sections

Figure 16.91 Correlation section through part of the South Crossin oilfield, Lloydminster area, eastern Alberta, Canada, showing one of many paleogeomorphic traps in Lower Cretaceous sandstones. This location illustrates two trapping mechanisms, one against a pre-depositional high, the other against a post-depositional gully. (After L. W. Vigars, AAPG Bull., 1977)

Structural cross sections



Stratigraphic cross sections

Figure 17.11 West-east profile of the Western Canadian and Williston Basins, a miogeoclinal wedge in the Paleozoic and a major compressional foredeep in the Mesozoic. (From Alberta Society of Petroleum Geologists, in Possible future oil provinces of the United States and Canada, Tulsa, Okla: AAPG, 1941.)

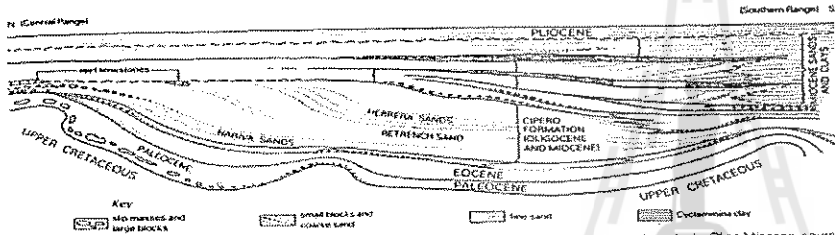
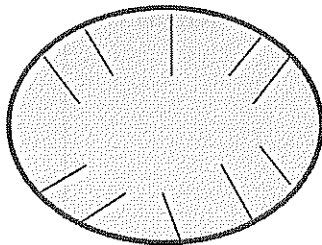


Figure 17.40 Southern basin of Tensada, showing the introduction of turbidite sandstone reservoirs into thick, Oligo-Miocene source sediments deposited in the foredeep of the Central Range as it was progressively displaced southward. (After H. G. Kugler and J. B. Saunders, Bol. Int. Assoc. Venezolana Geol., 1967)

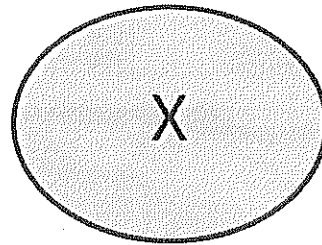
Kind of Map

1. Isopach maps

- Showing lines of equal thickness of strata contained between two reference plans.
- Useful to determining the age and growth of structures both of positive structures (Uplift) and negative structures (Subsidence)



Negative structures (Subsidence)



positive structures (Uplift)

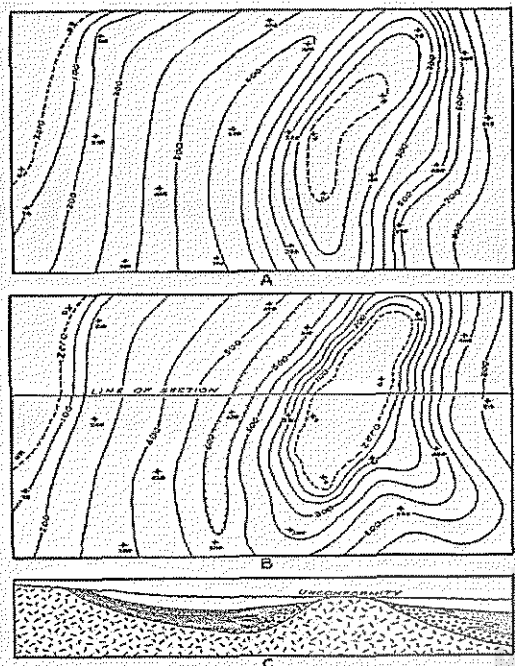


FIGURE 21-14. Two interpretations of contouring the same isopach data.

Isopach maps

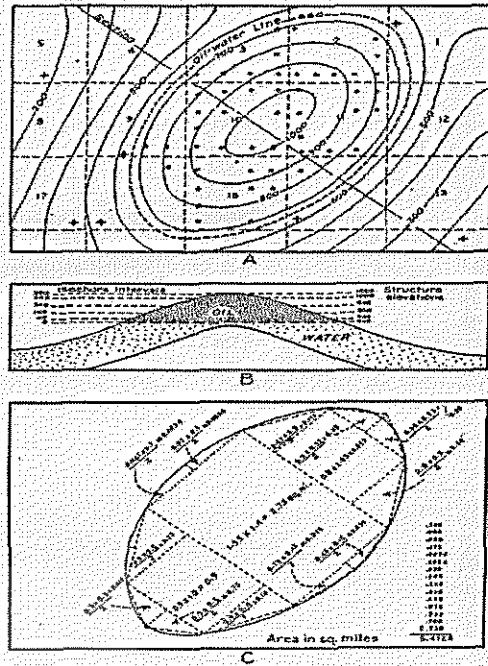


FIGURE 21-21. Method of computing oil-reservoir volume (Case I).

2. Lithofacies maps

2.1 Ratio maps

Showing the ratios of thicknesses of selected components.

2.2 Isolith maps

Showing net thicknesses of single lithologic components in lithologic percentage rather than its absolute thickness.

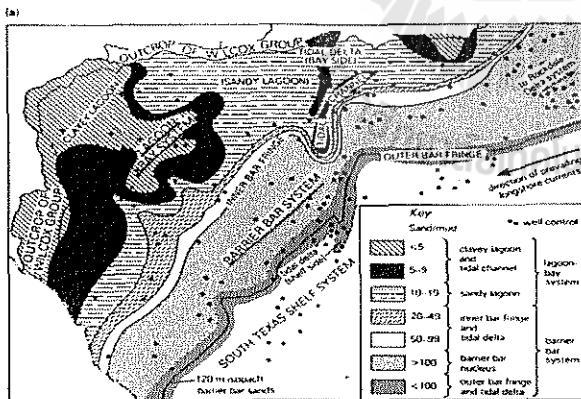
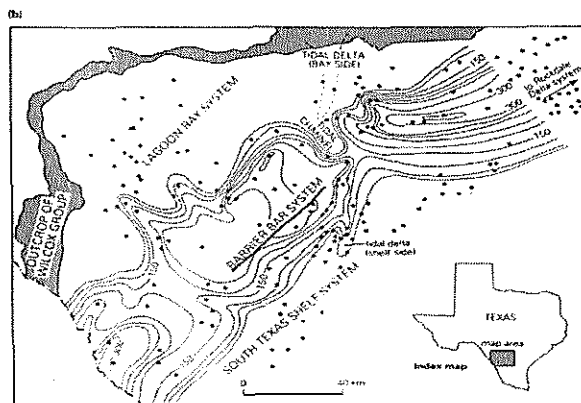


Figure 22-21. Two facies maps of a barrier-bar and bay-lagoon system in the Wilcox Group (Eocene) of the Texas Gulf Coast: (a) sandstone: shale ratio map; (b) sand isolith map - isolith interval 30 m. (From C. L. Lofton and W. M. Adams, AAPG Memoir 15, 1971; after W. L. Fisher and J. H. McCrowen, 1987)

Lithofacies maps

Ratio maps



Isolith maps

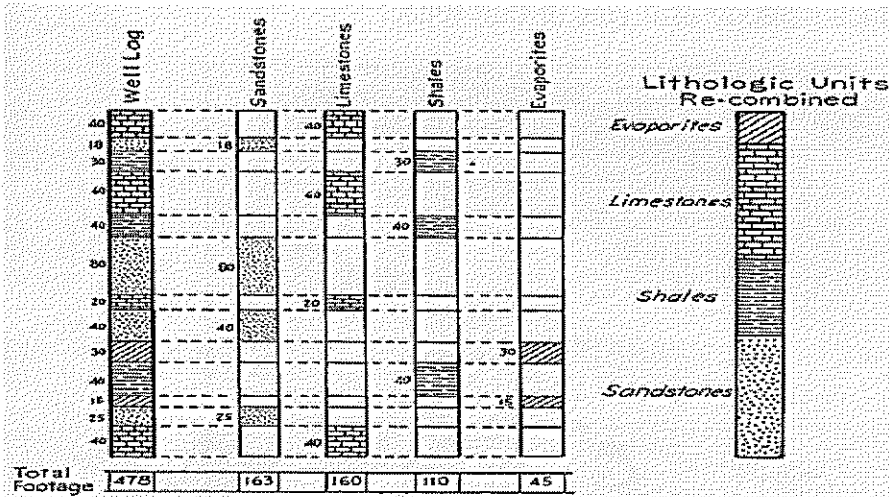


FIGURE 24-25. Lithologic breakdown of a well log into four main rock types.

Ratio value of sandstone = $163 / (160 + 110 + 45) = 0.51$ ← Plot
 Total thickness of the SS formation $163 / 478 = 0.34 = 34\%$

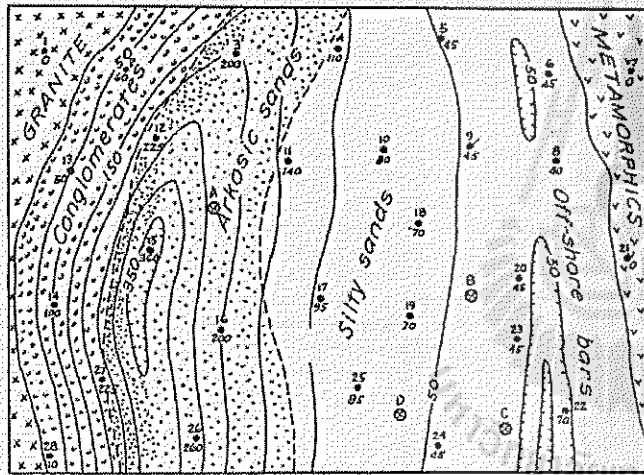


FIGURE 24-30. Sandstone isolith map of basin shown in Figure 24-29.

Isolith maps

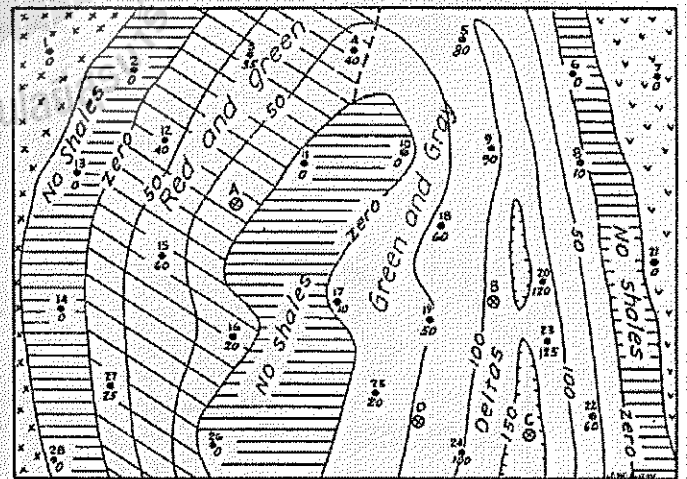
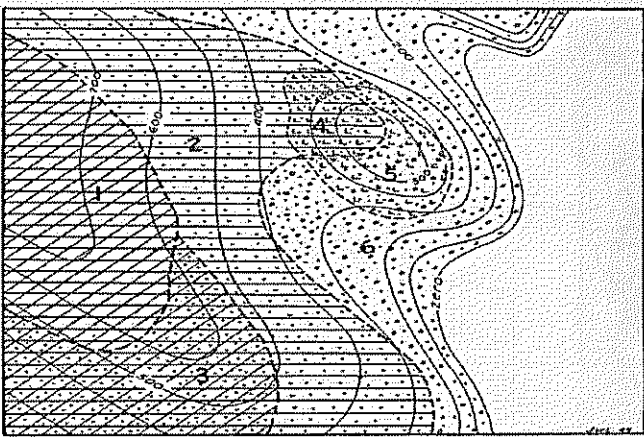


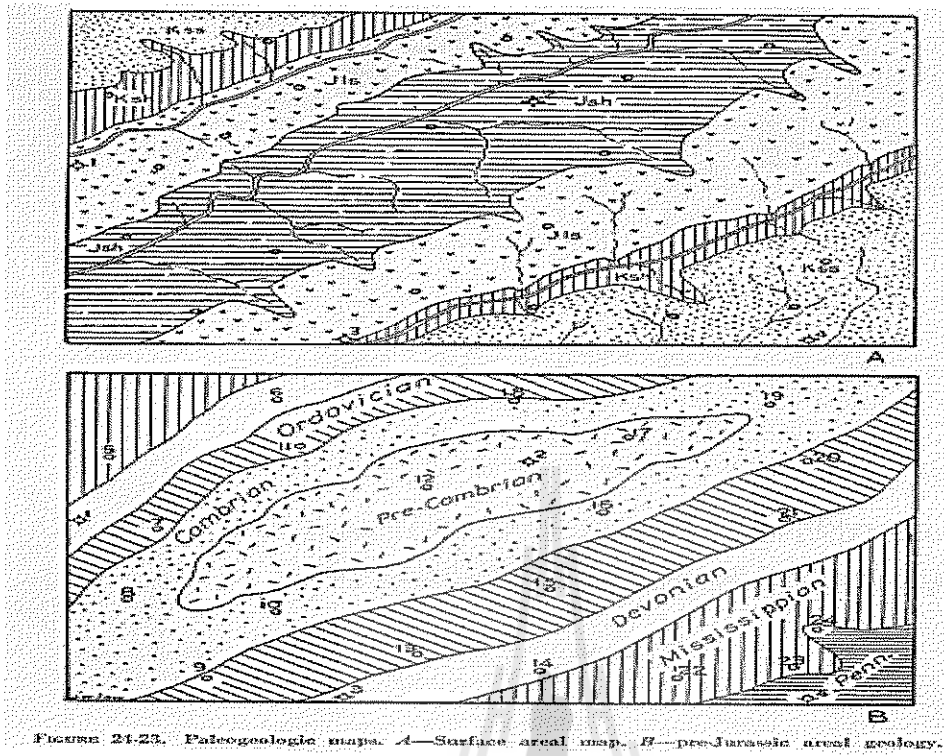
FIGURE 24-31. Shale isolith map.



3. Paleogeologic maps

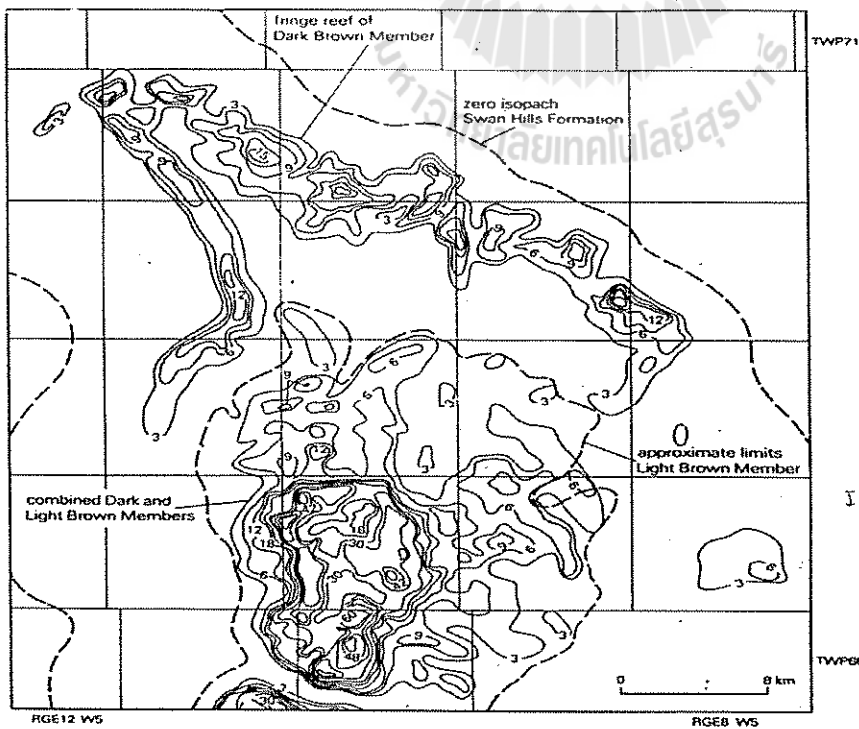
FIGURE 24-28. Combination isopach and lithofacies map.

Showing the surface geology as it was at that time.



FIGURES 21-23. Paleogeologic maps. A—Surface areal map. B—pre-Jurassic areal geology.

**4. Internal property maps
: Porosity – TOC – Maturity etc.**



Internal property map.

Figure 22-26 Isoposity map of Swan Hills Formation (Devonian) in Swan Hills oil-productive region of northern Alberta, Canada. Values in meters based on logs. Areas with thick porous sections are productive reefs; in interior area, loci of porosity are patch reefs and reef outwash. (From C. R. Hemphill *et al.*, AAPG Memoir 14, 1970.)

5. Hydrodynamic maps

Equipotential surfaces of Oil (U) and Water (V)

Dw=Water density Do=Oil density

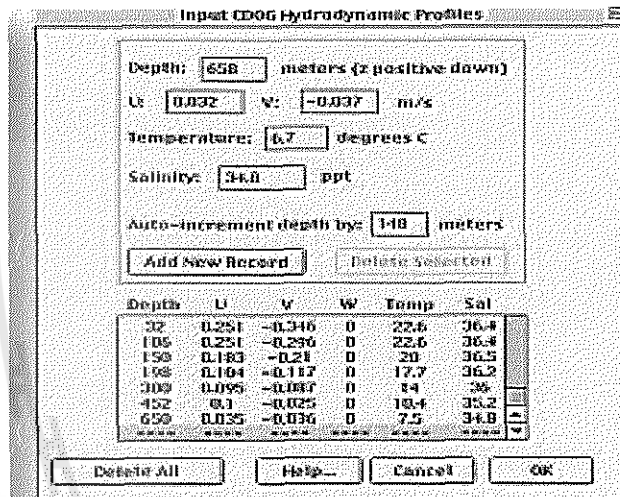
Hw=Water high column Ho=Oil high column

Z =The elevation of the point of above or below datum plane.

$$[Do/(Dw-Do)]Ho = [Dw/(Dw-Do)]Hw-Z \rightarrow U=V-Z$$



Figure 12.12. Structure contour and facies map of the hydrodynamically tilted and displaced South Cole Creek oil pool in Wyoming. (Redrawn from Moore.)



Hydrodynamic maps

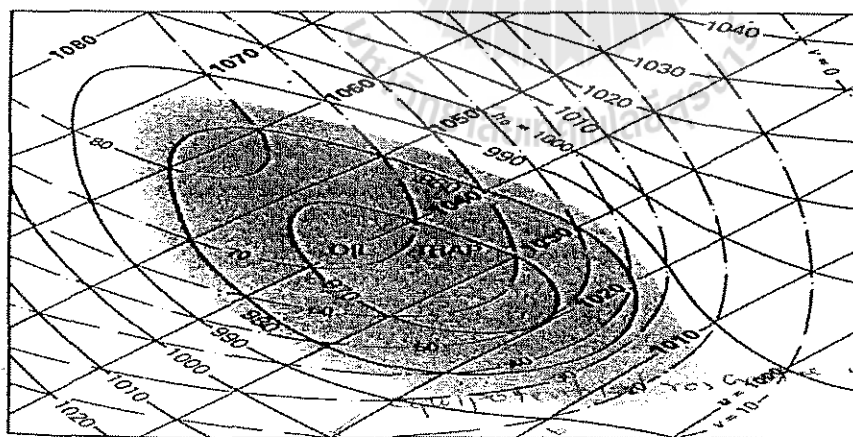


Figure 22.30 Map of traces of intersections of constant-value surfaces, h_o , u , and v , with upper surface of reservoir rock showing potential minimum and consequent trap for oil. (From M. K. Hubbert, AAPG Bull., 1953.)

Hydrodynamic map